

-43989-

Magnetisches Observatorium der Universität Berlin
in Potsdam-Niemegk

Ergebnisse
der
Magnetischen Beobachtungen
in Seddin
im Jahre 1931

Nebst einem Anhang: Übersicht der Ergebnisse der Beobachtungen in den Jahren
1921 bis 1931 und Gesamtübersicht über Seddin von 1908 bis 1931

Von

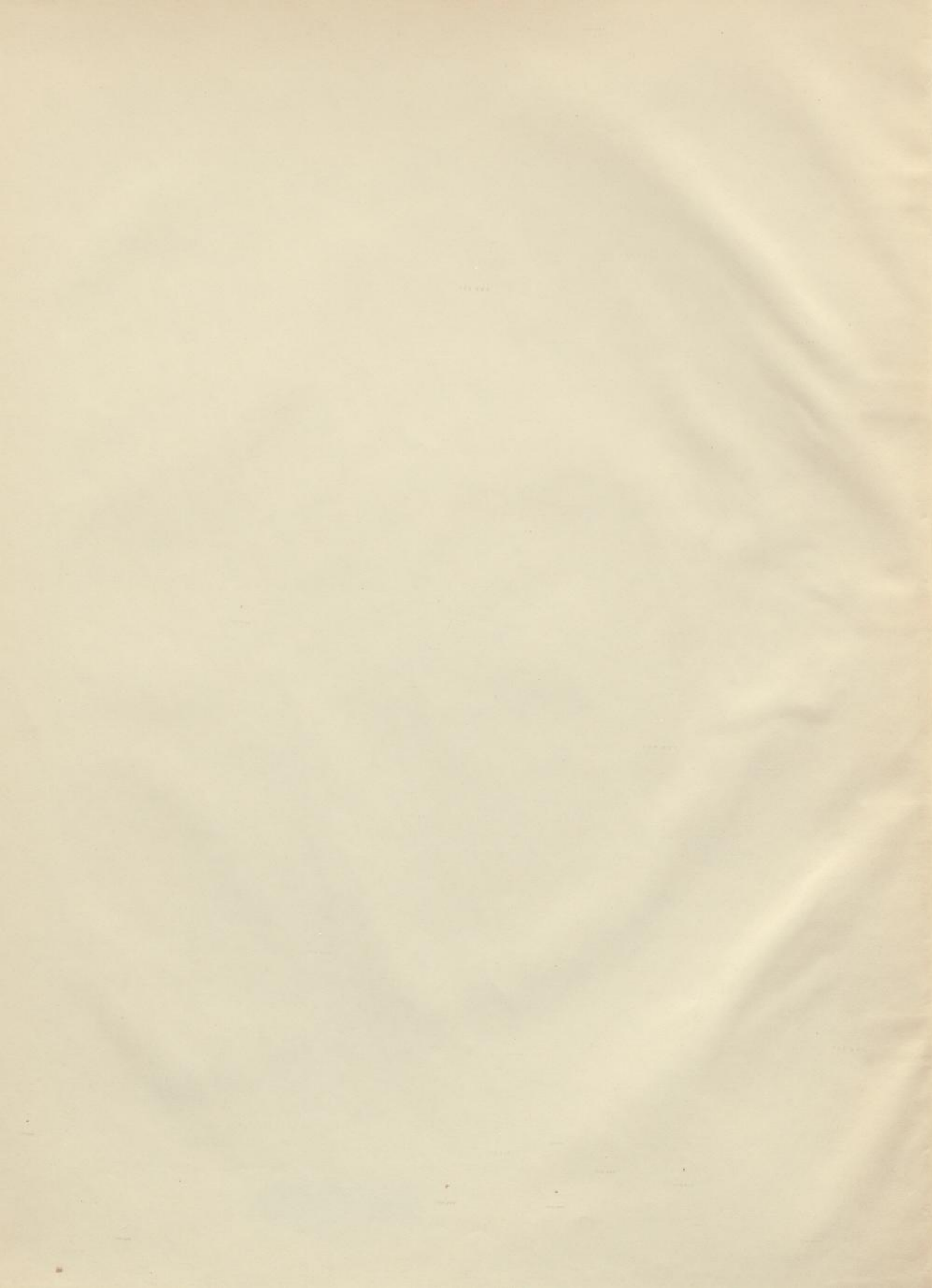
A. Nippoldt

Mit 1 Kurventafel und 11 losen Kurvenblättern

Berlin 1934

Julius Springer

Preis 15 RM.



- 43989 -

**Magnetisches Observatorium der Universität Berlin
in Potsdam-Niemegk**

Ergebnisse
der
Magnetischen Beobachtungen
in Seddin
im Jahre 1931

Nebst einem Anhang: Übersicht der Ergebnisse der Beobachtungen in den Jahren
1921 bis 1931 und Gesamtübersicht über Seddin von 1908 bis 1931

Von
A. Nippoldt

Mit 1 Kurventafel und 11 losen Kurvenblättern

Berlin 1934
Julius Springer

Preis 15 RM.

Einleitung.

Die hier für 1931 gebrachten Ergebnisse beruhen auf Beobachtungen, die ausschließlich in dem Filial-Observatorium in Seddin angestellt wurden. Der vorliegende Band ist der letzte der Seddiner Reihe.

Die Seddiner Reihe begann mit den Ergebnissen der magnetischen Beobachtungen im Jahre 1908 (Veröf. d. Meteor. Inst. Lfd. Nr. 225, Berlin 1910). Bis zum Jahre 1927 einschließlich liefen die Beobachtungen in der Weise fort, daß in Seddin die rechtwinkligen astronomisch orientierten Komponenten XYZ registriert wurden, während in Potsdam das sogenannte „Hauptsystem“ Deklination, Horizontal- und Vertikalintensität registrierte, und die absoluten Messungen von D, H und der Inklination besorgt wurden. Tägliche Vergleiche zwischen dem Hauptsystem und einem Variometersystem für direkte Ablesungen, dem „Kontrollsystem“ übertrugen die Ergebnisse der absoluten Messungen auf das Hauptsystem. Von da gelangten sie über weitere tägliche Vergleiche der vom Straßenbahnbetrieb ungestörten Nachtstunden auf die Registrierung in Seddin. Die Entfernung zwischen Potsdam und Seddin war so gering (13 km r.), daß dem keine Bedenken entgegenstanden. Mehrere eingeschaltete Sondermessungen haben das bestätigt.

Mitte des Jahres 1928 mußten wegen der Elektrifizierung der Vorortstrecken der Deutschen Reichsbahn alle laufenden magnetischen Beobachtungen in Potsdam gänzlich eingestellt und nach Seddin verlegt werden. (Vgl. Veröf. d. Meteor. Inst. Lfd. Nr. 374, Berlin 1930). Die Einführung des elektrischen Betriebs auf den Bahnstrecken geschah ein Jahr früher, als es ursprünglich geplant war, so daß das in Voraussicht der zu erwartenden großen und weitreichenden Störungen in Niemeck geplante neue Observatorium 1928 noch nicht errichtet werden konnte. Sein Bau konnte erst 1929 angefangen werden. Mit 1929 begann die nun abgeschlossene kurze selbständige Beobachtungsreihe in Seddin allein.

Während dieser reinen Seddiner Reihe arbeiteten drei Variometersysteme: das seit 1908 im Nordraum aufgestellte XYZ-System mit einem Zusatzdeklinometer für die Skalenwertbeobachtungen, ein zweites XYZ-System im nebenan liegenden Südraum, und im gleichen Raum, jedoch genügend entfernt, ein neu aufgestelltes System für D und H. Als absolute Instrumente dienten kurze Zeit nicht die Potsdamer Normale, sondern andere, doch wurden sehr bald die alten Normale auch in Seddin in Betrieb genommen. Im Gegensatz zu Potsdam wurden die absoluten Messungen nicht auf ein System mit direkter Ablesung durch Fernrohr und Skala übertragen, sondern unmittelbar auf die Registrierkurven mittels Lichtmarken projiziert. Um diese Signale gut voneinander zu trennen, drehte sich das DH-System während der absoluten Messungen schnellaufend. Über die Einzelheiten des Betriebs sehe man die jährlichen „Ergebnisse der Magnetischen Beobachtungen in Seddin“ ein.

Es ist klar, daß der uns aufgezwungene schnelle Umzug mit all seinen Nebenfolgen nicht nur äußerliche, sondern auch innerliche Schwierigkeiten mit sich brachte. Jung aufgestellte Variometer unterliegen raschen und nicht immer regelmäßigen Veränderungen der Basiswerte. Beide Seddiner Häuser besaßen keine Heizung. Dies machte sich besonders bei den absoluten Messungen bemerkbar, die nun nicht mehr, wie in Potsdam, stets bei annähernd gleicher Temperatur vorgenommen werden konnten. Auch konnte aus äußeren Gründen die Gleichmäßigkeit der absoluten Messungen über das ganze Jahr hin nicht mehr beibehalten werden. Dafür wurde ihre Anzahl vermehrt.

Alle diese Umstände schließen die Gefahr in sich, daß die Güte der Endwerte darunter leidet. Soweit sich bis jetzt dies übersehen läßt, gilt diese Befürchtung kaum für Deklination und Horizontalintensität und damit für X und Y. Dagegen bieten die Basiswerte der Waagen Schwierigkeiten (nicht die Inklinationsbeobachtungen), so daß, wie in früheren Jahrgängen dieser „Ergebnisse“ schon bemerkt wurde, das Observatorium sich eine zusammenfassende Kritik über die ganze Übergangszeit von Potsdam nach Niemeck vorbehalten muß, sobald an letzterem Observatorium eine genügend lange Reihe vorliegen wird. Übrigens werden sich eventuelle Korrekturen in ihrem Einfluß kaum auf die täglichen Verläufe und alle daraus abgeleiteten Zahlen erstrecken, sondern in der Hauptsache nur den jährlichen Gang verbessern. —

Die Seddiner Aufstellung arbeitete noch bis 31. März 1932, also ein Vierteljahr über das vorliegende Berichtsjahr hinaus, ungestört. Am 1. April 1932 wurde das XYZ-System im Nordraum stillgelegt. Am 9. Mai fanden die letzten absoluten Messungen in Seddin statt, wonach auch die Variometer im Nordraum zu registrieren aufhörten.

Alle Instrumente wurden entfernt und kamen alle staffelweise in Niemegk zur Neuaufstellung. Am 12. Mai begann das Niederreißen des Variations- und des Absoluten Hauses. Sie wurden im Laufe 1932 in Niemegk über inzwischen vorbereiteten neuen Fundamenten wieder aufgerichtet und haben dort nun anderen Zwecken zu dienen. Es verblieb in Seddin nur ein Außenfeiler mit Dach für den Fall, daß der lokale Unterschied zwischen Seddin und Niemegk in späteren Jahren nochmals nachgeprüft werden sollte. Der Jahrgang 1932 wird den Übergang von Seddin nach Niemegk bringen. —

Die absoluten Messungen in Seddin und ihre Verarbeitung unterstanden Dr. Fanselau (Fa), der daher in Folgendem ausführlich über sie berichtet. Es zeigt sich für 1931, daß die Güte der Messungen sich seit der Erstaufstellung in Seddin von Jahr zu Jahr steigerte und die guten Werte der alten Potsdamer Werte erreicht hat. Die Verarbeitung der Registrierungen geschah in der alten Weise in Potsdam selbst. Die XYZ-Instrumente in Seddin betreute wie seither Professor Dr. Venske (Ve).

Die ungemein vielseitige und umfangreiche Tätigkeit in Niemegk unterstand dem Observator Dr. Bock. Hier sei nur erwähnt, daß im Ostraum des dortigen neuen Variationshauses seit März 1931 das ehemalige Hauptsystem Potsdam und ein neues Variometer für Inklination zur Registrierung gebracht wurden, so daß für das Berichtsjahr und darüber hinaus eine Parallelregistrierung mit Seddin stattfand.

Die Form des tabellarischen Teils der vorliegenden Ergebnisse lehnt sich noch einmal streng an die seitherige an. Bei der Ableitung der im vorigen Jahrgang neu aufgenommenen Aktivitätszahlen nach Dr. Crichton Mitchell haben die meisten sich beteiligenden Observatorien anders gerechnet als Seddin, indem sie als maximale Amplitude die jeweiligen, zufälligen maximalen Extremwerte benutzen. Unsere Tafel auf S. 32 des vorigen Jahrgangs gebrauchte die Amplituden zwischen den maximalen Stundenmitteln. Der Vergleichbarkeit mit den anderen Observatorien wegen sind in vorliegendem Band die Zahlen für 1931 in der neuen Weise berechnet und jene für 1930 in die neue Form umgerechnet wiederholt worden.

Die seit 1917 nicht mehr abgedruckten Tabellen der Stundenmittel für die einzelnen Tage werden handschriftlich wie seither weitergeführt und stehen Fachgenossen im Observatorium zur Verfügung. Nach besonderer Verabredung können auch Abschriften davon geliefert werden. Weitere Abzüge der dem Heft beigegebenen, von Professor Dr. Venske überwachten Störungskurven (Lfd. Nr. 263—273) werden auf Wunsch übermittelt. Sie werden an Hand der Originalkurven der Seddiner Registrierungen mit Hilfe des Pantographen von Ad. Schmidt-Toepfer hergestellt, Beschreibung: K. Luyken, Zeitschrift für Instrumentenkunde Band 29, Jahrgang 1909, S. 1 ff.

Beobachtungen.

Arbeiten und Beobachtungen am neuen System in Seddin und Absolute Messungen.

Von G. Fanselau.

Im Jahre 1931 trat in instrumenteller Hinsicht, im Schema der Messungen sowie in deren Reduktionen keinerlei Veränderung ein, so daß in bezug auf diese Dinge auf die vorigen Jahrbücher verwiesen werden kann. Am Ende des Jahres (Okt.-Dez.) wurden wieder die Skalenwerte des DH-Systems im Südraum durch Anschluß an das XYZ-System im Nordraum bestimmt. Dabei fand sich:

$$\begin{array}{l} \text{Oktober-Dezember 1931: D: } \varepsilon = -0.595 \quad \begin{array}{c} E \\ \pm 0.014 \end{array} \quad \begin{array}{c} m \\ \pm 0.004 \end{array} \quad \begin{array}{c} n \\ 14 \end{array} \\ \text{H: } \varepsilon' = +2.38 \quad \begin{array}{c} \gamma \\ \pm 0.10 \end{array} \quad \begin{array}{c} \gamma \\ \pm 0.03 \end{array} \quad 14 \end{array}$$

mit E als dem Fehler der Einzelbestimmung, m dem des Mittels und n der Anzahl der Einzelbestimmungen. Diese Werte sind in guter Übereinstimmung mit denen des Vorjahres. Der Temperaturkoeffizient des H-Variometers sowie der Umrechnungsfaktor der Temperaturregistrierung dieses Instruments konnten unverändert beibehalten werden. Über diese Werte sowie die Reduktionsfaktoren für die absoluten Messungen geben die vorhergehenden Jahrbücher Auskunft. Über die absoluten Messungen selbst ist im einzelnen folgendes zu berichten.

Deklination. Während des Jahres 1931 wurden insgesamt 15 Messungen ausgeführt (Tab. I). Die daraus abgeleiteten Basiswerte sind, abgesehen von zwei Einbuchtungen im Frühjahr und Herbst — zu Zeiten des Temperaturwechsels — gut konstant. Die Genauigkeit der Messungen läßt sich beurteilen mit Hilfe der Abweichungen je zweier streng miteinander vergleichbarer Einstellungen (zur Beseitigung der Kollimation Mittel aus 4 Einzeleinstellungen — je 2 in den beiden Lagen) von ihrem Mittel. Diese Zahlen sind für beide Magnete (M_9 schwach, M_{10} stark) dieselben, nämlich 0.03. Für die Genauigkeit der Einstellung der Mire vor und nach der Messung ergibt sich im selben Sinne 0.01. Für den Abstand der Okularfäden im Fernrohr des Theododiten ergab sich im Jahresdurchschnitt bei M_{10} : 13:44, bei M_9 : 13:55, für den doppelten Kollimationswinkel der Magnetspiegel am Südpol bei M_{10} : 21:09, bei M_9 : 25:89. Ein Vergleich mit den entsprechenden Zahlen des Vorjahres 13:45, 13:54, 21:09, 25:91 zeigt praktisch Übereinstimmung, was vor allem bei der Kollimation beweist, daß die Magnete keine starken mechanischen Änderungen

erfahren haben. Zur Kontrolle der Fadentorsion wurde, wie im Vorjahr, eine ausführliche Torsionsbestimmung mit beiden Magneten gemacht. Es fand sich am 10. Dez. bei Torsion um 360° bei M_{10} : $2^\circ 52:09$, bei M_9 : $5^\circ 36:30$. Daraus errechnet sich der Torsionsfaktor zu 1.05. Es wurde jedoch auch noch in diesem Jahre mit dem runden Wert von 1.00 gerechnet. Da die durch Torsion hervorgerufene Differenzen zwischen beiden Magneten während des ganzen Jahres nicht größer als 0.7 war, ist der hiermit begangene Fehler höchstens von der Größe 0.04.

Tabelle I. Absolute Messungen der westlichen Deklination.

Bezogen auf die Hilfsbasis der D-Registrierung $n = 80$.

1931 Tag	Weltzeit	Mire	Starker Magnet (M 10)	Schwacher Magnet (M 9)	Torsions- korrektur	Magnet. Meridian	Astronom. Meridian	D_{80}	Beob.
Januar 28 . .	10.8	156° 30'66	16° 39'17	16° 38'64	0'53	16° 39'70	22° 19'56	5° 39'86	Fa
Februar 24 . .	10.4	30.64	39.07	38.54	0.53	39.60	19.54	39.94	Fa
März 10 . .	9.8	30.69	39.26	38.78	0.48	39.74	19.59	39.85	Fa
„ 28 . .	9.6	30.61	39.56	39.12	0.44	40.00	19.51	39.51	Fa
April 13 . .	9.6	30.64	39.42	38.92	0.50	39.92	19.54	39.62	Fa
„ 28 . .	12.0	30.60	39.34	38.94	0.40	39.74	19.50	39.76	Fa
Mai 20 . .	9.8	30.64	39.25	38.94	0.31	39.56	19.54	39.98	Fa
Juni 9 . .	16.2	30.64	39.61	39.29	0.32	39.93	19.54	39.61	Fa
„ 24 . .	11.5	30.67	39.93	40.12	-0.19	39.74	19.57	39.83	Fa
Juli 22 . .	10.4	30.67	39.79	39.85	-0.06	39.73	19.57	39.84	Fa
August 24 . .	9.5	30.66	39.99	40.31	-0.32	39.67	19.56	39.89	Fa
September 12 . .	10.6	30.64	40.06	40.38	-0.32	39.74	19.54	39.80	Fa
Oktober 14 . .	10.6	30.62	40.60	41.30	-0.70	39.90	19.52	39.62	Fa
November 10 . .	9.9	30.60	40.53	41.16	-0.63	39.90	19.50	39.60	Fa
Dezember 10 . .	9.9	30.62	40.10	40.50	-0.40	39.70	19.52	39.82	Fa

Horizontalintensität. Wie im Vorjahre wurde ausschließlich mit Magnet 2 beobachtet, und zwar wurden 25 Messungen gemacht (Tab. II). Um Magnet 1 unter Kontrolle zu behalten, wurde auch mit diesem Magneten eine Messung ausgeführt. Die auf diesen absoluten Messungen beruhenden Basiswerte zeigen, wie im Vorjahre, dauernd fallende Werte. Besonders zu Beginn der warmen Jahreszeit tritt ein starkes Absinken der Basiswerte ein. Am 15. Juni wurde wieder eine Bestimmung der Ablenkungskonstanten von Magnet 2 ausgeführt. Dabei fand sich für den Ablenkungswinkel bei

$$e \sim 30 \text{ cm } B_0: 19^\circ 45:63 \quad E \sim 40 \text{ cm } B_0: 8^\circ 23:90$$

$$Bu: 46.02 \quad Bu: 23.83$$

(Nicht reduziert auf Ungleichheit der Entfernungen!)

Mit diesen Werten berechnet sich die Ablenkungsfunktion von M_2 für die beiden Lagen (Bezeichnung oben, Bezeichnung unten) zu

$$k_o = 1.01550, \quad k_u = 1.01598; \quad \text{Mittel: } k = 1.01574 \pm 0.00024.$$

Dieser Wert ist in guter Übereinstimmung mit dem vorjährigen¹⁾. Interessanter Weise ist auch diesmal wieder k_u größer als k_o , so daß man versucht sein könnte, doch einen systematischen Unterschied für beide Lagen festzustellen. Beide Werte von 1930 und 1931 ergeben für

$$k_o = 1.01548 \pm 2.10^{-5}, \quad k_u = 1.01586 \pm 12.10^{-5}$$

Natürlich bleibt nach wie vor noch die Möglichkeit instrumenteller Einflüsse bestehen. Zur Bestimmung der Torsion des Fadens im Schwingungskasten wurden mit M_2 drei, mit M_1 eine ausführliche Torsionsbestimmung gemacht. Dabei ergab sich bei Torsion um 360° für M_2 : 2.9013 ± 0.007 für M_1 : 1.920. Beide Werte sind in guter Übereinstimmung mit den Werten des Vorjahres²⁾. Für die Beurteilung der Genauigkeit der H-Messungen dienen die wieder im selben Sinne wie im Vorjahre²⁾ gemeinten Zahlen für M_2 im Jahresdurchschnitt:

$$\begin{aligned} \text{Ablenkungswinkel:} & \quad 0:04 \\ \text{Schwingungsdauer:} & \quad 0^{\circ}00012 \\ \text{Moment:} & \quad 0.03 \text{ } \Gamma \cdot \text{cm}^3 \\ \text{Horizontalfeldstärke:} & \quad 0:6 \end{aligned}$$

Man erkennt eine weitere nicht unerhebliche Verbesserung gegenüber den Zahlen des Vorjahres. Wegen der Verschiedenheit der v_0 -Einstellungen bei den H-Messungen in den beiden Lagen der Nadel wurde am 29. Juni eine Kollimationsbestimmung des Spiegels der Nadel ausgeführt. Dabei fand sich in Übereinstimmung mit diesen Differenzen der Wert: 7:54.

1) Vgl. Mag. Jahrbuch 1930, S. 6—7.

2) Vgl. Mag. Jahrbuch 1930, S. 7 oben.

Tabelle II. Absolute Messungen der Horizontalintensität mit Magnet 2.
Hilfsbasenänderungen und Sprünge s. Fußnote.

1931 Tag	Weltzeit	Lage	Reduzierter Ablenkungs- winkel	Reduzierte Schwingsungs- dauer	Moment	Mittel	Horizontal- intensität		Mittel	Beob.
							Γ	γ		
Januar 7.	10.5	Bo	19 42.46	4.72729	829.38	829.45	0.18492.7	0.18492.5	Fa	
			u	42.70	4.72693	52	492.3			
» 22.	11.0	Bo	19 42.71	4.727-4	829.47	829.49	0.18491.0	0.18491.3	Fa	
			u	42.73	4.72704	51	491.6			
Februar 6.	11.5	Bo	19 42.51	4.72790	829.29	829.36	0.18490.0	0.18488.8	Fa	
			u	42.88	4.72782	42	487.5			
» 24.	12.8	Bo	19 42.89	4.72812	829.38	829.42	0.18486.2	0.18487.2	Fa	
			u	42.86	4.72765	45	488.3			
März 10.	12.6	Bo	19 42.53	4.72820	829.24	829.24	0.18488.6	0.18489.6	Fa	
			u	42.41	4.72792	25	490.6			
» 25.	10.0	Bo	19 42.86	4.72805	829.38	829.41	0.18486.7	0.18487.0	Fa	
			u	42.91	4.72780	44	487.3			
April 13.	12.4	Bo	19 42.80	4.72894	829.20	829.23	0.18483.7	0.18484.8	Fa	
			u	42.74	4.72847	26	486.0			
» 28.	9.7	Bo	19 43.29	4.72988	829.20	829.20	0.18476.3	0.18476.4	Fa	
			u	43.30	4.72982	21	476.5			
Mai 8.	10.9	Bo	20 7.75	4.77698	829.12	829.14	0.18115.5	0.18114.8 ¹⁾	Fa	
			u	7.93	4.77706	17	114.0			
» 13.	10.5	Bo	19 46.18	4.73496	829.32	829.29	0.18434.0	0.18435.6 ²⁾	Fa	
			u	46.00	4.73472	26	437.2			
» 30.	10.9	Bo	19 45.38	4.73442	829.11	829.14	0.18443.0	0.18443.3	Fa	
			u	45.43	4.73416	17	443.6			
Juni 15.	14.4	Bo	19 45.76	4.73525	829.09	829.14	0.18437.0	0.18437.4	Fa	
			u	45.87	4.73485	20	437.7			
» 29.	10.3	Bo	19 45.65	4.73476	829.14	829.12	0.18439.7	0.18439.4	Fa	
			u	45.62	4.73500	09	439.0			
Juli 14.	10.9	Bo	19 45.46	4.73480	829.07	829.05	0.18440.9	0.18440.4	Fa	
			u	45.47	4.73504	03	439.9			
» 29.	10.7	Bo	19 45.47	4.73547	828.96	828.96	0.18438.3	0.18438.0	Fa	
			u	45.50	4.73554	95	437.7			
August 13.	11.0	Bo	19 45.51	4.73563	828.94	828.94	0.18437.2	0.18437.6	Fa	
			u	45.48	4.73552	95	438.0			
» 20.	11.8	Bo	19 45.55	4.73565	828.95	829.00	0.18437.0	0.18437.2	Fa	
			u	45.65	4.73532	829.04	437.5			
September 7.	10.9	Bo	19 45.59	4.73584	828.93	828.94	0.18435.9	0.18435.4	Fa	
			u	45.70	4.73585	96	435.0			
» 26.	11.1	Bo	19 45.69	4.73636	828.87	828.92	0.18433.2	0.18433.0 ³⁾	Fa	
			u	45.84	4.73616	96	432.8			
Oktober 2.	10.9	Bo	19 45.86	4.73602	828.99	828.97	0.18433.2	0.18432.6	Fa	
			u	45.87	4.73628	95	432.1			
» 10.	10.7	Bo	19 46.25	4.73723	828.91	828.92	0.18425.5	0.18426.2 ⁴⁾	Fa	
			u	46.19	4.73697	94	426.9			
» 24.	9.4	Bo	19 44.89	4.73447	828.94	828.96	0.18446.5	0.18445.8 ⁵⁾	Fa	
			u	45.03	4.73454	97	445.1			
November 10.	12.6	Bo	19 45.04	4.73496	828.90	828.92	0.18443.6	0.18444.2	Fa	
			u	45.00	4.73470	93	444.8			
Dezember 3.	12.2	Bo	19 44.67	4.73494	828.95	828.93	0.18449.6	0.18448.5	Fa	
			u	44.79	4.73444	91	447.3			
» 18.	11.6	Bo	19 44.77	4.73448	828.89	828.84	0.18447.3	0.18445.9	Fa	
			u	44.81	4.73514	79	444.5			
Jahres-Mittel 829.12										

Messung mit Magnet 1.

November 12	11 ^h .4	Bo	20 31.42	4.68843	860.43	860.46	0.18447.3	0.18447.2	Fa
		u	31.52	4.68834	48	447.0			
Hilfsbasen: D: 80, H: 20, T: 60, von Januar 7. — Mai 8. D: 80, H: 120, T: 120, Oktober 10.									
D: 80, H: 80, T: 60, „ Mai 13. — September 7. D: 80, H: 20, T: 50, von Oktober 24. — Dezember 18.									
D: 80, H: 120, T: 0, „ September 26. — Oktober 2.									

1) Übergang zum oberen H-Punkt.

2) Temperaturverstellung und Hilfsbasenänderung.

3) Hilfsbasenänderung.

4) Temperaturverstellung und Hilfsbasenänderung.

5) Übergang zum oberen H-Punkt und Hilfsbasenänderung.

Inklination. Über die absoluten Inklinationsmessungen mit Erdinduktor Schulze I gibt Tab. III Auskunft. Für den Unterschied der Ablesungen bei den beiden entgegengesetzten Kurbeldrehungen ergab sich im Jahresdurchschnitt bei Kreislage Ost $-1:36 \pm 0:06$ bei Kreislage West $1:66 \pm 0:06$ im Sinne Drehung + weniger Drehung —. Der Unterschied zwischen den in beiden Kreislagen erhaltenen vollständig reduzierten Werten beträgt im Sinne Kreislage West — Kreislage Ost $0:47 \pm 0:03$ ebenfalls im Jahresdurchschnitt. Zur Beurteilung der Genauigkeit der I-Mes-

sungen sei, in analoger Weise wie bei den H-Messungen, die Hälfte der Winkeldifferenz zwischen Kreislage Ost und West angegeben, wobei natürlich die konstante Winkeldifferenz von 0:47 eliminiert wurde. Diese Zahl war im Durchschnitt für das Jahr 1931: 0:06.

Tabelle III. Absolute Messungen der Inklination in Seddin.
Hilfsbasen s. unten.

1931 Tag	Weltzeit	Kreislage	Nadirpunkt	Reduzierte Inklinations- richtung	Inklination reduziert	Mittel	Induktor Schulze	Beob.	
Januar	7	14.0	Ost	180° 20:20	247° 8:06	66° 45:86	66° 45:66	I	Fa
			West	22.16	113 36.69	45.47			
„	31	9.7	Ost	180 22.25	247 8.30	66 46.05	66 45.86	I	Fa
			West	22.20	113 36.52	45.68			
Februar	27	9.6	Ost	180 22.95	247 8.98	66 46.03	66 45.88	I	Fa
			West	22.05	113 36.32	45.73			
März	20	16.0	Ost	180 22.84	247 8.94	66 46.10	66 45.94	I	Fa
			West	23.45	113 37.66	45.79			
„	25	12.5	Ost	180 22.87	247 9.10	66 46.23	66 46.08	I	Fa
			West	23.34	113 37.42	45.92			
April	21	12.4	Ost	180 24.10	247 10.63	66 46.53	66 46.35	I	Fa
			West	22.05	113 35.88	46.17			
Mai	8	14.0	Ost	180 22.96	247 33.60	67 10.64	67 10.75	I	1) Fa
			West	23.48	113 12.62	10.86			
„	20	12.2	Ost	180 22.83	247 11.04	66 48.81	66 48.64	I	2) Fa
			West	23.58	113 35.10	48.48			
Juni	9	18.6	Ost	180 28.04	247 15.38	66 47.34	66 47.10	I	Fa
			West	28.82	113 41.95	46.87			
„	24	13.6	Ost	180 28.06	247 14.99	66 46.93	66 46.72	I	Fa
			West	28.92	113 42.40	46.52			
Juli	14	12.7	Ost	180 27.89	247 15.36	66 47.47	66 47.22	I	Fa
			West	28.80	113 41.84	46.96			
„	22	12.5	Ost	180 27.98	247 16.08	66 48.10	66 47.86	I	Fa
			West	28.82	113 41.20	47.62			
August	13	12.9	Ost	180 27.98	247 15.08	66 47.90	66 47.58	I	Fa
			West	28.78	113 41.53	47.25			
„	24	12.0	Ost	180 27.90	247 16.20	66 48.30	66 47.96	I	Fa
			West	28.79	113 41.18	47.61			
„	29	16.5	Ost	180 28.08	247 18.01	66 49.93	66 48.94	I	Fa
			West	28.42	113 40.46	47.96			
September	7	14.5	Ost	180 27.99	247 16.19	66 48.20	66 48.02	I	Fa
			West	28.66	113 40.82	47.84			
„	12	12.9	Ost	180 28.75	247 17.00	66 48.25	66 48.02	I	Fa
			West	28.12	113 40.34	47.78			
„	26	13.4	Ost	180 28.45	247 17.20	66 48.75	66 48.45	I	3) Fa
			West	28.30	113 40.15	48.15			
Oktober	2	13.9	Ost	180 28.40	247 17.34	66 48.94	66 48.52	I	Fa
			West	28.25	113 40.16	48.09			
„	14	12.7	Ost	180 28.46	247 17.97	66 49.51	66 49.32	I	4) Fa
			West	28.30	113 39.16	49.14			
„	24	11.7	Ost	180 28.70	247 16.81	66 48.11	66 47.86	I	5) Fa
			West	28.06	113 40.46	47.60			
November	12	9.3	Ost	180 28.74	247 17.09	66 48.35	66 48.06	I	Fa
			West	28.00	113 40.24	47.76			
Dezember	3	10.1	Ost	180 28.11	247 16.44	66 48.33	66 48.10	I	Fa
			West	28.70	113 40.82	47.88			
„	18	9.2	Ost	180 28.10	247 16.48	66 48.38	66 48.07	I	Fa
			West	28.56	113 40.80	47.76			

Hilfsbasen siehe Fußnote bei Tabelle II. Hilfsbasis für Z dauernd unverändert 40.

1)–6) siehe die entsprechenden Zahlen bei Tabelle II.

Mit Hilfe der absoluten Messungen wurden nun durch geeignete Ausgleichung die Basiswerte des DH-Systems gewonnen. Eine Zusammenstellung dieser Werte gibt Tab. IV. Bei einem Vergleich mit den Tabellen I und II ist zu beachten, daß auch in diesem Jahre wie im vergangenen Jahre wieder die konstanten Korrekturen angebracht worden sind¹⁾. Diese sind für H: —7:6, für D: —0:90. Von diesen nunmehr endgültigen Basiswerten wurden dann mit Hilfe der täglichen Vergleiche beider Systeme die Basiswerte des Hauptsystems (X, Y, Z) abgeleitet.

1) Vgl. Jahrbuch 1929: S. 12 oben.

Tabelle IV. Basiswerte für das DH-System Seddin S-Raum an den Dekadentagen.

Tag			$D_n = s_0$	$H^1)$	Tag			$D_n = s_0$	$H^1)$	
			$-5^0 -$	Γ				$-5^0 -$	Γ	
				0.18+					0.18+	
1930	Dez.	28	40'.76	483.6	1931	Juli	6	40'.75	431.2	
1931	Jan.	7	77	484.2	»	16	76	76	430.9	
»	»	17	78	483.8	»	26	76	76	430.7	
»	»	27	79	483.0	Aug.	5	76	76	430.2	
Febr.	6	78	79	482.2	»	15	76	76	429.6	
»	16	76	76	481.5	»	25	76	76	428.8	
»	26	69	69	480.8	Sept.	4	72	72	427.9	
März	8	63	63	480.0	»	14	68	68	426.9	
»	18	58	58	479.2	»	24	62	62	426.0 ³⁾	
»	28	55	55	478.3	Okt.	4	57	57	438.6	
April	7	55	55	476.8	»	14	53	53	437.9	
»	17	58	58	474.5	»	24	52	52	437.6	
»	27	62	62	470.5	Nov.	3	51	51	437.8	
Mai	7	67	67	465.7 ²⁾	»	13	53	53	438.4	
»	17	72	72	436.4	»	23	58	58	439.1	
»	27	74	74	437.9	Dez.	3	64	64	439.5	
Juni	6	75	75	434.7	»	13	73	73	439.6	
»	16	75	75	433.2	»	23	80	80	439.4	
»	26	75	75	432.1	1932	Jan.	2	83	83	438.8

Diesen Basiswerten liegen die absoluten Messungen der Tabellen I und II zugrunde.

1) Hilfsbasis von 1930 Dez. 28 — 1931 Mai 7 $n' = 20$ $n\tau' = 60$
 1931 Mai 17 — 1931 Sept. 24 $n = 80$ $n = 60$
 1931 Okt. 4 — 1932 Jan. 2 $n = 20$ $n = 50$

2) Sprung um -29.4γ

3) $\ast \ast + 9.2\gamma$

Arbeiten und Beobachtungen am alten System in Seddin im Jahre 1931.

Von O. Venske.

Die Komponentenregistrierung im N-Raum des Instrumentenhauses hat während des ganzen Jahres zufriedenstellend gearbeitet. Nur am 13. Januar ging ein Teil der Waageregistrierung wegen falscher Lampenstellung verloren. Ferner registrierten das DH- und das XYZ-System des S-Raumes. Mit Hilfe des letzteren konnte die ausgefallene Registrierung ergänzt werden. Ende Juni fand eine Ausbesserung der Dächer des Instrumenten- und des Absoluten Hauses statt, da es mehrfach eingeregnet hatte. Eine Störung ist indessen dadurch nicht entstanden. Die Bedienung der Registrierapparate und die zugehörigen Ablesungen lagen wie im Vorjahr in den Händen von Herrn Förster Hillebrand und Frau Hauswart Derdey.

Die Instrumente. Bei dem Y-Instrument wurde am 7. Oktober der Torsionskopf von $189^p 72:6$ auf $189^p 81:7$ verstellt. Dadurch sank der registrierende Punkt um 23.2 mm.

Das X-Instrument und die Waage konnten, abgesehen von dem Wechsel der Trockensubstanz, der am Januar 26, April 1, Mai 27, Juli 30, Oktober 7 und Dezember 9 stattfand, unberührt bleiben.

Aus der Temperaturregistrierung des Y-Instrumentes und der Waage war die Temperatur in Celsius-Graden zu entnehmen nach der Formel

$$T = 10^{\circ}31 + 0.0755 \left(n_u^y + 51 \right) = 10^{\circ}31 + 0.0755 \left(n_0^y - 155 \right)$$

bzw.

$$T = 12.02 + 0.0988 \left(n_u^z + 34.5 \right) = 12^{\circ}02 + 0.0988 \left(n_0^z - 127.0 \right)$$

Hier bedeutet n_u bzw. n_0 die Ordinate der unteren bzw. oberen Temperaturkurve, ausgedrückt in mm.

Beim D-Instrument wurden die Ablenkungskreise, um sie parallel zum magnetischen Meridian zu erhalten, am 1. April von $85^{\circ}5$ auf $85^{\circ}8$ gestellt. Ferner wurde am 9. Dezember der Torsionskopf von 357° auf 287° gedreht. Dadurch stieg der registrierende Punkt um $+49.0$ mm, so daß seitdem die Komponente $0.000291 \times HD'_w - 0.054 \Delta H^v$ aufgezeichnet wurde.

Beim Registrierapparat waren Nachhilfen nicht erforderlich. Nur das Skalenwertsbrett mußte Mitte des Jahres überholt werden, da die Kontakte anfangen, unzuverlässig zu werden.

Die XYZ-Südraum-Aufstellung blieb bis auf eine Aufhellung des Waagepunktes am 27. Mai unberührt.

Die Störungen, welche sich an der Y-Registrierung nach Eröffnung des elektrischen Betriebes auf der Berliner Stadtbahn bemerkbar machten, haben in unveränderter Stärke auch während des Berichtsjahres fortbestanden.

Die Skalenwerte. Die Skalenwertsbestimmungen fanden wie in den früheren Jahren nach der galvanischen Methode statt. Dabei diente wiederum das D-Variometer des Nordraumes als Bezugsinstrument. Sein Skalenwert für 1^p der Glasskala, der wegen der Abnahme der Horizontalintensität ständig zurückgeht, wurde gleich 0.982 γ angesetzt. Es haben im ganzen sechs Skalenwertsbestimmungen stattgefunden, die zugleich mit der letzten des vorausgehenden und der ersten des folgenden Jahres in nachstehender Übersicht zusammengestellt sind:

Beobachtete Skalenwerte.

	ϵ_x	ϵ_y	ϵ_z		ϵ_x	ϵ_y	ϵ_z
	γ	γ	γ		γ	γ	γ
1930 Nov. 10	2.14	2.24	2.54	1931 Juli 30	2.17	2.23	2.46
1931 Jan. 26	2.08	2.15	2.52	Okt. 7	2.13	2.23	2.50
April 1	2.15	2.20	2.53	Dez. 9	2.12	2.16	2.50
Mai 27	2.14	2.26	2.46	1932 Febr. 4	2.10	2.13	2.49

Auf Grund dieser Beobachtungen wurden die ausgeglichenen Skalenwerte folgendermaßen angesetzt:

Ausgeglichene Skalenwerte.

	ϵ_x	ϵ_y	ϵ_z		ϵ_x	ϵ_y	ϵ_z
	γ	γ	γ		γ	γ	γ
1931 Jan.	2.10	2.19	2.52	1931 Juni, Juli	2.14	2.22	2.48
Febr., März	2.11	2.19	2.52	Aug., Sept.	2.14	2.22	2.49
April	2.12	2.20	2.51	Okt., Nov.	2.13	2.20	2.50
Mai	2.12	2.20	2.50	Dez.	2.12	2.19	2.50

Im Jahresmittel ist $\epsilon_x=2\gamma125$ und $\epsilon_y=2\gamma203$ gegen $\epsilon_x=2\gamma098$ und $\epsilon_y=2\gamma188$ im Vorjahr.

Die Basiswerte. Den Basiswerten des XYZ-Systems liegen für die Horizontalkomponenten X und Y die Basiswerte des DH-Systems (Südzimmer) zu Grunde (Tab. IV.). Aus diesen Werten wurde mit Hilfe der Vergleiche beider Systeme (ungestörte Nachtstunden 1-2, 2-3) die rohen Basiswerte für X und Y abgeleitet, die dann nach einer nochmaligen Ausgleiche die endgültigen Basiswerte liefern (Tab. V). Die I-Messungen (Tab. III) liefern kombiniert mit den entsprechenden Werten von H aus Tab. II direkt die Basiswerte für die Waage des Nordsystems. Diese Werte mußten z. T. einige nicht unerhebliche Korrekturen erfahren, da die Waage, wie schon im Vorjahr, bei Eintritt der warmen Jahreszeit einen sehr starken Gang aufwies, dessen sichere Kontrolle erhebliche Schwierigkeiten bereitete. Die endgültig benutzten Basiswerte für Z sind ebenfalls aus Tab. V zu ersehen.

Tabelle V. Ausgegliche Basiswerte für das XYZ-System
Seddin N-Raum um 15^h an den Dekadentagen.

Tag	X ₄₀	Y ₄₀	Z ₄₀	Tag	X ₄₀	Y ₄₀	Z ₄₀
	Γ 0.183+	Γ -0.018+	Γ 0.431+		Γ 0.183+	Γ -0.018+	Γ 0.431+
	Υ	Υ	Υ		Υ	Υ	Υ
1930 Dez. 28	24.4	02.7	04.8	1931 Juli 6	22.3	04.3	-63.8
1931 Jan. 7	24.6	02.8	04.0	» 16	22.1	04.9	-63.6
» 17	25.1	02.9	03.2	» 26	21.8 ¹⁾	05.4 ²⁾	-63.4
» 27	25.4	03.0	04.4	Aug. 5	27.0	01.5	-63.2
Febr. 6	25.5	03.1	05.2	» 15	27.0	01.7	-63.0
» 16	25.4	03.1	06.0	» 25	27.0	01.8	-57.7
» 26	25.3	03.1	06.8	Sept. 4	27.0	02.0	-51.4
März 8	25.2	03.2	04.1	» 14	27.1	02.0	-51.0
» 18	25.1	03.2	03.8	» 24	27.7	02.0	-50.9
» 28	24.8	03.2	01.6	Okt. 4	29.0	02.0 ³⁾	-49.5
April 7	24.6	03.2	-01.8	» 14	30.2	50.0	-47.9
» 17	24.4	03.3	-03.4	» 24	31.2	49.9	-43.9
» 27	24.1	03.4	-05.0	Nov. 3	32.4	49.8	-40.3
Mai 7	23.8	03.5	-06.6	» 13	33.6	49.7	-40.6
» 17	23.4	03.6	-14.0	» 23	35.3	49.5	-45.1
» 27	23.2	03.7	-46.3	Dez. 3	36.7	49.3	-45.9
Juni 6	23.0	03.9	-81.1	» 13	37.8	49.1	-45.2
» 16	22.8	04.1	-72.5	» 23	38.4	48.9	-41.4
» 26	22.6	04.2	-64.0	1932 Jan. 2	38.7	48.6	-40.7

1) Juli 30. 10^h-24^h Anstieg des Basiswertes um +5.3 γ .

2) Juli 30. 10^h-24^h Anstieg des Basiswertes um -4.0 γ .

3) Okt. 7. 12^h Sprung um +48.0 γ .

Ergebnisse.

Erläuterungen und Ergänzungen zu den Tabellen.

Allgemeines. X zählt nach Norden, Y nach Osten und Z nach unten als positiv. Dementsprechend ist positiv eine östlich gezählte Deklination und eine nördliche Inklination. Zur Zeit ist die Deklination in Seddin noch westlich, also negativ. Alle Zeitangaben bedeuten, wenn nichts anderes bemerkt ist, Weltzeit, d. h. Gr. M. Z. In dieser Zeit gilt 0^h als Mitternacht.

Alle Zahlen der Tabellen S. 17 bis 23 sind aus Mitteln der ganzen Kurvenstrecken zwischen zwei vollen Stunden nach Gr. M. Z. abgeleitet, also auch die Tagesmittel und die Extreme. Die absoluten Maxima und Minima werden nicht bekanntgegeben. Der Vergleichbarkeit wegen mit Observatorien, die noch nach Einzelwerten zu vollen Stunden veröffentlichen, enthalten die Seiten 24 bis 26 auch die Monats- und Jahresmittel nach stündlichen Werten. Über die Ableitung der stündlichen Werte aus Stundenmittelzahlen vgl. Erg. 1905, S. 40—43; hier findet sich auch der Einfluß dieses Überganges auf die harmonische Analyse.

Großfette Ziffern bedeuten Maximal-, kleinfette Minimalwerte der betreffenden Größe.

Die **Potsdamer Werte** erhält man aus den Seddiner durch Zufügen von

$$\begin{array}{ccccccc} \text{in X} & \text{in Y} & \text{in Z} & \text{in D} & \text{in H} & \text{in I} & \text{in F} \\ -36.0 \gamma & +13.0 \gamma & +15.0 \gamma & +1.30 & -38.0 \gamma & +3.00 & -2.0 \gamma \end{array}$$

Jährlicher Gang. Nachstehende Tabelle VI gibt den jährlichen Gang aller Elemente und Komponenten einschließlich des Anteils der Säkularvariation in der Form von Abweichungen der Monatsmittel vom Jahresdurchschnitt.

Tabelle VI.

1931	Januar	Februar	März	April	Mai	Juni	Juli	August	Septbr.	Oktbr.	Novbr.	Dezbr.
D	- 4.86	- 4.02	- 3.32	- 2.36	- 1.42	- 0.36	+ 0.18	+ 1.25	+ 2.27	+ 3.49	+ 4.19	+ 4.98
I	- 0.74	- 0.45	- 0.48	- 0.89	- 1.15	- 0.66	- 0.57	- 0.08	+ 0.59	+ 1.69	+ 1.52	+ 1.18
H	+ 9.0	+ 5.7	+ 5.0	+ 7.6	+ 12.0	+ 7.2	+ 5.1	- 0.7	- 7.6	- 19.4	- 13.7	- 10.1
F	- 0.5	+ 0.3	- 2.3	- 9.1	- 6.2	- 2.8	- 5.1	- 4.2	- 0.3	+ 4.8	+ 13.5	+ 12.3
X	+ 6.5	+ 3.6	+ 3.3	+ 6.4	+ 11.2	+ 7.0	+ 5.2	0.0	- 6.4	- 17.5	- 11.5	- 7.5
Y	- 26.9	- 22.1	- 18.3	- 13.4	- 8.8	- 2.7	+ 0.4	+ 6.7	+ 12.8	+ 20.4	+ 23.6	+ 27.5
Z	- 4.4	- 2.2	- 4.7	- 13.2	- 11.9	- 6.1	- 7.7	- 4.2	+ 2.9	+ 13.5	+ 20.6	+ 17.6

Extreme Stundenmittel und Amplituden. Die nachstehende Tabelle VII gibt eine übersichtliche Zusammenstellung der äußersten und des mittleren Wertes der Stundenmittel im Monat, sowie der Amplituden zwischen den höchsten und niedrigsten Beträgen dieser Stundenmittel.

Aktivität. In den Tabellen S. 17 bis 19 bedeuten die Zahlen unter n den von Herrn Professor Venske festgesetzten Charakter des ganzen Tages in der internationalen Skala 0 bis 2. ν ist die laut Katalog von De Bilt (Tableau II) für die ganze Erde gültige mittlere Charakterzahl des Tages in derselben Zählung. α bedeutet die Aktivität in Seddin, definiert als Summe der Tagesamplituden der drei Komponenten (Stundenmittel).

Seit 1921 wird die Aktivität an dieser Stelle noch in einer anderen Weise zahlenmäßig erfaßt, nämlich als die interdiurne Änderung (von Tagesanfang zu Tagesanfang, gültig für die Mitte des zwischenliegenden Tages) der Tagesmittel der Nordkomponente X, multipliziert mit $\text{cosec } \theta \sec \psi$, worin θ die magnetische Breite gegen die Achse durch den Nordlichtpol und ψ den Winkel des magnetischen gegenüber dem astronomischen Meridian bedeutet, das Ganze noch multipliziert mit 10^{-2} . Als Nordlichtpol gilt der Austrittspunkt jenes Erddurchmessers aus der Erdoberfläche, der der Achse des quasi-homogenen Felds parallel ist, also kurz gesagt, der nördliche magnetische Achsenpunkt der Erde. Er liegt unter der Länge 291° östl. v. Gr. und 78.95 nördl. Breite.

Für Seddin ist der Reduktionsfaktor 0.01745. Die sich derartig ergebenden Zahlen u waren:

1931	Jan.	Febr.	März	April	Mai	Juni	Juli	Aug.	Sept.	Okt.	Nov.	Dez.	Jahr
u	0.56	0.84	0.53	0.73	0.85	0.89	0.57	0.73	1.03	1.15	0.78	0.52	0.76

Sie gelten für die ganze Erde, und zwar für das System des Ringstromes. Über die Einführung der Zahlen vgl. Erg. 1921, S. 6—7 und J. Bartels, Erdmagnetische Aktivität 1836—1923 in Abhdl. d. Meteorol. Inst. Lfd. Nr. 332, Berlin 1925.

Auf der Tagung der Internationalen Kommission für Erdmagnetismus und Luftelektrizität im September 1931 in Innsbruck wurde auf Vorschlag von Dr. Crichton Mitchell eine neue Aktivitätszahl eingeführt, welche die Bezeichnung „S“ erhielt. Sie ist definiert durch

$$S = (XR_x + YR_y + ZR_z) : 10000.$$

Tabelle VII.

Monat	Nordkomponente				Ostkomponente				Vertikalkomponente			
	Tages-				Tages-				Tages-			
	Mittel	Max.	Min.	Ampl.	Mittel	Max.	Min.	Ampl.	Mittel	Max.	Min.	Ampl.
1931	Γ 0.183+	Γ 0.183+	Γ 0.183+	γ	Γ -0.018+	Γ -0.018+	Γ -0.018+	γ	Γ 0.431+	Γ 0.431+	Γ 0.431+	γ
Januar												
Höchster Wert . . .	81.8	102	78	74	18.1	90	04	91	06.6	23	01	30
Mittlerer » . . .	71.6	82	57	25	10.8	33	-04	37	01.9	08	-03	11
Niedrigster » . . .	59.1	69	18	8	05.3	10	-20	9	-02.5	01	-12	4
Februar												
Höchster Wert . . .	81.6	118	72	108	24.0	84	07	114	21.9	84	08	99
Mittlerer » . . .	68.7	84	51	33	15.6	39	-05	44	04.1	13	-04	17
Niedrigster » . . .	47.8	75	-10	9	11.5	17	-42	18	-04.0	02	-24	4
März												
Höchster Wert . . .	75.8	120	57	77	27.0	84	02	95	07.0	24	00	34
Mittlerer » . . .	68.4	85	45	40	19.4	43	-09	52	01.6	09	-08	17
Niedrigster » . . .	59.6	71	31	20	14.4	25	-28	32	-02.8	04	-20	6
April												
Höchster Wert . . .	79.3	110	64	88	29.8	75	06	87	02.8	22	-12	40
Mittlerer » . . .	71.5	88	46	42	24.3	50	-08	58	-06.9	02	-23	25
Niedrigster » . . .	62.0	76	-11	18	20.3	43	-20	39	-13.0	-07	-33	15
Mai												
Höchster Wert . . .	89.2	120	78	113	36.6	79	12	82	10.4	24	-04	56
Mittlerer » . . .	76.3	93	52	42	28.9	56	-03	58	-05.6	06	-22	28
Niedrigster » . . .	64.2	76	07	20	20.9	34	-18	25	-19.3	-06	-48	14
Juni												
Höchster Wert . . .	85.0	115	63	93	40.1	80	21	97	17.0	45	-02	52
Mittlerer » . . .	72.1	93	43	50	35.0	66	02	64	00.2	12	-16	27
Niedrigster » . . .	48.8	81	-02	32	28.2	57	-22	36	-05.5	02	-34	13
Juli												
Höchster Wert . . .	80.7	116	58	80	46.3	79	19	79	05.0	42	-03	64
Mittlerer » . . .	70.3	89	39	51	38.1	66	04	61	-01.4	09	-15	24
Niedrigster » . . .	58.5	73	-01	29	32.2	58	-14	48	-07.2	00	-29	16
August												
Höchster Wert . . .	73.0	101	58	89	50.6	91	31	80	14.4	35	04	48
Mittlerer » . . .	65.1	85	38	48	44.4	70	12	57	02.1	14	-12	27
Niedrigster » . . .	55.4	72	08	24	38.3	60	-10	30	-05.4	04	-26	9
September												
Höchster Wert . . .	76.1	114	56	113	57.0	108	38	94	18.5	51	07	58
Mittlerer » . . .	58.7	85	29	56	50.5	79	18	61	09.2	22	-06	28
Niedrigster » . . .	44.0	69	-19	25	39.0	62	-01	29	03.0	11	-24	12
Oktober												
Höchster Wert . . .	59.5	86	40	135	74.4	155	38	153	51.1	163	29	154
Mittlerer » . . .	47.6	72	17	55	58.1	94	29	65	19.8	37	05	33
Niedrigster » . . .	05.5	60	-78	28	51.7	66	02	31	10.5	16	-31	11
November												
Höchster Wert . . .	69.2	99	54	98	68.4	127	51	98	33.7	68	27	58
Mittlerer » . . .	53.6	76	30	47	61.3	88	41	48	26.9	39	16	22
Niedrigster » . . .	42.4	65	-18	15	54.5	66	26	17	16.9	21	03	7
Dezember												
Höchster Wert . . .	67.1	96	59	72	70.9	133	57	90	31.1	54	23	45
Mittlerer » . . .	57.6	76	39	36	65.2	89	48	40	23.9	34	16	18
Niedrigster » . . .	48.5	63	07	9	61.4	66	35	13	15.2	25	-06	4
Jahr												
Höchster Wert . . .	89.2	120	78	135	74.4	155	57	153	51.1	163	29	154
Mittlerer » . . .	65.1	84	40	44	37.6	64	10	54	06.3	17	-06	23
Niedrigster » . . .	05.5	60	-78	8	05.3	10	-42	9	-19.3	-07	-48	4

Bei der Bekanntgabe der Werte S für 1930 im vorigen Jahrgang wurden für R_x , R_y , R_z die absoluten Unterschiede zwischen dem höchsten und niedrigsten Stundenmittelwert jeden Tages genommen. Die anderen teilnehmenden Observatorien wählten jedoch die Unterschiede zwischen den registrierten absoluten Extremeinzelwerten. Der Vergleichbarkeit wegen sind daher die Zahlen für 1930 in diesem Hefte noch einmal in dieser Bedeutung gegeben und jene für 1931 von vornherein in die neue Form gebracht worden. Die Komponenten sind in γ auszudrücken. Jede Teilsumme ist durch 10000 dividiert auf ganze Zahlen abzurunden. X, Y, Z sollen auf der ganzen Erde überall positiv angesetzt werden und für das ganze Jahr auf die drei ersten Stellen abgerundet werden.

Für 1931 war $X = 18400$, $Y = 1800$, $Z = 43100$.

Angegeben ist für jeden Tag $XR_x : 10000$, $YR_y : 10000$, $ZR_z : 10000$ und deren Summe S.

Indem sich das Potsdamer Observatorium hiermit einem internationalen Beschluß fügt, kann es jedoch die neuen Aktivitätszahlen nicht mit großen Hoffnungen begrüßen. Die alten Zahlen n , ν , α und vornehmlich die Werte u der interdiurnen Veränderlichkeit sind ein bedeutend besseres Maß der Aktivität.

Ruhige und gestörte Tage. Die nach dem Katalog von De Bilt als ruhig bezeichneten Tage jedes Monats tragen als Kennzeichen ein *, die fünf ausgesuchten gestörten Tage (meist nicht die am meisten gestörten Tage erfassend) ein †. Sie sind in Mittel zusammengefaßt und für sich bearbeitet worden.

Einfluß des Mondes. Die Ableitung des Mondeinflusses erfolgte in derselben Weise wie in den letzten 10 Jahren (vgl. Erg. 1922, S. 28 u. f.), und zwar unter Ausscheiden aller Tage, deren internationale Charakterzahl ν über 1.1 hinausgeht; diese Tage sind in der untenstehenden Tabelle eingeklammert.

Als Ausgangswert für die Gruppierung der Tage dienten $\mu_0 = 14.2$, $\pi_0 + \mu_0 = 8.3$, $\rho_0 + \mu_0 = 17.4$.

Diese Zahlen sind den Tabellen in Erg. 1922, S. 8 und 29 entnommen. Für die einzelnen Tage ergeben sich daraus folgende Werte für μ = Anzahl der Mondstunden, um welche die obere Kulmination des Mondes vor jener der Sonne eintritt (μ_0 ist dieser Wert im Gr. M. Mittag am 1. Januar 1931).

Tab. VIII. Die Zahlen μ für jeden Tag des Jahres 1931.

1931	1	2	3	4	5	6	7	8	9	10	11	12	13	14	15	16	17	18	19	20	21	22	23	24	25	26	27	28	29	30	31	
Januar	.14	13	13	12	11	10	9	9	8	7	6	5	4	4	3	(2)	(1)	(0)	0	23	22	21	20	20	(19)	18	17	16	15	15	14	
Februar	13	12	11	11	10	9	8	7	7	6	5	4	(3)	(2)	(2)	1	0	23	22	22	21	20	19	(18)	(18)	(17)	16	15				
März	...14	13	13	12	11	10	9	9	8	7	6	(5)	(5)	4	3	2	1	0	23	(22)	(22)	21	20	19	18	18	17	16	16	15	14	14
April	...13	12	11	11	10	9	8	7	7	6	5	4	3	3	2	1	0	23	(22)	(22)	21	20	19	18	18	17	16	15	14	13		
Mai	...13	12	11	10	9	9	(8)	7	6	5	5	4	(3)	(2)	(1)	0	0	23	22	21	20	20	19	18	17	16	15	14	13	12		
Juni	..(11)	(11)	10	9	8	7	7	6	(5)	4	3	3	2	1	0	23	22	22	21	20	19	18	18	17	16	(15)	(14)	(14)	13	12		
Juli	...11	10	9	9	8	7	6	5	4	3	2	1	1	0	23	22	21	20	20	19	18	(17)	16	(16)	15	14	(13)	12	12	11		
August	.10	9	8	7	7	6	5	(4)	(3)	3	2	1	0	23	23	22	21	20	19	(18)	(18)	17	16	15	(14)	14	13	12	11	10	10	
Sept.	.. 9	8	7	(6)	5	(5)	4	3	2	1	1	0	23	22	(21)	(21)	(20)	19	18	17	16	16	15	14	13	12	12	11	10	9		
Okt.	... (8)	(8)	7	(6)	(5)	4	3	3	2	1	0	(23)	(23)	22	21	20	19	(19)	18	17	16	15	14	14	13	12	11	(10)	(10)	(9)	8	
Nov.	... 7	6	6	(5)	(4)	(3)	2	(1)	1	0	23	22	21	21	(20)	(19)	18	(17)	17	16	15	14	13	12	12	(11)	10	9	8	8		
Dez.	... 7	(6)	(5)	(4)	(4)	3	2	1	0	23	(23)	22	21	20	19	19	18	17	16	15	15	14	13	12	11	10	10	9	(8)	(7)	6	

π bedeutet den Abstand des mittleren Mondes vom Perigäum, ρ vom aufsteigenden Knoten längs seiner Bahn, beides in Mondstunden. Die eingeklammerten Tage sind die ausgelassenen gestörten.

Harmonische Analyse. Für die Entwicklung der mittleren täglichen Gänge der drei Komponenten des erdmagnetischen Feldes kam der Ansatz zur Anwendung:

$\Delta E = \sum_n (a_n \cos n\omega t + b_n \sin n\omega t)$ mit $\omega = 15^\circ$ und t in Stunden. Epoche ist 0^h M. Gr. Z. Das Material bilden die 24 einzelnen Werte zu den Augenblicken der vollen Stunden, abgeleitet nach Erg. 1911, S. 39 aus den Gängen der Stundenmittel. Die Rechnung beschränkt sich auf die Mittel aus allen und aus den fünf internationalen ruhigen Tagen.

Transformationsformeln. Zur Berechnung der Variationen der Elemente aus denen der Komponenten und umgekehrt gelten 1931 folgende numerische Formeln:

$$\begin{aligned} \Delta D &= 5.37 \cdot \Delta D' & \Delta D' &= 0.1863 \cdot \Delta D \\ \Delta I &= 13.64 \cdot \Delta I' & \Delta I' &= 0.0733 \cdot \Delta I \end{aligned}$$

$$\begin{aligned} \Delta H &= 0.393 \cdot \Delta F - 0.919 \cdot \Delta I & \Delta X &= 0.995 \cdot \Delta H + 0.0956 \cdot \Delta D \\ \Delta H &= 0.995 \cdot \Delta X - 0.0956 \cdot \Delta Y & \Delta Y &= -0.0956 \cdot \Delta H + 0.995 \cdot \Delta D \\ \Delta D &= 0.0956 \cdot \Delta X + 0.995 \cdot \Delta Y & \Delta Z &= 0.919 \cdot \Delta F + 0.393 \cdot \Delta I \\ \Delta I &= -0.919 \cdot \Delta H + 0.393 \cdot \Delta Z & \Delta Z &= 2.34 \cdot \Delta H + 2.54 \cdot \Delta I \\ \Delta F &= 0.393 \cdot \Delta H + 0.919 \cdot \Delta Z & \Delta F &= 2.54 \cdot \Delta H + 2.34 \cdot \Delta I \end{aligned}$$

ΔD ist die Variation in der magnetisch West-Ost gerichteten Komponente, also die Deklinationsvariation in γ , ΔI die Variation in der Komponente senkrecht gegen die Totalintensität, also die Inklinationsvariation in γ .

Ergebnisse der Beobachtungen im Jahre 1931.

Seddin.

Variationshaus: $\varphi = 52^{\circ} 16'.7$, $\lambda = 13^{\circ} 0'.6 = 0^h 52^m 2^s.4$ E. v. Grw. 45 m über N. N.

1931	Januar	Februar	März	April	Mai	Juni	Juli	August	Septbr.	Oktbr.	Novbr.	Dezbr.	Jahr	
D	-5 ⁰ -	33.75	32.91	32.21	31.25	30.31	29.25	28.71	27.64	26.62	25.40	24.70	23.91	28.89
I	+66 ⁰ +	49.01	49.30	49.27	48.86	48.60	49.09	49.18	49.67	50.34	51.44	51.27	50.93	49.75
H	0.18+	458.5	455.2	454.5	457.1	461.5	456.7	454.6	448.8	441.9	430.1	435.8	439.4	449.5
F	0.46+	888.0	888.8	886.2	879.4	882.3	885.7	883.4	884.3	888.2	893.3	902.0	900.8	888.5
X	+0.18+	371.6	368.7	368.4	371.5	376.3	372.1	370.3	365.1	358.7	347.6	353.6	357.6	365.1
Y	-0.01-	789.2	784.4	780.6	775.7	771.1	765.0	761.9	755.6	749.5	741.9	738.7	734.8	762.3
Z	+0.43+	101.9	104.1	101.6	093.1	094.4	100.2	098.6	102.1	109.2	119.8	126.9	123.9	106.3

Normalwerte für den Jahresanfang, d. h. Mittelwerte für die Zeit von Anfang Juli 1930 bis Ende Juni 1931.

1931.0	D	I	H	F	X	Y	Z
Seddin	-5 ⁰ 33'.88	66 ⁰ 48'.88	0.18453.8	0.46871.9	0.18366.9	-0.01789.4	0.43086.3
Potsdam	32.58	51.81	415.8	869.9	330.9	776.4	101.3

Mittlerer fortschreitender Gang an allen, an den ruhigen und an den gestörten Tagen jedes Monats

1931	Januar	Februar	März	April	Mai	Juni	Juli	August	Septbr.	Oktbr.	Novbr.	Dezbr.	Jahr	
X	A. T.	-0.1	-0.2	+0.1	+0.1	0.0	-0.1	-0.2	0.0	-0.5	-0.3	+0.8	-0.3	-0.1
	R. T.	+2.9	+3.2	+3.1	+1.6	+5.4	+3.9	+2.6	+7.6	+5.3	+2.7	+0.4	+2.0	+3.4
	S. T.	-11.7	-3.2	-5.1	-10.4	-3.2	-3.6	-2.1	-8.7	-9.2	-10.6	-6.5	-0.6	-6.2
Y	A. T.	+0.3	+0.1	0.0	+0.2	+0.1	+0.2	+0.1	+0.2	+0.1	+0.5	-0.2	+0.4	+0.2
	R. T.	-0.4	-2.4	-1.6	+0.7	+3.0	-4.0	-0.5	-1.6	-1.3	+0.5	-2.7	-0.3	-0.9
	S. T.	-1.1	+4.4	-2.1	+2.5	+1.3	-5.4	+0.3	-1.0	-2.2	+6.1	+0.6	+2.2	+0.5
Z	A. T.	-0.1	+0.1	-0.2	-0.3	+0.6	-0.2	-0.1	+0.1	+0.2	+0.8	-0.6	+0.3	0.0
	R. T.	-1.6	-1.3	-0.6	-1.0	-1.5	-1.7	-1.6	-0.8	-0.8	+0.2	+2.0	-0.8	-0.8
	S. T.	-0.2	-1.3	+0.6	+2.3	-0.4	-1.1	-1.6	+0.3	+1.8	-6.8	-2.6	+0.9	-0.7

Mittlere und äußerste Werte der Tages-Mittel, Extreme und Amplituden während des ganzen Jahres.

1931	X - 18300 γ				Y + 1800 γ				Z - 43100 γ			
	Mittel	Max.	Min.	Ampl.	Mittel	Max.	Min.	Ampl.	Mittel	Max.	Min.	Ampl.
Mittlerer Wert	65.1	84	40	44	37.6	64	10	54	06.3	17	-06	23
Höchster *	89.2	120	78	135	74.4	155	57	153	51.1	163	29	154
Niedrigster *	05.5	60	-78	8	05.3	10	-42	9	-19.3	-07	-48	4

Die als relatives Maß der Aktivität der einzelnen Tage unter der Bezeichnung α angegebene Summe der Amplituden der drei Komponenten hatte während des Jahres den mittleren Betrag 121; der höchste Wert war 442 am 29. Oktober, der niedrigste 23 am 3. Januar.

Abweichung der fortlaufend gebildeten Tagesmittel vom Normalwert.

Seddin

Weltzeit

1931

Tag	Stunde	Januar						Februar						März						April					
		I			II			I			II			I			II			I			II		
		X	Y	Z	X	Y	Z	X	Y	Z	X	Y	Z	X	Y	Z	X	Y	Z	X	Y	Z	X	Y	Z
1 16	0	95	-45	209	99	-73	116	67	-14	148	-35	41	167	22	-24	155	44	-36	99	68	-60	53	100	-33	-52
	6	95	-44	206	69	-21	134	82	-10	143	10	-19	129	30	-43	155	37	-63	94	76	-48	58	110	-22	-42
	12	77	-25	210	63	27	133	61	9	146	13	-48	129	43	-56	144	37	-62	91	65	-9	70	139	-44	-53
2 17	0	63	-10	204	-27	56	166	14	39	145	27	-39	153	63	-62	139	49	-55	77	29	9	70	163	-70	-67
	6	54	-10	202	-69	48	198	-10	33	158	26	-38	160	55	-57	146	31	-50	75	53	8	50	161	-75	-69
	12	68	-32	192	-72	19	206	3	11	157	39	-38	160	34	-55	159	22	-40	79	85	-29	31	158	-71	-69
3 18	0	85	-45	188	-54	0	202	48	-31	141	38	-27	148	-9	-57	151	31	-44	95	122	-50	21	122	-53	-88
	6	92	-34	183	-31	-3	180	53	-28	135	48	-24	140	-10	-55	153	57	-37	98	90	-35	48	96	-58	-84
	12	86	-33	180	-46	-13	178	47	-40	136	46	-31	136	13	-45	138	66	-50	92	34	-2	80	60	-34	-75
4 19	0	87	-36	178	-42	27	190	10	-40	158	77	-47	139	23	-10	141	57	-37	82	-21	26	101	35	-37	-40
	6	87	-39	178	-16	0	179	13	-36	164	79	-53	144	39	0	126	55	-47	76	-22	26	87	61	-42	-38
	12	92	-42	173	1	-5	175	17	-13	168	71	-44	150	53	-19	117	57	-38	76	2	27	60	47	21	-37
5 20	0	97	-44	168	45	-13	161	47	8	146	57	-21	147	67	-48	97	85	-55	68	34	1	29	-29	56	-48
	6	104	-45	166	27	6	166	72	9	132	67	-38	134	62	-76	102	96	-63	69	47	-11	20	-76	74	-23
	12	108	-50	160	9	5	175	85	-10	118	79	-51	126	56	-62	104	117	-85	60	58	-50	6	-67	-2	19
6 21	0	128	-45	152	27	-18	175	76	-15	128	66	-54	126	44	-52	118	111	-30	53	70	-38	14	13	-2	5
	6	128	-54	149	57	-41	160	81	-21	129	59	-48	134	36	-35	112	68	-40	82	60	-43	14	55	2	-27
	12	134	-57	144	66	-39	150	75	-35	129	59	-44	133	29	-38	113	37	11	90	73	-46	14	76	-2	36
7 22	0	131	-62	143	70	-34	131	98	-51	116	78	-53	139	56	-50	118	24	-19	45	124	-55	-13	39	-23	-19
	6	132	-59	140	79	-33	125	71	-3	123	79	-48	139	64	-37	108	14	-8	60	134	-57	-25	36	-21	-23
	12	132	-59	140	79	-33	125	71	-3	123	79	-48	139	64	-37	108	14	-8	60	134	-57	-25	36	-21	-23
8 23	0	135	-62	138	89	-36	123	80	-1	126	75	-45	131	82	-34	101	-10	3	77	144	-44	-39	57	-14	-18
	6	142	-61	132	89	-34	127	71	17	126	62	-54	114	114	-46	89	-24	13	78	146	-46	-50	58	-20	-20
	12	152	-66	129	90	-34	130	63	12	127	69	-47	107	90	-39	95	-28	0	84	158	-45	-52	71	-25	-28
9 24	0	174	-48	104	103	-38	124	94	-33	113	60	-31	87	69	-25	84	-15	17	80	140	-26	-52	66	10	-43
	6	143	-71	109	123	-46	116	96	-34	117	-45	-78	182	28	-6	100	-30	5	86	133	-25	-44	68	8	-54
	12	106	-24	133	139	-59	107	94	-43	115	-172	-10	302	30	-7	99	-25	-1	83	155	-37	-47	80	-5	-59
10 25	0	11	-6	182	153	-75	104	100	-34	120	-270	11	405	19	-26	113	-9	-22	81	146	-54	-69	99	-30	-70
	6	2	34	198	162	-86	102	109	-36	117	-238	53	377	39	-36	107	11	-11	77	126	-60	-59	109	-40	-80
	12	8	17	185	91	36	114	117	-45	115	-168	8	314	67	-45	100	-1	32	83	69	-25	-54	116	-32	-71
11 26	0	10	-12	184	-30	64	142	108	-39	114	-138	36	251	78	-63	102	17	56	66	8	-24	-11	121	-73	-71
	6	32	-25	173	-72	90	162	95	-53	113	-107	64	232	82	-46	93	1	42	66	-14	1	11	115	-52	-67
	12	6	-31	185	-37	-20	163	72	-44	120	-74	45	197	72	-53	88	22	-5	57	-14	-18	16	103	-56	-82
12 27	0	29	-22	180	3	-18	166	86	-54	120	-64	2	226	103	-38	70	35	-58	62	12	-19	28	103	-35	-72
	6	14	-30	187	0	-34	166	87	-44	123	-50	2	220	108	-64	55	45	-48	62	34	-12	12	113	-19	-67
	12	39	-45	178	-6	14	170	108	-50	118	-41	5	212	95	-8	50	39	-34	62	34	-19	6	104	-18	-64
13 28	0	30	-42	181	-25	46	169	176	-76	92	-7	3	188	26	-36	66	13	-20	79	63	-15	-14	126	-26	-68
	6	39	-35	179	-29	62	171	184	-90	81	11	10	161	-2	6	103	31	-9	82	71	-10	-33	136	-39	-80
	12	42	-36	170	-22	15	170	162	-15	69	1	-3	159	20	28	94	48	-22	76	75	-13	-43	161	-46	-91
14 29	0	55	-40	159	7	-12	170	46	-25	64	-4	88	76	84	-18	59	80	-16	-59	149	-44	-92	149	-44	-92
	6	72	-35	154	-13	-30	185	-4	30	100	-19	88	81	76	-22	54	91	-43	-62	131	-28	-79	131	-28	-79
	12	84	-37	149	-11	-31	187	22	-25	103	-47	19	104	70	-25	53	112	-51	-65	117	-26	-72	117	-26	-72
15 30	0	81	-24	151	0	-39	190	17	2	119	-15	-15	119	63	-29	63	122	-43	-67	121	-23	-76	121	-23	-76
	6	94	-26	149	-16	-27	200	-35	17	138	12	-13	128	55	-14	64	117	-54	-65	133	-35	-93	133	-35	-93
	12	88	-34	143	27	-9	179	-59	47	158	39	-16	113	70	-10	54	117	-62	-68	140	-57	-109	140	-57	-109
31	0	85	-32	143	44	-21	167	-78	50	166	55	-31	104	74	-17	47	107	-51	-63	139	-56	-109	139	-56	-109
	6	110	-46	130	48	-26	161	-72	39	169	60	-29	103	87	-24	44	106	-60	-64	134	-52	-102	134	-52	-102
	12				61	-21	149										82	-44	39						
	18				45	-30	150										62	-79	47						
					48	-17	151										66	-85	48						
					55	-9	151										66	-78	48						

Einheit der Zahlen: γ

Normalwerte für den Jahresanfang: $X = 18366.9$, $Y = -1789.4$, $Z = 43086.3$. (Vgl. Erg. 1930, S. 16 Anmerkung.)

Abweichung der fortlaufend gebildeten Tagesmittel vom Normalwert.

Seddin

Weltzeit

1931

Tag	Stunde	Mai						Juni						Juli						August					
		I			II			I			II			I			II			I			II		
		X	Y	Z	X	Y	Z	X	Y	Z	X	Y	Z	X	Y	Z	X	Y	Z	X	Y	Z	X	Y	Z
1	0	119	-32	-83	73	-4	-63	143	-45	81	152	6	-61	130	-21	-26	72	-31	-128	75	-25	-90	72	-37	-120
	6	135	-31	-73	89	-3	-65	165	-72	77	143	-13	-58	133	-38	-26	75	-32	-136	83	-13	-81	71	-69	-108
	12	154	-44	-78	80	-19	-72	188	-62	73	168	-24	-63	145	-43	-31	67	-35	-140	96	-7	-86	73	-77	-102
	18	164	-52	-88	76	-25	-80	178	-47	67	181	-20	-66	169	-31	-43	62	-30	-133	84	-8	-87	62	-43	-90
2	0	173	-64	-107	106	-9	-97	122	-77	75	171	-32	-53	200	-47	-64	70	-37	-113	57	-19	-117	32	-17	-100
	6	165	-58	-103	121	-18	-115	41	-49	131	192	-40	-60	193	-54	-74	72	-16	-111	64	-27	-129	40	27	-111
	12	157	-52	-105	147	-27	-125	-26	-28	153	198	-45	-65	202	-21	-90	75	-21	-117	58	-39	-130	38	18	-118
	18	159	-52	-105	171	-32	-135	-76	-28	133	213	-66	-74	167	-4	-95	93	-17	-117	110	-17	-152	50	-2	-116
3	0	177	-57	-97	164	-50	-138	-78	-7	123	219	-66	-79	142	27	-80	108	-42	-123	99	-13	-156	80	-27	-107
	6	187	-62	-97	145	-70	-103	-46	17	59	191	-58	-59	131	17	-74	117	-53	-124	80	-2	-144	82	-51	-112
	12	185	-52	-94	133	-51	-80	-31	-3	31	168	-51	-45	119	-7	-60	120	-48	-118	80	10	-143	92	-65	-112
	18	180	-48	-102	121	-21	-42	-9	-5	43	163	-40	-24	130	-37	-52	111	-46	-113	43	2	-124	123	-57	-134
4	0	172	-30	-122	114	-15	2	26	-4	35	146	-37	-22	130	-50	-61	109	-13	-121	33	0	-101	112	-49	-139
	6	164	-30	-138	119	-1	4	38	4	34	141	-43	-22	143	-50	-67	117	-14	-123	40	-14	-100	135	-47	-138
	12	166	-28	-146	132	-22	3	41	3	25	152	-45	-17	164	-33	-75	111	-20	-128	39	-13	-92	142	-20	-140
	18	169	-19	-142	153	-43	9	44	20	14	147	-47	-16	161	-32	-78	109	-26	-126	41	-16	-80	132	-17	-130
5	0	155	-21	-114	137	-54	17	72	41	6	132	-26	1	157	-29	-64	125	-39	-111	60	-14	-76	88	-37	-129
	6	137	-48	-96	155	-86	26	80	34	3	137	-38	2	125	-17	-66	114	-48	-101	70	-13	-60	50	-18	-111
	12	148	-43	-88	143	-67	44	102	26	-16	132	-45	-6	111	-50	-66	130	-59	-102	47	6	-31	36	-13	-102
	18	156	-42	-88	143	-58	44	142	6	-39	132	-55	-8	111	-40	-57	148	-51	-106	40	11	-17	1	-42	-96
6	0	160	-48	-98	171	-53	50	128	-7	-53	170	-62	-18	137	-38	-63	153	-62	-106	58	-4	-11	54	-47	-94
	6	160	-35	-96	178	-25	44	123	-26	-64	170	-61	-14	152	-43	-55	145	-55	-121	50	-9	-9	66	-21	-70
	12	137	-46	-94	187	-47	35	116	-14	-57	196	-70	-5	144	-46	-44	143	-49	-122	96	-40	-21	70	-27	-78
	18	157	-96	-129	189	-58	45	92	-20	-51	202	-53	-4	151	-59	-40	122	-47	-120	147	-42	-26	61	3	-67
7	0	130	-79	-144	166	-37	41	92	-21	-39	190	-47	-9	151	-57	-33	112	-27	-109	143	-28	-10	75	24	-66
	6	93	-45	-120	147	-36	39	76	-31	-47	181	-9	1	166	-59	-12	127	-19	-107	114	-53	37	82	12	-110
	12	84	-33	-119	145	-42	36	69	-26	-60	157	10	2	169	-61	-8	118	-17	-107	103	-66	50	68	0	-105
	18	18	20	-73	147	-34	30	56	-15	-63	151	12	0	172	-55	-8	155	-24	-115	61	-85	38	80	-24	-109
8	0	7	24	-51	149	-26	11	64	-6	-70	164	-5	9	169	-35	-26	170	-50	-148	69	-97	42	70	-18	-110
	6	28	20	-73	160	-21	10	80	-8	-70	169	-13	2	154	-6	-43	171	-72	-110	86	-65	21	64	-26	-85
	12	34	9	-70	181	-30	34	110	-13	-66	167	-27	-6	137	0	-51	136	-56	-84	73	-23	10	79	-41	-88
	18	51	9	-55	201	-39	-60	66	-47	-122	160	-27	-13	123	8	-51	77	-28	-93	78	-34	-21	107	-35	-92
9	0	101	-3	-44	247	-67	-85	-4	-35	-130	142	-17	-18	123	4	-34	2	8	-63	52	-12	-49	127	-40	-103
	6	119	6	-33	260	-76	-92	-69	-5	-98	144	-9	-29	118	1	-28	-23	53	-97	53	2	-51	147	-53	-119
	12	121	-4	-32	259	-81	-95	-125	-5	-80	143	2	-35	129	-6	-35	1	36	-119	46	0	-59	143	-30	-109
	18	129	-9	-35	244	-73	-96	-96	62	-18	144	2	-37	127	-1	-43	7	16	-105	12	26	-19	111	0	-109
10	0	134	-15	-32	249	-62	-103	-34	33	-13	150	-15	-56	117	-17	-66	23	-7	-102	10	22	-1	39	4	-112
	6	153	-30	-28	258	-46	-87	27	17	-30	140	-29	-70	122	-17	-89	-12	-23	-51	-6	40	-15	-11	16	-84
	12	172	-41	-30	274	-55	-71	70	0	-40	144	-47	-80	125	-16	-100	-12	-34	-32	-1	19	-29	-12	-1	-94
	18	197	-31	-32	301	-88	-88	84	-30	-57	149	-52	-76	156	-24	-117	-4	-30	-50	1	-4	-64	-22	-13	-82
11	0	229	-34	-46	277	-128	-86	70	-33	-54	153	-27	-65	173	-46	-112	-1	-42	-49	-17	0	-78	7	-22	-61
	6	232	-50	-59	239	-127	-76	66	-30	-57	203	-66	-66	178	-85	-109	13	-54	-86	-27	-2	-74	37	-23	-87
	12	211	13	-48	210	-126	-65	74	-23	-74	243	-58	-70	187	-85	-102	9	-41	-91	-37	8	-66	50	-23	-96
	18	165	10	-58	162	-111	-51	71	19	-88	228	-45	-80	171	-55	-101	-11	-51	-56	-32	28	-38	63	6	-104
12	0	97	1	-39	130	-81	7	89	37	-91	216	-67	-73	161	-49	-107	-9	-36	-38	0	10	-73	88	22	-107
	6	71	21	-6	131	-79	15	99	20	-77	168	-23	-28	171	-7	-107	25	-32	-30	18	-15	-109	76	12	-95
	12	84	-21	-19	97	-58	17	71	40	-61	118	7	-8	179	-26	-130	34	-37	-34	20	-37	-122	94	25	-96
	18	108	-10	-18	63	-30	32	59	0	-30	133	-15	-28	185	-58	-132	73	-37	-39	28	-32	-128	88	27	-113
13	0	116	11	-33	41	0	39	62	10	-32	115	-9	-34	160	-38	-123	88	-59	-65	43	-20	-96	51	24	-105
	6	121	-3	-67	32	22	49	56	18	-52	105	-21	-44	147	-37	-116	63	-94	-61	76	2	-89	41	30	-95
	12	132	42	-71	37	24	61	73	-2	-60	137	-2	-63	137	-32	-99	63	-87	-65	88	-5	-91	6	19	-85
	18	134	81	-83	60	19	67	87	-8	-59	104	8	-38	122	-34	-91	28	-73	-61	83	-35	-88	4	-35	-60
14	0	154	83	-91	102	0	67	105	-6	-61	104	14	-48	99	-44	-96	21	-48	-41	77	-47	-102	55	-40	-50
	6	158	83	-98	106	-34	84	113	26	-47	129	32	-63	107	-71	-98	36	-18	-40	63	-50	-93	55	-48	-61
	12	183	50	-120	112	-34	91	108	23	-42	99	-6	-58	92	-58	-97	37	-26	-34	54	-33	-97	61	-39	-65
	18	160	-6	-175	110	-31	97	120	44	-45	108	-17	-49	87	-71	-92	38	-16	-39	60	-22	-101	62	-28	-60
15	0	90	-12	-201	108	-15	100	107	25	-53	118	-20	-31	99	-76	-91	38	-16	-39	47	-5	-91	34	-32	-71
	6	60	4	-178	118	12	84	122	21	-71	128	-19	-35	76	-56	-82	43	2	-46	42	-26	-99	60	-47	-86
	12	20	0	-162	124	12	82	124	14	-84	125	-17	-34	78	-53	-89	40	18	-58	55	-17	-103	72	-57	-87
	18	24	5	-104	133	10	87	128	-6	-76	137	-19	-31	79	-53	-108	33	4	-56	62	-25	-118	92	-41	-90
31	0				188	-14	84																110	-29	-82
	6				116	-48	83																96	-21	-82
	12				132	-63	83																88	-20	-76
	18				151	-65	80					</													

Abweichung der fortlaufend gebildeten Tagesmittel vom Normalwert.

Seddin

Weltzeit

1931

Tag	Stunde	September									Oktober									November									Dezember								
		I			II			I			II			I			II			I			II														
		X	Y	Z	X	Y	Z	X	Y	Z	X	Y	Z	X	Y	Z	X	Y	Z	X	Y	Z	X	Y	Z	X	Y	Z									
1 16	0	73	-26	-92	-126	42	26	-56	-55	-56	-82	15	39	-150	62	156	-6	3	36	91	-38	-62	40	26	1												
	6	59	-24	-87	-84	83	-22	-32	-4	-48	-96	7	31	-140	43	137	-29	9	49	26	-28	-40	30	3	-2												
	12	62	-31	-93	-33	44	-63	-40	8	-47	-95	3	31	-127	36	135	-35	77	41	-1	24	-34	25	-8	8												
2 17	0	52	-25	-81	-109	-3	-64	-54	38	-27	-54	-21	12	-74	23	124	-68	80	76	-50	8	-41	58	-9	-7												
	6	76	-27	-84	-101	-5	-77	-69	69	9	-6	-29	-6	-92	31	134	-31	74	64	-32	8	-38	61	-18	-12												
	12	88	-34	-91	-138	-9	-63	-117	115	17	0	12	-7	-97	32	141	-1	16	58	-8	24	-54	66	-27	-20												
3 18	0	181	-53	-110	-56	54	-5	-150	92	5	-16	33	1	-103	12	136	-13	23	40	-34	30	-71	52	-23	-2												
	6	157	-79	-92	-41	43	-23	-113	55	-52	-52	17	20	-88	-12	129	-43	28	56	-18	61	-76	64	-16	-4												
	12	178	-102	-82	-33	16	-30	-64	-14	-55	-74	-1	35	-93	38	119	-61	21	73	-10	48	-78	68	-26	-8												
4 19	0	74	-120	-107	2	-20	-64	7	-9	-39	-97	-20	44	-123	3	93	-32	32	76	-27	32	-37	82	-19	-10												
	6	46	-79	-75	5	-32	-66	-28	-22	-29	-72	12	43	-141	13	105	-10	22	53	-50	47	-22	88	-14	-12												
	12	-21	-11	-61	3	-25	-65	-74	40	-28	-57	-1	23	-137	-44	111	16	50	34	-65	29	-7	93	-17	-20												
5 20	0	-42	1	-7	56	-12	-73	-161	-7	-57	-54	29	18	-106	-14	140	-2	60	46	-47	55	-17	94	-18	-19												
	6	-13	-19	-32	84	-23	-80	-173	45	-45	-62	22	6	-90	11	140	9	66	45	-61	51	-7	93	-19	-17												
	12	13	-10	-44	54	13	-64	-166	13	-38	-32	12	4	-103	58	139	-6	16	55	-47	43	-13	98	-19	-17												
6 21	0	-30	-22	-33	-51	70	-68	-116	62	-12	-17	10	7	-140	34	131	39	4	42	-47	39	5	85	-25	-4												
	6	-75	6	5	-77	94	-57	-86	22	-34	-19	12	15	-119	55	129	36	-11	33	-24	14	-9	92	-20	0												
	12	-77	-9	4	-40	50	-70	-48	1	-46	-12	14	14	-99	18	117	48	-12	28	-30	1	-3	97	-19	-1												
7 22	0	-46	11	-19	-3	25	-48	-5	15	-44	-22	-19	-4	-82	55	114	56	-31	31	-10	11	0	123	-11	-14												
	6	-31	1	-51	5	12	-46	0	22	-45	-31	-1	6	-82	27	102	58	-40	35	4	-1	-11	128	-23	-20												
	12	-35	9	-44	-6	23	-47	-5	12	-44	-37	-12	10	-62	31	98	65	-40	30	-1	-10	-12	127	-20	-22												
8 23	0	-25	11	1	31	12	-48	-8	-4	-38	-21	2	33	-86	19	109	72	-33	15	30	-9	-14	115	-39	-23												
	6	-16	-7	9	13	15	-34	-3	-16	-46	6	4	18	-113	53	137	84	-38	2	60	-21	-24	58	-61	-4												
	12	-33	35	15	35	-5	-40	-1	2	-51	20	43	-5	-129	57	115	81	-23	-2	57	-28	-26	4	-37	31												
9 24	0	12	37	-18	14	-5	-61	4	24	-43	3	13	-32	-103	82	86	85	-20	-11	88	-30	-36	-17	-28	45												
	6	15	59	-18	15	18	-53	-11	30	-33	-13	0	-33	-113	50	70	62	-32	-5	78	-32	-32	33	3	33												
	12	13	44	-22	3	24	-52	-10	9	-29	-40	-42	-14	-96	54	89	78	-44	-12	53	-4	-15	82	-31	-4												
10 25	0	-35	44	-10	20	0	-22	-20	-7	-18	-25	1	18	-105	34	110	119	-63	-22	11	-13	-15	93	-17	-19												
	6	-40	47	-9	30	-20	-43	10	-12	-23	-34	11	24	-66	42	107	130	-54	-22	7	-1	-11	68	-29	-14												
	12	-37	1	-6	29	-18	-46	25	-7	-27	-20	6	20	-86	18	110	138	-69	-26	40	-15	-27	36	8	1												
11 26	0	-32	-4	13	10	-3	-58	7	-8	-22	-20	-6	28	-41	37	120	147	-65	-45	30	18	-12	18	4	24												
	6	-17	-16	4	2	12	-65	7	-16	-14	1	-34	27	-50	28	115	10	-72	25	56	-11	-18	33	16	22												
	12	3	-25	-5	0	18	-66	18	-34	-20	-19	-5	40	-46	21	113	-73	-9	53	49	8	0	59	-27	6												
12 27	0	16	-25	-23	43	28	-106	32	-37	-37	-9	-6	29	-26	21	98	-165	4	44	6	12	6	75	-42	-4												
	6	15	-37	-23	53	17	-101	-22	-25	-15	-109	-1	79	-1	-8	74	-57	27	-22	-31	57	20	78	-50	-5												
	12	5	-21	-28	55	15	-101	-118	68	0	-125	8	100	21	-21	68	-14	-13	-49	-16	61	-8	94	-57	-10												
13 28	0	21	-26	-15	27	1	-59	-243	54	-45	-176	24	111	78	-40	45	-5	2	-5	19	62	-4	118	-69	-13												
	6	27	-13	-26	38	-11	-74	-242	92	-25	-141	42	85	91	-55	37	-26	5	5	19	55	0	87	-77	-3												
	12	34	-31	-31	50	-30	-80	-194	17	-18	-192	84	82	74	-38	42	-19	-8	13	1	32	20	38	-49	29												
14 29	0	47	-56	-48	80	-27	-88	-132	37	63	-227	31	113	22	-9	58	28	-27	-3	3	26	27	-16	-36	35												
	6	39	-70	-36	100	-28	-93	-117	18	47	-441	53	314	-35	-3	93	64	-24	-17	23	18	22	-56	-15	58												
	12	40	-37	-36	130	-46	-100	-116	33	47	-508	126	321	-25	1	95	73	-20	-30	36	23	12	-35	-28	50												
15 30	0	25	-32	-58	164	-59	-111	-89	32	52	-566	127	298	-20	-16	100	73	-4	-41	36	23	9	-18	-47	33												
	6	-25	0	-44	155	-77	-119	-89	24	54	-645	180	310	-30	-23	108	66	-11	-39	26	30	14	-42	-41	38												
	12	-98	-12	18	74	-91	-73	-97	13	55	-525	245	192	11	15	90	80	-12	-50	30	40	14	-22	-24	29												
31	0	-118	37	23	-2	-46	-84	-87	-6	47	-422	150	219	-13	8	51	87	-43	-56	26	31	13	-27	12	23												
	6										-364	121	237										-24	7	28												
	12										-255	66	180										-2	20	20												
18	0										-216	9	174										-5	25	10												
	6										-185	31	168										-3	25	4												

Einheit der Zahlen: $\frac{\gamma}{0.1}$

Normalwerte für den Jahresschluß: $X=18354.1$, $Y=-1732.2$, $Z=43126.3$. (Nach vorläufiger Berechnung.)

Aktivitätszahlen, Tagesmittel, höchste und niedrigste Stundenwerte der Komponenten.

Seddin

Begrenzung der Tage und Stunden nach Weltzeit.

1931

Tag	Aktivität			X - 18300 γ			Y + 1800 γ			Z - 43100 γ			Tag	Aktivität			X - 18300 γ			Y + 1800 γ			Z - 43100 γ		
	n	v	α	T.-M.	Max.	Min.	T.-M.	Max.	Min.	T.-M.	Max.	Min.		n	v	α	T.-M.	Max.	Min.	T.-M.	Max.	Min.	T.-M.	Max.	Min.
Januar												März													
1	1	0.7	(y) 112	γ 74.6	γ 84	γ 50	γ 08.3	γ 57	-09	γ 05.1	γ 13	γ 01	1	1	0.2	(y) 67	γ 69.1	γ 76	γ 56	γ 14.4	γ 28	-10	γ 05.3	γ 08	γ -01
2	1	0.4	46	73.6	80	62	07.7	18	-02	03.4	08	00	2	1	0.8	94	68.2	83	46	14.7	25	-09	07.0	20	-03
3*	0	0.0	23	75.4	79	70	07.8	12	03	02.3	04	-01	3	1	0.9	117	66.0	85	37	15.8	34	-12	05.0	15	-08
4	0	0.0	32	76.0	83	69	07.0	12	-01	01.7	04	-01	4	0	0.3	80	70.0	89	50	18.6	32	00	03.0	05	-04
5	0	0.0	30	77.5	83	71	06.4	11	-02	00.6	03	-02	5	1	0.4	93	70.3	84	54	14.4	31	-18	01.8	08	-06
6	0	0.0	35	80.1	88	72	05.8	12	-03	-00.9	01	-03	6*	0	0.2	90	67.5	78	38	17.0	33	-08	02.8	06	-03
7*	0	0.0	25	79.8	84	76	05.5	10	-01	-00.9	03	-03	7	1	0.6	96	70.2	87	46	15.9	37	-10	03.4	08	00
8*	0	0.0	24	81.8	86	78	05.3	10	-02	-02.2	01	-03	8	1	0.8	109	73.6	92	50	17.2	37	-16	01.2	08	-06
9	1	1.1	157	77.2	102	56	09.6	72	-16	-01.8	11	-12	9	1	0.7	110	67.5	87	44	20.6	40	-08	01.8	12	-07
10†	1	1.1	108	67.3	92	48	13.9	50	-03	03.6	09	-02	10	1	0.9	103	71.2	88	48	16.9	35	-06	02.0	15	-07
11	1	0.5	69	67.1	80	56	09.2	27	-07	03.7	10	-01	11*	0	0.2	70	71.6	82	48	16.3	28	-02	00.9	05	-01
12	1	0.3	50	70.4	77	65	08.0	22	-07	03.2	07	-02	12†	1	1.2	163	73.9	93	48	20.9	84	-11	-02.8	12	-11
13	1	0.2	37	70.6	75	65	09.0	18	-04	02.5	05	00	13†	2	1.4	199	66.4	120	43	24.7	80	-08	01.7	14	-20
14	1	0.0	48	74.8	81	66	09.1	21	-04	00.5	05	-03	14†	1	1.0	135	59.6	80	32	23.9	57	-04	02.8	14	-12
15	1	0.6	59	74.9	83	68	09.8	24	-14	00.0	03	-03	15	1	0.4	74	69.8	81	48	19.1	37	02	03.0	06	00
16†	2	1.4	153	72.6	92	46	15.8	63	-20	-00.9	12	-12	16	0	0.2	112	68.0	85	33	16.2	39	-10	01.8	07	-04
17†	2	1.4	173	59.1	92	18	15.2	59	-10	06.6	23	-07	17	0	0.2	122	66.4	81	37	18.5	47	-12	00.7	07	-12
18†	2	1.3	119	61.7	73	35	12.1	46	-15	03.9	17	-03	18*	0	0.0	97	70.8	82	40	17.7	42	-06	02.0	05	-02
19	1	0.8	72	66.3	79	55	13.1	41	00	03.7	07	00	19*	0	0.1	129	69.9	83	38	19.0	52	-14	00.6	06	-12
20	1	0.9	89	67.1	79	42	14.2	34	01	03.8	15	-04	20	1	0.8	120	75.8	96	51	14.5	39	-17	-00.9	07	-12
21	1	0.3	58	72.8	82	63	10.0	27	-02	01.4	06	-04	21†	1	1.3	180	67.8	92	31	24.2	60	-28	02.3	24	-07
22	1	0.2	38	73.1	84	65	10.6	15	02	-00.4	02	-04	22	1	0.8	93	66.5	78	51	21.4	44	-07	-02.1	05	-10
23	0	0.2	44	75.1	83	63	10.8	18	03	-00.4	04	-05	23	1	0.6	83	61.2	75	42	23.5	38	00	01.9	08	-04
24*	0	0.1	34	80.0	85	73	08.5	12	-02	-02.5	01	-07	24	1	0.3	98	61.5	71	39	23.5	44	-08	01.9	08	-06
25†	2	1.2	159	75.1	87	33	18.1	90	-01	-01.7	06	-08	25	1	0.7	129	63.9	77	35	27.0	62	-05	02.0	14	-06
26	1	1.0	98	62.3	69	43	12.7	59	-01	03.3	07	-05	26†	1	1.1	148	66.1	96	47	23.4	63	-10	-00.5	07	-19
27	1	0.8	90	65.4	74	50	16.2	58	-01	04.1	08	01	27	1	0.6	93	67.8	82	46	20.7	35	-04	00.2	08	-10
28	1	0.9	76	63.7	78	47	16.5	32	01	04.2	09	-05	28	1	0.5	83	68.6	83	49	22.0	40	01	01.7	06	-04
29	1	0.8	76	64.8	72	46	12.0	27	-11	06.0	12	00	29	1	0.5	78	70.8	83	57	21.9	34	01	-00.5	07	-12
30*	0	0.1	50	70.2	77	51	13.2	17	04	04.2	12	01	30*	0	0.1	88	71.2	78	57	22.8	43	-03	-01.0	04	-17
31	1	0.5	65	70.6	85	63	13.8	40	03	02.7	06	00	31	1	0.4	126	70.3	80	49	16.2	44	-28	-00.8	06	-17
Mittel	0.8	0.5	73	71.6	82	57	10.8	33	-04	01.9	08	-03	Mittel	0.8	0.6	109	68.4	85	45	19.4	43	-09	01.6	09	-08
Max.	2	1.4	173	81.8	102	78	18.1	90	04	06.6	23	01	Max.	2	1.4	199	75.8	120	57	27.0	84	02	07.0	24	00
Min.	0	0.0	23	59.1	69	18	05.3	10	-20	-02.5	01	-12	Min.	0	0.0	67	59.6	71	31	14.4	25	-28	-02.8	04	-20
Februar												April													
1	1	0.7	(y) 87	γ 71.9	γ 88	γ 50	γ 16.5	γ 46	07	02.3	09	-01	1†	1	0.9	136	70.2	79	49	24.0	70	-09	01.5	15	-12
2	1	0.9	104	66.0	85	49	16.9	54	03	03.5	10	-07	2	0	0.3	127	72.2	90	37	22.1	45	-09	-02.3	03	-17
3	1	0.7	69	70.4	91	59	11.9	25	03	01.5	07	-08	3†	1	0.9	140	67.0	89	46	25.0	44	-13	02.8	22	-18
4	1	0.7	96	67.4	85	49	14.8	50	-02	04.8	08	00	4	1	0.6	137	63.8	86	37	28.0	54	-10	00.9	08	-16
5	1	0.4	65	74.1	83	61	15.2	34	02	00.0	05	-06	5	0	0.2	131	69.4	88	42	20.5	47	-15	-04.4	02	-21
6*	0	0.0	43	73.1	80	66	12.9	22	01	01.2	04	-04	6*	0	0.1	116	70.8	82	46	21.0	49	-11	-03.5	02	-18
7	1	0.4	90	75.4	83	52	11.5	39	-13	00.0	03	-04	7	0	0.1	111	75.9	88	52	20.3	46	-08	-06.1	00	-21
8	1	0.2	63	71.8	78	66	17.9	44	-01	01.2	04	-02	8	0	0.3	126	79.3	96	54	21.5	46	-09	-09.9	-01	-30
9	1	0.2	44	74.9	80	71	12.6	26	-01	00.1	03	-05	9	1	0.7	129	78.9	108	52	22.4	43	-09	-09.2	-03	-24
10*	1	0.1	45	77.2	82	72	12.5	26	-05	00.2	02	-02	10†	1	1.0	164	70.3	110	42	23.8	48	-20	-09.8	02	-26
11	1	0.2	60	72.6	82	60	12.8	22	-04	00.9	07	-05	11	1	0.8	140	62.0	81	27	24.6	49	-10	-02.7	10	-17
12*	1	0.0	39	76.2	83	70	12.3	17	-01	00.8	04	-04	12*	0	0.0	89	66.7	76	49	24.7	47	00	-03.6	01	-14
13†	2	1.8	203	81.6	118	55	16.0	79	-22	-04.0	15	-24	13*	0	0.0	88	70.8	79	57	25.4	48	02	-08.4	-03	-23
14†	2	1.5	122	67.5	90	42	15.2	37	-08	-00.5	13	-16	14*	0	0.1	123	74.5	90	54	21.8	51	-10	-10.5	-04	-30
15†	2	1.3	136	57.5	86	33	22.8	52	07	05.9	29	-09	15	0	0.2	121	73.9	84	50	22.0	44	-13	-10.1	-01	-31
16	1	0.7	59	66.6	77	56	13.2	21	-02	02.3	06	-09	16	0	0.1	128	77.1	96	46	22.8	55	-06	-09.0	-05	-22
17	1	0.6	62	69.1	81	52	14.3	24	-01	05.5	09	01	17	0	0.3	119	78.9	95	55	20.3	51	-12	-10.5	-07	-23
18	1	0.2	60	69.8	78	47	15.2	24	02	03.3	07	00	18	1	0.9	161	69.1	93	37	24.1	54	-20	-11.0	00	-31
19	1	0.2	60	72.2	79	60	14.0	28	-04	04.8	10	01	19†	1	1.3	170	67.8	88	43	29.8	75	-12	-07.1	12	-26
20*	1	0.1	64	73.0	81	58	13.5	28	-05	02.5	06	-02	20†	1	1.3	177	56.3	77	-11	27.6	54	-05	-05.2	09	-21
21*	0	0.0	66	71.0	79	50	14.3	26	-06	03.3	07	02	21	0	0.3	126	70.6	88	46	27.8	59	-02	-06.8	00	-23
22	1	0.3	67	72.8	78	59	13.6	28	-10	04.0	09	-01	22	1	0.4	119	66.9	83	41	25.9	49	-05	-04.9	04	-19
23	1	0.4	91	71.9	84	58	14.4	36	-19	00.9	04	-06	23	0	0.3	117	70.0	85	48	25.8	50	-07	-05.7	03	-20
24†	2	1.8																							

Aktivitätszahlen, Tagesmittel, höchste und niedrigste Stundenwerte der Komponenten.

Seddin

Begrenzung der Tage und Stunden nach Weltzeit.

1931

Tag	Aktivität			X - 18300 γ			Y + 1800 γ			Z - 43100 γ			Tag	Aktivität			X - 18300 γ			Y + 1800 γ			Z - 43100 γ		
	n	v	α	T.-M.	Max.	Min.	T.-M.	Max.	Min.	T.-M.	Max.	Min.		n	v	α	T.-M.	Max.	Min.	T.-M.	Max.	Min.	T.-M.	Max.	Min.
Mai												Juli													
1	0	0.1	108	78.1	92	57	25.2	51	02	-09.8	-02	-26	1	0	0.2	129	75.0	90	44	34.8	67	02	02.0	09	-09
2	1	0.4	106	78.3	88	56	24.5	48	-02	-12.4	-06	-30	2	1	0.9	150	80.7	101	48	37.2	65	-05	-03.8	06	-21
3	0	0.2	93	81.1	89	64	24.7	40	-02	-11.2	-03	-29	3	1	0.5	146	72.3	92	48	38.7	72	-07	-00.7	09	-14
4	1	0.2	112	79.2	89	59	27.2	47	-02	-16.2	-06	-39	4	1	0.6	173	76.8	116	48	36.3	67	-06	-02.1	10	-22
5	1	0.4	136	77.3	94	43	25.9	49	-10	-10.3	02	-24	5	0	0.2	143	71.5	92	33	34.7	59	02	-01.1	09	-18
6†	1	1.1	164	76.2	96	41	25.7	65	-13	-10.8	02	-29	6	0	0.2	130	74.7	98	53	35.3	67	02	01.3	10	-10
7†	2	1.7	242	70.8	120	07	27.2	59	-14	-13.2	08	-48	7	1	0.4	126	77.2	96	50	34.0	62	-01	05.0	12	-05
8	0	0.4	130	65.8	81	35	31.6	58	05	-08.2	01	-30	8	0	0.3	114	74.0	86	57	40.2	76	15	00.8	08	-16
9*	0	0.0	98	74.5	81	61	30.4	53	01	-04.3	02	-24	9*	0	0.1	116	73.1	88	55	39.8	79	12	02.5	09	-07
10*	0	0.0	104	79.5	88	61	26.9	53	00	-04.0	03	-21	10*	0	0.0	118	72.7	88	48	38.9	66	10	-03.9	03	-19
11	1	1.0	159	83.4	103	68	32.4	74	-08	-05.6	15	-27	11	1	0.7	140	78.9	98	57	32.2	61	-14	-04.0	04	-20
12	1	0.8	133	70.7	93	48	29.2	54	-12	-02.6	09	-13	12	1	0.6	118	78.0	94	58	38.2	71	06	-06.6	00	-17
13†	1	1.2	161	75.4	101	51	35.6	79	00	-07.7	08	-24	13	1	0.6	134	73.8	91	39	37.8	73	10	-03.4	06	-13
14†	2	1.3	166	80.5	112	58	36.6	73	-05	-12.5	06	-28	14	1	0.8	178	69.3	90	10	35.4	64	-06	-03.1	11	-17
15†	1	1.4	195	64.2	104	22	31.8	62	-03	-16.6	07	-41	15	1	0.8	151	67.8	85	13	36.0	60	06	-02.2	09	-16
16	1	0.8	109	70.1	85	38	30.0	47	08	-07.5	03	-20	16	0	0.7	143	66.7	85	34	38.0	62	05	-07.2	06	-29
17	1	0.5	109	76.8	96	61	29.4	53	04	-12.6	-04	-29	17	0	0.3	128	67.5	87	35	39.5	68	12	-04.8	04	-16
18	1	0.6	129	75.4	91	58	27.1	53	-09	-08.0	10	-24	18	0	0.2	121	71.9	86	42	37.0	62	09	-04.8	05	-19
19	0	0.2	106	75.2	89	58	30.2	52	-05	00.4	07	-11	19*	0	0.1	118	71.0	82	44	39.9	66	09	-05.6	03	-20
20	1	0.5	146	76.3	91	44	25.8	56	-18	04.6	18	-07	20*	0	0.0	124	72.9	89	52	36.2	68	01	-02.9	05	-15
21	0	0.3	101	80.7	91	62	28.0	51	-07	03.8	10	-04	21*	1	0.1	113	74.1	90	47	37.4	62	10	-04.8	03	-15
22*	0	0.1	119	76.4	88	49	28.7	60	-04	04.0	11	-05	22	0	0.1	98	71.6	81	48	40.7	63	15	-03.2	02	-15
23*	0	0.1	127	80.0	95	49	30.0	61	00	-02.8	05	-15	23†	2	1.7	216	73.3	108	29	37.0	71	-02	-00.8	42	-22
24	0	0.1	109	87.7	98	69	25.1	52	-07	-12.8	-05	-26	24†	1	1.0	157	59.8	78	-01	46.3	72	19	-04.2	03	-22
25	1	0.7	116	89.2	111	78	27.8	59	07	-19.3	-06	-37	25†	1	1.3	148	58.5	81	19	39.5	59	08	04.7	28	-07
26	1	1.0	125	82.8	115	57	20.9	34	09	-15.6	05	-37	26†	1	0.9	135	60.5	87	31	38.9	58	07	-01.1	09	-19
27	1	0.5	93	71.4	85	50	27.8	45	02	00.7	08	-07	27†	1	0.5	111	63.0	80	35	39.5	60	11	04.7	14	-03
28*	0	0.0	103	65.4	76	42	36.2	61	12	07.2	14	-06	28†	1	1.3	171	65.9	91	20	34.7	61	-12	01.7	15	-12
29	1	0.7	129	72.9	83	48	30.6	60	-03	10.4	24	-07	29	1	0.8	123	63.2	83	37	40.9	58	05	04.9	16	-08
30	0	0.2	117	74.0	83	57	35.3	63	02	09.6	20	-10	30	1	0.6	131	63.5	84	30	45.5	68	10	02.6	13	-06
31	0	0.1	136	74.8	88	53	28.0	56	-13	09.8	21	-11	31	0	0.2	122	61.0	73	34	40.5	64	05	-02.8	04	-20
Mittel	0.6	0.5	128	76.3	93	52	28.9	56	-03	-05.6	06	-22	Mittel	0.6	0.5	136	70.3	89	39	38.1	66	04	-01.4	09	-15
Max.	2	1.7	242	89.2	120	78	36.6	79	12	10.4	24	-04	Max.	2	1.7	216	80.7	116	58	46.3	79	19	05.0	42	-03
Min.	0	0.0	93	64.2	76	07	20.9	34	-18	-19.3	-06	-48	Min.	0	0.0	98	58.5	73	-01	32.2	58	-14	-07.2	00	-29
Juni												August													
1	1	1.3	182	80.4	114	39	28.2	62	-12	08.9	21	-12	1	1	0.4	85	69.0	85	56	43.3	63	16	00.1	04	-05
2†	2	1.7	230	58.9	91	-02	31.8	68	-22	17.0	45	-02	2*	0	0.2	113	65.2	79	44	40.2	62	07	-04.2	04	-19
3	1	0.9	139	58.4	80	27	34.4	60	00	04.9	15	-11	3	1	0.7	146	67.4	96	33	45.3	80	18	-05.4	04	-17
4	1	0.3	121	65.6	81	42	35.2	65	10	04.4	14	-13	4	1	0.4	131	63.2	79	31	43.1	71	05	-00.2	06	-11
5*	0	0.2	120	71.6	91	53	37.6	74	10	00.5	07	-11	5	1	0.6	122	64.0	83	39	45.2	65	13	06.0	18	-08
6	1	0.6	176	73.0	98	33	33.8	68	-06	-03.5	09	-28	6	1	0.4	120	68.9	88	50	40.7	68	07	07.1	13	-08
7	1	0.3	148	68.3	83	38	32.8	63	-10	-03.7	07	-23	7	1	1.0	167	69.9	98	39	38.3	67	-10	14.4	35	04
8	1	1.0	150	72.3	104	46	34.2	66	04	-04.2	06	-24	8†	2	1.4	156	66.5	89	41	42.8	87	12	10.5	26	-07
9†	1	1.3	182	48.8	83	15	35.2	74	12	-05.5	18	-34	9†	2	1.2	168	63.7	101	36	45.2	70	15	03.7	30	-18
10	1	0.8	141	68.3	90	42	35.8	71	06	-01.4	10	-18	10	1	0.8	107	59.0	82	39	47.3	62	18	06.8	18	-02
11	1	1.0	146	68.6	104	42	33.7	66	04	-04.6	07	-15	11	1	0.8	121	55.4	79	28	46.3	65	27	03.2	19	-13
12	1	1.0	177	68.3	90	37	40.1	69	-15	-03.2	19	-21	12*	1	0.3	118	61.0	72	43	42.0	72	16	-02.3	07	-26
13	1	0.5	140	68.4	88	47	36.1	68	-06	-03.0	06	-19	13	1	0.5	91	67.8	85	51	45.3	61	31	01.0	13	-14
14	1	0.5	96	71.9	91	56	38.8	57	21	-01.1	10	-15	14	1	0.4	110	64.4	79	47	42.7	60	10	00.5	12	-16
15*	0	0.2	129	73.5	88	45	38.0	68	13	-05.2	05	-26	15	1	0.3	118	64.4	80	43	44.5	64	10	00.0	10	-17
16*	0	0.1	108	77.8	95	63	34.4	62	05	-03.0	04	-15	16	1	1.0	138	66.2	91	35	38.6	61	04	00.2	16	-09
17*	0	0.0	125	80.8	97	52	32.4	60	-02	-03.0	02	-16	17*	0	0.2	126	62.7	80	36	48.3	77	18	-01.3	08	-15
18	0	0.2	121	77.8	97	53	32.0	59	00	-00.9	09	-09	18*	0	0.2	114	68.0	81	47	40.1	64	05	-00.6	07	-14
19	1	0.3	142	76.1	92	38	32.7	63	02	02.0	13	-14	19	1	0.9	146	73.0	88	27	44.8	71	06	-03.2	07	-13
20	1	0.2	149	74.1	91	38	32.9	68	-09	03.2	10	-09	20†	2	1.5	179	62.4	98	09	45.7	72	14	00.7	20	-12
21	1	0.8	128	80.5	102	57	30.6	62	01	03.4	13	-09	21†	1	1.2	135	65.7	84	32	44.4	65	22	03.2	30	-10
22	1	0.7	126	76.5	93	49	38.7	60	11	04.2	17	-16	22	1	0.3	93	65.5	75	51	47.3	65	20	00.6	08	-16
23	1	0.4	102	77.5	93	53	35.2	61	12	03.5	10	-03	23	1	0.4	127	66.6	83	44	43.3	72	14	02.4	17	-13
24	1</																								

Aktivitätszahlen, Tagesmittel, höchste und niedrigste Stundenwerte der Komponenten.

Seddin

Begrenzung der Tage und Stunden nach Weltzeit.

1931

Tag	Aktivität			X - 18300 γ			Y + 1800 γ			Z - 43100 γ			Tag	Aktivität			X - 18300 γ			Y + 1800 γ			Z - 43100 γ		
	n	v	α	T.-M.	Max.	Min.	T.-M.	Max.	Min.	T.-M.	Max.	Min.		n	v	α	T.-M.	Max.	Min.	T.-M.	Max.	Min.	T.-M.	Max.	Min.
September												November													
1	1	0.8	141	64.5	84	32	45.7	75	10	03.0	11	-13	1	1	0.6	119	43.5	70	12	62.0	89	42	32.8	40	26
2*	0	0.1	131	67.1	83	34	45.6	74	10	03.3	11	-07	2	0	0.6	102	46.5	65	23	61.8	83	42	33.5	46	27
3	1	1.1	155	76.1	103	56	39.0	78	-01	04.3	21	-08	3	1	0.8	163	46.8	68	18	62.5	127	29	31.5	41	26
4†	2	1.5	247	56.1	114	01	48.2	92	10	06.5	32	-20	4	1	1.2	162	42.4	74	-06	54.5	72	29	30.8	48	09
5	1	0.8	141	59.5	82	19	48.5	72	15	08.3	16	-05	5†	2	1.4	155	45.8	73	12	64.8	106	40	33.7	50	22
6†	2	1.3	230	50.5	91	-19	48.7	87	10	13.2	38	-05	6†	2	1.4	185	46.1	68	06	61.0	120	26	31.6	47	18
7	1	1.1	158	54.6	93	20	50.7	80	30	08.6	19	-16	7	1	1.0	107	49.8	75	24	62.4	85	47	29.8	42	24
8	1	1.1	163	54.8	91	32	53.4	96	12	14.6	27	07	8†	2	1.6	192	43.1	71	-06	65.2	102	36	31.6	56	07
9	1	0.9	149	59.4	84	32	54.5	95	23	11.0	25	00	9	2	1.1	146	46.3	77	13	65.1	90	46	29.2	48	10
10	1	0.7	133	54.3	69	28	50.3	82	16	12.7	24	-02	10	1	0.9	113	47.3	72	30	61.6	88	42	31.4	43	18
11	1	0.5	122	58.3	75	12	47.9	68	22	12.9	19	06	11	1	0.6	82	51.3	66	33	62.1	82	48	31.8	41	26
12	1	0.6	125	58.5	74	32	48.5	69	09	10.7	23	00	12*	0	0.0	60	57.9	68	44	58.0	70	45	27.4	31	20
13	1	0.4	78	61.3	73	48	47.6	62	23	10.6	14	00	13	1	0.8	103	63.2	76	48	56.5	86	30	24.9	35	16
14	1	0.9	156	61.9	104	40	47.2	71	10	10.2	26	-05	14	2	1.1	144	53.2	93	19	60.5	86	36	30.3	41	21
15†	2	1.5	224	45.5	75	03	53.7	108	14	18.5	51	-07	15	2	1.3	134	54.4	77	34	61.0	92	26	28.6	39	14
16†	1	1.5	209	54.5	105	14	55.6	83	19	07.7	30	-24	16†	2	1.4	172	52.2	73	23	68.4	118	37	25.2	49	08
17†	1	1.3	192	44.0	73	06	50.4	87	03	07.8	20	-21	17	1	1.0	115	55.5	89	42	62.5	89	45	27.0	36	12
18*	1	0.4	103	54.5	70	24	53.1	76	32	11.2	18	05	18	2	1.3	131	49.5	69	30	63.2	98	40	28.6	43	09
19*	0	0.2	103	58.0	74	36	49.2	66	21	07.8	15	-05	19	2	1.1	124	57.2	99	35	66.2	94	47	24.8	33	20
20	2	1.0	137	63.1	83	42	53.1	94	27	08.1	27	-02	20	1	0.8	115	54.9	91	45	63.0	103	44	27.0	32	22
21	1	1.1	172	53.6	82	24	57.0	100	16	07.6	17	-13	21*	1	0.3	44	60.3	69	51	60.3	66	49	24.4	27	18
22	1	0.9	118	57.0	72	40	54.4	86	16	10.0	19	03	22*	0	0.0	44	62.0	68	53	57.7	67	45	24.8	28	21
23	1	0.9	127	61.1	90	38	51.8	67	20	10.8	27	-01	23	1	0.4	83	63.5	86	54	59.5	84	44	21.7	28	17
24	1	0.9	154	57.8	91	28	54.8	83	23	09.7	27	-04	24	1	0.4	81	63.2	88	53	57.6	78	45	20.8	27	14
25	1	0.5	94	60.4	89	50	50.8	67	24	10.4	15	03	25	1	0.4	72	69.2	87	53	55.3	72	45	19.5	25	14
26	1	0.6	84	57.5	77	35	54.6	67	38	08.6	13	00	26†	2	1.5	231	48.0	80	-18	61.4	110	35	27.5	68	10
27	1	0.7	125	62.9	96	44	54.4	76	30	05.2	14	-13	27	2	1.1	130	53.9	76	27	61.2	81	29	17.4	32	03
28*	0	0.0	87	62.4	80	47	50.1	68	29	07.4	12	-03	28*	1	0.3	68	53.4	67	37	61.8	73	51	23.8	33	17
29*	1	0.2	108	70.4	95	52	48.6	70	24	05.5	11	-08	29	1	0.4	82	62.5	88	48	60.8	74	50	19.6	27	09
30	1	1.1	174	60.9	88	15	46.7	66	14	09.0	37	-12	30*	1	0.2	45	63.6	70	55	59.8	69	49	16.9	21	11
Mittel	1.0	0.8	145	58.7	85	29	50.5	79	18	09.2	22	-06	Mittel	1.3	0.8	117	53.6	76	30	61.3	88	41	26.9	39	16
Max.	2	1.5	247	76.1	114	56	57.0	108	38	18.5	51	07	Max.	2	1.6	231	69.2	99	54	68.4	127	51	33.7	68	27
Min.	0	0.0	78	44.0	69	-19	39.0	62	-01	03.0	11	-24	Min.	0	0.0	44	42.4	65	-18	54.5	66	26	16.9	21	03
Oktober												Dezember													
1	2	1.2	180	53.3	86	08	54.3	82	22	11.0	34	-08	1	1	1.0	112	55.1	70	25	65.5	94	50	19.4	32	09
2†	2	1.6	247	45.6	86	02	65.2	116	22	17.6	55	-14	2	1.5	191	54.3	96	24	65.7	133	43	17.5	35	06	
3	1	0.9	106	50.8	68	29	52.5	66	35	10.5	20	-16	3†	2	1.4	153	54.1	82	25	68.2	100	39	15.2	29	-06
4	1	1.2	171	49.8	74	27	58.0	113	22	13.3	30	-03	4†	2	1.4	140	48.5	74	27	66.5	111	46	22.5	39	11
5†	2	1.5	249	40.6	76	-22	55.5	135	19	12.4	31	-04	5†	2	1.3	161	50.3	80	19	68.0	101	46	22.0	44	-01
6	1	0.8	113	52.3	76	20	54.4	72	37	11.7	19	-03	6	1	0.9	105	52.0	70	22	64.0	82	44	23.1	35	16
7	1	0.5	80	56.6	70	34	55.7	69	38	12.0	18	05	7	1	0.4	67	54.8	71	39	63.0	75	51	22.3	29	18
8	1	0.4	92	56.9	73	40	54.8	86	38	11.4	16	05	8	0	0.3	44	60.6	68	54	61.4	74	52	21.0	25	17
9*	1	0.3	92	56.0	73	37	55.7	76	35	13.8	21	06	9	1	0.4	89	60.2	76	42	64.0	92	55	22.2	33	15
10*	1	0.4	95	59.5	77	35	54.2	71	32	14.1	21	07	10	1	1.0	105	58.8	79	35	63.0	88	44	21.2	28	11
11*	0	0.3	105	58.7	76	32	51.7	72	26	14.9	23	08	11†	2	1.3	139	59.7	91	46	65.5	109	40	24.0	40	15
12†	2	1.5	225	45.1	70	19	62.1	129	20	17.0	45	-20	12	2	1.1	133	53.2	87	31	70.9	104	48	23.3	35	14
13	1	1.3	195	37.5	66	13	57.1	90	20	15.3	41	-31	13	1	0.8	87	54.8	63	30	68.2	88	51	26.2	35	18
14	1	0.7	108	45.2	60	22	58.9	84	34	21.9	33	13	14	1	0.8	84	58.3	81	47	67.4	88	52	25.5	31	17
15	1	0.9	139	48.7	69	21	54.8	98	29	22.6	34	12	15	2	0.9	108	56.8	89	41	69.2	98	51	25.8	33	20
16*	1	0.4	97	47.3	64	23	56.2	76	37	20.6	30	13	16	1	0.8	74	57.1	66	42	64.6	84	52	25.3	36	18
17	1	1.1	150	56.7	85	26	57.2	109	36	16.9	27	09	17	1	0.8	81	61.2	72	47	62.9	87	46	22.7	30	15
18	2	1.2	152	49.3	69	15	56.1	81	08	21.2	34	09	18	0	0.1	41	61.4	71	56	63.2	73	57	24.0	28	18
19	2	1.1	114	51.0	79	25	56.3	80	37	20.1	30	13	19*	0	0.0	39	63.8	73	59	64.2	72	54	22.9	26	19
20	1	0.8	125	53.4	82	29	57.7	93	37	18.3	24	08	20*	0	0.0	35	64.3	68	59	64.2	71	53	23.3	26	18
21	1	0.9	119	55.4	80	27	58.1	80	29	19.5	27	12	21*	0	0.0	40	64.2	69	58	64.3	78	53	25.0	27	23
22	1	1.0	136	52.9	82	25	55.6	74	24	19.2	32	03	22	0	0.3	68	67.1	83	56	64.4	86	53	23.0	26	18
23	1	0.9	138	58.5	84	40	61.3	105	33	17.8	24	02	23	1	0.9	138	54.8	76	26	62.8	102	41	28.5	45	18
24	1	0.6	84	52.5	62	30	52.9	68	32	17.0	23	07	24	0	0.1	54	62.5	70	51	63.6	74	51	25.1	31	19
25	1	0.3	81																						

Tagesmittel der Elemente.

Seddin

Begrenzung der Tage nach Weltzeit.

1931

Tag	D	I	H	F	D	I	H	F	D	I	H	F	D	I	H	F	D	I	H	F	D	I	H	F	Tag
	Januar				Februar				März				April				Mai				Juni				
1	5.8	8.8	82	33	7.2	9.1	78	29	6.7	9.2	76	31	8.7	9.2	76	28	8.9	8.3	84	20	9.5	8.8	85	37	1
2	5.7	8.9	81	31	7.3	9.5	72	28	6.9	9.4	75	31	8.3	8.9	78	25	8.8	8.3	84	18	10.0	10.4	64	37	2
3	5.8	8.8	82	30	6.4	9.2	77	28	7.1	9.5	72	29	8.7	9.4	73	28	9.0	8.1	87	20	10.2	10.1	63	26	3
4	5.6	8.8	83	30	6.9	9.4	74	30	7.7	9.2	76	29	9.3	9.6	69	24	9.3	8.1	84	14	10.6	9.6	71	28	4
5	5.4	8.6	84	30	7.0	8.8	81	28	6.8	9.2	77	28	7.8	9.1	75	21	9.1	8.4	83	19	11.3	9.1	76	26	5
6	5.4	8.4	87	29	6.6	8.9	80	27	7.3	9.4	74	28	8.1	9.0	77	22	9.1	8.4	82	18	10.5	8.9	78	23	6
7	5.2	8.3	88	29	6.3	8.7	82	28	7.2	9.2	76	29	8.0	9.5	82	22	9.2	8.7	76	14	10.2	9.2	73	21	7
8	5.3	8.1	90	29	7.5	9.0	78	28	7.4	8.9	80	28	8.4	8.2	85	20	10.1	9.3	71	17	10.5	9.0	77	22	8
9	6.2	8.5	84	27	6.7	8.7	82	28	8.0	9.4	73	27	8.4	8.2	85	21	9.9	8.8	80	23	10.3	10.4	54	11	9
10	6.7	9.4	74	29	6.5	8.6	84	29	7.4	9.2	77	28	8.7	8.8	76	17	9.3	8.4	85	25	10.8	9.4	72	23	10
11	5.8	9.4	74	29	6.6	8.9	80	28	7.2	9.0	78	28	8.6	9.6	68	20	10.4	8.1	88	24	10.4	9.2	74	20	11
12	5.7	9.2	77	29	6.5	8.7	83	29	8.1	8.8	80	24	8.7	9.2	73	21	9.6	9.0	76	23	11.5	9.3	72	21	12
13	5.9	9.1	78	29	7.4	8.2	88	26	8.7	9.5	72	26	8.8	8.9	77	19	11.0	8.7	79	20	10.8	9.3	72	21	13
14	6.0	8.7	82	28	6.9	9.2	75	25	8.5	9.9	66	25	8.3	8.6	80	17	11.2	8.2	84	17	11.5	9.1	76	25	14
15	6.2	8.7	82	28	8.2	10.1	64	27	7.7	9.2	76	29	8.3	8.6	80	18	10.1	9.1	69	7	11.3	8.9	78	22	15
16	7.2	8.9	79	26	6.5	9.4	74	27	7.1	9.4	74	27	8.6	8.4	83	20	9.8	9.0	75	19	10.6	8.6	83	25	16
17	6.8	10.0	66	28	6.7	9.2	76	31	7.6	9.4	72	25	8.0	8.2	85	20	9.7	8.3	82	16	10.4	8.4	86	27	17
18	6.2	9.7	69	27	7.0	9.2	77	29	7.5	9.2	77	28	8.6	8.9	75	15	9.3	8.7	80	20	10.3	8.7	83	27	18
19	6.5	9.4	73	29	6.8	9.0	79	32	7.7	9.1	76	27	9.7	9.1	73	19	9.9	8.9	80	27	10.4	8.9	81	30	19
20	6.7	9.4	74	29	6.8	9.0	80	29	6.9	8.7	83	28	9.1	10.0	61	15	9.1	8.8	82	33	10.3	9.0	79	30	20
21	6.1	8.9	80	28	6.8	9.1	78	30	8.6	9.4	74	27	9.4	8.9	76	20	9.6	8.6	86	34	10.1	8.6	85	32	21
22	6.2	8.9	80	27	6.8	9.0	80	31	8.0	9.3	72	22	8.9	9.2	73	20	9.7	8.9	81	32	11.6	8.9	81	32	22
23	6.3	8.7	82	28	6.8	8.9	79	28	8.3	9.8	67	24	9.0	8.9	76	20	9.9	8.4	85	26	10.8	8.8	82	31	23
24	5.8	8.3	87	28	7.1	11.2	54	36	8.5	9.8	68	25	9.4	8.8	76	18	9.1	7.5	94	21	11.4	8.9	79	28	24
25	7.6	8.7	81	26	7.5	11.2	54	37	9.1	9.7	69	25	8.8	8.6	80	18	9.7	7.3	95	16	10.6	8.8	80	23	25
26	6.4	9.7	69	26	8.4	10.2	64	30	8.4	9.4	72	23	8.5	8.6	79	17	8.3	7.8	89	16	10.4	8.1	90	29	26
27	7.1	9.6	71	28	7.7	10.0	67	33	8.0	9.3	74	25	9.2	8.7	78	19	9.4	9.1	76	27	11.3	9.2	76	30	27
28	7.1	9.6	70	27	7.8	9.7	71	30	8.2	9.3	75	27	8.8	8.2	85	19	10.8	9.8	69	29	11.3	8.9	78	25	28
29	6.3	9.6	72	30					8.3	9.1	77	25	9.2	8.6	79	19	10.0	9.3	78	36	11.3	9.2	75	24	29
30	6.6	9.2	77	30					8.5	9.1	77	25	8.8	8.3	83	16	10.7	9.2	79	36	11.1	9.2	77	28	30
31	6.8	9.1	78	30					7.2	9.1	76	25					9.5	9.2	80	36					31
Mittel	6.2	9.0	79	29	7.0	9.3	75	29	7.8	9.3	75	27	8.7	8.9	77	20	9.7	8.6	81	23	10.7	9.1	77	26	Mittel
Max.	7.6	10.0	90	33	8.4	11.2	88	37	9.1	9.9	83	31	9.7	10.0	85	28	11.2	9.8	95	36	11.6	10.4	90	37	Max.
Min.	5.2	8.1	66	26	6.3	8.2	54	25	6.7	8.7	66	22	7.8	8.2	61	15	8.3	7.3	69	7	9.5	8.1	54	11	Min.
	Juli				August				September				Oktober				November				Dezember				
1	10.8	9.0	80	29	12.1	9.3	73	25	12.7	9.8	68	26	13.9	10.8	56	28	15.2	12.2	46	44	16.2	11.0	57	35	1
2	11.3	8.4	85	25	11.5	9.5	69	19	12.7	9.6	71	27	15.8	11.5	48	31	15.2	12.0	48	46	16.2	11.0	56	34	2
3	11.5	9.1	76	25	12.5	9.4	71	19	11.6	9.0	80	31	13.5	10.9	54	26	15.2	11.9	49	43	16.5	11.0	55	31	3
4	11.0	8.7	81	26	12.0	9.7	67	22	12.8	10.5	59	25	14.6	11.2	52	28	13.7	12.1	45	41	16.1	11.5	50	35	4
5	10.7	9.1	77	25	12.5	9.9	68	29	12.9	10.3	62	27	14.0	11.6	44	24	15.8	12.0	48	46	16.4	11.4	51	36	5
6	10.8	8.9	80	28	11.7	9.5	73	31	12.9	11.1	53	29	13.8	10.9	55	28	15.0	11.9	48	44	15.7	11.3	54	38	6
7	10.6	8.8	82	33	11.2	9.7	73	38	13.4	10.6	58	27	14.3	10.5	60	30	15.3	11.7	52	44	15.6	11.0	57	38	7
8	11.6	9.0	78	28	12.1	9.8	70	32	13.8	10.7	58	33	14.1	10.5	60	29	15.8	12.1	45	42	15.3	10.6	63	40	8
9	11.6	9.2	77	28	12.5	9.8	68	27	14.0	10.4	62	30	14.3	10.7	59	32	15.8	11.8	48	42	15.9	10.7	62	40	9
10	11.5	9.0	77	22	12.7	10.3	62	26	13.2	10.8	57	30	14.0	10.4	63	34	15.2	11.9	49	43	15.7	10.7	61	39	10
11	10.3	8.5	84	25	12.5	10.4	59	22	12.8	10.5	61	32	13.7	10.5	62	34	15.3	11.6	53	46	16.3	10.8	62	42	11
12	11.4	8.5	82	21	11.8	9.8	65	19	12.9	10.4	62	30	15.2	11.6	47	30	14.7	11.0	60	44	17.1	11.3	54	38	12
13	11.3	8.9	78	24	12.5	9.4	72	25	12.9	10.2	64	31	14.2	12.0	40	26	14.6	10.6	65	44	16.5	11.3	56	42	13
14	10.6	9.2	74	22	12.1	9.7	68	23	12.7	10.2	65	30	14.7	11.7	47	34	15.1	11.5	55	45	16.4	11.0	59	42	14
15	10.8	9.3	72	22	12.5	9.7	68	23	13.7	11.6	48	32	14.0	11.5	52	37	15.2	11.3	56	45	16.7	11.1	58	43	15
16	11.2	9.3	71	17	11.4	9.5	70	23	14.3	10.6	57	25	14.1	11.5	50	34	16.4	11.4	53	40	16.0	11.0	59	42	16
17	11.4	9.4	71	19	12.9	9.8	66	21	13.0	11.3	47	21	14.5	10.8	59	35	15.4	11.2	57	43	16.7	10.7	63	42	17
18	11.1	9.0	76	21	11.5	9.4	72	23	13.8	10.6	58	29	14.2	11.4	52	35	15.5	11.6	52	43	16.7	10.7	63	43	18
19	11.6	9.0	75	19	12.6	9.0	77	23	13.0	10.3	61	27	14.2	11.2	54	35	16.2	11.0	59	42	16.0	10.5	66	43	19
20	10.9	9.0	77	23	12.6	9.8	66	23	13.9	10.0	66	29	14.7	11.1	55	33	15.6	11.2	57	43	16.0	10.5	66	43	20
21	11.1	8.9	78	22	12.3	9.6	70	26	14.5	10.7	56	25	14.7	11.0	57	36	15.2	10.8	62	42	16.0	10.5	66	45	21
22	11.8	9.0	76	23	12.8	9.6	69	24	13.9	10.5	60	28	14.3	11.1	56	35	14.8	10.6	64	44	16.0	10.3	69	44	22
23	11.1	9.1	77	25	12.1	9.6	71	26	13.7	10.2	64	31	15.2	10.7	60	35	15.2	10.5	65	41	16.6	11.2	57	44	23
24	12.6	9.8	64	17	12.6	9.1	77	26	14.1	10.4	61	29	13.7	11.1	55	33	14.8	10.5	65	40	15.9	10.6	65	44	24
25	11.3	10.1	63	26	12.8	10.3	60	21	13.5	10.3	63	30	1												

Täglicher Gang an allen, an ruhigen und an gestörten Tagen, dargestellt durch Stundenmittel.

Seddin

Weltzeit.

1931

		0h	1h	2h	3h	4h	5h	6h	7h	8h	9h	10h	11h	12h	13h	14h	15h	16h	17h	18h	19h	20h	21h	22h	23h	24h	T.-M.		
		ΔX Nordkomponente																											
S.S.	Y	1.0	0.3	1.4	2.8	4.4	6.6	6.6	4.3	-0.5	-4.7	-6.8	-6.4	-5.5	-4.4	-5.0	-5.2	-3.8	-0.3	0.0	3.0	3.7	4.6	2.6	1.5	18362.9			
	Y	-1.0	-1.8	-0.7	0.0	2.1	3.9	3.8	3.6	1.4	-2.2	-4.3	-4.4	-2.7	-1.6	-2.0	-1.4	-0.8	0.8	2.1	2.6	2.0	1.2	0.3	-0.3	368.5			
	Y	2.6	3.2	3.0	5.0	8.5	7.8	10.6	7.8	-2.3	-5.8	-8.4	-10.6	-11.8	-10.2	-9.6	-10.6	-12.0	2.0	-0.3	1.4	8.6	12.0	4.2	4.2	357.0			
Äqu.	Y	9.5	7.4	6.7	7.2	7.0	6.5	3.3	-5.1	-13.9	-20.1	-21.6	-18.4	-14.0	-8.1	-4.3	-1.6	0.8	3.9	7.1	8.2	8.1	10.6	11.2	9.4	361.6			
	Y	6.8	4.7	5.0	5.8	6.5	6.6	3.8	-3.2	-11.6	-18.8	-21.0	-18.0	-12.4	-7.1	-3.2	-1.3	0.9	3.7	7.0	9.5	8.7	9.6	10.0	8.0	364.8			
	Y	14.1	11.3	11.7	9.7	10.4	8.7	2.5	-6.2	-16.5	-25.5	-28.6	-23.2	-20.5	-11.9	-8.7	-3.8	-1.4	2.8	5.3	11.8	9.6	15.7	18.6	14.0	353.2			
N.S.	Y	8.2	6.7	7.6	7.5	6.7	1.8	-5.2	-12.4	-18.6	-21.8	-21.0	-18.6	-12.4	-6.8	-1.8	3.0	5.7	8.8	10.8	12.1	11.6	10.2	9.5	8.3	371.0			
	Y	7.2	5.9	7.1	7.8	6.8	2.0	-4.7	-11.0	-16.6	-20.0	-19.8	-15.6	-10.5	-5.0	0.4	3.0	5.5	7.1	8.6	9.4	9.9	8.5	7.1	7.6	372.1			
	Y	10.6	11.4	12.5	8.8	8.1	3.6	-4.1	-12.8	-18.6	-24.4	-27.2	-30.6	-18.5	-9.9	-8.4	3.2	6.1	11.0	12.6	16.5	14.5	12.9	12.3	11.0	367.0			
W.	Y	3.8	2.5	3.1	4.2	5.6	7.2	6.6	2.2	-4.1	-9.0	-11.1	-10.4	-8.8	-5.9	-5.1	-4.1	-2.7	0.3	2.0	4.4	4.7	6.2	5.3	3.7	361.2			
	Y	1.6	0.2	1.3	2.2	4.2	5.7	4.8	2.2	-2.7	-7.9	-10.1	-9.5	-6.8	-3.8	-2.8	-1.5	-0.3	1.3	3.8	4.7	4.4	3.9	3.4	2.2	366.6			
	Y	6.6	6.2	5.8	7.6	9.1	8.9	9.3	5.2	-4.3	-9.1	-12.6	-14.3	-13.7	-12.0	-12.0	-9.5	-9.9	0.4	0.9	4.2	7.4	12.0	8.5	6.8	354.1			
S.	Y	8.6	7.2	7.5	7.5	6.6	2.7	-3.4	-11.0	-17.9	-22.0	-21.8	-18.6	-12.4	-7.0	-2.4	1.6	4.5	8.0	10.0	11.2	10.8	10.7	10.2	9.0	369.0			
	Y	7.2	5.7	6.3	6.8	6.0	2.7	-2.9	-9.3	-15.1	-19.4	-20.0	-15.8	-10.2	-5.3	-1.0	1.8	4.1	6.4	8.0	9.7	9.4	8.9	8.2	7.9	370.4			
	Y	11.5	11.0	12.3	8.1	8.9	4.5	-3.3	-12.7	-20.7	-28.0	-30.1	-28.7	-18.1	-9.3	-5.8	2.0	5.0	10.1	10.8	15.6	14.4	15.1	14.9	12.7	364.1			
J.	Y	6.2	4.8	5.3	5.8	6.1	4.9	1.6	-4.4	-11.0	-15.5	-16.5	-14.4	-10.6	-6.4	-3.7	-1.3	0.9	4.1	6.0	7.8	7.8	8.5	7.8	6.4	365.1			
	Y	4.4	2.9	3.8	4.5	5.1	4.2	0.9	-3.6	-8.9	-13.7	-15.0	-12.6	-8.6	-4.6	-1.9	0.1	1.9	3.9	5.9	7.2	6.9	6.4	5.8	5.1	368.5			
	Y	9.1	8.6	9.0	7.9	9.0	6.7	3.0	-3.8	-12.5	-18.6	-21.4	-21.5	-16.9	-10.7	-8.9	-3.7	-2.4	5.3	5.8	9.9	10.9	13.6	11.7	9.7	359.1			

		0h	1h	2h	3h	4h	5h	6h	7h	8h	9h	10h	11h	12h	13h	14h	15h	16h	17h	18h	19h	20h	21h	22h	23h	24h	T.-M.		
		ΔY Ostkomponente																											
S.S.	Y	3.8	2.6	1.2	0.0	-1.7	-2.4	-1.2	-0.3	-1.3	-4.6	-9.6	-13.3	-12.4	-10.0	-4.4	-1.9	-1.3	3.8	4.9	8.4	10.0	12.3	10.7	7.0	-1761.8			
	Y	3.7	3.0	2.8	0.6	0.7	1.3	2.0	2.9	2.2	-1.6	-6.0	-8.7	-9.4	-7.6	-4.3	-2.8	-1.7	0.0	1.6	2.4	4.3	5.4	5.2	4.2	763.9			
	Y	1.4	0.5	-1.8	-3.9	-8.5	-10.0	-10.1	-7.5	-8.2	-10.0	-15.8	-16.6	-13.2	-11.6	-2.2	3.6	-0.9	13.0	12.0	18.5	21.1	24.3	19.1	7.0	758.9			
Äqu.	Y	3.2	3.7	5.6	3.7	3.7	7.6	13.2	16.2	12.9	2.3	-11.4	-24.2	-27.0	-24.2	-16.2	-7.7	-1.7	2.1	4.8	7.7	7.5	8.0	5.8	3.9	761.9			
	Y	2.8	2.3	3.6	3.5	5.2	9.3	15.9	20.6	17.9	7.0	-8.5	-20.7	-24.8	-20.4	-12.6	-5.9	-2.8	-2.0	-0.6	1.6	1.8	2.4	2.6	2.0	763.3			
	Y	6.0	2.0	3.0	-2.7	-3.8	1.0	9.2	11.4	8.9	-1.7	-15.2	-29.8	-32.6	-27.8	-23.3	-6.4	3.8	11.2	13.4	19.8	14.5	18.6	13.8	7.5	758.4			
N.S.	Y	5.8	7.6	8.4	11.7	17.4	21.6	23.8	21.0	13.7	1.5	-13.6	-25.4	-30.2	-28.8	-21.8	-13.4	-7.3	-3.4	-2.0	0.2	1.6	2.4	4.4	5.2	763.4			
	Y	4.8	5.6	7.8	12.3	19.6	25.5	26.8	24.4	15.3	1.5	-13.6	-25.8	-30.2	-27.5	-20.6	-12.1	-6.4	-4.5	-4.4	-2.9	-0.9	0.9	2.3	2.4	763.2			
	Y	7.3	10.6	8.4	6.0	10.4	15.3	22.0	17.2	11.5	0.6	-16.4	-27.8	-30.3	-29.4	-21.4	-12.6	-6.2	-3.1	-1.4	9.6	9.1	5.3	7.6	7.9	762.2			
W.	Y	3.6	2.6	2.2	0.5	-1.3	-0.9	1.8	4.0	2.8	-2.7	-10.2	-16.8	-16.2	-14.1	-7.6	-3.0	-0.5	4.1	5.4	9.0	10.0	11.6	9.3	6.0	761.6			
	Y	3.2	2.0	2.4	0.6	1.2	2.8	5.4	8.0	7.4	1.6	-6.7	-12.4	-14.0	-11.2	-6.4	-2.8	-1.2	0.0	1.3	2.4	3.8	4.8	4.3	3.8	763.6			
	Y	2.5	2.4	0.4	-3.8	-7.6	-8.9	-6.1	-3.3	-4.2	-8.4	-16.3	-21.9	-19.6	-17.6	-9.4	3.0	1.9	14.6	13.9	19.9	18.9	24.3	18.5	7.0	757.8			
S.	Y	4.9	6.6	7.9	9.8	14.2	18.8	22.0	20.6	14.0	2.2	-12.9	-25.2	-30.2	-27.9	-20.7	-12.4	-6.4	-2.5	-0.3	2.0	2.8	3.6	4.6	4.7	763.1			
	Y	4.4	5.3	7.0	10.3	15.7	21.3	24.4	23.9	16.2	3.1	-12.0	-24.3	-28.9	-25.7	-18.6	-11.1	-6.1	-4.3	-3.6	-1.7	-0.4	1.0	2.4	2.0	763.3			
	Y	7.2	6.3	5.9	3.5	6.3	13.1	20.2	17.3	12.4	1.0	-15.3	-27.6	-31.2	-28.2	-21.9	-13.2	-4.1	-0.5	2.1	12.0	10.9	7.9	8.5	7.9	762.0			
J.	Y	4.2	4.6	5.1	5.1	6.5	8.9	11.9	12.3	8.4	-0.3	-11.6	-21.0	-23.2	-21.0	-14.2	-7.7	-3.4	0.8	2.6	5.5	6.4	7.6	7.0	5.4	762.4			
	Y	3.8	3.6	4.7	5.5	8.5	12.0	14.9	16.0	11.8	2.3	-9.4	-18.4	-21.5	-18.5	-12.5	-6.9	-3.7	-2.2	-1.2	0.3	1.7	2.9	3.4	2.9	763.5			
	Y	4.9	4.4	3.2	-0.2	-0.7	2.1	7.1	7.0	4.1	-3.7	-15.8	-24.8	-25.4	-22.9	-15.7	-5.1	-1.1	7.0	8.0	16.0	14.9	16.1	13.5	7.5	759.9			

		0h	1h	2h	3h	4h	5h	6h	7h	8h	9h	10h	11h	12h	13h	14h	15h	16h	17h	18h	19h	20h	21h	22h	23h	24h	T.-M.		
		ΔZ Vertikalkomponente																											
S.S.	Y	-2.4	-2.6	-2.9	-2.9	-2.9	-3.2	-3.2	-3.1	-3.4	-3.4	-2.6	-1.9	0.3	2.9	4.4	5.4	5.6	5.4	5.5	4.2	2.8	0.6	-0.4	-1.6	43114.2			
	Y	-0.2	0.1	0.2	0.1	-0.2	-0.6	-1.4	-2.1	-2.6	-2.1	-1.7	-1.7	-0.7	1.0	1.4	1.5	1.7	1.7	1.8	1.5	1.3	0.8	0.5	0.0	112.4			
	Y	-6.4	-7.6	-7.6	-7.6	-7.4	-7.4	-7.2	-6.2	-5.4	-5.8	-4.0	-1.7	3.0	7.2	10.3	13.4	14.0	11.9	12.0	9.5	4.3	-2.8	-2.9	-5.8	115.3			
Äqu.	Y	-3.3	-3.9	-3.4	-3.4	-2.8	-1.3	0.6	0.6	-2.4	-6.5	-9.0	-8.0	-4.0	1.4	5.7	7.8	7.6	7.2	6.8	5.5	4.2	1.9	-0.2	-1.7	105.9			
	Y	0.2	0.6	0.6	0.6	1.0	2.0	3.2	2.4	-1.6	-5.8	-8.9	-9.0	-6.2	-1.9	2.0	3.4	3.4	3.0	3.2	2.7	2.4	1.6	0.9	0.4	104.4			
	Y	-11.0	-12.4	-11.3	-11.2	-9.9	-6.4	-2.8	-1.8	-3.6	-7.1	-8.9	-6.7	-1.0	7.4	16.5	19.7	18.6	16.8	14.4	9.2	5.6	-0.3	-5.4	-8.7	108.7			
N.S.	Y	-1.2	-1.3	-0.7	0.4	0.7	-0.1	0.2	-1.4	-4.8	-9.3	-12.3	-11.7	-8.1	-1.9	4.1	7.3	9.1	9.2	7.9	6.4	4.7	2.8	1.1	-0.1	098.8			
	Y	0.7	1.2	2.0	3.6	4.7	3.5	2.1	-0.8	-5.9	-10.6	-13.3	-12.4	-9.2	-3.5	2.1	4.8	6.3	6.5	4.9	4.0	3.2	2.5	2.4	1.1	098.3			
	Y	-5.4	-6.4	-5.8	-5.4	-6.6	-7.1	-6.0	-5.4	-8.0	-11.1	-11.8	-8.6	-4.6	2.8	10.2	13.1	16.0	16.1	14.4	11.8	8.2	3.6	-0.2	-2.7	098.5			
W.	Y	-3.2	-3.5	-3.4	-3.2	-3.2	-3.1	-2.2	-1.9	-2.9	-4.0	-4.0	-2.9	-0.2	3.0	5.4	6.6	6.4	6.1	5.8	4.3	2.9	0.6	-0.8	-2.2	113.0			
	Y	-0.5	-0.1	-0.2	0.3	0.5	0.4	0.2	0.6	-1.8	-2.4	-3.1	-3.1	-1.6	0.6	2.2	2.4	2.2	2.0	1.9	1.7	1.4	0.8	0.3	0.3	111.3			
	Y	-8.9	-9.7	-8.9	-8.8	-8.2	-7.6	-6.3	-5.2	-5.4	-6.8	-5.8	-2.9	2.2	8.2	14.3	17.6	16.6	14.2	13.0	9.3	4.3	-2.8	-4.8	-7.8	114.8			
S.	Y	-1.4	-1.7	-1.2	-0.7	-0.1																							

Monatsmittel des täglichen Ganges, dargestellt durch Stundenmittel.

Seddin

Weltzeit.

1931

	0h	1h	2h	3h	4h	5h	6h	7h	8h	9h	10h	11h	12h	13h	14h	15h	16h	17h	18h	19h	20h	21h	22h	23h	24h	T.-M.	
ΔX Nordkomponente																											
J.	-1.7	-2.6	0.1	1.9	3.7	5.5	4.9	3.3	-0.6	-2.6	-2.6	-1.7	-0.4	1.4	-1.8	-3.4	-2.6	-0.2	0.9	1.6	0.9	-0.8	-1.4	-0.6		18371.6	
F.	3.4	2.6	1.8	1.2	3.0	5.4	7.4	2.8	-2.6	-6.8	-8.7	-7.7	-5.7	-3.4	-2.2	-3.9	-2.8	-1.8	-0.9	2.4	2.0	7.9	3.7	2.3		368.7	
M.	7.2	5.1	4.5	5.1	6.1	7.3	5.9	-0.3	-10.1	-17.3	-20.6	-18.6	-15.3	-8.2	-2.2	0.5	0.6	3.8	5.6	8.3	7.0	9.5	9.3	7.8		368.4	
A.	9.1	5.5	5.7	6.3	7.0	4.2	0.7	-6.7	-13.9	-21.1	-24.5	-19.6	-13.0	-7.1	-1.7	1.5	3.8	6.7	8.1	9.2	8.9	9.9	10.1	10.4		371.5	
M.	5.9	3.8	6.1	7.5	7.0	0.4	-5.1	-10.7	-15.4	-17.6	-17.8	-16.0	-10.0	-5.8	-2.0	1.6	7.4	9.9	9.7	9.8	7.9	7.8	7.3	7.2		376.3	
J.	9.5	7.7	8.9	7.8	5.9	-0.3	-7.4	-14.8	-22.2	-25.1	-23.0	-18.2	-14.7	-10.6	-2.2	3.9	6.9	12.0	14.7	15.1	14.3	11.2	11.0	9.4		372.1	
J.	8.2	8.1	8.7	8.9	7.7	4.1	-3.6	-10.5	-18.8	-25.1	-25.6	-23.2	-15.7	-7.3	-0.9	4.5	6.3	8.0	11.0	13.1	12.9	11.1	10.4	8.5		370.3	
A.	9.0	7.2	6.8	5.8	6.1	2.9	-4.5	-13.5	-17.9	-19.2	-17.8	-17.0	-9.0	-3.6	-2.3	1.8	2.1	5.4	7.8	10.5	11.1	10.7	9.3	8.0		365.1	
S.	10.1	10.6	8.6	8.8	5.9	4.9	-0.2	-9.5	-19.1	-23.9	-22.4	-17.3	-12.3	-7.3	-5.3	-3.6	0.4	5.8	8.5	9.4	9.9	13.6	13.4	10.8		358.7	
O.	11.7	8.6	8.1	8.8	9.1	9.5	6.9	-3.8	-12.4	-18.1	-18.9	-17.9	-15.4	-9.9	-8.1	-4.7	-1.6	-0.7	6.3	6.1	6.6	9.4	12.1	8.4		347.6	
N.	3.7	1.0	3.4	5.8	8.0	8.9	7.4	4.8	-2.0	-8.4	-11.7	-11.0	-11.0	-10.6	-9.5	-7.8	-4.0	5.2	0.5	4.1	6.9	7.9	5.7	3.8		353.6	
D.	-1.2	0.1	0.5	2.3	3.8	6.4	6.9	6.3	3.2	-1.0	-4.0	-5.2	-4.8	-4.8	-6.7	-5.5	-6.0	-4.4	-0.3	3.7	5.0	3.3	2.4	0.6		357.6	
S.S.	1.0	0.3	1.4	2.8	4.4	6.6	6.6	4.3	-0.5	-4.7	-6.8	-6.4	-5.5	-4.4	-5.0	-5.2	-3.8	-0.3	0.0	3.0	3.7	4.6	2.6	1.5		362.9	
Äqu.	9.5	7.4	6.7	7.2	7.0	6.5	3.3	-5.1	-13.9	-20.1	-21.6	-18.4	-14.0	-8.1	-4.3	-1.6	0.8	3.9	7.1	8.2	8.1	10.6	11.2	9.4		361.6	
N.S.	8.2	6.7	7.6	7.5	6.7	1.8	-5.2	-12.4	-18.6	-21.8	-21.0	-18.6	-12.4	-6.8	-1.8	3.0	5.7	8.8	10.8	12.1	11.6	10.2	9.5	8.3		371.0	
W.	3.8	2.5	3.1	4.2	5.6	7.2	6.6	2.2	-4.1	-9.0	-11.1	-10.4	-8.8	-5.9	-5.1	-4.1	-2.7	0.3	2.0	4.4	4.7	6.2	5.3	3.7		361.2	
S.	8.6	7.2	7.5	7.5	6.6	2.7	-3.4	-11.0	-17.9	-22.0	-21.8	-18.6	-12.4	-7.0	-2.4	1.6	4.5	8.0	10.0	11.2	10.8	10.7	10.2	9.0		369.0	
J.	6.2	4.8	5.3	5.8	6.1	4.9	1.6	-4.4	-11.0	-15.5	-16.5	-14.4	-10.6	-6.4	-3.7	-1.3	0.9	4.1	6.0	7.8	7.8	8.5	7.8	6.4		365.1	

	0h	1h	2h	3h	4h	5h	6h	7h	8h	9h	10h	11h	12h	13h	14h	15h	16h	17h	18h	19h	20h	21h	22h	23h	24h	T.-M.	
ΔY Ostkomponente																											
J.	4.9	3.8	1.8	0.5	-0.7	-1.1	-0.9	-1.9	-4.4	-6.5	-9.2	-11.3	-10.0	-5.3	-2.2	-1.2	-2.3	1.6	3.6	6.7	7.6	8.7	11.4	6.5		-1789.2	
F.	5.3	6.3	5.9	4.4	2.6	2.0	2.5	3.3	2.3	-1.5	-8.9	-14.0	-17.4	-16.0	-9.8	-6.4	-3.4	-0.7	1.8	5.8	5.8	12.0	10.9	6.9		784.4	
M.	4.5	5.1	6.6	5.9	4.0	7.4	12.2	17.0	15.3	5.5	-9.7	-22.9	-26.7	-25.2	-16.9	-7.2	-2.2	-1.0	0.9	4.0	5.1	7.5	4.2	5.5		780.6	
A.	3.0	5.2	7.5	7.7	10.8	16.1	21.3	23.1	18.8	7.5	-8.2	-23.8	-31.1	-28.2	-19.8	-12.2	-6.0	-3.0	-1.1	2.3	2.8	2.4	2.9	2.5		775.7	
M.	6.1	4.6	5.8	9.4	16.2	22.6	23.7	20.7	12.0	-0.9	-15.8	-27.0	-30.3	-26.0	-18.5	-11.1	-6.1	-2.1	-0.3	1.7	3.0	2.7	4.5	5.1		771.1	
J.	6.1	8.6	9.0	14.6	20.8	24.1	27.1	23.3	16.0	2.8	-12.5	-24.2	-29.2	-29.6	-25.2	-19.0	-11.3	-7.2	-4.0	-2.0	0.0	2.0	4.9	5.2		765.0	
J.	5.2	7.8	9.4	12.8	19.0	23.7	25.4	23.4	16.2	4.9	-10.5	-23.9	-31.3	-24.0	-15.2	-8.0	-3.8	-3.7	-1.3	0.3	-0.2	2.6	2.8			761.9	
A.	5.7	9.2	9.6	10.1	13.6	16.2	19.0	16.4	10.5	-0.7	-15.6	-26.6	-30.2	-28.0	-19.5	-8.2	-3.9	-0.7	0.0	2.6	3.2	4.9	5.5	7.6		755.6	
S.	3.5	4.2	6.1	3.9	4.8	10.1	15.6	16.4	10.8	-0.6	-14.6	-26.0	-29.1	-24.0	-17.3	-8.6	-2.9	1.9	7.4	8.5	7.5	9.6	7.1	5.0		749.5	
O.	1.8	0.3	2.3	-2.8	-4.7	-3.4	3.7	8.2	6.6	-3.1	-13.3	-24.3	-21.1	-19.5	-11.0	-2.9	4.3	10.5	12.2	16.1	14.6	12.7	9.1	2.6		741.9	
N.	1.4	0.2	-2.5	-2.4	-4.3	-5.2	-3.4	0.7	1.0	-3.5	-10.8	-15.7	-12.8	-11.0	-3.5	-3.4	1.4	11.9	7.9	11.9	13.1	14.0	9.0	5.3		738.7	
D.	3.4	0.0	-0.6	-2.7	-4.5	-5.2	-3.2	-3.3	-4.2	-7.1	-9.5	-12.3	-9.3	-7.7	-2.3	3.4	-0.8	2.4	6.2	9.4	13.7	14.4	11.4	9.4		734.8	
S.S.	3.8	2.6	1.2	0.0	-1.7	-2.4	-1.2	-0.3	-1.3	-4.6	-9.6	-13.3	-12.4	-10.0	-4.4	-1.9	-1.3	3.8	4.9	8.4	10.0	12.3	10.7	7.0		761.8	
Äqu.	3.2	3.7	5.6	3.7	3.7	7.6	13.2	16.2	12.9	2.3	-11.4	-24.2	-27.0	-24.2	-16.2	-7.7	-1.7	2.1	4.8	7.7	7.5	8.0	5.8	3.9		761.9	
N.S.	5.8	7.6	8.4	11.7	17.4	21.6	23.8	21.0	13.7	1.5	-13.6	-25.4	-30.2	-28.8	-21.8	-13.4	-7.3	-3.4	-2.0	0.2	1.6	2.4	4.4	5.2		763.4	
W.	3.6	2.6	2.2	0.5	-1.3	-0.9	1.8	4.0	2.8	-2.7	-10.2	-16.8	-16.2	-14.1	-7.6	-3.0	-0.5	4.1	5.4	9.0	10.0	11.6	9.3	6.0		761.6	
S.	4.9	6.6	7.9	9.8	14.2	18.8	22.0	20.6	14.0	2.2	-12.9	-25.2	-30.2	-27.9	-20.7	-12.4	-6.4	-2.5	-0.3	2.0	2.8	3.6	4.6	4.7		763.1	
J.	4.2	4.6	5.1	5.1	6.5	8.9	11.9	12.3	8.4	-0.3	-11.6	-21.0	-23.2	-21.0	-14.2	-7.7	-3.4	0.8	2.6	5.5	6.4	7.6	7.0	5.4		762.4	

	0h	1h	2h	3h	4h	5h	6h	7h	8h	9h	10h	11h	12h	13h	14h	15h	16h	17h	18h	19h	20h	21h	22h	23h	24h	T.-M.	
ΔZ Vertikalkomponente																											
J.	-1.0	-1.0	-1.8	-2.0	-2.3	-2.4	-2.2	-2.9	-1.7	-0.4	-0.2	-0.5	0.8	1.0	1.1	1.9	2.7	2.7	2.6	2.0	1.6	1.2	0.9	-0.3		43101.9	
F.	-2.2	-2.5	-2.4	-2.3	-2.5	-2.6	-3.4	-2.3	-2.6	-3.8	-3.3	-2.9	-2.0	0.8	3.2	4.5	4.9	5.8	6.4	5.3	4.3	1.0	0.4	-0.7		104.1	
M.	-1.7	-2.4	-1.8	-1.4	-1.7	-1.0	0.9	1.8	0.2	-3.8	-6.8	-6.9	-5.0	-1.6	2.7	4.9	4.8	3.8	4.6	4.0	3.8	2.0	0.3	-0.7		101.6	
A.	1.1	1.2	1.1	1.3	1.4	2.3	2.6	1.5	-2.5	-8.7	-13.7	-15.2	-11.6	-4.7	0.3	3.4	5.7	6.2	6.9	6.3	5.5	4.0	3.3	2.1		093.1	
M.	1.1	1.2	0.6	1.0	0.9	-0.4	-2.0	-3.7	-6.7	-11.0	-14.6	-13.6	-8.5	-1.1	4.1	5.7	7.8	9.5	8.9	7.3	5.9	3.5	2.4	1.6		094.4	
J.	-1.7	-1.5	0.6	0.6	1.1	0.1	0.1	-1.3	-5.0	-9.5	-13.0	-12.3	-8.5	-3.1	2.5	6.6	9.3	10.4	9.5	7.6	5.2	3.8	1.3	-0.5		100.2	
J.	-1.6	-1.5	-0.4	1.2	2.2	0.9	0.9	-0.9	-4.0	-7.3	-10.4	-11.3	-9.5	-3.3	2.8	6.8	9.2	9.1	6.5	4.9	3.6	2.2	0.7	-0.5		098.6	
A.	-2.8	-3.3	-2.5	-1.4	-1.4	-0.9	0.4	0.1	-3.6	-9.3	-11.2	-9.6	-5.9	-0.1	7.0	10.0	10.1	8.0	6.8	5.6	4.1	1.9	-0.1	-0.9		102.1	
S.	-4.2	-6.2	-5.7	-6.9	-4.7	-1.6	0.6	0.1	-2.9	-6.8	-8.8	-6.8	-1.5	3.8	7.9	9.0	8.6	7.7	6.3	5.0	2.1	1.0	-0.4	-2.4		109.2	
O.	-8.3	-8.1	-7.1	-6.4	-6.0	-4.8	-1.7	-0.8	-4.2	-6.6	-6.9	-3.0	2.3	7.9	12.0	13.7	11.1	11.2	8.5	5.3	2.6	-0.4	-3.9	-5.9		119.8	
N.	-4.2	-3.8	-4.2	-4.2	-4.1	-4.1	-3.4	-3.5	-5.0	-5.4	-3.8	-1.7	2.2	6.6	7.9	8.8	8.3	6.8	6.9	4.7	2.3	-1.0	-2.0	-3.6		126.9	
D.	-2.1	-3.3	-3.1	-3.1	-2.7	-3.5	-3.6	-3.6	-4.1	-3.9	-3.2	-2.5	0.3	3.1	5.5	6.1	6.5	6.3	6.1	4.6	2.9	1.0	-0.7	-1.8		123.9	
S.S.	-2.4	-2.6	-2.9	-2.9	-2.9	-3.2	-3.2	-3.1	-3.4	-3.4	-2.6	-1.9	0.3	2.													

Täglicher Gang an ruhigen Tagen, dargestellt durch Stundenmittel.

Seddin

Weltzeit.

1931

	0 ^h	1 ^h	2 ^h	3 ^h	4 ^h	5 ^h	6 ^h	7 ^h	8 ^h	9 ^h	10 ^h	11 ^h	12 ^h	13 ^h	14 ^h	15 ^h	16 ^h	17 ^h	18 ^h	19 ^h	20 ^h	21 ^h	22 ^h	23 ^h	24 ^h	T.-M.	
ΔX Nordkomponente																											
J.	-2.2	-1.7	-0.8	-0.3	2.4	4.6	4.1	2.6	0.3	-1.4	-3.0	-3.7	0.1	2.4	1.0	-1.3	-0.6	0.1	1.4	2.0	0.5	-1.4	-2.1	-2.0	18	377.4	
F.	1.7	2.0	0.2	0.9	2.4	2.8	2.9	1.4	-2.0	-7.1	-7.8	-5.4	-2.4	1.0	0.7	0.0	0.0	0.7	2.0	2.0	2.1	0.2	-0.2	1.9	374.1		
M.	6.9	6.0	5.3	7.1	8.2	9.1	7.2	1.4	-9.3	-20.8	-25.4	-22.1	-17.1	-7.6	-1.2	2.5	3.0	4.0	6.9	7.0	7.9	7.1	7.8	6.5	370.2		
A.	6.4	5.1	5.2	5.8	5.5	4.2	2.0	-3.5	-10.0	-15.4	-17.7	-16.0	-11.6	-7.9	-3.8	-1.4	-0.1	4.6	8.0	8.5	7.4	8.4	9.1	8.0	371.4		
M.	6.4	6.0	5.9	7.1	7.1	1.3	-6.2	-12.8	-17.2	-19.2	-19.5	-14.7	-7.7	-3.3	2.0	5.8	7.4	8.0	8.1	7.9	6.7	6.3	7.0	6.8	375.2		
J.	8.8	5.5	6.7	8.1	4.0	-1.2	-7.6	-13.5	-18.7	-20.0	-17.8	-14.0	-10.2	-5.8	-1.0	2.9	5.3	7.0	10.6	11.8	13.5	9.7	8.1	8.8	375.8		
J.	6.5	6.0	8.7	9.4	9.1	4.8	-1.0	-5.5	-12.8	-19.3	-22.8	-21.5	-17.7	-9.0	-3.9	0.6	5.1	8.2	9.6	9.7	10.8	9.9	7.2	6.9	372.8		
A.	7.2	6.1	7.0	6.6	7.1	3.2	-4.1	-12.4	-17.5	-21.5	-19.0	-12.1	-6.5	-2.0	1.1	2.9	4.2	5.1	6.0	8.1	8.6	8.0	6.1	8.0	364.5		
S.	7.8	5.4	4.2	4.0	3.4	3.9	-0.5	-7.9	-14.5	-21.1	-23.0	-16.4	-7.8	-3.8	-0.3	-0.3	2.5	5.5	5.5	12.0	9.6	11.0	11.6	9.0	362.5		
O.	6.3	2.2	5.5	6.2	8.9	9.4	6.3	-3.0	-12.6	-17.9	-18.0	-17.3	-13.1	-9.0	-7.7	-6.0	-1.8	0.7	7.8	10.5	10.0	11.7	11.6	8.3	355.2		
N.	-0.8	-3.4	0.2	0.7	2.1	5.1	3.5	4.7	2.5	0.2	3.4	7.4	-7.2	-7.6	-7.2	-4.1	-3.7	0.9	3.9	5.1	5.1	6.0	3.6	2.4	359.4		
D.	-2.6	-4.1	-2.4	-1.3	1.4	3.1	4.7	5.8	4.9	0.2	2.9	1.2	1.4	-2.1	-2.4	-0.3	1.2	1.5	1.1	1.4	0.5	0.0	-0.1	-3.6	363.2		
S.S.	-1.0	-1.8	-0.7	0.0	2.1	3.9	3.8	3.6	1.4	2.2	-4.3	-4.4	-2.7	-1.6	-2.0	-1.4	-0.8	0.8	2.1	2.6	2.0	1.2	0.3	-0.3	368.5		
Äqu.	6.8	4.7	5.0	5.8	6.5	6.6	3.8	-3.2	-11.6	-18.8	-21.0	-18.0	-12.4	-7.1	-3.2	-1.3	0.9	3.7	7.0	9.5	8.7	9.6	10.0	8.0	364.8		
N.S.	7.2	5.9	7.1	7.8	6.8	2.0	-4.7	-11.0	-16.6	-20.0	-19.8	-15.6	-10.5	-5.0	-0.4	3.0	5.5	7.1	8.6	9.4	9.9	8.5	7.1	7.6	372.1		
W.	1.6	0.2	1.3	2.2	4.2	5.7	4.8	2.2	-2.7	-7.9	-10.1	-9.5	-6.8	-3.8	-2.8	-1.5	-0.3	1.3	3.8	4.7	4.4	3.9	3.4	2.2	366.6		
S.	7.2	5.7	6.3	6.8	6.0	2.7	-2.9	-9.3	-15.1	-19.4	-20.0	-15.8	-10.2	-5.3	-1.0	1.8	4.1	6.4	8.0	9.7	9.4	8.9	8.2	7.9	370.4		
J.	4.4	2.9	3.8	4.5	5.1	4.2	0.9	-3.6	-8.9	-13.7	-13.0	-12.6	-8.6	-4.6	-1.9	0.1	1.9	3.9	5.9	7.2	6.9	6.4	5.8	5.1	368.5		

	0 ^h	1 ^h	2 ^h	3 ^h	4 ^h	5 ^h	6 ^h	7 ^h	8 ^h	9 ^h	10 ^h	11 ^h	12 ^h	13 ^h	14 ^h	15 ^h	16 ^h	17 ^h	18 ^h	19 ^h	20 ^h	21 ^h	22 ^h	23 ^h	24 ^h	T.-M.	
ΔY Ostkomponente																											
J.	2.5	0.5	0.5	-0.8	-0.2	0.8	1.2	1.4	0.6	-1.9	-4.3	-5.0	-5.3	-1.9	-0.3	-1.4	-1.4	-0.4	0.4	1.8	3.2	3.7	3.7	2.9	Y	-1791.9	
F.	3.9	4.4	6.9	3.8	3.9	5.4	6.3	6.2	4.3	-0.6	-6.3	-11.4	-14.4	-13.9	-8.0	-4.3	-3.2	-2.5	0.0	0.9	3.6	5.7	5.6	3.7	786.9		
M.	0.2	-0.1	0.4	0.6	2.1	6.6	14.2	20.3	20.2	10.0	-6.5	-20.6	-25.2	-22.9	-14.0	-3.4	1.5	0.4	2.0	4.9	3.8	2.6	1.3	0.8	781.4		
A.	0.8	2.0	4.0	5.7	9.5	13.7	20.7	24.6	21.0	9.2	-6.5	-21.3	-27.1	-22.3	-13.8	-7.0	-2.8	-1.5	-1.9	-0.5	-1.3	-2.2	-1.4	-1.0	776.1		
M.	1.5	2.0	5.6	11.3	21.4	28.1	29.1	26.4	15.7	0.0	-16.2	-28.1	-30.5	-25.2	-17.8	-12.3	-7.6	-5.1	-4.7	-2.2	0.7	4.4	3.6	0.5	769.2		
J.	6.0	7.8	10.0	15.7	23.9	26.1	26.4	22.0	14.4	1.3	-13.9	-24.9	-27.5	-26.3	-22.5	-14.6	-8.0	-6.6	-6.3	-5.5	-2.3	-0.8	2.2	3.0	764.8		
J.	5.2	7.0	8.2	11.6	16.4	24.9	27.1	26.9	18.7	6.7	-8.4	-21.6	-28.6	-28.6	-22.1	-11.9	-7.1	-5.9	-5.9	-5.4	-4.6	-3.2	0.4	1.4	761.6		
A.	6.3	5.8	7.3	10.7	16.6	22.9	24.7	22.2	12.3	-1.9	-15.8	-28.5	-34.1	-29.8	-20.1	-9.7	-3.0	-0.5	-0.9	1.4	2.5	3.3	3.0	4.7	757.3		
S.	6.3	7.3	7.0	6.8	6.5	12.1	18.2	21.3	15.1	3.2	-11.4	-21.5	-25.5	-22.2	-15.2	-10.9	-8.1	-6.2	-2.1	2.1	2.6	4.4	6.9	3.3	750.7		
O.	4.1	0.1	3.1	0.9	2.5	4.8	10.6	16.0	15.4	5.8	-9.5	-19.3	-21.5	-14.1	-7.2	-2.4	-2.0	-0.8	-0.6	-0.3	1.9	4.7	3.7	5.1	744.9		
N.	5.2	3.3	1.6	-0.3	-0.8	-0.5	-0.2	2.9	2.1	-3.0	-8.7	-9.4	-8.6	-6.9	-4.0	-2.7	-1.5	2.2	3.9	3.6	5.7	6.4	5.3	5.0	740.5		
D.	3.2	3.6	2.0	-0.4	0.0	-0.6	0.6	1.2	1.7	-0.7	-4.9	-8.1	-9.3	-7.5	-4.9	-2.7	-0.8	0.8	2.0	3.2	4.6	6.0	6.4	5.0	736.3		
S.S.	3.7	3.0	2.8	0.6	0.7	1.3	2.0	2.9	2.2	-1.6	-6.0	-8.7	-9.4	-7.6	-4.3	-2.8	-1.7	0.0	1.6	2.4	4.3	5.4	5.2	4.2	763.9		
Äqu.	2.8	2.3	3.6	3.5	5.2	9.3	15.9	20.6	17.9	7.0	-8.5	-20.7	-24.8	-20.4	-12.6	-5.9	-2.8	-2.0	-0.6	1.6	1.8	2.4	2.6	2.0	763.3		
N.S.	4.8	5.6	7.8	12.3	19.6	25.5	26.8	24.4	15.3	1.5	-13.6	-25.8	-30.2	-27.5	-20.6	-12.1	-6.4	-4.5	-4.4	-2.9	-0.9	0.9	2.3	2.4	763.2		
W.	3.2	2.0	2.4	0.6	1.2	2.8	5.4	8.0	7.4	1.6	-6.7	-12.4	-14.0	-11.2	-6.4	-2.8	-1.2	0.0	1.3	2.4	3.8	4.8	4.3	3.8	763.6		
S.	4.4	5.3	7.0	10.3	15.7	21.3	24.4	23.9	16.2	3.1	-12.0	-24.3	-28.9	-25.7	-18.6	-11.1	-6.1	-4.3	-3.6	-1.7	-0.4	1.0	2.4	2.0	763.3		
J.	3.8	3.6	4.7	5.5	8.5	12.0	14.9	16.0	11.8	2.3	-9.4	-18.4	-21.5	-18.5	-12.5	-6.9	-3.7	-2.2	-1.2	0.3	1.7	2.9	3.4	2.9	763.5		

	0 ^h	1 ^h	2 ^h	3 ^h	4 ^h	5 ^h	6 ^h	7 ^h	8 ^h	9 ^h	10 ^h	11 ^h	12 ^h	13 ^h	14 ^h	15 ^h	16 ^h	17 ^h	18 ^h	19 ^h	20 ^h	21 ^h	22 ^h	23 ^h	24 ^h	T.-M.	
ΔZ Vertikalkomponente																											
J.	-0.6	-0.1	0.0	-0.2	-0.9	-1.2	-1.4	-1.7	-1.2	1.0	1.1	0.0	0.0	0.5	0.0	-0.2	0.5	0.8	0.8	0.7	0.8	0.4	0.5	0.0	43	100.2	
F.	0.0	-0.8	-0.7	-0.7	-0.8	-0.8	-1.3	-1.4	-2.0	-1.9	-1.5	-1.8	-1.8	0.1	1.1	1.0	1.4	1.9	2.2	2.0	1.9	1.9	1.6	0.4	101.6		
M.	0.3	0.3	0.2	-0.2	0.0	1.0	3.1	3.1	1.1	-1.7	-6.2	-7.8	-6.2	-3.2	1.3	2.7	1.9	1.1	2.0	2.6	2.2	1.8	1.1	0.5	101.1		
A.	2.8	2.5	2.7	2.7	4.0	4.6	4.1	2.1	-3.9	-10.0	-14.4	-15.1	-11.5	-3.6	0.8	3.3	3.9	3.7	4.4	3.8	3.9	3.5	2.9	3.0	092.9		
M.	1.1	1.3	2.2	4.3	4.7	3.8	1.1	-1.9	-4.8	-9.0	-14.3	-13.6	-8.6	-0.5	3.2	4.0	5.1	5.5	4.2	3.5	3.3	2.2	2.1	1.7	100.0		
J.	1.1	1.7	3.0	4.1	5.1	3.0	1.7	-1.2	-7.2	-11.7	-13.0	-10.5	-8.9	-4.0	1.3	2.8	5.4	6.7	5.8	4.3	3.3	3.6	3.1	1.3	097.1		
A.	0.1	0.4	1.1	2.7	5.0	3.7	2.5	-1.8	-7.7	-10.3	-10.2	-9.7	-8.1	-3.2	1.9	4.7	6.8	6.7	4.3	3.4	2.7	1.9	1.8	0.3	097.1		
J.	0.6	1.4	1.7	3.3	4.1	3.6	3.2	1.6	-3.9	-11.3	-15.7	-15.8	-11.2	-6.3	2.1	7.5	8.0	7.0	5.2	4.7	3.5	2.3	2.6	1.2	099.0		
S.	0.4	1.0	1.7	1.5	2.1	3.8	4.8	2.8	-1.9	-7.1	-9.7	-9.0	-6.6	-3.5	-0.3	2.1	3.2	3.0	3.8	2.7	2.7	1.3	1.2	0.8	107.0		
O.	-2.7	-1.5	-2.1	-1.7	-2.1	-1.3	1.0	1.4	-1.8	-4.2	-5.4	-4.2	-0.4	2.8	6.2	5.4	4.4	4.2	2.5	1.7	0.9	-0.1	-1.5	-2.5	116.8		
N.	-0.4	1.1	1.0	1.1	0.8	0.3	-1.1	-2.8	-4.9	-5.4	-4.3	-3.0	-1.4	1.7	2.4	3.1	3.6	3.1	3.1	2.2	1.3	0.0	-0.3	-0.6	123.5		
D.	0.2	0.2	0.3	0.1	0.1	-0.6	-1.8	-2.4	-2.1	-2.1	-2.1	-2.0	0.4	1.5	2.3	2.1	1.4	1.0	1.0	1.1	1.3	0.7	0.2	0.2	124.5		
S.S.	-0.2	0.1	0.2	0.1	-0.2	-0.6	-1.4	-2.1	-2.6	-2.1	1.7	1.7	-0.7	1.0	1.4	1.5	1.7	1.7	1.8</								

Monatsmittel des täglichen Ganges, dargestellt durch stündliche Werte.

Seddin

Mittlere Ortszeit.

1931

	1 ^h	2 ^h	3 ^h	4 ^h	5 ^h	6 ^h	7 ^h	8 ^h	9 ^h	10 ^h	11 ^h	Mtg.	13 ^h	14 ^h	15 ^h	16 ^h	17 ^h	18 ^h	19 ^h	20 ^h	21 ^h	22 ^h	23 ^h	Mn.	
ΔX Nordkomponente																									
J.	Y	Y	Y	Y	Y	Y	Y	Y	Y	Y	Y	Y	Y	Y	Y	Y	Y	Y	Y	Y	Y	Y	Y	Y	Y
J.	-1.3	-2.8	-0.7	1.2	3.0	5.2	5.3	4.2	0.5	-2.2	-2.8	-2.1	-1.0	1.5	-0.9	-3.2	-3.2	-0.9	0.6	1.6	1.3	-0.4	-1.4	-0.6	
F.	3.3	2.9	2.1	1.0	2.2	4.6	7.8	4.6	-0.8	-5.7	-8.5	-8.2	-6.5	-4.1	-2.1	-3.8	-3.2	-2.2	-1.7	1.8	1.1	7.4	4.7	2.4	
M.	7.7	5.6	4.5	4.8	5.7	7.3	7.2	2.5	-6.9	-15.3	-20.2	-19.6	-17.2	-10.6	-3.8	0.0	0.1	2.9	4.8	8.0	6.9	9.0	9.5	8.2	
A.	10.0	6.2	5.6	6.1	7.4	5.4	2.6	-4.0	-11.3	-19.1	-24.6	-21.7	-15.3	-9.2	-3.3	0.5	2.8	5.9	7.6	9.0	8.8	9.7	10.1	10.5	
M.	6.7	3.9	5.5	7.4	8.3	2.7	-3.0	-8.7	-14.0	-17.1	-18.0	-17.3	-11.8	-7.1	-3.3	0.0	5.9	9.5	9.8	10.2	8.4	8.0	7.5	7.5	
J.	9.8	7.9	8.9	8.3	7.3	2.1	-4.8	-12.1	-20.2	-24.9	-24.2	-19.8	-16.1	-12.8	-4.9	2.2	5.5	10.6	14.1	15.1	15.0	11.8	11.3	9.7	
J.	8.3	8.0	8.6	9.1	8.5	6.1	-0.9	-7.7	-16.1	-23.7	-25.9	-24.9	-18.6	-10.1	-3.1	3.1	5.7	7.2	10.0	12.7	13.2	11.6	10.8	8.9	
A.	9.1	7.7	7.1	6.0	6.5	4.7	-1.5	-11.0	-16.8	-19.1	-18.2	-18.5	-11.5	-4.9	-3.3	1.0	1.4	4.3	6.9	9.9	11.1	10.9	9.8	8.1	
S.	10.1	10.8	9.0	9.3	6.7	5.9	2.4	-6.0	-16.4	-23.1	-23.5	-19.1	-14.1	-8.6	-6.0	-4.6	-1.3	4.3	7.8	9.1	9.2	12.9	13.8	11.4	
O.	11.5	9.3	8.1	8.7	8.9	9.8	9.2	-0.3	-9.7	-16.9	-18.9	-18.5	-16.8	-11.3	-9.1	-5.9	-2.4	-2.1	4.9	6.0	6.0	8.4	12.2	8.5	
N.	4.1	1.1	2.5	4.9	7.4	8.9	8.1	6.4	0.5	-6.5	-11.1	-11.1	-11.1	-10.9	-10.0	-8.7	-6.3	4.2	0.8	2.9	6.1	8.1	6.4	4.2	
D.	-1.0	-0.3	0.1	1.7	3.1	5.8	6.9	6.9	4.5	0.3	-3.2	-5.1	-4.9	-4.5	-6.5	-5.6	-6.2	-5.4	-1.8	2.7	5.0	3.8	2.9	1.3	
S.S.	1.3	0.2	1.0	2.2	3.9	6.1	7.0	5.5	1.2	-3.5	-6.4	-6.6	-5.9	-4.5	-4.9	-5.3	-4.7	-1.1	-0.5	2.2	3.4	4.7	3.2	1.8	
Äqu.	9.8	8.0	6.8	7.2	7.2	7.1	5.4	-2.0	-11.1	-18.6	-21.8	-19.7	-15.8	-9.9	-5.6	-2.5	-0.2	2.8	6.3	8.0	7.7	10.0	11.4	9.6	
N.S.	8.5	6.9	7.5	7.7	7.6	3.9	-2.6	-9.9	-16.8	-21.2	-21.6	-20.1	-14.5	-8.7	-3.6	1.6	4.6	7.9	10.2	12.0	11.9	10.6	9.8	8.6	
W.	4.0	2.6	2.8	3.7	5.0	6.9	7.4	4.0	-2.0	-7.7	-10.8	-10.8	-9.6	-6.6	-5.4	-4.5	-3.5	-0.6	1.3	3.8	4.4	6.0	5.7	4.0	
S.	9.0	7.4	7.4	7.7	7.4	4.5	-0.9	-8.2	-15.8	-21.2	-22.4	-20.2	-14.6	-8.8	-4.0	0.4	3.3	7.0	9.4	11.0	11.0	10.8	10.6	9.4	
J.	6.5	5.0	5.1	5.7	6.2	5.7	3.3	-2.1	-8.9	-14.4	-16.6	-15.5	-12.1	-7.7	-4.7	-2.1	-0.1	3.2	5.3	7.4	7.7	8.4	8.1	6.7	

	1 ^h	2 ^h	3 ^h	4 ^h	5 ^h	6 ^h	7 ^h	8 ^h	9 ^h	10 ^h	11 ^h	Mtg.	13 ^h	14 ^h	15 ^h	16 ^h	17 ^h	18 ^h	19 ^h	20 ^h	21 ^h	22 ^h	23 ^h	Mn.	
ΔY Ostkomponente																									
J.	Y	Y	Y	Y	Y	Y	Y	Y	Y	Y	Y	Y	Y	Y	Y	Y	Y	Y	Y	Y	Y	Y	Y	Y	Y
J.	5.4	4.3	2.4	1.0	-0.4	-1.0	-0.7	-1.3	-3.5	-5.7	-8.3	-11.1	-11.1	-6.7	-3.0	-1.2	-2.7	0.5	2.7	5.9	7.2	8.1	11.7	7.8	
F.	5.4	6.2	6.2	5.0	3.1	2.0	2.3	3.3	3.1	0.5	-6.6	-12.4	-16.9	-17.3	-11.6	-7.6	-4.4	-1.6	0.6	5.0	4.8	11.0	11.8	8.0	
M.	4.6	4.8	6.4	6.3	3.8	5.9	10.4	16.3	17.2	10.0	-4.5	-19.7	-26.1	-26.9	-20.2	-9.9	-3.4	-1.5	0.0	3.2	4.5	7.6	4.7	5.4	
A.	2.5	4.4	7.0	7.2	9.3	14.1	20.0	23.4	21.6	12.4	-2.5	-19.5	-30.1	-30.2	-22.8	-14.7	-7.7	-3.9	-2.1	1.5	2.8	2.4	2.9	2.5	
M.	6.1	4.7	5.0	7.6	13.7	21.1	24.0	22.7	15.9	4.2	-10.9	-24.2	-30.3	-28.1	-21.2	-13.4	-7.8	-3.2	-1.0	1.1	2.7	2.5	4.0	4.8	
J.	5.5	8.0	8.0	12.5	19.0	22.9	27.1	25.3	19.7	8.0	-7.4	-21.1	-28.1	-30.2	-27.1	-21.5	-13.5	-8.5	-4.9	-2.7	-0.7	1.1	4.3	4.9	
J.	4.3	7.0	8.5	11.1	17.0	22.5	25.4	25.0	19.5	9.8	-5.2	-20.0	-29.7	-32.9	-27.0	-18.2	-10.1	-4.6	-4.1	-2.1	0.1	-0.6	2.0	2.4	
A.	5.5	8.4	9.4	9.4	12.5	15.2	18.8	17.9	13.6	4.0	-10.8	-23.8	-29.9	-29.8	-23.1	-11.2	-5.3	-1.4	-0.5	2.0	2.8	4.5	5.0	7.5	
S.	3.7	3.8	6.1	4.1	3.7	8.1	14.4	17.1	13.8	4.0	-9.9	-23.2	-29.3	-26.1	-20.0	-11.3	-4.8	0.0	6.1	8.5	7.3	9.6	8.0	5.6	
O.	2.2	0.3	2.7	-1.5	-4.5	-4.9	1.5	7.6	8.5	0.5	-9.5	-22.6	-22.0	-21.2	-14.1	-5.7	1.9	9.0	11.3	15.5	15.2	13.7	10.9	4.0	
N.	2.4	0.8	-2.0	-2.1	-3.7	-5.3	-4.5	-0.1	1.7	-1.4	-8.5	-13.2	-13.7	-12.6	-5.0	-4.2	-1.4	10.5	8.0	10.9	12.7	14.6	10.6	6.6	
D.	5.1	0.7	-0.1	-2.0	-4.0	-5.4	-3.6	-3.1	-3.5	-6.1	-8.5	-12.2	-10.2	-8.9	-4.4	3.0	-0.5	1.2	4.9	8.1	12.7	14.8	12.3	10.8	
S.S.	4.6	3.0	1.6	0.5	-1.2	-2.4	-1.6	-0.3	-0.6	-3.2	-8.0	-12.7	-13.0	-11.4	-6.0	-2.5	-2.2	2.6	4.0	7.5	9.4	12.1	11.6	8.3	
Äqu.	3.2	3.3	5.6	4.0	3.1	5.8	11.6	16.1	15.3	6.7	6.6	-21.2	-26.9	-26.1	-19.3	-10.4	-3.5	0.9	3.8	7.2	7.4	8.3	6.6	4.4	
N.S.	5.4	7.0	7.7	10.2	15.6	20.4	23.8	22.7	17.2	6.5	-8.6	-22.3	-29.5	-30.2	-24.6	-16.1	-9.2	-4.4	-2.6	-0.4	1.2	1.9	3.8	4.9	
W.	4.2	2.8	2.6	1.1	-1.0	-1.4	0.9	3.8	3.9	-0.4	-7.6	-15.5	-16.7	-15.6	-9.7	-4.3	-1.8	3.0	4.6	8.1	9.5	11.6	10.3	7.1	
S.	4.6	6.0	7.3	8.6	12.5	17.3	21.6	21.9	17.4	7.1	-7.8	-22.0	-29.6	-29.6	-23.5	-15.0	-8.2	-3.6	-1.1	1.4	2.5	3.2	4.4	4.6	
J.	4.4	4.4	5.0	4.9	5.8	7.9	11.3	12.8	10.6	3.4	-7.7	-18.8	-23.1	-22.6	-16.6	-9.7	-5.0	-0.3	1.8	4.7	6.0	7.4	7.4	5.9	

	1 ^h	2 ^h	3 ^h	4 ^h	5 ^h	6 ^h	7 ^h	8 ^h	9 ^h	10 ^h	11 ^h	Mtg.	13 ^h	14 ^h	15 ^h	16 ^h	17 ^h	18 ^h	19 ^h	20 ^h	21 ^h	22 ^h	23 ^h	Mn.	
ΔZ Vertikalkomponente																									
J.	Y	Y	Y	Y	Y	Y	Y	Y	Y	Y	Y	Y	Y	Y	Y	Y	Y	Y	Y	Y	Y	Y	Y	Y	Y
J.	-0.9	-0.9	-1.6	-2.0	-2.2	-2.4	-2.0	-3.0	-2.1	-0.7	-0.2	-0.6	0.5	1.0	1.0	1.6	2.5	2.7	2.7	2.2	1.8	1.3	1.2	0.0	
F.	-1.9	-2.4	-2.4	-2.3	-2.5	-2.5	-3.4	-2.5	-2.3	-3.7	-3.5	-3.2	-2.7	-0.2	2.5	4.1	4.6	5.5	6.5	5.7	5.1	1.8	0.7	-0.3	
M.	-1.4	-2.4	-2.0	-1.5	-1.7	-1.4	0.3	1.9	1.2	-2.5	-6.2	-7.2	-6.0	-3.0	1.4	4.5	5.0	3.9	4.5	4.1	4.1	2.7	0.8	-0.3	
A.	1.3	1.2	1.1	1.3	1.6	2.1	2.7	2.4	-0.7	-6.7	-12.5	-15.5	-13.5	-6.9	-1.2	2.4	5.1	6.0	6.9	6.5	5.9	4.4	3.6	2.5	
M.	1.2	1.3	0.6	0.9	1.1	0.2	-1.4	-2.9	-5.4	-9.5	-14.1	-14.6	-10.7	-3.5	2.8	5.0	7.1	9.3	9.3	7.8	6.6	4.2	2.7	1.8	
J.	-1.6	-1.8	-1.1	0.2	1.1	0.2	0.2	-0.5	-3.6	-8.1	-12.5	-13.1	-10.3	-5.2	0.6	5.3	8.5	10.3	9.9	8.3	5.8	4.4	2.0	0.0	
J.	-1.4	-1.7	-0.9	0.7	2.2	1.2	1.2	0.0	-2.8	-6.1	-9.6	-11.4	-10.9	-5.											

Täglicher Gang an ruhigen Tagen, dargestellt durch stündliche Werte.

Seddin

Mittlere Ortszeit.

1931

	1 ^h	2 ^h	3 ^h	4 ^h	5 ^h	6 ^h	7 ^h	8 ^h	9 ^h	10 ^h	11 ^h	Mtg.	13 ^h	14 ^h	15 ^h	16 ^h	17 ^h	18 ^h	19 ^h	20 ^h	21 ^h	22 ^h	23 ^h	Mn.
ΔX Nordkomponente																								
J.	-2.3	-2.0	-1.1	-0.8	1.5	4.3	4.4	3.3	1.1	-0.8	-2.6	-4.2	-1.1	2.1	1.7	-0.9	-0.8	-0.2	1.0	2.1	1.1	-0.9	-2.0	-2.0
F.	1.7	2.2	0.5	0.6	2.0	2.7	3.1	2.3	-0.5	-6.0	-8.1	-6.4	-3.6	0.3	0.9	0.1	-0.1	0.4	1.7	2.0	2.4	0.7	-0.5	1.5
M.	7.0	6.3	5.1	6.5	7.8	9.2	8.6	4.4	-5.3	-17.7	-24.7	-23.6	-19.7	-10.6	-3.1	1.7	2.7	3.3	6.3	6.8	7.4	7.2	7.9	6.7
A.	6.9	5.4	5.1	5.7	5.8	4.9	3.3	-1.3	-7.8	-13.9	-17.5	-17.0	-13.1	-9.3	-5.0	-2.1	-1.2	3.1	7.2	8.6	7.4	8.1	9.2	8.5
M.	6.6	6.1	5.7	6.9	8.1	3.7	-3.6	-10.8	-16.0	-18.8	-20.2	-16.9	-9.8	-5.1	0.3	4.7	7.0	7.9	8.1	8.1	7.0	6.3	6.9	6.9
J.	9.3	5.9	6.2	8.4	5.6	0.8	-5.4	-11.5	-17.6	-20.2	-18.9	-15.5	-11.8	-7.6	-2.7	1.6	4.4	6.0	9.6	11.2	13.7	10.7	8.2	8.6
J.	6.7	5.7	8.1	9.3	9.9	6.7	1.0	-3.4	-10.2	-17.4	-22.3	-22.4	-19.9	-11.5	-5.7	-1.1	3.7	7.4	9.3	9.5	10.8	10.5	7.7	7.1
A.	7.6	6.1	6.9	6.6	7.6	5.2	-1.2	-9.9	-15.8	-21.1	-20.7	-14.4	-8.4	-3.4	0.2	2.3	3.7	4.7	5.4	7.6	8.6	8.4	6.2	7.7
S.	8.4	6.1	4.4	4.1	3.4	4.5	1.6	-5.3	-12.1	-19.5	-23.7	-19.1	-10.2	-5.2	-1.0	-0.8	1.4	4.9	4.4	11.1	9.9	10.6	11.9	9.7
O.	7.4	2.4	4.7	5.7	8.3	9.8	8.5	0.5	-9.8	-16.8	-18.1	-18.1	-14.6	-10.0	-8.3	-7.0	-3.0	-1.0	6.0	10.1	9.8	11.4	12.2	9.3
N.	0.2	-3.5	-0.6	0.4	1.3	4.8	3.6	4.9	3.3	0.8	-2.1	-6.6	-7.1	7.6	-7.8	-4.8	-4.6	-0.5	3.1	4.9	4.0	6.2	4.3	3.1
D.	-2.6	-4.1	-2.9	-1.9	0.6	2.5	4.2	5.8	5.9	1.2	-2.7	-1.5	-1.3	-2.0	-2.7	-0.9	0.9	1.5	1.2	1.5	0.8	0.1	0.5	-3.1
S.S.	-0.8	-1.8	-1.0	-0.4	1.4	3.6	3.8	4.1	2.4	-1.2	-3.9	-4.7	-3.3	-1.8	-2.0	-1.6	-1.2	0.3	1.8	2.6	2.3	1.5	0.6	-0.1
Äqu.	7.4	5.0	4.8	5.5	6.3	7.1	5.5	-0.4	8.8	-17.0	-21.0	-19.4	-14.4	-8.8	-4.4	-2.0	0.0	2.6	6.0	9.2	8.7	9.3	10.3	8.6
N.S.	7.6	6.0	6.7	7.8	7.8	4.1	-2.3	-8.9	-14.9	-19.4	-20.5	-17.3	-12.5	-6.9	-2.0	1.9	4.7	6.5	8.1	9.1	10.0	9.0	7.2	7.6
W.	1.9	0.2	1.0	1.8	3.6	5.6	5.4	3.5	-0.9	-6.6	-9.7	-10.1	-7.9	-4.6	-3.2	-2.0	-0.8	0.6	3.2	4.6	4.5	4.1	3.7	2.6
S.	7.6	5.9	6.1	6.8	6.7	4.3	-0.7	-7.0	-13.2	-18.5	-20.6	-17.6	-12.2	-7.0	-2.3	0.8	3.2	5.7	7.3	9.4	9.6	9.1	8.4	8.1
J.	4.7	3.0	3.5	4.3	5.2	4.9	2.3	-1.8	-7.1	-12.5	-15.1	-13.8	-10.0	-5.8	-2.8	-0.6	1.2	3.1	5.3	7.0	7.0	6.6	6.0	5.3
ΔY Ostkomponente																								
J.	2.9	0.9	0.7	-0.6	-0.5	0.5	1.1	1.5	1.2	-1.0	-3.5	-5.7	-6.0	-2.9	-0.4	-1.2	-1.6	-0.7	0.0	1.3	2.8	3.6	3.8	3.2
F.	3.8	3.9	6.9	4.4	3.7	4.9	6.1	6.5	5.5	1.4	-4.4	-9.9	-13.9	-15.0	-9.8	-5.2	-3.5	-3.0	-0.7	0.3	2.7	5.3	5.9	4.1
M.	0.3	-0.1	0.3	0.4	1.0	4.4	11.7	19.1	21.9	14.8	-0.8	-17.0	-24.7	-24.9	-17.6	-6.3	0.7	0.3	1.2	4.5	4.2	3.0	1.7	1.0
A.	0.2	1.5	3.3	4.8	8.0	11.7	18.7	24.4	23.7	14.2	-0.9	-17.3	-26.7	-24.7	-16.6	-9.1	-3.8	-1.7	-2.0	-0.7	-0.9	-2.1	-1.7	-1.4
M.	1.2	1.3	3.9	8.4	18.3	26.6	29.3	28.7	20.4	5.8	-11.0	-25.3	-30.9	-27.5	-20.2	-14.2	-8.9	-5.7	-5.2	-3.2	-0.5	3.8	4.3	0.9
J.	5.1	7.0	8.6	13.2	21.9	25.7	27.0	24.2	18.1	6.4	-9.1	-22.3	-27.2	-27.1	-24.6	-17.3	-9.5	-6.9	-6.5	-6.2	-3.1	-1.6	1.5	2.3
J.	4.1	6.4	7.4	10.1	14.0	22.8	26.7	28.3	22.3	11.6	-3.2	-17.8	-27.2	-29.7	-25.1	-14.7	-8.3	-6.1	-6.0	-5.6	-5.0	-4.1	-0.5	0.6
A.	6.1	5.7	6.4	9.0	14.4	21.3	24.7	24.3	16.7	3.2	-10.9	-25.1	-33.7	-32.3	-23.7	-12.9	-4.7	-0.9	-1.2	0.7	2.2	3.1	2.8	4.1
S.	5.5	7.1	7.1	6.8	5.7	10.0	16.5	21.7	18.3	8.0	-6.8	-18.8	-25.3	-24.1	-17.3	-12.3	-9.0	-7.3	-3.6	1.2	2.2	3.6	7.0	3.5
O.	5.0	0.4	2.9	1.0	1.8	3.3	8.5	15.0	17.1	10.3	-4.8	-16.9	-22.3	-16.8	-9.4	-3.5	-2.3	-1.0	-0.6	-0.8	1.0	4.3	3.7	5.0
N.	5.5	4.0	2.2	0.2	-0.7	-0.6	-0.8	2.4	3.1	-1.0	-7.5	-9.4	-9.1	-7.7	-4.8	-3.2	-2.3	1.2	3.6	3.3	5.2	6.5	5.5	5.1
D.	3.5	3.8	2.7	0.0	0.0	-0.7	0.3	1.0	2.0	0.5	-3.6	-7.3	-9.4	-8.3	-5.8	-3.4	-1.5	0.3	1.6	2.8	4.1	5.6	6.5	5.6
S.S.	3.9	3.2	3.1	1.0	0.6	1.0	1.7	2.8	3.0	0.0	-4.8	-8.1	-9.6	-8.5	-5.2	-3.2	-2.2	-0.6	1.1	1.9	3.7	5.2	5.4	4.5
Äqu.	2.8	2.2	3.4	3.2	4.1	7.4	13.8	20.0	20.2	11.8	-3.3	-17.5	-24.8	-22.6	-15.2	-7.8	-3.6	-2.4	-1.2	1.0	1.6	2.2	2.7	2.0
N.S.	4.1	5.1	6.6	10.2	17.2	24.1	26.9	26.4	19.4	6.8	-8.6	-22.6	-29.8	-29.2	-23.4	-14.8	-7.8	-4.9	-4.7	-3.6	-1.6	0.3	2.0	2.0
W.	3.5	2.2	2.6	0.9	0.9	2.0	4.5	7.6	8.5	4.2	-4.1	-11.0	-14.2	-12.6	-8.0	-3.8	-1.8	-0.5	0.8	1.9	3.3	4.7	4.5	4.0
S.	3.7	4.8	6.1	8.7	13.7	19.7	23.8	25.3	19.9	8.2	-7.0	-21.1	-28.5	-27.6	-21.2	-13.4	-7.4	-4.8	-4.1	-2.3	-0.8	0.4	2.2	1.7
J.	3.6	3.5	4.4	4.8	7.3	10.8	14.2	16.4	14.2	6.2	-5.5	-16.1	-21.4	-20.1	-14.6	-8.6	-4.6	-2.6	-1.6	-0.2	1.2	2.6	3.4	2.8
ΔZ Vertikalkomponente																								
J.	-0.6	-0.2	0.0	-0.1	-0.8	-1.1	-1.4	-1.7	-1.7	0.6	1.3	0.2	-0.1	0.5	0.1	-0.3	0.4	0.7	0.8	0.7	0.9	0.5	0.6	0.2
F.	0.2	-0.6	-0.7	-0.7	-0.8	-0.7	-1.2	-1.3	-1.9	-2.0	-1.6	-1.7	-2.1	-0.5	0.9	0.9	1.2	1.8	2.1	2.0	1.9	1.9	1.9	0.7
M.	0.3	0.3	0.3	-0.1	-0.2	0.4	2.7	3.4	2.0	-0.3	-5.0	-7.8	-7.0	-4.6	0.2	2.5	2.2	1.1	1.7	2.6	2.4	2.0	1.3	0.6
A.	2.8	2.6	2.7	2.5	3.6	4.6	4.5	3.5	-1.7	-8.1	-13.4	-15.6	-13.5	-5.9	-0.5	2.7	3.8	3.6	4.4	3.9	4.0	3.7	3.0	3.0
M.	1.2	1.1	1.6	3.8	4.8	4.4	2.1	-0.8	-3.5	-7.3	-13.3	-14.5	-11.0	-2.7	2.4	3.6	4.8	5.6	4.6	3.6	3.5	2.4	2.2	1.9
J.	1.0	1.4	2.5	3.7	5.3	3.6	2.5	0.4	-5.2	-10.6	-13.1	-11.3	-10.0	-5.9	0.0	2.1	4.7	6.6	6.2	4.8	3.5	3.6	3.5	1.7
J.	0.1	0.2	0.7	2.0	4.7	4.2	3.4	0.1	-6.1	-9.8	-10.3	-10.1	-9.2	-5.0	0.4	3.7	6.4	7.1	5.0	3.7	2.9	2.1	2.0	0.6
A.	0.6	1.2	1.3	2.9	4.0	3.8	3.6	2.8	-1.6	-9.1	-14.8	-16.6	-12.9	-8.7	-0.5	6.3	8.1	7.5	5.7	5.0	3.9	2.5	2.7	1.6
S.	0.4	0.8	1.6	1.4	1.7	3.3	4.9	4.0	-0.1	-5.7	-9.3	-9.5	-7.6	-4.6	-1.3	1.4	3.0	2.9	3.8	2.9	2.9	1.6	1.3	1.0
O.	-2.9	-1.6	-2.1	-1.7	-2.1	-1.9	0.4	1.8	-0.8	-3.5	-3.4	-5.0	-1.7	1.6	5.6	5.8	4.6	4.5	2.9	2.0	1.3	0.3	-1.0	-2.3
N.	-0.6	0.8	1.0	1.1	1.0	0.6	-0.5	-2.1	-4.4	-3.5	-4.7	-3.6	-2.2	1.0	2.2	2.9	3.6	3.2	3.3	2.6	1.7	0.3	-0.2	0.5
D.	0.2	0.2	0.3	0.1	0.2	-0.3	-1.5	-2.3	-2.2	-2.1	-2.1	-2.4	-0.3	1.2	2.1	2.2	1.6	1.1	1.0	1.1	1.4	0.9	0.3	0.2
S.S.	-0.2	0.0	0.2	0.1	-0.1	-0.4	-1.2	-1.8	-2.6	-2.2	-1.8	-1.9	-1.2	0.6	1.3	1.4	1.7	1.7	1.8	1.6	1.5	0.9	0.6	0.2
Äqu.	0.2	0.5	0.6	0.5	0.8	1.6	3.1	3.2	-0.2	-4.4	-8.3	-9.5	-7.4	-3.4	1.0	3.1	3.4	3.0	3.2	2.8	2.6	1.9	1.2	0.6
N.S.	0.7	1.0	1.5	3.1	4.7	4.0	2.9	0.6	-4.1	-9.2	-12.9	-13.1	-10.8	-5.6	0.6	3.9	6.0	6.7	5.4	4.3	3.4	2.6	2.6	1.4
W.	-0.6	-0.2	-0.2	-0.2	-0.4	-0.5	-0.2	-0.4	-1.5	-2.1	-2.9	-3.4	-2.2	-0.1	1.8	2.3	2.3	2.1	2.0	1.8	1.6	1.0	0.5	-0.2
S.	1.0	1.2	1.7	2.7	4.0	4.0	3.5	1.7	-3.0	-8.4	-12.4	-12.9	-10.7	-5.5	0.1	3.3	5.1	5.6	5.0	4.0	3.4	2.6	2.4	1.6
J.	0.2	0.5	0.8	1.2	1.8	1.7	1.6	0.6	-2.3	-5.3	-7.6	-8.2	-6.5	-2.8	1.0	2.8	3.7	3.8	3.5	2.9	2.5	1.8	1.5	0.7

Der Wert unter Mn. gilt sowohl für 0^h wie für 24^h.

Monatmittel des täglichen Ganges, dargestellt durch stündliche Werte.

Seddin

Mittlere Ortszeit.

1931

	1 ^h	2 ^h	3 ^h	4 ^h	5 ^h	6 ^h	7 ^h	8 ^h	9 ^h	10 ^h	11 ^h	Mtg.	13 ^h	14 ^h	15 ^h	16 ^h	17 ^h	18 ^h	19 ^h	20 ^h	21 ^h	22 ^h	23 ^h	Mn.	
ΔH Horizontalintensität																									
J.	Y	Y	Y	Y	Y	Y	Y	Y	Y	Y	Y	Y	Y	Y	Y	Y	Y	Y	Y	Y	Y	Y	Y	Y	Y
J.	-1.8	-3.2	-0.9	1.1	3.0	5.3	5.4	4.3	0.8	-1.7	-2.0	-1.0	0.1	2.1	-0.6	-3.1	-2.9	-0.9	0.3	1.0	0.6	-1.2	-2.5	-1.3	-1.3
F.	2.8	2.3	1.5	0.5	1.9	4.4	7.6	4.3	-1.1	-5.7	-7.9	-7.0	-4.9	-2.4	-1.0	-3.1	-2.8	-2.0	-1.8	1.3	0.6	6.3	3.6	1.6	1.6
M.	7.2	5.0	3.8	4.1	5.2	6.6	6.1	0.8	-8.7	-16.3	-19.8	-17.7	-14.7	-8.0	-2.0	0.9	0.3	2.9	4.7	7.6	6.4	8.2	8.9	7.6	7.6
A.	9.8	5.8	4.9	5.4	6.5	4.0	0.7	-6.2	-13.3	-20.2	-24.3	-19.7	-12.3	-6.3	-1.1	1.9	3.5	6.3	7.8	8.9	8.5	9.5	9.7	10.2	10.2
M.	6.1	3.4	5.0	6.7	7.0	0.7	-5.3	-10.9	-15.4	-17.4	-16.9	-14.9	-9.0	-4.4	-1.3	1.3	6.6	9.8	9.9	10.0	8.1	7.8	7.1	7.0	7.0
J.	9.3	7.1	8.1	7.1	5.5	-0.1	-7.4	-14.4	-22.0	-25.6	-23.4	-17.7	-13.3	-9.8	-2.3	4.3	6.8	11.3	14.5	15.3	15.0	11.6	10.8	9.2	9.2
J.	7.9	7.3	7.8	8.0	6.9	3.9	-3.3	-10.1	-17.9	-24.5	-25.3	-22.9	-15.6	-6.8	-0.5	4.8	6.7	7.6	10.4	12.8	13.1	11.6	10.5	8.7	8.7
A.	8.6	6.9	6.2	5.1	5.3	3.2	-3.3	-12.6	-18.0	-19.4	-17.1	-16.1	-8.5	-2.0	-1.1	2.1	1.9	4.4	6.9	9.7	10.7	10.4	9.3	7.4	7.4
S.	9.6	10.3	8.4	8.9	6.3	5.1	1.0	-7.6	-17.6	-23.4	-22.4	-16.8	-11.2	-6.1	-4.1	-3.5	-0.8	4.3	7.2	8.3	8.5	11.9	12.9	10.8	10.8
O.	11.2	9.3	7.8	8.8	9.3	10.3	9.1	-1.0	-10.5	-16.8	-17.0	-16.2	-14.6	-9.2	-7.7	-5.4	-2.6	-3.0	3.8	4.5	4.5	7.1	11.1	8.1	8.1
N.	3.8	0.9	2.6	5.0	7.7	9.3	8.4	6.3	0.2	-6.5	-10.3	-9.6	-9.8	-9.7	-0.6	-8.4	-6.3	3.1	-0.1	1.8	4.8	6.6	5.3	3.5	3.5
D.	-1.5	-0.4	0.1	1.9	3.5	6.3	7.2	7.2	4.8	0.9	-2.4	-3.9	-3.9	-3.6	-6.1	-5.9	-6.2	-5.5	-2.3	1.9	3.8	2.4	1.7	0.3	0.3
S.S.	0.8	-0.1	0.8	2.1	4.0	6.3	7.2	5.5	1.2	-3.2	-5.6	-5.4	-4.6	-3.4	-4.3	-5.1	-4.6	-1.3	-1.0	1.5	2.4	3.5	2.0	1.0	1.0
Äqu.	9.4	7.6	6.2	6.8	6.8	6.5	4.2	-3.5	-12.5	-19.2	-21.1	-17.6	-13.2	-7.4	-3.7	-1.5	0.1	2.6	5.9	7.3	7.0	9.2	10.6	9.2	9.2
N.S.	8.0	6.2	6.8	6.7	6.2	1.9	-4.8	-12.0	-18.3	-21.7	-20.7	-17.9	-11.6	-5.8	-1.3	3.1	5.5	8.3	10.4	12.0	11.7	10.4	9.4	8.1	8.1
W.	3.6	2.3	2.5	3.6	5.1	7.0	7.3	3.6	-2.4	-7.7	-10.0	-9.2	-8.0	-5.1	-4.5	-4.2	-3.4	-0.9	0.8	3.0	3.4	4.9	4.7	3.3	3.3
S.	8.6	6.8	6.7	6.9	6.2	2.8	-2.9	-10.3	-17.4	-21.8	-21.6	-18.0	-11.6	-5.9	-1.7	1.8	4.1	7.3	9.4	10.8	10.6	10.5	10.0	8.9	8.9
J.	6.1	4.6	4.6	5.2	5.7	4.9	2.2	-3.3	-9.9	-14.7	-15.8	-13.6	-9.8	-5.5	-3.1	-1.2	0.4	3.2	5.1	6.9	7.0	7.7	7.4	6.1	6.1

	1 ^h	2 ^h	3 ^h	4 ^h	5 ^h	6 ^h	7 ^h	8 ^h	9 ^h	10 ^h	11 ^h	Mtg.	13 ^h	14 ^h	15 ^h	16 ^h	17 ^h	18 ^h	19 ^h	20 ^h	21 ^h	22 ^h	23 ^h	Mn.	
ΔD (°) Deklination																									
J.	0.99	0.74	0.43	0.20	-0.02	-0.09	-0.04	-0.17	-0.65	-1.10	-1.60	-2.08	-2.06	-1.23	-0.58	-0.28	-0.56	0.07	0.52	1.13	1.36	1.51	2.14	1.43	1.43
F.	1.06	1.21	1.19	0.95	0.61	0.45	0.56	0.69	0.56	0.00	-1.38	-2.44	-3.24	-3.27	-2.18	-1.49	-0.87	-0.33	0.07	0.97	0.91	2.16	2.27	1.53	1.53
M.	1.00	1.00	1.27	1.27	0.81	1.24	2.06	3.06	3.06	1.59	-1.18	-3.99	-5.14	-5.16	-3.80	-1.83	-0.62	-0.21	0.10	0.75	0.98	1.59	1.05	1.16	1.16
A.	0.65	0.93	1.40	1.45	1.86	2.70	3.74	4.26	3.79	1.95	-0.91	-4.00	-5.84	-5.75	-4.28	-2.72	-1.38	-0.61	-0.26	0.45	0.67	0.61	0.73	0.65	0.65
M.	1.25	0.95	1.02	1.54	2.68	3.96	4.39	4.05	2.70	0.48	-2.32	-4.80	-5.34	-3.98	-2.47	-1.34	-0.43	-0.02	0.39	0.65	0.61	0.87	1.02	1.02	1.02
J.	1.19	1.64	1.66	2.46	3.65	4.28	4.93	4.46	3.29	1.04	-1.80	-4.26	-5.49	-5.80	-5.12	-3.94	-2.40	-1.40	-0.65	-0.24	0.13	0.41	1.00	1.08	1.08
J.	0.95	1.45	1.73	2.21	3.29	4.28	4.69	4.50	3.33	1.40	-1.43	-4.15	-5.84	-6.27	-5.06	-3.31	-1.77	-0.73	-0.58	-0.17	0.26	0.09	0.56	0.61	0.61
A.	1.18	1.68	1.87	1.85	2.41	2.89	3.45	3.10	2.20	0.40	-2.32	-4.75	-5.76	-5.63	-4.34	-2.06	-0.98	-0.20	0.03	0.55	0.72	1.01	1.09	1.53	1.53
S.	0.87	0.89	1.30	0.93	0.80	1.62	2.70	3.05	2.25	0.33	-2.27	-4.63	-5.69	-4.98	-3.81	-2.16	-0.91	0.07	1.26	1.75	1.53	2.01	1.73	1.25	1.25
O.	0.62	0.23	0.66	-0.12	-0.66	-0.73	0.46	1.42	1.42	-0.19	-2.09	-4.51	-4.36	-4.12	-2.76	-1.16	0.33	1.65	2.19	2.99	2.93	2.69	2.24	0.90	0.90
N.	0.53	0.18	-0.32	-0.29	-0.55	-0.81	-0.68	0.10	0.33	-0.36	-1.78	-3.00	-2.72	-2.50	-1.11	-0.92	-0.36	2.02	1.52	2.07	2.47	2.86	2.07	1.31	1.31
D.	0.92	0.12	-0.03	-0.34	-0.70	-0.90	-0.55	-0.46	-0.59	-1.14	-1.65	-2.35	-1.98	-1.74	-0.94	0.45	-0.21	0.12	0.86	1.55	2.43	2.80	2.31	2.00	2.00
S.S.	0.88	0.56	0.32	0.13	-0.16	-0.34	-0.18	0.04	-0.09	-0.65	-1.60	-2.47	-2.50	-2.18	-1.20	-0.56	-0.50	0.47	0.74	1.43	1.79	2.33	2.20	1.57	1.57
Äqu.	0.78	0.76	1.16	0.88	0.70	1.21	2.24	2.95	2.63	0.92	-1.61	-4.28	-5.26	-5.00	-3.66	-1.97	-0.64	0.22	0.82	1.48	1.53	1.72	1.44	0.99	0.99
N.S.	1.14	1.43	1.57	2.02	3.01	3.85	4.36	4.03	2.88	0.83	-1.97	-4.49	-5.72	-5.76	-4.62	-2.94	-1.62	-0.69	-0.30	0.13	0.44	0.53	0.88	1.06	1.06
W.	0.85	0.58	0.53	0.28	-0.08	-0.14	0.30	0.77	0.69	-0.20	-1.61	-3.06	-3.25	-3.00	-1.90	-0.87	-0.38	0.55	0.88	1.58	1.85	2.27	2.01	1.39	1.39
S.	1.02	1.26	1.50	1.74	2.45	3.29	3.98	3.70	2.93	0.93	-1.84	-4.43	-5.74	-5.63	-4.43	-2.78	-1.46	-0.55	-0.04	0.46	0.66	0.79	1.00	1.02	1.02
J.	0.93	0.92	1.02	1.01	1.18	1.57	2.14	2.34	1.81	0.37	-1.73	-3.75	-4.49	-4.32	-3.16	-1.82	-0.92	0.00	0.42	1.02	1.25	1.53	1.50	1.21	1.21

	1 ^h	2 ^h	3 ^h	4 ^h	5 ^h	6 ^h	7 ^h	8 ^h	9 ^h	10 ^h	11 ^h	Mtg.	13 ^h	14 ^h	15 ^h	16 ^h	17 ^h	18 ^h	19 ^h	20 ^h	21 ^h	22 ^h	23 ^h	Mn.	
ΔI (°) Inklination																									
J.	0.10	0.18	0.01	-0.13	-0.27	-0.43	-0.43	-0.38	-0.11	0.10	0.12	0.05	0.01	-0.11	0.07	0.25	0.27	0.14	0.06	0.00	0.01	0.12	0.21	0.09	0.09
F.	-0.24	-0.22	-0.17	-0.10	-0.20	-0.37	-0.61	-0.37	0.01	0.27	0.43	0.37	0.25	0.15	0.14	0.32	0.32	0.29	0.32	0.07	0.10	0.37	-0.22	-0.12	-0.12
M.	-0.54	-0.41	-0.32	-0.33	-0.41	-0.50	-0.41	-0.01	0.62	1.02	1.15	0.98	0.81	0.45	0.17	0.07	0.12	-0.10	-0.19	-0.40	-0.32	-0.48	-0.59	-0.53	-0.53
A.	-0.62	-0.35	-0.30	-0.33	-0.40	-0.21	0.04	0.48	0.87	1.17	1.28	0.88	0.44	0.23	0.04	-0.06	-0.09	-0.25	-0.33	-0.41	-0.40	-0.51	-0.55	-0.62	-0.62
M.	-0.37	-0.19	-0.32	-0.43	-0.44	-0.04	0.32	0.65	0.89	0.90	0.73	0.59	0.31	0.19	0.17	0.06	-0.24	-0.39	-0.40	-0.45	-0.35	-0.40	-0.40	-0.42	-0.42
J.	-0.67	-0.53	-0.57	-0.47	-0.34	0.01	0.51	0.95	1.38	1.49	1.22	0.82	0.60	0.51	0.17	-0.14	-0.21	-0.47	-0.69	-0.79	-0.84	-0.66	-0.67	-0.62	-0.62
J.	-0.58	-0.54	-0.56	-0.52	-0.4																				

Monatsmittel des täglichen Ganges, dargestellt durch trigonometrische Reihen.

Seddin Alle Tage. Epoche: Mitternacht nach mittlerer Ortszeit. Ruhige Tage. 1931

Monat	a ₁	b ₁	a ₂	b ₂	a ₃	b ₃	a ₄	b ₄	a ₁	b ₁	a ₂	b ₂	a ₃	b ₃	a ₄	b ₄
ΔX Nordkomponente																
Januar	0.19	1.57	-1.78	-0.92	-0.10	-1.79	0.09	1.23	-0.39	0.57	-2.10	-0.66	0.47	-1.32	-0.58	1.07
Februar	4.55	2.12	-1.69	-1.16	1.96	-2.02	-0.56	1.02	2.48	0.08	-2.23	0.42	1.22	-1.13	-0.68	1.52
März	11.43	0.22	-5.66	-0.46	3.18	-2.12	-0.42	1.04	11.92	0.52	-7.83	0.18	4.00	-2.23	-1.10	1.28
April	13.41	-2.02	-5.78	1.36	2.40	-2.26	0.08	1.00	10.98	-0.50	-4.38	-0.24	1.27	-1.64	-0.03	0.98
Mai	11.47	-3.77	-5.37	2.02	-0.28	-1.21	0.83	-0.14	10.92	-4.27	-5.25	4.12	0.36	-1.84	0.61	-0.10
Juni	16.28	-5.72	-6.20	2.32	-0.82	-1.44	0.63	0.28	13.06	-4.87	-3.99	2.52	-0.93	-1.88	0.12	0.00
Juli	15.58	-3.76	-7.26	2.36	1.14	-2.48	-0.64	0.18	13.59	-1.33	-7.29	0.58	0.95	-1.34	-0.58	-0.20
August	12.82	-3.30	-3.82	2.53	-0.13	-2.76	0.13	0.46	11.08	-3.25	-4.29	3.97	0.10	-3.23	0.42	0.78
September	15.38	-1.33	-4.28	1.89	0.56	-3.07	0.65	1.54	12.36	-3.08	-4.04	1.37	1.92	-3.46	-0.27	1.69
Oktober	13.32	2.67	-4.61	0.24	1.66	-2.38	0.64	1.32	12.46	1.01	-4.78	-1.75	1.07	-3.91	0.73	1.27
November	7.44	3.57	-3.81	-3.36	0.92	-1.58	0.63	0.52	3.47	1.62	-1.63	-4.51	0.34	-0.55	-0.03	-0.22
Dezember	2.44	3.56	-1.21	-3.53	0.41	-1.71	-0.92	0.52	-0.82	0.69	-2.04	-2.52	0.92	-0.30	-0.09	0.35
November-Febr.	3.66	2.70	-2.12	-2.24	0.80	-1.78	-0.19	0.82	1.18	0.74	-2.00	-1.82	0.74	-0.82	-0.34	0.68
Mrz.Apr.Sept.Okt.	13.08	-0.12	-5.08	0.76	1.95	-2.46	0.24	1.22	11.93	-0.51	-5.26	-0.11	2.06	-2.81	-0.17	1.30
Mai-August	14.04	-4.14	-5.66	2.31	-0.02	-1.97	0.24	0.20	12.16	-3.43	-5.20	2.80	0.12	-2.07	0.14	0.12
Oktober-März	6.56	2.28	-3.13	-1.53	1.34	-1.93	-0.09	0.94	4.85	0.75	-3.44	-1.47	1.34	-1.57	-0.29	0.88
April-September	14.16	-3.32	-5.45	2.08	0.48	-2.20	0.28	0.55	12.00	-2.88	-4.87	2.05	0.61	-2.23	0.04	0.52
Jahr	10.36	-0.52	-4.29	0.27	0.91	-2.07	0.10	0.75	8.43	-1.07	-4.15	0.29	0.97	-1.90	-0.12	0.70

Monat	a ₁	b ₁	a ₂	b ₂	a ₃	b ₃	a ₄	b ₄	a ₁	b ₁	a ₂	b ₂	a ₃	b ₃	a ₄	b ₄
ΔY Ostkomponente																
Januar	7.76	-1.06	-0.50	-1.65	1.66	-0.58	-0.89	-0.29	2.83	0.30	-0.34	-1.26	1.51	-0.23	-0.81	-0.12
Februar	9.31	3.40	-1.20	-4.40	1.42	-0.98	-1.74	6.05	4.88	-2.10	-3.46	1.69	1.35	-0.97	-1.20	
März	8.29	8.35	-4.72	-8.81	3.56	4.77	-2.40	-2.04	4.12	6.85	-5.51	-10.35	4.37	5.50	-2.49	-1.98
April	7.22	13.10	-6.82	-10.47	3.72	4.38	-1.87	-1.43	3.22	11.53	-7.27	-9.09	4.60	4.77	-2.20	-1.36
Mai	9.46	13.07	-8.88	-8.64	4.92	1.69	-0.47	-0.05	7.58	15.91	-10.33	-9.42	6.00	-0.12	-0.83	-0.92
Juni	9.21	17.90	-7.52	-9.22	3.43	1.91	-0.08	-0.18	8.06	17.78	-8.97	-6.92	3.98	1.45	0.17	-0.67
Juli	8.31	16.80	-8.41	-9.39	3.31	3.41	-0.04	-0.93	5.42	17.34	-8.07	-8.57	4.61	3.88	-0.12	-0.57
August	10.95	11.54	-7.82	-7.48	4.04	3.28	-0.34	-1.13	10.18	13.53	-10.14	-8.88	5.21	2.84	-0.32	-0.71
September	10.48	7.01	-6.66	-9.76	3.67	3.17	-2.13	-0.37	7.71	11.33	-4.54	-8.17	4.43	2.87	-2.82	-0.29
Oktober	10.28	-1.69	-4.89	-9.17	2.25	3.62	-2.96	-0.78	4.70	5.93	-3.62	-6.51	5.40	3.58	-2.63	-1.59
November	8.35	-3.79	-1.82	-5.74	1.38	1.32	-1.59	-0.92	5.66	0.31	-0.82	-2.51	1.59	1.06	-1.21	0.26
Dezember	8.60	-3.98	0.15	-3.25	2.02	-0.70	-1.32	-1.16	5.08	0.78	-0.30	-2.57	1.20	1.19	-0.62	-0.53
November-Febr.	8.50	-1.36	-0.84	-3.76	1.62	0.36	-1.20	-1.03	4.90	1.57	-0.89	-2.45	1.50	0.84	-0.90	-0.40
Mrz.Apr.Sept.Okt.	9.07	6.69	-5.77	-9.55	3.30	3.98	-0.47	-1.16	4.94	8.91	-5.24	-8.53	4.70	4.18	-2.54	-1.30
Mai-August	9.48	14.83	-8.16	-8.68	3.92	2.57	-0.36	-0.57	7.81	16.14	-9.38	-8.45	4.95	2.01	-0.28	-0.72
Oktober-März	8.76	0.20	-2.16	-5.50	2.05	1.64	-1.69	-1.16	4.74	3.18	-2.12	-4.44	2.63	2.08	-1.46	-0.86
April-September	9.27	13.24	-7.68	-9.16	3.85	2.97	-0.90	-0.68	7.03	14.57	-8.22	-8.51	4.80	2.62	-1.02	-0.75
Jahr	9.02	6.72	-4.92	-7.33	2.95	2.31	-1.30	-0.92	5.88	8.87	-5.17	-6.48	3.72	2.34	-1.24	-0.81

Monat	a ₁	b ₁	a ₂	b ₂	a ₃	b ₃	a ₄	b ₄	a ₁	b ₁	a ₂	b ₂	a ₃	b ₃	a ₄	b ₄
ΔZ Vertikalkomponente																
Januar	0.20	-2.41	-0.02	-0.10	-0.17	0.17	0.14	-0.13	0.12	-0.78	0.34	-0.04	-0.49	0.16	0.08	-0.30
Februar	1.17	-4.21	-1.85	-0.51	0.08	0.10	-0.41	-0.01	1.14	-1.50	-0.47	-0.21	0.18	-0.20	0.00	-0.16
März	1.68	-2.52	-2.94	-1.27	1.75	0.18	-1.16	-0.23	2.14	-0.19	-2.40	-1.25	1.96	0.40	-1.28	-0.22
April	6.03	-1.74	-5.31	-1.32	2.50	0.19	-1.22	0.10	6.15	-0.25	-5.28	-0.17	2.96	-0.50	-0.95	0.32
Mai	5.95	-4.59	-5.28	0.57	1.66	-0.12	-1.00	0.27	5.18	-1.38	-5.26	1.08	2.10	-0.89	-0.73	-0.22
Juni	4.76	-4.36	-6.00	-0.72	1.56	0.00	-0.58	-0.14	5.88	-1.48	-5.28	0.64	1.29	-0.83	0.03	0.08
Juli	3.81	-3.19	-5.68	-0.38	1.82	0.43	-0.28	-0.80	4.48	-1.75	-5.31	0.78	1.47	-0.82	0.44	-0.18
August	2.47	-4.98	-5.25	0.08	2.68	-0.24	-1.04	-0.17	5.90	-1.58	-6.81	0.01	3.12	0.08	-0.69	-0.38
September	0.46	-6.30	-3.84	-0.87	2.62	-0.94	-1.11	0.73	3.53	-0.05	-4.01	-0.62	1.86	-0.35	-0.48	0.67
Oktober	-2.21	-8.40	-4.32	0.62	1.95	-0.78	-1.08	0.48	-0.20	-2.82	-2.50	0.55	1.60	-0.42	-1.13	0.40
November	-0.88	-6.34	-2.46	1.18	0.51	-0.50	-0.58	0.48	1.59	-1.95	-2.07	1.42	0.02	-0.52	-0.13	0.28
Dezember	0.31	-5.08	-1.88	0.42	0.27	-0.22	-0.30	0.02	0.80	-1.34	-0.53	0.87	0.11	-0.42	-0.33	-0.11
November-Febr.	0.20	-4.51	-1.55	0.25	0.17	-0.11	-0.29	0.09	0.91	-1.39	-0.68	0.51	-0.04	-0.24	-0.10	-0.07
Mrz.Apr.Sept.Okt.	1.49	-4.74	-4.10	-0.71	2.20	-0.34	-1.14	0.27	2.90	-0.83	-3.55	-0.37	2.10	-0.22	-0.96	0.29
Mai-August	4.25	-4.26	-5.55	-0.11	1.93	0.04	-0.72	-0.21	5.36	-1.55	-5.66	0.63	2.00	-0.62	-0.24	-0.18
Oktober-März	0.04	-4.83	-2.24	0.06	0.73	-0.18	-0.56	0.10	0.93	-1.43	-1.27	0.22	0.56	-0.17	-0.46	-0.02
April-September	3.91	-4.18	-5.23	-0.44	2.14	-0.10	-0.87	0.00	5.19	-1.08	-5.32	0.29	2.13	-0.55	-0.40	0.05
Jahr	1.98	-4.50	-3.74	-0.19	1.44	-0.14	-0.72	0.05	3.06	-1.26	-3.30	0.26	1.35	-0.36	-0.43	0.02

Mondentägiger Gang der Nordkomponente.

Seddin

0^s untere Kulmination des mittleren Mondes.

1931

μ	π	ρ	0 ^s	1 ^s	2 ^s	3 ^s	4 ^s	5 ^s	6 ^s	7 ^s	8 ^s	9 ^s	10 ^s	11 ^s	12 ^s	13 ^s	14 ^s	15 ^s	16 ^s	17 ^s	18 ^s	19 ^s	20 ^s	21 ^s	22 ^s	23 ^s	24 ^s
Januar—Februar																											
0	10	20	46	14	17	-2	17	5	2	5	0	-13	-40	-43	-14	-13	-30	-32	-16	-24	-30	-16	23	30	34	83	46
3	7	17	-3	-1	1	-8	-16	-11	-20	-18	-20	-32	-30	-27	-8	30	61	60	41	19	1	-4	-1	5	-18	-8	-3
6	4	14	-18	0	-7	-28	-25	-15	-9	-9	-24	-42	-18	-8	-7	-3	-1	15	45	45	37	26	20	19	15	1	-18
9	1	11	15	10	12	12	-5	-27	-34	-43	-26	-51	-7	5	33	26	8	6	10	20	17	-1	-12	4	15	16	15
12	22	8	-8	-9	-1	4	4	8	15	1	-10	-8	-28	-56	-6	19	-4	9	3	4	27	27	19	5	-7	-5	-8
15	19	5	-21	-18	-39	-74	-70	-34	-5	12	24	31	51	9	-5	15	30	20	12	14	20	13	13	15	2	-19	-21
18	16	2	-11	-8	-6	-1	1	-4	-12	0	11	8	-13	-1	7	10	35	47	37	-33	-13	-37	-14	4	-16	1	-11
21	13	23	-1	-5	-4	0	-2	11	4	-8	-1	5	8	-4	-13	-14	-20	-20	-21	-14	3	14	16	17	24	14	-1
M			0	-2	-3	-12	-12	-8	-7	-8	-6	-13	-10	-16	-2	9	10	13	14	4	8	3	8	12	6	10	0
März—April																											
0	14	0	-11	0	15	35	35	43	43	20	-1	-27	-57	-66	-61	-48	-34	-27	-5	19	29	26	44	22	5	-7	-11
3	11	21	10	17	4	-6	-25	-15	-3	-12	-1	8	-6	-4	9	16	10	3	-6	-6	-11	-12	-3	7	5	10	10
6	8	18	43	39	25	22	27	51	12	11	-6	-5	21	37	7	4	-24	-41	-38	-49	-50	-36	-22	-4	-23	-2	43
9	5	15	10	15	4	-23	-21	-5	1	-10	1	18	24	-14	-2	-7	1	18	40	46	18	-21	-33	-36	-22	0	10
12	2	12	65	68	48	-1	-30	-38	-49	-44	-36	-10	16	-16	-21	-22	-9	-9	-8	1	-3	-8	10	22	31	45	65
15	23	9	21	49	71	67	43	17	10	-2	-24	-26	-7	-12	-24	-18	-24	-32	-38	-21	-12	-7	-24	-8	-6	1	21
18	20	6	-47	-26	3	23	25	6	-6	-23	-39	-11	10	22	11	-24	-23	1	-7	11	25	54	49	4	-14	-29	-47
21	17	3	-7	-10	-31	-22	-17	-30	-25	-4	15	19	24	34	32	47	23	7	22	-1	-20	-28	-22	4	-8	-1	-7
M			10	19	17	13	5	4	-2	-8	-11	-4	3	-2	-6	-6	-10	-10	-5	0	-3	-4	0	1	-4	2	10
Mai—Juni																											
0	17	4	23	16	-11	-27	-34	-74	-81	-78	-24	58	96	88	57	33	11	-1	-14	-7	12	22	-4	-20	-29	-3	23
3	14	1	59	31	53	22	-10	-40	-24	-54	-41	-63	-71	-45	-36	-7	15	14	12	27	22	7	31	39	31	34	59
6	11	22	16	1	-25	-33	3	-40	-29	-13	4	-5	18	14	18	28	14	-10	-23	2	19	12	5	5	15	13	16
9	8	19	-2	3	13	9	-2	17	13	6	-3	3	1	-4	-8	-1	17	30	43	31	21	-16	-77	-68	-16	-5	-2
12	5	16	25	47	39	26	7	-5	-16	-13	-8	-8	7	-2	-8	-39	-14	-6	-7	-5	-5	4	12	-7	-14	1	25
15	2	13	-2	20	48	46	19	-14	-45	-9	-28	-28	-12	-29	-34	-35	-35	-46	43	27	35	32	10	24	18	0	-2
18	23	10	32	28	27	23	7	-23	-59	-88	-64	-13	-7	-7	-22	-16	11	23	15	38	34	2	17	4	16	33	32
21	20	7	31	35	51	50	31	-14	-44	-60	-52	-33	-16	3	10	-1	-9	-11	-7	4	3	5	-7	1	6	23	31
M			23	23	24	14	3	-24	-36	-39	-27	-11	2	2	-3	-5	1	-1	8	15	18	8	-2	-3	3	12	23
Juli—August																											
0	21	8	-7	8	7	6	2	3	9	7	-20	-31	-14	8	35	43	37	5	-21	-31	-23	-5	4	-6	-12	8	-7
3	18	5	35	16	16	35	14	22	29	-15	-37	-47	-16	52	57	28	-7	-35	-25	-23	-45	-45	-24	-1	6	13	35
6	15	2	17	-4	-35	-43	-27	-9	-24	-14	3	4	33	56	53	43	34	39	23	-7	-24	-41	-60	-42	-1	14	17
9	12	23	-2	19	32	30	25	41	7	-7	-28	-36	-21	-2	3	14	15	16	9	8	1	-24	-33	-22	-24	-22	-2
12	9	20	34	22	19	30	19	-10	7	11	14	45	31	11	9	31	-42	-47	-35	-35	-49	-51	-58	-37	30	49	34
15	6	17	-57	-44	8	29	27	6	19	31	22	7	10	8	-7	-1	35	26	2	1	-5	-20	-27	-5	-25	-44	-57
18	3	14	13	44	50	36	3	-27	-20	2	28	14	-11	7	-13	-21	-24	-16	-22	-57	-11	-18	1	12	24	14	13
21	0	11	-3	0	13	10	-12	-21	-10	-5	7	3	-1	16	19	8	-11	-25	-21	-14	-12	23	25	5	-2	7	-3
M			4	8	14	17	6	1	2	1	-1	-5	1	20	20	18	5	-5	-11	-20	-21	-23	-22	-12	0	5	4
September—Oktober																											
0	0	12	0	10	12	19	0	-27	-41	-48	-38	-46	-40	-12	43	53	30	25	23	7	6	15	7	0	-1	7	0
3	21	9	27	-26	-36	8	45	16	-33	15	44	39	27	1	6	17	-7	-21	-26	-22	-16	-15	-2	24	-36	-31	27
6	18	6	-1	53	38	-3	28	74	46	-60	-59	-84	-55	-45	-11	-5	17	11	-19	5	10	21	30	27	8	-33	-1
9	15	3	-35	7	42	25	24	10	11	13	61	42	-5	-6	16	18	-2	-2	-7	-44	-28	-9	-29	-39	-25	-28	-35
12	12	0	44	0	-21	-27	-36	-52	-53	-14	-40	-42	-8	-29	-37	-9	41	57	19	-7	-3	10	32	45	57	74	44
15	9	21	-21	8	27	16	19	24	29	20	-2	22	5	14	-1	12	3	-9	-3	15	-21	-18	-33	-38	-36	-26	-21
18	6	18	5	4	21	8	-13	-20	7	33	35	27	33	26	-13	-26	8	-54	-33	-67	-64	-4	6	6	22	46	5
21	3	15	40	-2	25	51	53	37	25	0	-41	-59	-72	-46	-30	-36	15	-13	-20	-6	63	13	-11	16	23	-23	40
M			7	7	14	12	15	8	-1	-5	-5	-13	-14	-12	-3	3	13	-1	-8	-15	-7	2	0	5	2	-2	7
November—Dezember																											
0	4	17	17	37	28	41	37	-4	-4	23	-2	-21	-38	-50	-37	-29	-47	-38	27	46	8	-32	1	0	22	13	17
3	1	14	90	86	63	30	-1	6	-38	-36	-23	9	-19	-18	-29	-37	-60	-89	-102	-56	38	75	17	33	41	21	90
6	22	11	-16	34	34	12	29	29	36	43	39	50	77	65	51	11	-25	-68	-90	-51	-19	-20	-36	-62	-76	-54	-16
9	19	8	-11	-23	-73	-93	-57	-22	-45	-28	38	17	33	-10	1	-44	-7	13	5	23	49	70	68	53	35	4	-11
12	16	5	38	42	47	0	-35	-49	-41	-66	-49	-13	-52	-42	-9	-3	5	6	40	34	16	27	32	20	18	32	38
15	13	2	20	33	36	38	26	34	52	53	80	52	-15	-17	-27	-30	-50	-37	-39	-38	-27	-29	-31	-37	-35	-14	20
18	10	23	-34	-32	-19	8	21	26	47	58	61	32	-8	38	24	30	30	-5	-49	-57	-29	-49	-18	-13	-35	-17	-34
21	7	20	-23	-14	-20	-15	20	25	21	20	-3	-33	-11	-7	-12	-12	-2	30	74	5	-10	21	9	-28	-20	-16	-23
M			10	20	12	3	5	6	4	8	18	12	-4	-5	-5	-14	-20	-24	-17	-12	3	8	5	-4	-6	-4	10

μ : Stundenwinkel des mittleren Mondes im mittleren Mittag für den Greenwich Meridian.
Einheit: 0.1 γ .

Mondentägiger Gang der Ostkomponente.

Seddin

os untere Kulmination des mittleren Mondes.

1931

μ	π	ρ	0 ^s	1 ^s	2 ^s	3 ^s	4 ^s	5 ^s	6 ^s	7 ^s	8 ^s	9 ^s	10 ^s	11 ^s	12 ^s	13 ^s	14 ^s	15 ^s	16 ^s	17 ^s	18 ^s	19 ^s	20 ^s	21 ^s	22 ^s	23 ^s	24 ^s
Januar — Februar																											
0	10	20	-64	-109	-36	-10	-25	-23	-9	6	24	37	44	41	18	6	13	33	50	77	47	7	23	-18	-49	-77	-64
3	7	17	-22	-31	0	27	22	18	10	-12	-7	1	6	6	-5	-21	-24	-4	30	29	17	7	-9	-13	-14	-5	-22
6	4	14	-16	-12	5	-3	-18	-12	3	73	54	36	17	20	10	-8	-30	-33	-33	-34	-9	18	5	-14	-15	-15	-16
9	1	11	-10	-10	-14	-21	-29	-38	1	6	68	78	-18	-25	7	31	24	7	-8	-15	-19	-16	-4	2	5	4	-10
12	22	8	40	38	22	6	-2	-10	-14	-18	-7	39	21	-10	-18	-22	17	-30	-9	-36	-35	-18	-5	4	17	30	40
15	19	5	24	5	-11	-16	-34	-27	-16	0	5	4	33	2	-16	3	-47	-15	-2	15	-1	10	18	18	22	30	24
18	16	2	-11	-15	-31	-34	-29	-24	-32	-47	-43	-25	-30	-36	-5	21	18	29	113	105	18	91	-30	-9	0	4	-11
21	13	23	-6	-12	2	21	16	24	28	31	25	0	-17	-4	9	4	5	17	11	-1	-10	-42	-29	-29	-36	-17	-6
M			-8	-18	-8	-4	-12	-12	-4	5	15	21	7	-1	0	2	-3	0	19	18	1	7	-4	-7	-9	-6	-8
März — April																											
0	14	0	22	-33	-50	-44	-47	-6	15	44	73	73	43	13	-21	-31	-17	0	6	-1	-2	3	-3	-15	-18	-15	22
3	11	21	-32	-30	-31	-41	9	-10	4	-8	-11	-15	-1	14	13	7	4	15	32	37	25	20	16	8	-10	-17	-32
6	8	18	-23	-5	-12	-9	5	13	32	24	32	15	-8	-4	-2	-5	-9	6	21	23	10	-13	-27	-33	-18	-12	-23
9	5	15	-8	3	4	1	3	8	6	14	3	-3	0	-11	-10	-14	-21	-20	-4	18	23	27	24	6	-18	-28	-8
12	2	12	-7	0	-9	-11	5	35	62	72	38	24	16	1	-3	-6	-10	-6	-17	-20	0	-12	-32	-41	-46	-31	-7
15	23	9	-18	-19	-27	-1	37	62	61	40	26	8	-6	-7	-3	-21	-27	-17	-16	-25	-7	5	-5	-12	-9	-13	-18
18	20	6	26	-11	-38	-51	-35	-10	-4	-6	-11	-26	-46	-49	-31	-17	10	31	20	20	3	-9	57	62	50	57	26
21	17	3	-13	40	6	8	2	-12	-7	-1	-1	-1	-3	-5	-6	-11	-19	-24	-42	-16	-2	13	38	6	28	18	-13
M			-7	-7	-20	-18	-3	10	21	22	19	9	-1	-6	-8	-12	-11	-2	0	4	6	4	8	-2	-5	-5	-7
Mai — Juni																											
0	17	4	27	-4	11	-6	-16	-28	-25	-22	-24	-17	1	24	46	37	13	3	-3	-9	-15	10	-3	-12	-3	11	27
3	14	1	17	26	25	35	102	67	65	55	29	-12	-41	-30	-29	-35	-62	-70	-58	-45	-29	-27	-7	11	-2	17	
6	11	22	-4	11	48	63	40	23	42	-41	-25	-11	11	23	40	28	-6	-29	-43	-44	-22	-4	-6	-18	-14	-4	
9	8	19	-8	4	15	12	8	24	17	11	-10	-28	-27	5	2	12	20	17	28	19	-6	-18	-29	-24	-18	-15	-8
12	5	16	13	13	16	22	27	26	9	-7	-13	-24	-22	-18	-22	-7	-9	-15	-9	-7	7	7	5	2	-7	2	13
15	2	13	-9	0	21	45	61	68	66	48	29	20	2	-21	-17	-17	-18	-21	-20	-4	-16	-39	-76	-77	-38	-9	
18	23	10	17	9	17	33	62	76	74	55	30	4	-16	-22	-27	-45	-54	-40	-34	-27	-31	-41	-21	-13	-5	11	17
21	20	7	-3	-7	7	19	27	35	32	20	-13	-46	-57	-49	-35	-12	5	11	8	-3	2	0	16	-6	39	18	-3
M			6	6	20	28	39	36	35	15	-3	-12	-18	-11	-8	-3	-6	-14	-16	-18	-17	-14	-13	-18	-10	-3	6
Juli — August																											
0	21	8	-26	-26	-55	-50	-7	11	-2	-1	-8	-1	22	30	24	27	20	18	24	18	21	13	-3	-7	-10	-25	-26
3	18	5	-31	3	9	7	41	56	55	23	-27	-37	-48	-29	6	12	3	9	14	8	12	20	12	-35	-38	-40	-31
6	15	2	-22	-14	-8	-27	-8	-12	-11	-2	-8	21	36	61	58	52	29	17	10	9	6	-19	-34	-39	-55	-50	-22
9	12	23	-56	-37	-15	7	10	31	41	38	14	13	-4	0	8	27	30	30	20	1	0	-5	-18	-33	-54	-60	-56
12	9	20	-25	-39	-22	11	10	5	-6	-3	4	48	26	25	6	63	54	22	-21	-32	-32	-31	-19	-18	-14	-15	-25
15	6	17	-19	-24	-18	7	47	69	40	12	13	23	13	-6	-17	-30	29	12	-26	10	-20	-44	-31	-25	-7	-9	-19
18	3	14	-11	-14	0	-14	-25	-5	10	22	25	13	13	-1	-15	4	27	11	3	-9	14	-24	-12	0	-13	-11	
21	0	11	-30	-15	2	17	27	34	25	21	13	1	-1	-7	1	12	16	27	17	-5	-21	-20	-31	-12	-19	-48	-30
M			-28	-21	-13	-5	12	24	19	14	3	10	7	9	9	21	26	18	5	0	-2	-14	-17	-22	-25	-32	-28
September — Oktober																											
0	0	12	-23	-24	16	25	51	54	53	37	-5	-33	-57	-50	-32	-10	29	44	26	37	-2	-37	-58	-48	-19	17	-23
3	21	9	40	30	-2	-50	-36	15	-30	-46	-21	-46	-59	-49	-11	38	55	41	15	-14	-10	-8	45	98	22	-22	40
6	18	6	-24	-38	-31	-26	-2	-38	29	5	22	-17	6	40	90	97	74	42	-3	-38	-45	-52	-56	-34	16	-19	-24
9	15	3	-31	-8	-2	-26	-32	-29	-45	-18	2	59	38	-23	13	30	14	2	6	26	30	31	23	-4	-25	-36	-31
12	12	0	12	16	44	7	-50	-64	-14	55	29	-26	-19	30	23	23	-24	-7	-11	-3	-10	-13	-11	-7	10	14	12
15	9	21	-20	-29	-34	-9	23	15	41	39	-25	-45	-36	-11	-16	-30	26	-9	12	65	80	44	-5	-33	-21	-18	-20
18	6	18	-8	-1	1	1	13	35	47	27	-1	-29	-45	-64	-16	64	82	71	17	-39	-26	-11	-22	-33	-49	-25	-8
21	3	15	-28	-25	-52	-48	-49	-19	-3	-4	-5	-9	5	20	12	32	89	26	-2	38	50	36	5	-7	-8	-56	-28
M			-10	-10	-8	16	-10	-4	10	12	0	-18	-21	-13	8	30	43	26	8	9	8	-1	-10	-8	-9	-18	-10
November — Dezember																											
0	4	17	1	-53	-58	-48	-11	-27	-44	-13	19	10	17	14	11	27	23	37	57	24	11	12	16	-15	-13	-8	1
3	1	14	-30	9	-27	-4	-24	-24	-49	-69	-46	-8	-21	-31	-27	-18	12	78	82	39	49	83	23	22	10	-27	-30
6	22	11	120	38	25	87	36	7	-63	-18	-66	-41	9	-5	0	-15	-21	-29	-38	-65	-52	-28	-29	34	124	120	
9	19	8	-14	-10	-9	-5	-20	-30	-41	-44	5	28	28	38	20	-30	-17	3	8	16	11	15	23	19	6	-9	-14
12	16	5	-22	-22	-25	-56	-82	-94	-52	5	34	56	35	-3	4	4	32	40	34	32	27	14	13	21	9	-8	-22
15	13	2	14	13	16	11	9	14	-15	-35	-3	-34	-65	-73	-74	-14	-24	1	18	42	46	38	33	37	26	14	14
18	10	23	-25	-18	-30	-22	-2	12	6	-19	10	-2	-39	9	-8	21	18	9	4	20	-11	-2	-1	28	28	13	-25
21	7	20	7	3	16	17	10	18	15	-3	-28	-32	-28	-19	36	-6	-75	-53	-1	41	9	-10	30	-43	45	40	7
M			6	-5	-12	-2	-10	-16	-30	-24	-9	-3	-8	-9	-5	-2	-6	12	22	22	10	12	14	5	18	17	6

(μ + π): Stundenwinkel des Perigäums im mittleren Mittag für den Greenwich Meridian.
Einheit: o. i. γ.

Mondentägiger Gang der Vertikalkomponente.

Seddin

0^s untere Kulmination des mittleren Mondes.

1931

μ	π	ρ	0 ^s	1 ^s	2 ^s	3 ^s	4 ^s	5 ^s	6 ^s	7 ^s	8 ^s	9 ^s	10 ^s	11 ^s	12 ^s	13 ^s	14 ^s	15 ^s	16 ^s	17 ^s	18 ^s	19 ^s	20 ^s	21 ^s	22 ^s	23 ^s	24 ^s
Januar—Februar																											
0	10	20	-21	-34	-28	-8	-6	-4	-1	4	12	10	3	0	-3	6	15	19	22	24	23	13	1	-4	-10	-22	-21
3	7	17	-10	-8	-9	0	21	10	7	-1	-7	-4	-3	3	11	10	11	14	5	-5	-5	-4	-7	-10	-8	-9	-10
6	4	14	2	-2	1	6	9	4	6	8	10	7	1	2	-1	0	-9	-17	-14	-1	4	-1	-6	-9	-7	-3	2
9	1	11	-4	-4	-3	-7	-6	0	5	11	10	16	11	13	-5	-4	0	0	-8	-14	-11	-5	-3	4	4	-1	-4
12	22	8	8	11	8	4	1	-4	-9	-3	-1	1	5	15	3	5	5	1	-3	-6	-14	-12	-9	0	3	8	
15	19	5	12	12	8	6	7	8	3	-3	-4	-6	-9	-3	3	1	-5	-10	2	4	-6	-11	-9	-5	1	6	12
18	16	2	17	12	7	1	-2	0	-7	-18	-17	-13	-8	-2	6	10	7	-2	-2	15	11	-12	-16	-9	10	14	17
21	13	23	12	13	10	8	6	0	1	0	-16	-24	-15	-3	1	0	1	4	5	6	1	-7	-7	-6	-2	5	12
M			2	0	-1	1	4	2	1	0	-2	-2	-2	3	2	4	3	1	1	3	0	-5	-7	-6	-2	-1	2
März—April																											
0	14	0	10	19	18	3	-5	-11	-8	3	7	3	1	-2	-1	6	12	13	0	-9	-14	-14	-18	-11	-5	0	10
3	11	21	-7	-3	1	6	-7	-2	2	8	13	14	13	6	-4	-4	1	-1	2	8	4	-5	-8	-10	-13	-10	-7
6	8	18	2	4	5	7	1	-12	-3	-5	5	0	-15	-21	-9	-2	4	3	-1	0	2	-1	-3	7	18	11	2
9	5	15	-1	-6	-13	-12	-11	-13	-10	-11	-20	-16	-1	-4	-3	2	9	15	17	22	29	24	15	1	-1	-1	
12	2	12	-11	-13	-12	-5	4	15	25	22	18	3	-10	-8	-3	11	15	12	8	-5	-10	-15	-19	-16	-10	-5	-11
15	23	9	-4	-14	-22	-11	0	3	-3	-9	-9	-9	-13	-9	-1	3	11	17	14	6	7	10	18	10	5	0	-4
18	20	6	2	-10	-15	-15	-12	-10	-4	-7	-10	2	11	15	23	21	11	17	16	1	-7	27	-5	7	9	2	
21	17	3	-16	-10	-6	-10	-9	1	11	15	18	17	8	-1	-4	-3	2	3	0	3	11	9	3	-8	-11	-12	-16
M			-3	-4	-6	-5	-5	-4	0	2	4	0	-4	-3	-1	4	8	8	7	4	3	1	-4	-2	-1	-1	-3
Mai—Juni																											
0	17	4	2	-10	-9	-9	-15	-8	-6	-22	-40	-40	-24	0	25	39	32	19	15	8	4	2	8	12	16	5	2
3	14	1	5	0	-15	-28	-19	-25	-35	-42	-50	-42	-26	-19	-3	11	22	33	31	27	40	37	24	25	29	20	5
6	11	22	10	22	24	20	3	1	4	22	10	8	9	18	28	26	21	8	-26	-58	-56	-36	-22	-16	-17	-5	10
9	8	19	-20	-14	2	10	5	5	4	8	11	8	13	20	24	14	9	3	-7	-19	-15	-6	-20	-26	-18	-20	
12	5	16	-31	-41	-27	-3	7	0	-12	-15	-11	-7	-2	11	7	22	26	29	27	25	14	5	5	0	-5	-14	-31
15	2	13	-5	-6	-7	6	26	35	11	-14	-11	-16	-16	-3	6	17	27	38	-23	-16	-18	-10	-6	-18	-7	2	-5
18	23	10	11	8	10	16	17	16	18	3	-18	-20	-17	-12	-9	-11	-20	-21	-20	-23	-23	17	14	20	20	14	11
21	20	7	-14	-13	-7	5	11	27	42	48	43	24	4	-6	-9	-5	-9	-13	-20	-25	-19	-17	-11	-9	-13	-16	-14
M			-5	-7	-4	2	5	6	3	-2	-9	-10	-8	0	8	15	14	13	-2	-5	-10	-2	1	-1	0	-2	-5
Juli—August																											
0	21	8	14	29	28	9	6	6	4	-1	-5	-10	-27	-42	-34	-22	-14	7	13	7	3	-1	-4	1	10	12	14
3	18	5	-1	-1	1	-21	3	-3	-4	1	-10	-16	-19	-17	11	29	17	4	3	6	1	9	7	-3	-3	3	-1
6	15	2	4	9	13	13	16	14	16	14	10	8	4	-1	-10	-14	-28	-12	0	5	-4	-7	-16	-15	-2	4	
9	12	23	-33	-15	-4	3	0	-8	-8	-5	-1	10	19	25	21	14	10	7	13	23	23	12	-3	-20	-37	-46	-33
12	9	20	17	29	37	34	19	-3	-17	-18	-13	-14	-13	-15	-20	-38	-25	-13	-6	0	10	8	10	13	1	5	17
15	6	17	-1	5	18	32	38	36	15	-5	-6	3	10	10	15	6	-8	-2	-39	-30	-19	-21	-20	-15	-12	-7	-1
18	3	14	12	17	14	14	24	13	-9	-20	-18	-14	-15	-18	-11	-4	1	0	-3	13	8	-4	-6	-3	-5	2	12
21	0	11	1	3	9	6	3	-6	-21	-22	-9	5	13	7	2	10	17	13	5	-6	-9	-10	-16	-4	6	-2	1
M			2	10	14	11	14	6	-3	-7	-6	-4	-4	-6	-3	-2	-2	-2	-4	2	3	0	-5	-6	-7	-4	2
September—Oktober																											
0	0	12	14	13	11	12	20	24	24	15	7	-1	-6	-4	0	1	-7	-18	-21	-21	-21	-23	-20	-11	-1	8	14
3	21	9	-7	2	10	2	-24	-14	-6	-36	-41	-27	-15	5	21	29	29	15	5	4	1	0	7	7	14	7	-7
6	18	6	12	6	8	17	16	3	0	-62	-32	-16	-30	-8	-2	1	1	9	11	-2	-10	-4	6	24	28	24	12
9	15	3	15	6	-9	-13	-19	-12	-12	-7	-30	-14	40	27	21	29	27	19	22	17	-10	-35	-33	-23	-19	6	15
12	12	0	-2	-7	-13	-18	-14	4	11	-2	5	10	7	24	37	32	6	-11	-9	-8	-9	-17	-16	-8	-2	-1	-2
15	9	21	-10	0	15	23	19	15	10	7	2	-8	-1	1	9	-3	6	10	-16	-31	-16	-4	-2	-8	-7	-10	-10
18	6	18	6	4	3	5	7	1	-10	-24	-33	-37	-35	-26	-6	14	15	25	14	11	-16	18	16	16	16	5	6
21	3	15	0	13	1	-6	-8	-8	-6	-5	-5	4	24	21	22	29	20	16	5	-7	-34	-27	-30	-33	-2	11	0
M			4	5	3	3	0	2	1	-14	-16	-11	-2	5	13	16	12	8	1	-5	-14	-12	-9	-4	3	6	4
November—Dezember																											
0	4	17	-5	-39	-45	-42	-32	-8	-1	2	8	9	13	6	3	18	36	34	18	7	3	7	-3	4	6	2	-5
3	1	14	-17	-27	-24	-5	-15	-12	-4	-16	-19	-16	-2	3	9	3	8	35	55	43	18	4	5	-4	-8	-3	-17
6	22	11	23	2	-8	-7	-18	-35	-48	-21	-17	-14	-13	-7	1	16	15	3	3	0	4	12	20	25	31	35	23
9	19	8	-14	-9	11	24	18	6	11	9	-6	-2	-4	7	3	7	-1	0	-4	-9	-9	-8	-5	-6	-10	-14	-14
12	16	5	-16	-26	-33	-25	-13	-5	0	17	16	14	28	34	22	28	21	10	1	-4	-10	-15	-12	-11	-11	-10	-16
15	13	2	8	11	10	1	-14	-26	-31	-39	-47	-42	-29	-18	-4	13	26	27	28	29	27	25	17	16	9	6	8
18	10	23	5	-1	-1	6	9	11	-2	-16	-16	-8	-2	-8	-2	-2	0	-7	-3	5	1	13	4	2	13	10	5
21	7	20	19	15	13	6	-3	-9	-18	-23	-21	-17	-17	-7	4	12	5	1	-3	10	7	-8	-1	9	12	12	19
M			0	-9	-10	-6	-8	-10	-12	-11	-13	-10	-3	1	4	12	14	13	12	11	5	4	3	4	5	5	0

($\mu + \rho$): Stundenwinkel des aufsteigenden Knotens im mittleren Mittag für den Greenwicher Meridian.
Einheit: 0.1 γ .

Mondentägiger Gang im Jahresmittel.

0^s untere Kulmination des mittleren Mondes.

Seddin

1931

Phase μ	0 ^s	1 ^s	2 ^s	3 ^s	4 ^s	5 ^s	6 ^s	7 ^s	8 ^s	9 ^s	10 ^s	11 ^s	12 ^s	13 ^s	14 ^s	15 ^s	16 ^s	17 ^s	18 ^s	19 ^s	20 ^s	21 ^s	22 ^s	23 ^s	24 ^s	
Nordkomponente																										
● 23, 0, 1	11	14	11	12	10	-9	-12	-12	-14	-13	-16	-12	4	6	-6	-11	-1	2	0	2	12	4	3	17	11	
○ 2, 3, 4	36	20	17	16	1	-4	-15	-20	-13	-14	-19	-7	0	8	2	-11	-18	-10	-2	1	3	18	5	6	36	
☾ 5, 6, 7	7	20	5	-12	6	15	5	-7	-7	-14	13	20	18	13	2	-9	-17	-9	-4	-6	-10	-10	-10	-10	7	
☽ 8, 9, 10	-4	5	5	-7	-6	2	-8	-12	7	-1	4	-5	7	1	5	14	17	14	13	0	-19	-18	-6	-6	-4	
☾ 11, 12, 13	33	28	22	5	-12	-24	-23	-21	-22	-6	-6	-22	-12	-4	-4	2	2	-1	-3	2	8	8	19	33	33	
☽ 14, 15, 16	-10	8	25	20	11	6	10	18	12	10	5	-4	-16	-10	7	-13	-4	0	-2	-5	-15	-8	-14	-17	-10	
☾ 17, 18, 19	-7	2	13	16	7	-7	-7	-3	5	10	1	14	-1	-8	6	-1	-10	-28	-10	-9	7	3	0	8	-7	
☽ 20, 21, 22	6	1	6	12	12	1	-5	-10	-12	-16	-11	-1	1	-1	-1	-5	4	-4	4	8	2	2	4	1	6	
Mittel	9	12	13	8	4	-2	-7	-8	-6	-6	-4	-2	0	1	0	-4	-3	-4	0	-1	-2	0	0	4	9	
Ostkomponente																										
● 23, 0, 1	-10	-42	-29	-22	-9	-3	-2	8	13	12	12	12	8	9	14	22	27	24	10	1	-5	-19	-19	-16	-10	
○ 2, 3, 4	-10	1	-4	-4	19	20	9	-10	-14	-14	-22	-22	-9	-2	2	13	17	7	8	16	10	12	-3	-19	-10	
☾ 5, 6, 7	5	-3	4	14	10	3	5	7	-3	-2	8	20	29	29	13	1	-10	-20	-24	-23	-24	-26	-9	2	5	
☽ 8, 9, 10	-21	-10	-4	-5	-10	-6	-4	1	14	24	3	-3	7	9	8	6	8	11	6	6	3	-6	-17	-24	-21	
☾ 11, 12, 13	2	1	4	-4	-15	-17	-2	17	14	20	10	4	-2	9	10	1	-6	-11	-7	-9	-8	-6	-5	-1	2	
☽ 14, 15, 16	-5	-9	-9	6	24	34	30	17	8	-4	-10	-16	-24	-18	-10	-8	-6	14	16	6	-5	-15	-11	-6	-5	
☾ 17, 18, 19	-2	-8	-14	-14	-3	14	17	5	-2	-11	-27	-17	8	17	18	20	12	-6	1	-5	4	4	8	-2	-2	
☽ 20, 21, 22	-12	-3	-3	6	6	13	15	11	-2	-14	-17	-11	3	3	4	1	-2	9	5	-4	5	-15	8	-8	-12	
Mittel	-7	-9	-7	-3	3	6	8	7	4	1	-5	-5	-1	6	7	7	6	6	1	-1	-4	-9	-6	-8	-7	
Vertikalkomponente																										
● 23, 0, 1	2	-4	-4	-6	-5	0	2	0	-2	-5	-7	-7	-2	8	12	12	8	3	0	-3	-6	-2	3	1	2	
○ 2, 3, 4	-6	-6	-6	-8	-7	-8	-7	-14	-19	-15	-9	-3	8	13	15	17	17	14	10	7	5	1	2	1	-6	
☾ 5, 6, 7	9	7	7	9	4	-4	-4	-7	-2	-1	-7	-3	1	5	3	-4	-8	-10	-8	-6	-2	2	6	10	9	
☽ 8, 9, 10	-10	-7	-3	1	-1	-4	-2	0	-5	0	10	14	9	11	9	7	7	4	-1	-4	-4	-8	-14	-12	-10	
☾ 11, 12, 13	-6	-8	-7	-2	1	1	0	0	2	1	2	10	8	10	8	5	3	0	-3	-8	-7	-5	-4	-4	-6	
☽ 14, 15, 16	0	1	4	10	13	12	1	-10	-12	-13	-10	-4	5	6	10	13	-6	-6	-4	-2	0	-3	-2	0	0	
☾ 17, 18, 19	9	5	3	4	7	5	-3	-13	-18	-17	-12	-9	-1	5	4	1	0	6	-3	6	-2	4	10	9	9	
☽ 20, 21, 22	0	4	3	2	0	1	2	2	2	2	3	2	3	7	6	4	-1	-3	-7	-10	-10	-8	-2	0	0	
Mittel	0	-1	0	1	2	0	-1	-5	-7	-6	-4	0	4	8	8	7	2	1	-2	-2	-3	-2	0	1	0	

Einfluß des Mondes auf den sonnentägigen Gang im Jahresmittel.

Seddin

Weltzeit.

1931

Phase μ	0 ^h	1 ^h	2 ^h	3 ^h	4 ^h	5 ^h	6 ^h	7 ^h	8 ^h	9 ^h	10 ^h	11 ^h	12 ^h	13 ^h	14 ^h	15 ^h	16 ^h	17 ^h	18 ^h	19 ^h	20 ^h	21 ^h	22 ^h	23 ^h	24 ^h	
Nordkomponente																										
● 23, 0, 1	15	12	12	15	-7	-12	-10	-14	-14	-11	-20	-3	12	3	-11	-10	5	1	1	2	16	2	4	19	15	
○ 2, 3, 4	2	-2	-13	-21	-14	-10	-24	-8	-4	7	10	-6	-15	-19	-3	-1	2	4	24	-1	9	42	17	17	2	
☾ 5, 6, 7	-7	-4	-18	11	20	20	17	6	-2	-18	-14	-3	-6	-6	-13	-7	-12	-9	14	23	0	-14	10	16	-7	
☽ 8, 9, 10	5	-8	8	0	3	11	18	14	14	11	-15	-24	-12	-2	-9	-1	9	3	-11	-4	4	-11	-12	10	5	
☾ 11, 12, 13	-4	-5	1	2	-1	-4	-2	9	5	12	28	36	29	27	17	-3	-17	-28	-21	-23	-22	-3	-7	-25	-4	
☽ 14, 15, 16	-5	0	-2	-2	-18	-8	-12	-19	-14	-5	24	26	14	7	4	13	20	8	10	3	-7	-19	-8	-8	-5	
☾ 17, 18, 19	-11	7	4	-5	14	-9	-2	10	17	14	-2	-13	-2	-4	12	8	-4	22	-11	-7	8	-3	-11	-30	-11	
☽ 20, 21, 22	5	0	8	0	4	11	16	4	-3	-8	-12	-12	-19	-4	2	1	-2	0	-7	8	-8	7	8	1	5	
Ostkomponente																										
● 23, 0, 1	-43	-29	-24	-11	-2	-5	6	14	12	11	13	12	4	14	13	29	26	24	5	0	-6	-22	-18	-16	-43	
○ 2, 3, 4	18	21	13	-8	-15	-12	-20	-28	-12	-6	3	1	23	12	3	11	18	6	14	-10	-22	-8	2	-5	18	
☾ 5, 6, 7	8	-3	-3	5	19	26	35	17	5	-6	-16	-24	-25	-22	-26	-26	0	4	6	-6	8	16	8	-5	8	
☽ 8, 9, 10	5	-3	7	10	10	8	7	14	8	7	7	1	-10	-21	-25	-18	-4	-2	-6	-10	-3	-2	3	16	5	
☾ 11, 12, 13	9	11	2	-4	-12	-6	-9	-9	-6	-7	-3	0	4	-1	9	-11	-18	-17	4	22	12	21	8	4	9	
☽ 14, 15, 16	-9	14	17	8	-2	-16	-14	-7	-4	-6	-14	-3	14	31	34	26	12	5	-8	-11	-17	-27	-17	-10	-9	
☾ 17, 18, 19	1	-7	5	2	10	0	-7	-12	-17	-10	7	22	11	0	2	-20	-32	-26	-14	15	17	18	20	10	1	
☽ 20, 21, 22	9	-7	-15	-2	-8	6	2	12	14	14	4	-9	-22	-14	-10	10	-2	5	-2	-2	11	2	-6	5	9	
Vertikalkomponente																										
● 23, 0, 1	-3	-4	-6	-6	-1	3	1	-1	-3	-7	-6	-7	4	12	13	12	6	1	-1	-3	-6	0	3	1	-3	
○ 2, 3, 4	-7	-8	-6	-13	-20	-18	-10	-8	4	12	13	16	17	16	11	8	5	4	-1	2	0	-8	-6	-6	-7	
☾ 5, 6, 7	8	-3	0	-9	-4	0	4	6	-2	-6	-11	-10	-7	-4	0	4	7	11	8	7	7	10	4	-5	-8	
☽ 8, 9, 10	9	15	9	12	9	8	7	7	1	-3	-5	-4	-13	-16	-10	-9	-6	-1	2	-2	-2	-1	0	-6	9	
☾ 11, 12, 13	11	9	5	4	2	-1	-7	-8	-4	-5	-2	-4	-7	-8	-5	0	2	2	0	1	3	1	3	11	11	
☽ 14, 15, 16	-5	-6	-4	-2	2	-4	-2	1	-1	2	1	8	12	14	11	-5	-12	-12	-13	-8	-2	7	6	10	-5	
☾ 17, 18, 19	6	-3	2	10	9	10	6	3	4	6	7	2	-9	-17	-19	-16	-11	-8	1	6	3	0	0	7	6	
☽ 20, 21, 22	-2	0	-1	3	3	2	0	0	1	1	2	0	2	3	0	4	8	4	3	-3	-4	-8	-11	-11	-2	

Für nähere Erläuterungen vergl. Erg. 1922, S. 7 und 23ff.

Aktivitätszahlen S.

Seddin

X = 183000 γ, Y = 19000 γ, Z = 43000 γ.

1930

Tag	XR _x	YR _y	ZR _z	S	XR _x	YR _y	ZR _z	S	XR _x	YR _y	ZR _z	S	XR _x	YR _y	ZR _z	S	XR _x	YR _y	ZR _z	S	XR _x	YR _y	ZR _z	S
	Januar				Februar				März				April				Mai				Juni			
1	141	17	171	329	157	20	161	338	261	21	247	529	145	18	204	367	131	15	235	381	361	25	386	772
2	53	9	96	158	150	21	140	311	273	29	258	560	138	16	108	262	108	14	117	239	346	17	311	674
3	157	22	171	350	211	21	140	372	165	10	118	293	134	15	129	278	108	14	128	250	269	19	343	631
4	309	31	245	585	154	9	64	227	115	10	129	254	103	13	108	224	192	23	224	439	273	14	246	533
5	233	26	268	527	92	10	86	188	77	9	86	172	80	12	108	200	434	33	565	1032	104	14	150	268
6	260	32	301	593	96	9	75	180	73	10	75	158	183	22	441	646	342	25	426	793	188	14	171	373
7	183	19	224	426	134	12	64	210	65	11	75	151	279	36	398	713	372	29	501	902	238	19	364	621
8	118	14	107	239	108	9	86	203	61	9	86	156	355	36	538	929	219	20	352	591	227	20	246	493
9	53	7	75	135	84	10	64	158	46	7	64	117	260	23	280	563	204	19	298	521	196	15	182	393
10	107	8	85	200	100	9	64	173	61	11	97	169	321	25	344	690	157	13	203	373	165	12	171	348
11	31	5	43	79	65	9	64	138	165	18	194	377	283	25	344	652	207	10	149	366	115	13	96	224
12	65	5	85	155	384	46	333	763	392	50	462	904	237	19	269	525	250	19	267	536	353	26	450	829
13	118	9	96	223	296	30	419	745	273	30	344	647	244	19	290	553	215	18	224	457	253	16	225	494
14	84	7	53	144	315	25	398	738	288	23	408	719	183	17	194	394	100	14	160	274	146	13	118	277
15	76	14	75	165	234	23	366	623	192	22	376	590	233	17	258	508	173	11	160	344	146	15	107	268
16	76	11	64	151	307	23	301	631	238	16	172	426	256	20	140	416	273	41	416	730	407	27	300	734
17	118	18	213	349	108	16	215	339	253	24	194	471	157	15	172	344	380	22	309	711	303	18	214	535
18	103	14	107	224	180	29	161	370	284	24	183	491	172	20	172	364	300	20	245	565	315	19	246	580
19	141	18	128	287	134	16	194	344	154	21	161	336	332	34	269	635	207	15	256	478	177	14	150	341
20	149	22	203	374	173	14	150	337	131	10	172	313	344	28	387	759	180	12	160	352	234	13	161	408
21	160	14	117	291	134	8	86	228	169	14	183	366	229	19	344	592	211	18	192	421	215	16	225	456
22	126	14	85	225	77	13	75	165	184	20	301	505	351	32	409	792	276	17	128	421	119	10	75	204
23	84	10	64	158	104	15	97	216	111	16	108	235	275	25	290	590	230	14	139	383	96	12	150	258
24	84	9	96	189	108	20	89	217	315	19	236	570	317	24	247	588	99	14	128	241	92	12	118	222
25	46	9	53	108	269	26	179	474	138	14	161	313	183	12	194	389	176	18	204	398	92	11	96	199
26	38	7	53	98	127	12	226	365	173	17	161	351	206	19	161	386	108	13	139	260	123	11	161	295
27	73	5	43	121	115	12	107	234	196	19	140	355	206	13	161	380	96	13	128	237	211	24	225	460
28	80	8	96	184	215	17	204	436	300	20	183	503	187	12	140	339	96	15	160	271	257	22	289	568
29	145	9	85	239				227	16	215	458	233	26	247	506	146	11	171	328	230	16	246	492	
30	187	16	149	352				165	14	86	265	233	18	236	487	204	23	204	431	207	15	171	393	
31	164	13	96	273				138	14	75	227				445	31	511	987						
Mittel	121.4	13.6	120.9	255.8	165.4	17.3	164.6	347.3	183.3	17.7	185.5	386.5	228.6	21.0	252.7	502.4	214.2	18.5	241.9	474.6	215.3	16.4	213.1	444.8
	Juli				August				September				Oktober				November				Dezember			
1	157	14	140	311	149	13	129	291	211	21	301	533	280	18	140	438	108	9	172	289	124	7	86	217
2	237	16	140	393	99	10	129	238	200	19	150	369	261	22	150	433	205	11	204	420	46	6	43	95
3	210	18	161	389	122	12	118	252	307	36	645	988	323	28	301	652	139	6	97	242	409	42	1014	1465
4	222	13	183	418	103	11	75	189	242	13	226	481	273	16	236	525	224	14	140	378	116	37	270	423
5	229	13	204	446	134	15	193	342	238	20	269	527	165	22	204	391	112	10	86	208	62	8	54	124
6	99	13	108	220	363	35	493	891	257	21	215	493	223	23	129	375	73	6	43	122	96	8	86	190
7	107	15	108	230	443	23	418	884	180	15	151	346	127	16	140	283	73	10	43	126	93	8	76	177
8	92	9	97	198	397	25	364	786	196	14	118	328	230	20	215	465	135	20	64	219	31	4	54	89
9	237	20	172	429	260	16	214	490	223	23	215	461	196	17	108	321	127	11	108	246	73	8	86	167
10	329	16	366	711	244	22	193	459	131	14	172	317	92	16	118	226	93	9	64	166	54	8	54	116
11	237	23	462	722	294	19	193	506	157	13	86	256	104	11	64	179	54	8	43	105	35	3	65	103
12	348	26	151	525	355	21	236	612	150	16	118	284	100	11	64	175	58	5	43	106	89	17	108	214
13	405	26	258	689	172	18	257	447	104	15	86	205	69	10	54	133	104	4	64	172	170	21	162	353
14	157	13	151	321	340	26	203	569	108	18	118	244	273	36	194	503	336	40	376	752	89	13	97	199
15	176	13	64	253	180	17	300	497	104	8	97	209	73	11	64	148	154	17	118	289	62	7	76	145
16	222	21	215	458	157	14	193	364	115	13	97	225	88	7	43	138	81	8	54	143	31	4	32	67
17	168	10	215	393	130	12	118	260	123	15	140	278	319	55	763	1137	100	8	43	151	31	3	43	77
18	118	9	129	256	115	14	107	236	407	58	336	801	165	16	97	278	154	9	97	260	31	3	43	77
19	160	11	108	279	244	20	139	403	204	22	247	473	188	18	86	292	50	5	54	109	96	10	65	171
20	96	11	118	225	141	13	86	240	115	13	64	192	326	19	204	549	46	4	43	93	371	32	227	630
21	76	8	75	159	153	21	139	313	227	13	172	412	169	11	86	266	58	4	54	116	212	27	162	401
22	69	10	140	219	218	19	236	473	73	12	97	182	77	15	86	178	66	4	43	113	170	20	129	319
23	107	13	97	217	237	21	268	526	157	12	97	266	61	9	54	124	124	24	129	277	143	22	151	316
24	202	11	97	310	199	16	214	429	200	14	108	322	42	5	43	90	274	29	312	615	112	14	140	266
25	344	29	312	685	145	16	150	311	138	18	108	264	211	31	129	371	332	42	462	836	96	10	76	182
26	252	16	204	472	164	17	129	310	92	13	64	169	330	31	559	920	162	17	301	480	120	13	86	219</

Aktivitätszahlen S.

X = 18300 γ. Y = 1800 γ. Z = 43100 γ.

Seddin

1931

Tag	XR _x	YR _y	ZR _z	S	XR _x	YR _y	ZR _z	S	XR _x	YR _y	ZR _z	S	XR _x	YR _y	ZR _z	S	XR _x	YR _y	ZR _z	S	XR _x	YR _y	ZR _z	S
	Januar				Februar				März				April				Mai				Juni			
1	100	16	87	203	100	10	43	153	50	8	43	101	132	21	162	315	85	10	108	203	161	17	171	349
2	50	5	33	88	81	12	98	191	96	9	119	224	113	11	97	221	70	12	118	200	255	20	267	542
3	23	2	22	47	89	7	76	172	127	11	130	268	120	14	184	318	66	9	118	193	125	12	128	265
4	35	4	22	61	104	12	43	159	96	7	43	146	124	15	119	258	70	11	140	221	47	12	139	198
5	23	4	11	38	69	9	54	132	77	13	54	144	105	12	108	225	140	12	118	270	86	13	86	185
6	46	3	22	71	35	4	43	82	81	9	54	144	74	13	87	174	128	16	151	295	141	15	182	338
7	19	3	22	55	85	12	54	151	100	10	43	153	89	11	97	197	283	18	280	581	84	14	139	247
8	23	2	22	47	39	10	22	71	100	12	87	199	85	11	141	237	101	12	151	264	129	16	160	305
9	119	20	130	269	35	7	43	85	112	10	109	231	155	12	108	275	50	11	108	169	153	16	43	212
10	142	11	65	218	35	7	22	64	127	9	119	255	163	16	130	309	58	10	118	186	125	14	139	278
11	58	9	65	132	58	6	65	129	81	6	22	109	144	14	119	277	89	19	205	313	153	13	139	395
12	46	7	43	96	42	4	43	89	108	20	130	258	54	10	54	118	159	14	108	281	141	17	192	350
13	50	5	22	77	301	28	304	633	274	28	185	487	43	9	76	128	144	22	162	328	94	14	118	226
14	31	6	22	59	185	18	174	377	120	14	130	264	81	12	119	212	155	16	162	333	86	8	128	222
15	35	9	33	77	151	14	195	360	96	9	54	159	74	11	141	226	221	16	226	463	86	11	139	236
16	165	25	152	342	77	9	76	162	104	10	54	168	97	12	76	185	128	9	129	266	98	11	96	205
17	230	23	206	450	77	9	43	129	81	12	98	191	85	12	76	173	97	10	129	236	94	12	96	202
18	180	17	119	316	81	6	43	130	81	9	43	133	144	16	141	301	85	12	162	259	74	12	86	172
19	88	12	33	133	46	7	43	96	93	12	76	181	128	19	184	331	70	11	97	178	129	12	118	259
20	134	11	109	254	104	8	33	145	96	11	87	194	252	14	97	363	97	17	118	222	98	16	107	221
21	46	7	54	107	73	7	22	102	181	25	163	369	93	12	97	202	70	12	75	157	153	12	118	283
22	54	4	33	91	54	9	54	117	73	14	98	185	89	12	108	209	85	12	75	183	114	10	150	274
23	50	5	54	109	66	12	54	132	81	8	54	143	93	12	108	213	97	12	86	195	90	10	75	175
24	31	4	43	78	77	25	510	612	93	11	76	180	109	11	108	228	66	12	108	196	86	9	86	181
25	146	22	109	277	205	19	293	517	96	15	87	198	97	12	162	271	78	11	162	251	82	10	128	220
26	92	14	76	182	216	21	261	498	135	18	141	294	85	10	97	192	136	8	237	381	204	20	150	374
27	81	12	43	136	185	19	109	313	89	11	98	198	54	8	87	149	81	10	65	156	165	18	160	343
28	111	11	65	187	54	7	43	104	100	8	54	162	62	11	108	181	66	10	97	173	192	16	160	368
29	84	11	98	193				66	7	98	171	58	10	97	165	124	13	162	299	102	11	128	241	
30	73	3	54	130				39	9	87	135	62	11	141	214	62	12	140	214	86	12	118	216	
31	81	12	54	147				77	15	119	211				66	14	151	231						
Mittel	78.9	9.6	62.4	150.9	97.3	11.4	102.2	210.9	101.0	11.9	88.9	201.8	102.1	12.5	114.3	228.9	104.1	12.7	138.0	254.7	121.4	13.4	131.5	266.3
	Juli				August				September				Oktober				November				Dezember			
1	94	13	96	203	102	10	54	166	125	14	118	257	246	17	205	468	172	12	97	281	140	12	108	260
2	133	16	128	277	94	10	118	222	98	12	86	196	293	32	388	713	133	11	97	241	256	24	194	474
3	102	16	128	246	141	13	107	261	110	16	172	298	129	8	194	331	125	21	75	221	217	18	172	407
4	161	15	160	336	110	13	86	209	294	21	290	605	187	24	215	426	183	15	194	392	194	20	172	386
5	122	11	128	261	106	10	139	255	172	13	107	292	230	31	226	487	211	24	172	407	206	17	237	460
6	94	12	96	202	86	12	107	205	267	17	236	520	156	16	140	312	269	26	151	446	124	12	108	244
7	98	12	86	196	133	16	161	310	212	19	172	403	94	9	86	189	230	12	172	414	81	8	65	154
8	63	12	118	193	137	23	182	342	204	23	150	377	90	12	54	156	257	19	291	567	39	9	54	102
9	67	13	75	155	235	15	258	508	122	18	129	269	90	8	75	173	199	15	194	308	74	7	65	146
10	90	11	107	208	106	11	129	246	106	16	129	251	113	9	86	208	164	15	97	276	132	11	86	229
11	110	15	128	253	125	10	161	296	153	9	64	226	113	9	75	197	113	10	75	198	190	19	140	349
12	82	13	96	191	78	11	161	250	118	16	118	252	187	32	323	542	47	5	54	106	202	19	118	339
13	129	14	96	239	94	6	129	229	71	10	86	167	168	18	377	563	74	13	118	205	109	9	86	204
14	184	14	192	390	98	11	129	238	176	16	161	353	113	13	86	212	246	17	108	371	93	9	86	188
15	172	12	107	291	90	11	129	230	180	22	290	492	160	18	108	286	179	25	162	366	210	14	140	364
16	125	13	150	288	137	12	129	278	216	22	279	517	94	8	86	188	187	25	248	460	144	11	108	263
17	110	11	96	217	102	12	118	232	172	20	225	417	179	22	97	298	156	13	172	341	89	11	97	197
18	94	12	118	224	78	11	107	196	118	10	43	171	191	17	129	337	179	18	183	380	39	4	54	97
19	90	11	107	208	172	14	97	283	94	9	86	189	190	17	118	334	191	15	118	324	31	4	43	78
20	82	12	86	180	286	17	182	485	149	18	150	317	160	16	75	251	148	16	86	250	27	4	32	63
21	90	10	86	186	161	12	204	377	149	21	172	342	160	14	75	249	86	7	65	158	43	6	22	71
22	67	9	75	151	55	9	97	161	82	19	86	187	160	18	162	340	47	5	43	95	66	7	43	116
23	223	25	310	558	106	12	139	257	176	13	161	350	149	20	129	289	98	10	65	173	101	14	129	244
24	192	11	139	342	82	14	150	246	141	14	161	316	94	10	86	190	109	7	54	170	43	5	32	80
25	157	14	246	417	220	18	247	485	118	10	86	214	113	6	75	194	90	6	54	150	190	25	108	323
26	172	11	139	322	153	13	107	273	137	8	64	209	101	20	75	196	222	25	280	527	35	4	32	71
27	94	10	86	190	149	16	161	326	114	12	129	255	156	30	237	423	183	16	140	339	31			

Übersicht der Ergebnisse der Beobachtungen in den Jahren 1921 bis 1931 und Gesamtübersicht über Seddin von 1908 bis 1931.

Die Zusammenstellung bringt die Übersicht über Potsdam von 1921 bis 1927 einschließlich, d. h. über die Schlußreihe der Ergebnisse in diesem Observatorium, und für das Observatorium Seddin die Monats- und Jahresmittel der ganzen Beobachtungsreihe von 1908 bis 1931 einschließlich, mit besonderer Berücksichtigung auch der dortigen Schlußreihe von 1921 bis 1931.

Die Registrierungen in Potsdam dauerten vom Jahre 1890 bis 1927 einschließlich also 38 Jahre. Für die erste Dekade 1890 bis 1899 findet man die entsprechende Übersicht in G. Lüdeling „Ergebnisse zehnjähriger magnetischer Beobachtungen in Potsdam“, Abhdl. d. Kgl. Pr. Meteorol. Instituts Bd. 1, Nr. 8 (1901). Es folgte Ad. Schmidt „Ergebnisse der magnetischen Beobachtungen in Potsdam und Seddin in den Jahren 1900—1910“, Ebenda Bd. 5, Nr. 3 (1916). Auf diese, namentlich auch textlich sehr ausführliche Arbeit folgte eine knappere Darstellung der Ergebnisse der nächsten Dekade 1911—1920, ebenfalls durch Ad. Schmidt als Anhang zu den Ergebnissen der Magnetischen Beobachtungen in Potsdam und Seddin im Jahre 1921 auf den S. 23 ff. (1924). An diese letzte Übersicht schließt sich die hier gebrachte unmittelbar an. Auch die Ausgestaltung der Tabellen ist die nämliche wie dort.

Die Registrierungen in Seddin dauerten vom Jahre 1908 bis 1931 einschließlich, also 24 Jahre. Da die früheren Zusammenstellungen die Monats- und Jahresmittel von Seddin noch nicht enthielten, werden sie jetzt in den Tabellen auf S. 39 bis 40 gebracht, und zwar für die östliche Deklination, die Horizontalintensität, die Inklination und die drei astronomisch orientierten Komponenten X, Y, Z.

Damit ist das ganze Material der beiden nun außer Betrieb gestellten Observatorien Potsdam und Seddin in einheitliche Form gebracht und einer durchgehenden Bearbeitung der ganzen Messungsreihe zugänglich gemacht. —

Monats- und Jahresmittel. Die Monatsmittel in Potsdam sind aus geschätzten Mitteln der ganzen einzelnen Registrierbögen abgeleitet, indem eine Gerade auf einer durchsichtigen Platte so über die Kurve gelegt wurde, daß die Summe der Flächen zwischen Kurve und Geraden über der Geraden so groß war wie die Summe der darunter liegenden Flächenstücke (Beschreibung des Verfahrens siehe Ergebnisse für 1926, S. 10, Prüfung 1910 S. 26—29). Die Monatsmittel in Seddin beruhen auf den Ablesungen der Stundenmittelwerte für jeden Tag und Stunde an den Registrierungen der Komponenten X, Y, Z. Die aus langjährigen Erfahrungen stets festgehaltenen lokalen Unterschiede Seddin-Potsdam

$$\Delta X = + 36 \gamma, \quad \Delta Y = - 13 \gamma, \quad \Delta Z = - 15 \gamma$$

sind de facto etwas veränderlich. Wir setzen die zuletzt in den Erg. für 1921 S. 23 gegebene Übersicht fort durch

	1921	1922	1923	1924	1925	1926	1927	Mittel
X	-0.2	+0.2	+0.6	+1.0	+0.8	-0.6	0.0	+0.2 ± 0.2
Y	-0.1	-0.9	-0.5	-1.0	-0.5	-0.4	-0.2	-0.5 ± 0.1
Z	+2.1	+1.9	+2.2	+1.3	+2.0	+1.5	+0.8	+1.7 ± 0.2

Dies sind Zahlen, die sich an die früheren sehr gut anlehnen; man kann also sagen, daß die Variationen beider Orte sich auch die letzten sieben Jahre gut aneinander anschließen, namentlich die Verseuchung durch vagabundierende Streuströme bis 1927 nicht schlechter geworden war als früher.

Tabelle 1, S. 38 gibt die Monats- und Jahresmittel für Potsdam von 1921 bis 1927 und zwar von X, Y, Z, D, H, I und F. Die Zahlen sind algebraisch, also unter Beachtung der Vorzeichen zu addieren, was besonders bei der Ostkomponente und der östlichen Deklination zu beachten ist. Die früher gegebene Westkomponente (-Y) fällt fort, sonst schließt sich Tabelle 1 an Erg. 1921, S. 26 u. 27 an.

Tabelle 2 S. 39/40 gibt die Monats- und Jahresmittel für die ganze Beobachtungsreihe von 1908 bis 1931 für Seddin und zwar von D, H, I, X, Y und Z. Auch hier ist algebraisch zu addieren, jedoch ist die Deklination im vierten Quadranten gezählt.

Um die Seddiner Werte auf Potsdam zurückzuführen, ist an Seddin anzubringen:

in östl. Dekl.	westl. Dekl.	H	I	X	Y	Z	F
+1.30	-1.30	-38.0	+3.00	-36.0	+13.0	+15.0	-2.0

Normalwerte der Komponenten am Monatsanfang (Tabelle 3) S. 41. Unter Normalwerten sind hier Jahresmittel zu verstehen und zwar über einen Zeitraum eines Jahres, dessen Mitte am Anfang des betreffenden Monats steht. Ist α die Länge eines Zeitintervalles, y der Wert des magn. Elements zur Zeit τ , so ist im Augenblick

τ_0 der Normalwert über α gegeben durch $y_0 = \frac{1}{\alpha} \int_{\tau_0 - \frac{1}{2}\alpha}^{\tau_0 + \frac{1}{2}\alpha} y \lambda \tau$ (vgl. Veröfftl. d. Kgl. Pr. Meteorol. Inst. Lfd. Nr. 217,

Abhdl. Bd. III, Nr. 4, S. 17 ff. Berlin 1910). Die Ableitung der Normalwerte für die einzelnen Monate erfordert also die Kenntnis der sechs vorangegangenen und der sechs folgenden einfachen Monatsmittel. Bei Potsdam waren diese auch über 1927 hinaus gegeben, weil sie aus Seddin mittels obiger Differenzen auszurechnen waren; bei Seddin aber mußten die letzten Werte der kommenden Monate extrapoliert werden; die entsprechenden Zahlen sind daher in Tabelle 3 *kursiv* gesetzt worden. Im übrigen schließt sie sich an S. 28 der Erg. 1921 an.

In Fortsetzung der Texttabelle auf S. 24 d. Erg. 1921 bringen wir hier eine Übersicht über die Änderungen der Elemente und Komponenten während der einzelnen Jahre, abgeleitet aus den Normalwerten für die Jahresanfänge.

Änderung der Elemente während jedes einzelnen Jahres

	1921	1922	1923	1924	1925	1926	1927
in X	- 8.7	- 5.8	-5.2	- 5.8	-21.8	- 9.9	-10.0
„ Y	+61.7	+59.4	+63.3	+65.1	+69.6	+65.5	+62.5
„ Z	+ 3.6	+ 1.0	+ 9.2	+19.7	+22.2	+24.3	+12.6
„ D	+11.12	+10.78	+11.51	+11.85	+12.38	+11.87	+11.36
„ H	-16.5	-12.3	-13.7	-13.4	-29.5	-17.2	-16.6
„ I	+ 1.25	+ 0.85	+ 1.17	+ 1.47	+ 2.65	+ 1.86	+ 1.38
„ F	- 3.2	- 3.2	+ 2.3	+12.7	+ 8.7	+15.5	+ 5.0

Jährlicher Gang. Tabelle 4 S. 42. Die Tabelle schließt sich an S. 29 d. Erg. 1921 an und gibt wie diese den jährlichen Gang in einer höheren Stufe der Exaktheit, weil sie aus Abweichungen der beobachteten Monatsmittel (die nur Normalwerte für einen Monat sind) gegen die Normalwerte jedes Monats für das Jahresintervall bestehen. Es werden auch die Zahlen für den südlichen Sommer (S. S.), die Äquinoccien (Aequ.) und den nördlichen Sommer (N. S.) gebracht.

Mittlerer täglicher Gang. Tabelle 5 gibt ihn für alle Tage, anschließend an S. 30 d. Erg. 1921, Tabelle 6 für die seitens De Bilt als ruhig herausgesuchten Tage, als Fortsetzung von S. 31 d. Erg. 1921 und beide Male nur auf Seddin gegründet, weil seit der Inbetriebnahme von Seddin die täglichen Variationen nur nach dessen Registrierungen von ΔX , ΔY , ΔZ in Stundenmittel abgelesen wurden. Die Tabellen enthalten auch nur diese drei Komponenten; über ihre Umrechnung in die Elemente siehe die später angegebenen Formeln. Die fetten Zahlen bedeuten die Maxima, die halbfetten die Minima jeder Horizontalreihe. Die Tageszeiten sind Augenblicke der vollen mittl. Ortszeit Seddin.

Tabelle 7 S. 45 gibt wenigstens für die Jahresdrittel, die Halbjahre und das Jahr den mittleren täglichen Gang der Elemente H, D, I für alle Tage (siehe S. 32 Erg. 1921) als Mittel für den ganzen Zeitraum 1921—1931, und Tabelle 8 S. 45 dasselbe für die ruhigen Tage (siehe S. 32 d. Erg. 1921).

Harmonische Analyse. Tabellen 9 und 10 S. 46 schließen sich an Erg. 1921 S. 33 an und geben die harmonischen Konstituenten für die Jahresabschnitte der Tabellen 7 und 8 in den zwei Formen:

$$\Delta = \sum a_n \cos n\omega t + b_n \sin n\omega t \text{ und}$$

$$\Delta = \sum c_n \sin (n\omega t + \alpha_n),$$

wobei $\omega = 15^\circ$, t in Stunden auszudrücken und die Epoche 0^h Mitternacht mittlerer Ortszeit Seddin. Die Jahresdrittel sind diesmal gekennzeichnet als Mittel November bis Februar = S. S., März bis April und September bis Oktober = Aequ., Mai bis August = N. S.

Abhängigkeit des täglichen Gangs von der Sonnentätigkeit. Unter Sonnentätigkeit versteht man die Quelle der Erzeugung von Sonnenflecken und Protuberanzen. Ein Maß dafür ist die bekannte „Sonnenfleckenrelativzahl r “. Aller Wahrscheinlichkeit nach ist diese Definition zu eng gefaßt, und auch die von solchen Gebilden freie Sonnenoberfläche entwickelt noch eine Tätigkeit, die nur nicht derart lokalisiert ist wie jene der Flecken und Störungsherde. Gerade die in diesen unseren Ergebnissen gebrachten Resultate der Trennung der magnetischen Variationen nach einem Anteil ohne Sonnentätigkeit und mit einer solchen sprechen dafür, daß auch die ersteren nicht immer stets dieselben sind, d. h., daß der tätigkeitslose Anteil Δ' noch variabel ist (siehe die Anmerkungen über diese Erfahrung Erg. 1921, S. 25).

Der tägliche Gang wird nach Ad. Schmidt in der Form

$$\Delta = \Delta' + r \Delta''$$

dargestellt, wobei r der hundertste Teil der amtlichen Sonnenflecken-Relativzahl ist. Tabelle 11 gibt den danach von der Sonnentätigkeit unabhängigen Teil des täglichen Ganges, anschließend an Erg. 1921, S. 34, und Tabelle 12 den von ihr abhängigen, anschließend an Erg. 1921, S. 35. Das Berechnungsverfahren findet man in d. Veröfftl. d. Kgl. Pr. Meteorol. Inst. Lfd. Nr. 289, S. 45, 1916. Die diesmal benutzten Koeffizienten zeigt nachstehende Tabelle:

	Januar	Februar	März	April	Mai	Juni	Juli	August	Septbr.	Oktbr.	Novbr.	Dezbr.
[r]	4.41	4.77	4.37	4.27	4.37	4.61	4.37	3.90	4.25	4.25	4.29	4.91
10. [rr]	29.40	29.39	24.68	24.38	24.47	27.64	25.14	21.34	23.73	22.99	23.24	35.20
A	0.228	0.307	0.306	0.284	0.313	0.302	0.294	0.258	0.295	0.318	0.324	0.241
B	-0.342	-0.498	-0.542	-0.498	-0.559	-0.504	-0.511	-0.472	-0.529	-0.588	-0.599	-0.336
C	0.854	1.149	1.365	1.281	1.406	1.202	1.286	1.332	1.368	1.523	1.535	0.753
A + 1/3 B	0.114	0.141	0.125	0.118	0.127	0.134	0.124	0.101	0.119	0.122	0.124	0.129
B + 1/2 C	-0.057	-0.115	-0.087	-0.071	-0.090	-0.103	-0.082	-0.028	-0.073	-0.080	-0.087	-0.085

Transformationsformeln. Zum Umrechnen der Variationen in den Elementen D H I F in die Komponenten X Y Z und umgekehrt dienen die Formeln:

$$h = H \times 10^5 \text{ arc } I' \quad \Delta D' = h \Delta D'' \quad \Delta D'' = \frac{1}{h} \Delta D'$$

$$f = F \times 10^5 \text{ arc } I' \quad \Delta I' = f \Delta I'' \quad \Delta I'' = \frac{1}{f} \Delta I'$$

$$\begin{aligned} \Delta X &= \Delta H \cos D - \Delta D \sin D & \Delta Y &= \Delta H \sin D + \Delta D \cos D & \Delta Z &= \Delta F \sin I + \Delta I \cos I \\ \Delta H &= \Delta F \cos I - \Delta I \sin I & \Delta H &= \Delta X \cos D + \Delta Y \sin D & \Delta F &= \Delta H \cos I + \Delta Z \sin I \\ \Delta F &= \Delta H \sec I + \Delta I \operatorname{tg} I & \Delta Z &= \Delta H \operatorname{tg} I + \Delta I \sec I \\ \Delta D &= -\Delta X \sin D + \Delta Y \cos D & \Delta I &= -\Delta H \sin I + \Delta I \cos I \end{aligned}$$

In den einzelnen Jahren waren:

	1921	1922	1923	1924	1925	1926	1927	1928	1929	1930	1931
h =	5.41	5.41	5.40	5.40	5.40	5.39	5.39	5.38	5.38	5.37	5.37
f =	13.60	13.61	13.60	13.61	13.61	13.61	13.61	13.61	13.62	13.63	13.64
cos D =	0.992	0.992	0.993	0.993	0.994	0.994	0.994	0.994	0.995	0.995	0.995
sin D =	-0.1276	-0.1242	-0.1210	-0.1178	-0.1144	-0.1106	-0.1077	-0.1045	-0.1013	-0.0984	-0.0956
cos I =	0.398	0.398	0.397	0.397	0.397	0.396	0.396	0.395	0.394	0.394	0.393
sin I =	0.918	0.918	0.918	0.918	0.918	0.918	0.918	0.919	0.919	0.919	0.919
sec I =	2.51	2.52	2.52	2.52	2.52	2.53	2.53	2.53	2.54	2.54	2.54
tang I =	2.31	2.31	2.31	2.31	2.32	2.32	2.32	2.32	2.33	2.33	2.34

Störungstafel. In der Tabelle 13 wird eine Zusammenstellung aller Tage gebracht, denen der Charakter $n = 2$ zugesprochen war. Sie setzt somit die in den Veröfftl. d. Kgl. Pr. Meteorol. Inst. Lfd. Nr. 289, S. 50 gegebene Störungstafel Seddins fort. Hinter das Datum ist die zugehörige Julianische Zahl geschrieben, damit die Tafel für Periodizitätsuntersuchungen leicht verwendbar ist. Da maßgebend war, daß der ganze Tag — Vor- und Nachmittag — den Charakter 2 hatte, so entziehen sich dieser Zusammenstellung alle Störungen, die nur einen Halbtage betrafen oder gar in ihm nur einige Stunden umfaßten. Die Frage, ob eine Störung nach einer bestimmten Periode sich wiederholt, ist also an diesem Material nicht zu entscheiden; dies ist erst durch Einsicht in die Registrierungen selbst festzustellen. Dagegen kann es sehr wohl dienen, die wirksamen Perioden selbst zu finden. Hier sei erwähnt, daß eine solche Untersuchung schon vorliegt und zwar in: L. W. Pollak „Die Perioden und das Periodogramm der internationalen erdmagnetischen Charakterzahlen“ Prager geophysikalische Studien Nr. III. Prag 1930. Danach sind in den magnetischen Variationen die Perioden 9.00, 29.90, 30.10 Tagen reell enthalten. S. 57*ff. findet man außerdem eine Liste aller Störungen von 1906 bis 1926, gültig für die ganze Erde nach $1/10$ Stufen der internationalen Charakterzahl ν geordnet. Aus ihnen kann man entnehmen, daß in dieser Zeit 399 Störungen gewesen sind, von denen 39 als maximale und 146 als Großstörungen anzusprechen sind.

Bemerkungen über den allgemeinen Duktus der erdmagnetischen Variationen. Von den 44 Jahrgängen an erdmagnetischen Variation in Potsdam, Seddin und Niemeck, die bis heute (1933) vorliegen, hat der Verf. 36 persönlich mit verarbeitet. Aus dieser langen Erfahrung heraus ist festzustellen, daß das Geben der täglichen Variationen immer wieder ein anderes gewesen ist. Nicht nur war die Zeitstrecke von einer maximalen Tätigkeit zur nächsten — die sogenannte elfjährige Periode — jedesmal von anderer Länge, so daß man besser von einem Rhythmus statt von einer Periode zu sprechen hätte, sondern es verhielten sich selbst Monate in gleicher Phase dieses

Rhythmus bei jeder Wiederholung anders. Auf Maximaljahre mit wenigen aber großen Störungen folgten im nächsten Rhythmus solche mit vielen aber kleinen Störungen. Überhaupt wiederholten sich die Großstörungen der 90er Jahre in dieser Form nie wieder. Bis um 1902/03 waren die sogenannten Spasms oder Pulsationen und damit auch die langen Reihen der Elementarwellen Eschenhagens eine die meisten Tage treffende Erscheinung, während sie seitdem fast verschwunden sind.

Diese Tatsachen kommen in den statistischen Zahlen sehr abgedämpft oder gar nicht zum Ausdruck und können nur an den Kurven selbst studiert werden, allenfalls noch an Hand der Kopien, die seit 1903 gelegentlich und seit 1910 regelmäßig für die Hauptstörungen den „Ergebnissen“ beigelegt wurden.

Es ist aber aus ihnen der Schluß zu ziehen, daß die erdmagnetischen Variationen ein Vorgang sind, der nur die Neigung zu gewissen statistischen Gesetzmäßigkeiten hat, der aber im übrigen sich nicht wiederholt, sondern nach einem uns willkürlich vorkommenden Verfahren abläuft.

1. Monats- und Jahresmittel der erdmagnetischen Elemente in Potsdam in den Jahren 1921—1927.

Jahr		Januar	Februar	März	April	Mai	Juni	Juli	August	Septbr.	Oktober	Novbr.	Dezbr.	Mittel
X Nordkomponente														
	Γ	Υ	Υ	Υ	Υ	Υ	Υ	Υ	Υ	Υ	Υ	Υ	Υ	Υ
1921	+0.18+	445.6	449.7	447.6	448.2	427.8	442.2	444.3	439.4	437.2	432.8	432.2	434.3	440.1
22	+0.18+	435.3	435.0	431.9	434.2	436.9	438.4	435.5	431.1	427.0	424.3	429.2	431.4	432.5
23	+0.18+	433.2	430.4	425.7	429.8	433.7	431.6	431.4	431.7	428.2	420.4	427.4	425.4	429.1
24	+0.18+	421.8	421.7	420.7	424.9	423.2	423.5	425.6	425.4	418.4	418.1	416.4	421.0	421.7
25	+0.18+	418.7	417.6	419.2	418.2	416.0	416.2	416.3	412.8	399.4	396.5	400.7	397.6	410.8
26	+0.18+	389.0	384.3	386.1	389.1	397.3	400.1	403.6	396.0	381.9	375.6	387.1	383.1	389.4
27	+0.18+	383.5	385.7	381.8	385.1	389.6	396.7	389.7	377.7	379.4	366.7	379.8	377.0	382.7
Y Ostkomponente														
	Γ	Υ	Υ	Υ	Υ	Υ	Υ	Υ	Υ	Υ	Υ	Υ	Υ	Υ
1921	-0.03+	602.3	607.8	611.9	617.6	632.4	629.7	634.4	639.2	644.9	652.3	658.1	662.2	632.7
22	-0.03+	666.7	672.9	678.4	682.4	688.2	692.2	697.1	702.3	709.1	713.2	717.6	721.0	695.1
23	-0.03+	725.4	732.0	735.3	739.5	743.8	748.8	754.4	759.9	766.7	776.2	780.3	785.8	754.0
24	-0.03+	793.6	796.8	800.6	804.0	809.8	816.2	821.7	824.3	832.6	838.2	846.1	850.3	819.5
25	-0.03+	855.2	860.7	863.9	871.3	876.9	883.7	887.3	891.9	902.7	909.0	913.4	917.5	886.1
26	-0.03+	926.8	933.4	939.5	943.0	946.3	950.1	952.8	961.4	973.6	978.0	979.6	985.7	955.9
27	-0.03+	988.7	994.2	1000.8	1005.7	1011.6	1013.9	1019.7	1025.7	1031.6	1039.8	1040.8	1049.7	1018.5
Z Vertikalkomponente														
	Γ	Υ	Υ	Υ	Υ	Υ	Υ	Υ	Υ	Υ	Υ	Υ	Υ	Υ
1921	+0.42+	909.0	910.0	909.5	909.0	906.6	913.6	904.0	911.1	906.4	912.0	920.0	917.9	910.8
22	+0.42+	926.2	918.7	916.4	914.5	918.0	912.9	913.6	916.5	919.0	925.4	920.1	915.1	918.0
23	+0.42+	910.6	911.6	914.4	916.5	914.2	913.3	921.8	917.9	923.8	925.6	931.0	922.8	918.6
24	+0.42+	928.5	924.6	919.9	927.0	921.5	936.2	943.7	942.1	942.5	949.5	944.5	944.2	935.4
25	+0.42+	943.8	942.7	946.8	945.2	945.3	945.7	952.7	951.0	957.7	960.8	963.4	959.0	951.2
26	+0.42+	967.9	967.6	986.8	979.8	980.3	975.9	977.9	985.8	991.1	990.9	985.8	992.6	981.9
27	+0.42+	986.5	994.1	997.3	1004.6	996.0	991.8	995.1	998.5	1008.4	1020.0	1009.3	1017.0	1001.6
D Östliche Deklination														
	Γ	Υ	Υ	Υ	Υ	Υ	Υ	Υ	Υ	Υ	Υ	Υ	Υ	Υ
1921	-8+	35.65	36.73	37.44	38.49	40.72	40.57	41.49	42.24	43.24	44.49	45.56	46.34	41.08
22	-8+	47.19	48.32	49.26	50.06	51.18	51.95	52.79	53.63	54.80	55.48	56.40	57.08	52.34
23	-8+	57.93	59.08	59.57	60.44	61.31	62.18	63.22	64.23	65.41	66.97	67.89	68.85	63.00
24	-7+	10.21	10.79	11.46	12.20	13.24	14.40	15.46	15.93	17.32	18.34	19.76	20.62	14.98
25	-7+	21.49	22.46	23.09	24.44	25.41	26.68	27.33	28.11	29.82	30.92	31.81	32.51	27.01
26	-7+	34.05	35.18	36.34	37.08	37.82	38.58	39.15	40.58	42.55	43.23	43.76	44.81	39.43
27	-7+	45.38	46.43	47.57	48.55	49.72	50.29	51.23	52.09	53.23	54.48	54.94	56.53	50.87
H Horizontalintensität														
	Γ	Υ	Υ	Υ	Υ	Υ	Υ	Υ	Υ	Υ	Υ	Υ	Υ	Υ
1921	0.18+	600.8	604.1	601.6	601.4	579.3	593.9	595.4	589.9	587.0	581.7	580.4	582.0	591.5
22	0.18+	582.4	581.3	577.5	579.3	581.3	582.3	578.8	573.8	568.9	565.7	570.0	571.7	576.1
23	0.18+	573.0	569.4	564.4	567.9	571.3	568.6	567.7	567.3	563.0	554.2	560.6	558.0	565.4
24	0.18+	553.4	553.0	551.6	555.3	553.0	552.4	553.9	553.4	545.5	544.5	541.9	546.0	550.3
25	0.18+	543.1	541.4	542.6	540.8	537.9	537.4	537.1	533.1	518.5	515.0	518.6	515.1	531.7
26	0.18+	505.5	500.1	501.2	503.8	511.5	514.0	517.1	508.6	493.2	486.5	497.8	493.1	502.7
27	0.18+	493.2	494.8	490.2	493.0	496.8	503.6	496.0	483.5	484.5	471.0	483.9	480.2	489.2
I Inklination														
	Γ	Υ	Υ	Υ	Υ	Υ	Υ	Υ	Υ	Υ	Υ	Υ	Υ	Υ
1921	+66+	33.81	33.62	33.78	33.77	35.19	34.42	34.93	34.61	34.67	35.19	35.51	35.34	34.50
22	+66+	35.56	35.41	35.60	35.43	35.39	35.17	35.43	35.85	36.26	36.66	36.21	35.95	35.74
23	+66+	35.74	36.01	36.43	36.25	35.96	36.11	36.42	36.33	36.80	37.44	37.17	37.10	36.48
24	+66+	37.58	37.49	37.45	37.41	37.40	37.88	37.99	37.98	38.52	38.79	38.83	38.54	37.99
25	+66+	38.72	38.80	38.83	38.92	39.12	39.17	39.38	39.60	40.78	41.12	40.95	41.05	39.70
26	+66+	41.96	42.32	42.80	42.42	41.91	41.62	41.46	42.27	43.46	43.91	43.00	43.52	42.56
27	+66+	43.33	43.45	43.84	43.87	43.36	42.78	43.39	44.30	44.55	45.80	44.62	45.09	44.03
F Totalintensität														
	Γ	Υ	Υ	Υ	Υ	Υ	Υ	Υ	Υ	Υ	Υ	Υ	Υ	Υ
1921	0.46+	767.1	769.6	768.0	767.4	756.5	768.7	760.4	764.8	759.3	762.4	769.2	767.9	765.1
22	0.46+	775.6	768.4	764.8	763.7	767.8	763.5	762.8	763.4	763.7	768.2	765.1	761.2	765.7
23	0.46+	757.6	757.0	757.7	761.0	760.1	758.3	765.9	762.0	765.8	763.9	771.4	763.0	762.0
24	0.46+	766.2	762.6	757.7	765.7	759.7	772.9	780.4	778.6	776.0	782.1	776.4	777.7	771.3
25	0.46+	776.2	774.6	778.9	776.7	775.7	775.8	782.0	778.9	779.3	780.7	784.6	778.9	778.5
26	0.46+	783.3	781.0	799.1	793.7	797.2	794.2	797.1	801.1	800.1	797.1	796.9	801.3	795.3
27	0.46+	795.7	803.2	804.4	812.3	805.8	804.6	804.8	802.8	812.3	817.7	813.0	818.6	807.9

2. Monats- und Jahresmittel der erdmagnetischen Elemente in Seddin in den Jahren 1908—1931.

Jahr	Element	Januar	Februar	März	April	Mai	Juni	Juli	August	Septbr.	Oktober	Novbr.	Dezbr.	Mittel
D Östliche Deklination														
1908	+350+	37.62	38.30	39.07	39.28	39.72	40.23	40.63	41.28	42.62	42.92	43.53	43.75	40.75
09	+350+	44.95	45.07	45.60	46.02	47.09	47.34	48.13	48.51	49.50	50.93	51.02	51.74	48.00
10	+350+	52.06	52.48	53.19	53.99	54.60	55.18	55.82	56.66	57.11	58.46	58.97	59.39	55.66
11	+351+	0.37	1.34	1.63	2.29	2.92	3.97	4.58	5.17	5.88	6.58	7.39	7.91	4.17
12	+351+	8.48	9.23	9.90	10.64	11.44	12.18	13.05	13.91	14.66	15.44	16.19	17.18	12.69
13	+351+	17.77	18.42	19.12	20.15	20.78	21.88	22.33	23.17	24.08	25.20	26.04	26.70	22.14
14	+351+	27.47	28.21	29.12	29.92	30.53	31.48	32.26	33.10	34.10	34.59	35.70	36.43	31.91
15	+351+	37.22	37.89	38.46	39.39	40.11	41.20	41.75	42.45	43.03	44.40	45.11	45.77	41.40
16	+351+	46.57	47.28	48.57	48.83	49.72	50.53	51.32	52.10	52.82	53.74	54.89	55.53	50.99
17	+351+	56.04	57.12	57.49	58.22	59.08	59.52	60.21	61.60	61.75	62.86	63.60	64.50	60.22
18	+352+	5.17	5.94	6.42	7.28	8.04	8.64	9.31	10.10	10.98	11.89	12.95	14.20	9.24
19	+352+	14.53	15.49	16.17	16.72	17.53	17.91	18.62	20.00	20.87	21.80	22.14	23.11	18.73
20	+352+	23.82	24.90	26.10	26.98	27.07	28.22	29.04	29.90	31.27	31.88	32.76	33.70	28.80
21	+352+	34.13	35.05	35.87	36.90	39.00	39.15	40.00	40.67	41.77	42.88	44.03	44.72	39.52
22	+352+	45.55	46.63	47.57	48.22	49.40	50.28	51.15	51.95	53.00	53.80	54.68	55.40	50.64
23	+352+	56.23	57.35	57.90	58.73	59.63	60.07	61.68	62.55	63.80	65.27	66.20	67.30	61.43
24	+353+	8.47	9.10	9.70	10.45	11.52	12.72	13.60	14.20	15.58	16.58	17.87	18.75	13.21
25	+353+	19.85	20.74	21.33	22.50	23.74	24.88	25.73	26.43	28.10	29.36	30.15	30.82	25.30
26	+353+	32.24	33.53	34.58	35.36	36.22	36.86	37.64	38.84	40.48	41.46	42.00	43.00	37.69
27	+353+	43.70	44.68	45.83	46.82	48.01	48.38	49.70	50.43	51.52	52.74	53.21	54.68	49.14
28	+353+	55.52	56.22	56.81	58.04	58.95	59.79	61.37	61.55	62.55	63.83	64.81	65.52	60.42
29	+354+	6.45	7.70	8.29	8.52	9.07	9.98	10.96	11.81	12.79	13.88	15.07	15.96	10.87
30	+354+	16.72	17.84	18.38	19.52	20.39	21.11	21.75	22.31	23.30	24.78	25.23	25.80	21.43
31	+354+	26.25	27.09	27.79	28.75	29.69	30.75	31.29	32.36	33.38	34.60	35.30	36.09	31.11
H Horizontalintensität														
	Γ	Υ	Υ	Υ	Υ	Υ	Υ	Υ	Υ	Υ	Υ	Υ	Υ	Υ
1908	0.18+	902.2	899.0	893.0	894.0	896.6	901.1	899.4	890.3	869.4	877.0	876.5	885.3	890.3
09	0.18+	877.8	881.8	878.5	888.7	880.5	890.1	888.5	882.0	868.2	847.7	865.6	864.5	876.1
10	0.18+	870.8	874.6	869.3	866.7	873.7	876.5	875.7	862.8	862.4	851.1	855.2	857.7	866.4
11	0.18+	856.4	853.5	854.8	855.2	857.0	860.6	859.0	854.7	850.3	846.0	848.3	845.2	853.4
12	0.18+	848.8	849.5	847.7	843.2	845.2	844.2	843.4	836.7	833.3	831.9	829.7	830.7	840.4
13	0.18+	829.1	827.4	828.4	821.7	827.6	826.5	824.5	821.8	816.5	813.0	814.7	815.0	822.2
14	0.18+	812.2	811.4	806.9	801.2	805.0	801.9	797.2	793.4	790.2	785.2	784.4	786.7	798.0
15	0.18+	780.2	775.1	772.8	775.8	778.6	765.1	767.8	762.9	757.0	748.5	741.6	750.0	764.6
16	0.18+	749.8	752.2	736.5	743.1	743.8	745.6	738.2	732.0	728.3	723.2	722.5	722.6	736.4
17	0.18+	712.4	718.1	721.0	722.2	726.0	722.3	720.1	697.0	704.9	699.2	697.5	690.7	711.0
18	0.18+	703.6	695.2	693.2	694.0	694.6	695.8	695.9	683.9	676.4	669.8	671.5	666.0	686.7
19	0.18+	668.0	667.7	662.8	669.9	667.9	681.9	675.5	656.2	650.7	643.1	655.2	653.1	662.6
20	0.18+	658.0	652.0	635.8	642.7	651.7	654.0	652.5	646.7	637.1	636.1	634.5	636.8	644.9
21	0.18+	639.0	641.3	640.6	639.0	612.1	630.7	631.9	627.0	623.8	618.6	618.2	619.9	628.7
22	0.18+	620.9	619.8	615.6	616.4	618.8	620.0	615.0	610.8	605.7	603.0	608.0	609.9	613.7
23	0.18+	610.6	607.2	602.0	605.1	609.9	606.2	605.9	605.0	600.9	592.0	598.0	595.2	603.2
24	0.18+	591.3	593.1	591.2	594.3	601.5	590.4	592.5	591.9	583.7	582.0	579.8	583.5	588.8
25	0.18+	582.1	580.5	581.1	579.2	577.8	574.5	574.3	569.6	555.9	551.9	556.0	555.0	569.8
26	0.18+	542.7	537.4	537.1	540.5	540.5	550.7	553.0	546.1	530.1	523.2	534.0	530.9	539.3
27	0.18+	530.1	531.8	527.6	530.2	533.2	540.5	532.8	520.7	521.1	507.5	522.5	518.5	526.4
28	0.18+	523.2	518.9	516.5	516.6	512.3	509.5	492.0	496.5	492.0	484.9	491.9	499.7	504.5
29	0.18+	494.7	481.6	473.6	488.8	492.0	490.3	480.4	480.6	476.3	471.5	468.2	463.3	480.2
30	0.18+	467.2	462.9	461.8	458.8	462.3	459.0	459.8	454.6	447.3	440.6	448.5	451.9	456.2
31	0.18+	458.5	455.2	454.5	457.1	461.5	456.7	454.6	448.8	441.9	430.1	435.8	439.4	449.5
I Inklination														
1908	+66+	15.77	15.87	16.25	16.11	15.77	15.47	15.50	16.03	17.53	17.23	17.20	16.23	16.25
09	+66+	16.98	16.65	16.78	15.69	16.41	15.54	15.45	15.92	17.17	19.05	17.54	17.44	16.72
10	+66+	16.79	16.42	16.71	16.93	16.37	15.80	15.64	16.61	16.60	17.50	17.33	17.11	16.65
11	+66+	17.17	17.35	17.17	16.98	16.80	16.59	16.68	16.80	17.06	17.25	17.09	17.32	17.02
12	+66+	17.04	17.06	17.09	17.40	17.00	17.22	17.10	17.71	17.84	18.01	18.08	17.83	17.45
13	+66+	17.90	18.04	17.89	18.36	17.93	18.10	18.24	18.34	18.76	19.23	18.90	18.76	18.37
14	+66+	19.02	18.94	19.40	19.67	19.37	19.45	19.91	20.33	20.28	20.74	20.94	20.56	19.88
15	+66+	20.96	21.34	21.46	21.18	21.00	22.10	21.84	22.29	22.58	23.20	23.77	23.11	22.07
16	+66+	23.10	22.86	24.11	23.51	23.54	23.46	24.00	24.47	24.80	25.18	25.29	25.16	24.13
17	+66+	26.06	25.62	25.39	25.10	24.93	25.34	25.58	27.33	26.51	26.83	26.83	27.33	26.08
18	+66+	26.44	27.12	27.33	27.13	26.95	26.89	26.84	27.83	28.46	29.07	29.08	29.64	27.73
19	+66+	29.17	29.05	29.50	28.80	29.05	27.87	28.18	29.65	30.13	30.90	29.94	30.08	29.36
20	+66+	29.75	30.02	31.36	30.82	30.02	29.82	29.92	30.28	31.10	31.32	31.31	31.08	30.56
21	+66+	30.87	30.62	30.78	30.89	32.67	31.57	31.18	31.71	31.85	32.28	32.48	32.42	31.61
22	+66+	32.50	32.42	32.63	32.55	32.50	32.23	32.68	32.98	33.40	33.72	33.27	32.98	32.82
23	+66+	32.81	33.07	33.50	33.38	33.01	33.22	33.43	33.44	33.84	34.47	34.22	34.30	33.57
24	+66+	34.58	34.38	34.48	34.42	34.43	34.90	34.98	34.98	35.55	35.77	35.85	35.60	34.99
25	+66+	35.73	35.79	35.86	35.97	36.08	36.31	36.48	36.75	37.86	38.22	38.01	38.01	36.76
26	+66+	39.06	39.40	39.98	39.59	39.17	38.76	38.64	39.38	40.55	41.02	40.17	40.59	39.70
27	+66+	40.49	40.50	40.89	40.94	40.53	39.86	40.55	41.46	41.70	42.86	41.57	42.08	41.12
28	+66+	41.28	41.58	41.80	41.68	41.90	42.09	43.59	43.40	44.01	44.48	44.33	43.70	42.82
29	+66+	44.03	45.21	45.63	44.54	44.29	44.93	45.41	45.31	45.86	46.05	47.33	47.78	45.58
30	+66+	47.47	47.62	47.75	48.10	47.98	48.27	47.54	47.64	48.61	49.62	49.43	49.55	48.30
31	+66+	49.												

2. Monats- und Jahresmittel der erdmagnetischen Elemente in Seddin in den Jahren 1908—1931.

Jahr	Element	Januar	Februar	März	April	Mai	Juni	Juli	August	Septbr.	Oktober	Novbr.	Dezbr.	Mittel
X Nordkomponente														
	Γ	Υ	Υ	Υ	Υ	Υ	Υ	Υ	Υ	Υ	Υ	Υ	Υ	Υ
1908	+0.18+	649.8	647.2	642.0	643.2	646.2	651.1	649.8	641.4	621.9	629.7	629.9	638.6	640.9
09	+0.18+	632.2	636.3	633.5	643.9	636.8	646.4	645.5	639.5	626.7	607.7	625.5	625.0	633.2
10	+0.18+	631.7	635.7	631.1	629.2	636.7	640.0	639.7	627.7	627.7	617.7	622.2	625.0	630.4
11	+0.18+	624.6	622.6	624.1	625.1	627.4	631.8	630.8	627.0	623.2	619.6	622.5	619.9	624.9
12	+0.18+	624.0	625.3	624.1	620.2	622.9	622.5	622.5	616.6	613.8	613.1	611.5	613.4	619.2
13	+0.18+	612.2	611.1	612.7	607.0	613.3	613.1	611.5	609.5	605.0	602.4	604.7	605.7	609.0
14	+0.18+	603.5	603.3	599.6	594.6	599.0	596.6	592.6	589.5	587.1	582.6	582.7	585.5	593.0
15	+0.18+	579.7	575.2	573.4	577.1	580.4	568.0	571.0	566.7	561.3	554.0	547.8	556.5	567.6
16	+0.18+	557.0	560.0	545.4	552.1	553.4	555.9	549.2	543.7	540.5	536.2	536.4	537.0	547.2
17	+0.18+	527.7	533.7	530.9	538.7	543.1	539.7	538.1	516.2	524.2	519.4	518.3	512.2	529.0
18	+0.18+	525.4	517.7	516.1	517.5	518.7	520.4	520.9	509.6	502.9	497.0	499.4	494.9	511.7
19	+0.18+	497.1	497.5	493.2	500.6	499.3	513.3	507.6	489.4	484.6	477.7	490.0	488.6	494.9
20	+0.18+	493.9	488.8	473.6	481.1	490.1	493.2	492.3	487.1	478.5	478.0	477.0	479.9	484.5
21	+0.18+	482.5	486.8	485.3	484.4	459.2	477.7	479.5	475.1	472.7	468.3	468.7	470.8	475.9
22	+0.18+	472.4	472.0	468.5	469.8	472.9	474.8	470.4	466.7	462.4	460.2	465.7	468.1	468.7
23	+0.18+	469.4	466.8	462.0	465.6	470.9	467.8	468.3	468.0	464.7	456.9	463.4	461.4	465.4
24	+0.18+	458.3	460.4	458.9	462.5	460.4	460.1	462.7	462.5	455.2	454.1	452.8	457.1	458.7
25	+0.18+	456.3	455.3	456.3	455.1	454.6	451.9	452.3	448.1	435.4	432.3	436.8	436.2	447.6
26	+0.18+	424.9	420.4	420.7	424.6	431.0	435.6	438.4	432.2	417.3	411.1	422.0	419.6	424.8
27	+0.18+	419.2	421.4	418.0	421.1	424.8	432.3	425.4	413.8	414.8	402.0	417.2	414.1	418.7
28	+0.18+	416.9	415.3	413.2	414.1	410.3	407.9	391.5	396.1	392.0	385.8	393.3	401.4	403.3
29	+0.18+	396.9	384.6	377.0	392.2	395.7	394.6	385.2	385.8	382.1	378.0	375.3	370.9	384.9
30	+0.18+	375.2	371.5	370.7	368.3	372.3	369.3	370.5	365.7	358.9	353.0	361.1	364.8	366.7
31	+0.18+	371.6	368.7	368.4	371.5	376.3	372.1	370.3	365.1	358.7	347.6	353.6	357.6	365.1
Y Ostkomponente														
	Γ	Υ	Υ	Υ	Υ	Υ	Υ	Υ	Υ	Υ	Υ	Υ	Υ	Υ
1908	-0.04+	921.6	925.8	931.0	931.9	933.8	935.9	938.4	943.4	954.0	954.4	957.8	957.6	940.5
09	-0.04+	965.1	965.1	968.5	969.2	976.3	976.1	980.6	983.9	991.3	1002.3	999.9	1004.0	981.9
10	-0.03+	004.9	006.6	011.3	016.0	018.2	020.9	024.5	031.1	033.6	042.7	044.8	046.7	025.1
11	-0.03+	052.2	057.9	059.3	062.8	065.9	071.1	074.6	078.5	083.0	087.5	091.5	094.8	073.3
12	-0.03+	097.3	101.3	105.2	109.9	113.9	118.1	122.9	128.6	133.2	137.6	142.0	147.2	121.4
13	-0.03+	150.6	154.5	158.0	164.6	167.2	173.3	176.0	181.0	186.7	193.3	197.6	201.1	175.3
14	-0.03+	205.7	209.8	215.4	220.6	223.3	228.9	233.8	238.9	244.8	248.2	254.3	257.9	231.8
15	-0.03+	263.1	267.5	270.9	275.5	279.0	286.8	289.4	293.9	297.9	306.5	311.3	313.7	288.0
16	-0.03+	318.0	321.5	330.7	331.2	335.9	340.0	345.3	350.4	354.8	360.5	366.8	370.2	343.8
17	-0.03+	377.6	379.4	381.0	384.8	388.9	391.8	395.8	406.5	406.2	413.0	417.2	423.0	397.1
18	-0.03+	424.8	430.2	433.0	437.5	441.5	444.6	448.2	454.1	459.8	465.6	471.1	478.6	449.1
19	-0.03+	480.1	485.3	489.6	491.6	496.2	496.4	501.1	511.1	516.5	522.5	522.7	528.2	503.4
20	-0.03+	531.4	538.0	546.6	550.4	549.7	555.6	560.2	565.6	574.2	577.6	582.5	587.3	559.9
21	-0.03+	589.3	593.8	598.5	604.2	618.9	617.4	621.8	625.7	632.3	639.0	645.2	648.7	619.6
22	-0.03+	653.0	659.0	664.5	667.9	674.0	678.6	683.8	688.7	694.9	699.6	703.7	707.3	681.2
23	-0.03+	711.7	718.1	721.7	725.8	730.1	735.0	741.5	746.3	753.5	762.5	766.8	773.0	749.5
24	-0.03+	779.7	782.9	786.4	790.0	796.1	802.7	807.2	810.5	818.9	824.2	831.6	835.9	805.5
25	-0.03+	842.0	846.9	850.0	856.5	863.3	869.8	874.4	878.7	889.2	896.4	900.2	903.9	872.6
26	-0.03+	912.9	920.4	926.1	929.9	933.8	936.8	940.7	947.9	958.5	964.5	966.2	971.9	942.5
27	-0.03+	975.9	980.8	987.4	992.4	998.5	999.7	1007.6	1012.8	1018.6	1026.6	1027.5	1035.8	1005.3
28	-0.02+	039.8	044.0	047.4	054.0	059.3	064.1	074.4	074.9	080.7	088.3	092.8	095.8	068.0
29	-0.02+	101.3	109.3	113.3	113.0	115.6	120.6	126.9	131.4	137.1	143.4	150.1	155.3	126.4
30	-0.02+	159.0	165.4	168.4	174.8	179.1	183.3	186.6	190.1	196.1	204.7	206.3	209.0	185.3
31	-0.02+	210.8	215.6	219.4	224.3	228.9	235.0	238.1	244.4	250.5	258.1	261.3	265.2	237.7
Z Vertikalintensität														
	Γ	Υ	Υ	Υ	Υ	Υ	Υ	Υ	Υ	Υ	Υ	Υ	Υ	Υ
1908	+0.42+	984.5	980.9	980.4	977.7	971.9	971.6	969.4	966.9	969.8	977.1	974.5	962.0	973.9
09	+0.42+	970.2	968.1	964.9	951.0	956.7	949.2	942.4	944.0	954.9	972.1	961.4	955.4	957.5
10	+0.42+	947.9	943.9	941.8	943.3	940.1	927.2	920.0	923.5	922.3	927.1	930.5	928.8	933.0
11	+0.42+	928.0	927.4	924.2	919.2	916.7	917.8	917.1	911.7	910.3	907.1	906.8	907.6	916.2
12	+0.42+	906.4	908.4	905.4	905.6	896.6	901.6	896.1	901.4	898.0	900.4	897.9	892.0	900.8
13	+0.42+	890.5	891.3	888.5	889.2	888.2	891.4	891.7	888.9	890.8	898.9	891.3	887.7	890.7
14	+0.42+	889.7	885.6	890.7	887.0	885.6	881.0	885.9	891.6	882.4	886.9	891.9	883.9	886.8
15	+0.42+	882.8	883.8	882.9	880.2	880.3	886.7	884.4	888.4	884.8	886.4	890.0	886.7	884.8
16	+0.42+	885.9	883.6	889.9	884.6	886.9	888.4	890.1	891.9	894.4	895.8	897.9	893.7	890.3
17	+0.42+	900.9	899.0	897.9	894.1	893.8	899.2	902.5	908.8	899.4	897.2	893.2	894.4	898.4
18	+0.42+	893.5	897.7	900.3	895.0	890.6	891.3	889.6	895.8	900.2	905.9	910.0	916.7	898.9
19	+0.42+	904.9	900.4	904.5	896.9	900.9	892.8	888.6	894.4	898.1	906.8	901.8	899.3	899.3
20	+0.42+	901.9	897.3	905.7	903.2	896.9	895.1	895.3	893.8	899.9	905.2	901.1	898.5	899.5
21	+0.42+	896.5	896.6	897.0	897.3	896.1	901.3	890.7	897.6	894.8	897.6	903.4	905.5	897.9
22	+0.42+	911.5	905.0	902.7	902.0	906.1	899.5	902.9	903.7	906.2	911.0	906.9	901.5	904.9
23	+0.42+	897.3	898.5	901.4	904.1	902.4	901.3	907.8	906.1	910.2	911.1	916.3	912.8	905.8
24	+0.42+	913.4	910.8	909.6	914.4	908.9	922.3	930.1	928.5	928.9	932.6	930.4	930.4	921.7
25	+0.42+	931.4	929.7	933.8	932.8	933.7	933.6	939.1	937.3	943.9	946.9	949.2	946.9	938.2
26	+0.42+	954.4	954.0	973.0	967.6	967.0	962.6	964.1	973.1	976.5	977.0	972.3	979.7	968.4
27	+0.42+	974.4	978.6	982.5	990.1	982.9	976.7	982.9	985.9	995.0	1003.6	993.8	1002.2	987.4
28	+0.42+	985.7	985.8	987.7										

3. Normalwerte der Komponenten am Monatsanfang in den Jahren 1921—1927 bzw. 1931.

Jahr		Januar	Februar	März	April	Mai	Juni	Juli	August	Septbr.	Oktober	Novbr.	Dezbr.	Januar
Potsdam		Nordkomponente												
	Γ	Υ	Υ	Υ	Υ	Υ	Υ	Υ	Υ	Υ	Υ	Υ	Υ	Υ
1921	+0.18+	444.7	443.7	442.7	442.2	441.5	440.8	440.1	439.2	438.0	436.7	435.5	436.3	436.0
22	+0.18+	436.0	435.3	434.6	433.8	433.1	432.9	432.5	432.3	431.9	431.4	431.0	430.7	430.2
23	+0.18+	430.2	429.9	429.9	430.0	429.7	429.5	429.0	428.0	427.3	426.9	426.5	425.6	425.0
24	+0.18+	425.0	424.5	424.0	423.2	423.0	422.1	421.7	421.4	421.1	421.0	420.4	419.8	419.2
25	+0.18+	419.2	418.4	417.4	415.8	414.0	412.7	410.7	408.2	405.4	402.6	400.2	398.6	397.4
26	+0.18+	397.4	396.3	394.9	393.4	391.7	390.6	389.4	388.9	389.0	388.6	388.3	387.7	387.5
27	+0.18+	387.5	386.3	384.8	384.6	383.9	383.3	382.8	382.5	381.9	381.5	380.9	379.6	377.6
Potsdam		Ostkomponente												
	Γ	Υ	Υ	Υ	Υ	Υ	Υ	Υ	Υ	Υ	Υ	Υ	Υ	Υ
1921	-0.03+	602.6	607.7	612.7	617.4	622.5	627.7	632.7	638.1	643.5	649.0	654.4	659.0	664.3
22	-0.03+	664.3	669.5	674.7	680.1	685.2	690.2	695.1	700.0	704.9	709.6	714.4	719.0	723.7
23	-0.03+	723.7	728.5	733.3	738.1	743.3	748.7	754.1	759.8	765.2	770.6	776.0	781.5	787.0
24	-0.03+	787.0	792.6	798.0	803.6	808.8	814.3	819.7	824.8	830.1	835.4	841.0	846.6	852.1
25	-0.03+	852.1	857.6	863.2	869.0	874.9	880.5	886.1	892.1	898.2	904.5	910.5	916.3	921.7
26	-0.03+	921.7	927.2	933.0	938.9	944.7	950.2	955.9	961.1	966.2	971.3	976.5	981.9	987.2
27	-0.03+	987.2	992.8	998.2	1003.0	1008.2	1013.3	1018.6	1024.0	1029.3	1034.3	1039.5	1044.5	1049.8
Potsdam		Vertikalkomponente												
	Γ	Υ	Υ	Υ	Υ	Υ	Υ	Υ	Υ	Υ	Υ	Υ	Υ	Υ
1921	+0.42+	911.2	910.8	911.1	910.5	909.8	910.2	910.7	912.1	912.8	913.4	913.9	914.9	914.8
22	+0.42+	914.8	915.6	916.0	917.0	918.1	918.1	917.9	916.6	916.0	915.8	916.0	915.7	915.8
23	+0.42+	915.8	916.5	916.6	917.0	917.0	917.9	918.5	920.0	921.1	921.6	922.5	923.1	925.0
24	+0.42+	925.0	926.8	928.8	930.4	932.4	933.5	935.3	936.6	938.1	940.3	941.8	943.8	944.7
25	+0.42+	944.7	945.5	946.2	947.5	948.4	950.0	951.2	953.3	955.4	958.7	961.6	964.5	966.9
26	+0.42+	966.9	969.0	971.9	974.7	977.2	979.1	981.9	983.5	985.7	988.6	988.7	990.0	991.2
27	+0.42+	991.2	992.6	993.7	995.1	997.5	999.5	1001.5	1002.7	1003.2	1003.7	1003.2	1003.3	1003.5
Seddin		Nordkomponente												
	Γ	Υ	Υ	Υ	Υ	Υ	Υ	Υ	Υ	Υ	Υ	Υ	Υ	Υ
1921	+0.18+	480.7	479.6	478.6	478.1	477.3	476.6	475.8	475.0	473.8	472.4	471.2	472.3	472.1
22	+0.18+	472.1	471.3	470.6	469.7	469.0	468.8	468.6	468.4	468.0	467.5	467.1	466.9	466.3
23	+0.18+	466.3	466.1	466.2	466.4	466.1	465.9	465.3	464.4	463.9	463.6	463.3	462.4	461.9
24	+0.18+	461.9	461.4	460.9	460.1	459.9	459.0	458.6	458.4	458.0	457.8	457.2	456.7	456.2
25	+0.18+	456.2	455.3	454.1	452.5	450.7	449.4	447.7	445.1	442.2	439.2	436.7	434.7	433.2
26	+0.18+	433.2	432.0	430.7	429.2	427.4	426.2	424.8	424.3	424.4	424.2	423.9	423.4	423.1
27	+0.18+	423.1	422.0	420.5	420.3	419.5	419.1	418.6	418.4	417.9	417.5	416.9	415.7	413.9
28	+0.18+	413.9	411.1	409.6	407.7	406.3	404.3	403.2	401.5	398.9	395.9	394.1	392.9	391.8
29	+0.18+	391.8	391.3	390.4	389.6	389.0	387.5	385.0	383.2	382.1	381.6	379.6	377.6	375.4
30	+0.18+	375.4	374.2	372.5	370.6	368.5	367.3	366.8	366.5	366.3	366.1	366.4	366.7	366.9
31	+0.18+	366.9	366.9	366.9	366.9	366.5	365.9	365.3	364.1	362.9	361.5	359.7	357.9	356.3
Seddin		Ostkomponente												
	Γ	Υ	Υ	Υ	Υ	Υ	Υ	Υ	Υ	Υ	Υ	Υ	Υ	Υ
1921	-0.03+	589.1	594.2	599.2	604.0	609.1	614.3	619.4	624.7	630.1	635.6	640.9	645.5	650.8
22	-0.03+	650.8	656.0	661.2	666.4	671.4	676.3	681.2	686.1	691.0	695.8	700.6	705.3	710.0
23	-0.03+	710.0	714.8	719.6	724.5	729.7	735.0	740.5	746.2	751.6	757.0	762.4	767.9	773.4
24	-0.03+	773.4	778.9	784.3	789.7	794.8	800.2	805.4	810.6	815.9	821.2	826.7	832.3	838.1
25	-0.03+	838.1	843.7	849.4	855.3	861.3	867.0	872.7	878.6	884.7	891.0	897.1	903.0	908.6
26	-0.03+	908.6	914.1	919.9	925.7	931.4	936.9	942.6	947.8	952.8	957.9	963.1	968.5	972.7
27	-0.03+	972.7	979.3	984.7	989.7	994.9	1000.0	1005.3	1010.6	1015.9	1020.9	1026.0	1031.1	1036.5
28	-0.02+	936.5	942.1	947.3	952.5	957.6	963.0	968.0	973.1	978.5	984.0	988.9	993.6	998.3
29	-0.02+	998.3	1007.7	1017.4	1027.1	1036.7	1046.2	1055.6	1064.9	1074.1	1083.2	1092.2	1101.1	1110.0
30	-0.02+	1110.0	1119.2	1128.4	1137.5	1146.5	1155.4	1164.2	1172.9	1181.5	1190.0	1198.4	1206.7	1215.0
31	-0.02+	1215.0	1223.1	1231.1	1238.9	1246.6	1254.2	1261.7	1269.1	1276.4	1283.6	1290.7	1297.7	1304.6
Seddin		Vertikalkomponente												
	Γ	Υ	Υ	Υ	Υ	Υ	Υ	Υ	Υ	Υ	Υ	Υ	Υ	Υ
1921	+0.42+	898.2	897.8	898.1	897.7	897.1	897.3	897.9	899.1	899.8	900.3	900.7	901.5	901.4
22	+0.42+	901.4	902.4	902.9	903.9	905.0	905.3	905.0	903.8	903.3	903.2	903.4	903.1	903.1
23	+0.42+	903.1	903.5	903.7	904.0	904.0	904.8	905.7	907.0	908.0	908.0	909.6	910.1	912.0
24	+0.42+	912.0	913.9	915.8	917.4	919.2	920.4	921.9	923.4	925.0	927.0	928.5	930.6	931.3
25	+0.42+	931.3	932.1	932.8	934.0	935.2	936.8	938.2	940.1	942.1	944.4	948.3	951.1	953.5
26	+0.42+	953.5	955.6	958.6	961.3	963.8	965.7	968.4	970.1	972.1	974.8	977.1	979.3	981.3
27	+0.42+	977.3	978.9	980.0	981.5	983.7	985.5	987.4	988.3	988.9	989.3	988.8	988.7	989.2
28	+0.42+	989.2	990.0	990.9	991.9	992.2	994.2	995.2	997.6	1000.8	1003.5	1006.3	1009.2	1013.6
29	+0.43+	1013.6	1016.6	1019.0	1021.3	1024.9	1028.9	1033.6	1038.2	1041.5	1045.3	1049.7	1054.6	1058.1
30	+0.43+	1058.1	1060.2	1061.9	1064.2	1066.8	1069.0	1071.9	1074.7	1078.1	1081.1	1082.9	1084.5	1086.4
31	+0.43+	1086.4	1090.0	1094.7	1098.7	1101.9	1104.7	1106.3	1108.4	1110.4	1112.5	1115.1	1118.0	1120.6

4. Jährlicher Gang in den Jahren 1921—1927 bzw. 1931.
Als Abweichung der beobachteten Monatsmittel von den Normalwerten.

Jahr	Januar	Febr.	März	April	Mai	Juni	Juli	August	Sept.	Okt.	Nov.	Dez.	S. S.	Aequ.	N. S.	Jahr
Potsdam																
Nordkomponente																
1921	+ 1.4	+ 6.5	+ 5.2	+ 6.4	-13.6	+ 1.8	+ 4.7	+ 0.8	- 0.2	- 3.3	- 3.7	- 1.9	+ 0.6	+ 2.0	-1.6	+ 0.3
22	- 0.3	0.0	- 2.3	+ 0.8	+ 3.9	+ 5.7	+ 3.1	- 1.0	- 4.6	- 6.9	- 1.6	+ 1.0	- 0.2	- 3.2	+ 2.9	- 0.2
23	+ 3.2	+ 0.5	- 4.3	0.0	+ 4.1	+ 2.4	+ 2.9	+ 4.1	+ 1.1	- 6.3	+ 1.4	+ 0.1	+ 1.3	- 2.4	+ 3.4	+ 0.8
24	- 3.0	- 2.5	- 2.9	+ 1.8	+ 0.6	+ 1.6	+ 4.0	+ 4.2	- 2.6	- 2.6	- 3.7	+ 1.5	- 1.9	- 1.6	+ 2.6	- 0.3
25	- 0.1	- 0.3	+ 2.6	+ 3.3	+ 2.6	+ 4.5	+ 6.9	+ 6.0	- 4.6	- 4.9	+ 1.3	- 0.4	+ 0.1	- 0.9	+ 5.0	+ 1.4
26	- 7.8	-11.3	- 8.1	- 3.5	+ 6.1	+10.1	+14.4	+ 7.0	- 6.9	-12.8	- 0.9	- 4.5	- 6.1	- 7.8	+ 9.4	-1.5
27	- 3.4	+ 0.1	- 2.9	+ 0.9	+ 6.0	+13.7	+ 7.1	- 4.5	- 2.3	-14.5	- 0.4	- 1.6	- 1.3	- 4.7	+ 5.6	- 0.2
Potsdam																
Ostkomponente																
1921	- 2.9	- 2.3	- 3.1	- 2.4	+ 7.3	- 0.5	- 1.0	- 1.6	- 1.3	+ 0.6	+ 1.4	+ 0.6	- 0.8	- 1.6	+ 1.0	- 0.4
22	- 0.2	+ 0.8	+ 1.0	- 0.2	+ 0.5	- 0.4	- 0.5	- 2.1	+ 1.9	+ 1.2	+ 0.9	- 0.4	+ 0.3	+ 1.0	- 0.6	+ 0.2
23	- 0.7	+ 1.1	- 0.4	- 1.2	- 2.2	- 2.6	- 2.6	- 2.6	- 1.2	+ 2.9	+ 1.5	+ 1.6	+ 0.9	0.0	- 2.5	- 0.5
24	+ 3.8	+ 1.5	- 0.2	- 2.2	- 1.8	- 0.8	- 0.5	- 3.1	- 0.2	0.0	+ 2.3	+ 0.9	+ 2.1	- 0.6	- 1.6	0.0
25	+ 0.4	+ 0.3	- 2.2	- 0.7	- 0.8	+ 0.4	- 1.8	- 3.3	+ 1.3	+ 1.5	0.0	- 1.5	- 0.2	0.0	- 1.4	- 0.5
26	+ 2.4	+ 3.3	+ 3.5	+ 1.2	- 1.1	- 2.9	- 5.7	- 2.2	+ 4.8	+ 4.1	+ 0.4	+ 1.1	+ 1.8	+ 4.4	- 3.0	+ 0.7
27	- 1.3	- 1.3	+ 0.2	+ 0.1	+ 0.8	- 2.1	- 2.0	- 0.9	- 0.2	+ 2.9	- 1.2	+ 2.5	- 0.3	+ 0.8	- 1.0	- 0.2
Potsdam																
Vertikalkomponente																
1921	- 2.0	- 1.0	- 1.3	- 1.2	- 3.4	+ 3.2	- 7.4	- 1.3	- 6.7	- 1.6	+ 5.6	+ 3.1	+ 1.4	- 2.7	- 2.2	- 1.2
22	+11.0	+ 2.9	- 0.1	- 3.1	- 0.1	- 5.1	- 3.6	+ 0.2	+ 3.1	+ 9.5	+ 4.3	- 0.7	+ 4.4	+ 2.4	- 2.2	+ 1.5
23	- 5.6	- 5.0	- 2.4	- 0.5	- 3.2	- 4.9	+ 2.6	- 2.7	+ 2.4	+ 3.6	+ 8.2	- 1.2	- 0.9	+ 0.8	- 2.0	- 0.7
24	+ 2.6	- 3.2	- 9.7	- 4.4	-11.5	+ 1.8	+ 7.7	+ 5.3	+ 3.3	+ 8.5	+ 1.7	0.0	+ 0.3	- 0.6	+ 0.8	+ 0.2
25	- 1.3	- 3.1	0.0	- 2.8	- 3.9	- 4.9	+ 0.5	- 3.4	+ 0.7	+ 0.6	+ 0.4	- 6.7	- 2.7	- 0.4	- 2.9	- 2.0
26	- 0.1	- 2.8	+13.5	+ 3.8	+ 2.1	- 4.6	- 4.8	+ 1.2	+ 4.9	+ 3.3	- 3.6	+ 2.0	- 1.1	+ 6.4	- 1.5	+ 1.2
27	- 5.4	+ 0.9	+ 2.9	+ 8.3	- 2.5	- 8.7	- 7.0	- 4.5	+ 5.0	+16.6	+ 6.1	+13.6	+ 3.8	+ 8.2	- 5.7	+ 2.1
Seddin																
Nordkomponente																
1921	+ 2.3	+ 7.7	+ 6.9	+ 6.7	-17.8	+ 1.5	+ 4.1	+ 0.7	- 0.4	- 3.5	- 3.1	- 1.4	+ 1.4	+ 2.4	- 2.9	+ 0.3
22	+ 0.7	+ 1.0	- 1.7	+ 0.4	+ 4.0	+ 6.1	+ 1.9	- 1.5	- 5.4	- 7.1	- 1.3	+ 1.5	+ 0.5	- 3.4	+ 2.6	- 0.1
23	+ 3.2	+ 0.6	- 4.3	- 0.6	+ 4.7	+ 2.2	+ 3.5	+ 3.8	+ 0.9	- 6.5	+ 0.6	- 0.8	+ 0.9	- 2.6	+ 3.6	+ 0.6
24	- 3.3	- 0.8	- 1.6	+ 2.5	+ 1.0	+ 1.3	+ 4.2	+ 4.3	- 2.7	- 3.4	- 4.2	+ 0.7	- 1.9	- 1.3	+ 2.7	- 0.2
25	+ 0.5	+ 0.6	+ 3.0	+ 3.5	+ 4.6	+ 3.3	+ 5.9	+ 4.5	- 5.3	- 5.7	+ 1.1	+ 2.2	+ 1.1	- 1.1	+ 4.6	+ 1.5
26	- 7.7	-11.0	- 9.3	- 3.7	+ 4.2	+10.1	+13.8	+ 7.8	- 7.0	-12.9	- 1.6	- 3.6	- 6.0	- 8.2	+ 9.0	- 1.7
27	- 3.4	+ 0.2	- 2.4	+ 1.2	+ 5.5	+13.5	+ 6.9	- 4.4	- 2.9	-15.2	+ 0.9	- 0.7	- 0.8	- 4.8	+ 5.4	- 0.1
28	+ 4.4	+ 4.9	+ 4.6	+ 7.1	+ 5.0	+ 4.1	-10.9	- 4.1	- 5.4	- 9.2	- 0.2	+ 9.0	+ 4.5	- 0.7	+ 1.5	+ 0.8
29	+ 5.3	- 6.2	-13.0	+ 2.9	+ 7.5	+ 8.4	+ 1.1	+ 3.2	+ 0.3	- 2.6	- 3.3	- 5.6	- 2.4	- 3.1	+ 5.0	- 0.2
30	+ 0.4	- 1.9	- 0.9	- 1.3	+ 4.4	+ 2.3	+ 3.9	- 0.7	- 7.3	-13.2	- 5.5	- 2.0	- 2.2	- 5.7	+ 2.5	- 1.8
31	+ 4.7	+ 1.8	+ 1.5	+ 4.8	+10.1	+ 6.5	+ 5.6	+ 1.6	- 3.5	-13.0	- 8.2	+ 0.5	+ 0.4	- 2.6	+ 6.0	+ 1.3
Seddin																
Ostkomponente																
1921	- 2.3	- 2.9	- 3.1	- 2.4	+ 1.2	+ 0.6	- 0.2	- 1.7	- 0.5	+ 0.8	+ 2.0	+ 0.5	- 0.7	- 1.3	0.0	- 0.7
22	- 0.4	+ 0.4	+ 0.7	- 1.0	+ 0.2	- 0.2	+ 0.2	+ 0.1	+ 1.5	+ 1.4	+ 0.7	- 0.3	+ 0.1	+ 0.6	+ 0.1	+ 0.3
23	- 0.7	+ 0.9	- 0.3	- 1.3	- 2.3	- 2.8	- 1.9	- 2.6	- 0.8	+ 2.8	+ 1.6	+ 2.4	+ 1.0	+ 0.1	- 2.4	- 0.4
24	+ 3.5	+ 1.3	- 0.6	- 0.2	- 1.4	- 0.1	- 0.8	- 2.7	+ 0.3	+ 0.2	+ 2.1	+ 0.7	+ 1.9	- 0.1	- 1.2	+ 0.2
25	+ 1.1	+ 0.3	- 2.4	- 1.9	- 0.9	0.0	- 1.2	- 2.9	+ 1.4	+ 2.4	+ 0.2	- 1.9	- 0.1	- 0.1	- 1.2	- 0.5
26	+ 1.5	+ 3.4	+ 3.3	+ 1.3	- 0.4	-13.0	- 4.5	- 2.4	+ 3.1	+ 4.0	+ 0.4	+ 1.3	+ 1.6	+ 2.9	- 5.1	- 0.2
27	- 0.3	- 1.2	+ 0.2	+ 0.1	+ 1.1	- 2.9	- 0.4	- 0.4	+ 0.2	+ 3.2	- 1.1	+ 2.0	- 0.2	+ 0.9	- 0.6	0.0
28	+ 0.5	- 0.7	- 2.5	- 1.0	- 1.0	- 1.4	+ 3.8	- 0.9	- 0.5	+ 1.9	+ 1.6	- 0.2	+ 0.3	- 0.5	+ 0.1	0.0
29	+ 0.8	+ 4.3	+ 3.5	- 1.4	- 3.5	- 3.4	- 2.0	- 2.2	- 1.2	+ 0.2	+ 1.7	+ 1.7	+ 2.1	+ 0.3	- 2.8	- 0.1
30	+ 0.3	+ 1.8	- 0.2	+ 1.2	+ 0.7	+ 0.3	- 0.8	- 1.6	+ 0.2	+ 4.7	+ 2.1	+ 0.6	+ 1.2	+ 1.5	- 0.4	+ 0.8
31	- 2.0	- 1.6	- 2.2	- 1.8	- 1.7	- 0.2	- 1.9	- 0.4	+ 0.7	+ 3.3	+ 1.5	+ 0.6	- 0.4	0.0	- 1.0	- 0.5
Seddin																
Vertikalkomponente																
1921	- 1.5	- 1.4	- 0.9	- 4.1	- 1.1	+ 3.7	- 7.8	- 1.8	- 5.2	- 2.9	+ 2.3	+ 4.1	+ 0.9	- 3.3	- 1.8	- 1.4
22	+ 9.6	+ 2.4	- 0.7	- 2.4	+ 0.9	- 5.7	- 1.5	+ 0.2	+ 3.0	+ 7.7	+ 3.7	- 1.6	+ 3.5	+ 1.9	- 1.5	+ 1.3
23	- 6.0	- 5.1	- 2.4	+ 0.1	- 2.0	- 3.9	+ 1.4	- 1.4	+ 1.8	+ 1.9	+16.5	+ 1.8	+ 1.8	+ 0.4	- 1.5	+ 0.2
24	+ 0.4	- 4.0	- 7.0	- 3.9	-10.9	+ 1.1	+ 7.5	+ 4.3	+ 2.9	+ 4.8	+ 0.8	- 0.6	- 0.8	- 0.8	+ 0.5	- 0.4
25	- 0.3	- 2.7	+ 0.4	- 1.8	- 2.3	- 3.9	- 0.1	- 3.8	+ 0.1	- 0.1	- 0.5	- 5.4	- 2.2	- 0.3	- 2.5	- 1.7
26	- 0.2	- 3.1	+13.0	+ 5.0	+ 2.2	- 4.4	- 5.1	+ 2.0	+ 4.0	+ 3.2	- 3.1	+ 3.0	- 0.8	+ 6.3	- 1.3	+ 1.4
27	- 3.7	- 0.8	+ 1.7	+ 7.5	- 1.7	- 9.7	- 4.9	- 2.7	+ 5.9	+14.6	+ 5.0	+13.2	+ 3.4	+ 7.4	- 4.8	- 2.0
28	- 3.9	- 4.6	- 3.7	- 7.9	-11.5	-13.2	- 3.9	- 2.5	+ 4.9	+ 2.1	+10.2	+ 3.0	+ 1.2	- 1.2	- 7.8	- 2.6
29	- 1.2	+ 6.5	- 0.1	- 5.3	-10.0	+ 3.9	- 7.3	-14.4	- 9.2	+ 3.0	+14.2	+14.0	+ 8.4	- 2.9	- 7.0	- 0.5
30	+ 9.7	+ 2.9	+ 2.8	+ 5.4	+ 7.3	+ 6.9	-19.1	-30.9	-17.8	- 0.9	+ 9.3	+19.8	+10.4	- 2.6	- 9.0	- 1.2
31	+13.7	+11.7	+ 4.9	- 7.2	- 8.9	- 5.3	- 8.8	- 7.3	- 2.2	+ 6.0	+10.3	+ 4.6	+10.1	+ 0.4	- 7.6	+ 2.9

5. Mittlerer täglicher Gang; stündliche Werte; alle Tage.

Seddin			Mittlere Ortszeit.													1921-1931										
	1 ^h	2 ^h	3 ^h	4 ^h	5 ^h	6 ^h	7 ^h	8 ^h	9 ^h	10 ^h	11 ^h	Mtg.	13 ^h	14 ^h	15 ^h	16 ^h	17 ^h	18 ^h	19 ^h	20 ^h	21 ^h	22 ^h	23 ^h	Mn.		
ΔX Nordkomponente																										
J.	1.0	0.8	1.5	2.5	4.7	6.9	7.5	6.1	1.5	-4.3	-7.5	-8.6	-7.2	-4.4	-3.5	-3.6	-2.8	-0.8	0.4	1.4	2.1	2.5	2.1	1.8		
F.	3.2	3.3	2.9	4.1	5.6	7.0	7.8	6.8	1.5	-5.7	-10.6	-12.5	-11.4	-8.4	-5.4	-4.1	-3.3	-0.6	0.8	1.7	3.7	4.6	5.1	4.0		
M.	7.3	5.5	4.7	5.7	6.2	8.2	8.2	4.0	-5.1	-14.1	-19.7	-20.1	-17.4	-11.3	-5.9	-2.6	-1.7	1.6	4.2	6.1	8.3	8.9	9.9	9.5		
A.	9.6	7.6	6.7	6.2	7.7	8.0	5.2	-2.5	-12.5	-22.8	-27.5	-25.8	-19.6	-12.8	-5.4	-0.1	3.7	7.2	9.7	11.6	12.2	11.5	11.4	10.3		
M.	9.0	6.7	5.9	5.0	4.8	0.5	-6.0	-11.6	-18.3	-22.7	-25.1	-20.0	-15.9	-10.9	-3.4	1.4	8.0	13.0	15.8	15.6	13.3	11.5	10.6	10.8		
J.	8.0	6.6	6.9	8.0	7.9	3.5	-3.5	-11.5	-19.8	-24.3	-24.7	-22.9	-19.0	-12.1	-3.1	2.9	7.3	11.9	15.2	15.6	14.1	12.2	11.3	9.5		
J.	8.4	7.3	6.5	8.0	7.9	4.3	-3.2	-11.0	-18.4	-23.9	-23.3	-22.2	-17.4	-11.3	-3.5	3.0	6.9	10.2	14.1	14.7	12.7	11.9	10.6	10.0		
A.	9.2	8.0	7.0	7.2	6.8	3.9	-2.4	-12.1	-20.7	-25.3	-24.8	-19.9	-12.9	-7.2	-2.1	2.2	5.4	8.1	11.5	12.7	13.1	11.5	11.1	9.9		
S.	9.9	9.3	9.3	8.9	7.7	5.7	0.2	-8.2	-17.2	-23.7	-25.4	-21.3	-14.2	-8.2	-4.4	-0.9	1.7	5.6	8.0	10.0	10.9	12.1	12.9	11.6		
O.	8.6	7.2	7.2	8.1	8.5	9.6	8.0	1.9	-8.1	-17.8	-21.6	-20.3	-15.7	-11.1	-7.0	-4.5	-1.4	1.2	4.9	6.5	8.3	9.6	9.5	8.3		
N.	3.5	2.8	3.3	5.0	6.3	7.7	7.6	5.2	-1.1	-8.2	-12.6	-12.9	-10.2	-7.5	-6.4	-4.9	-2.3	1.2	2.0	3.1	3.6	5.3	5.3	4.4		
D.	1.1	1.1	1.6	2.8	5.2	7.2	7.2	6.1	2.4	-2.4	-5.6	-6.5	-6.2	-5.0	-5.3	-4.6	-3.9	-2.5	-0.9	0.3	1.5	2.4	2.8	1.6		
S.S.	2.2	2.0	2.3	3.6	5.4	7.2	7.5	6.0	1.1	-5.2	-9.1	-10.1	-8.8	-6.3	-5.2	-4.3	-3.1	-0.7	0.6	1.6	2.7	3.7	3.8	3.0		
Äqu.	8.8	7.4	7.0	7.2	7.5	7.9	5.4	-1.2	-10.7	-19.6	-25.6	-21.9	-16.7	-10.8	-5.7	-2.0	0.6	3.9	6.7	8.6	9.9	10.5	10.9	9.9		
N.S.	8.6	7.2	6.6	7.0	6.8	3.0	-3.8	-11.6	-19.3	-24.0	-24.5	-21.2	-16.3	-10.4	-3.0	2.4	6.9	10.8	14.2	14.6	13.3	11.8	10.9	10.0		
W.	4.1	3.4	3.5	4.7	6.1	7.8	7.7	5.0	-1.5	-8.8	-12.9	-13.5	-11.4	-8.0	-5.6	-4.0	-2.6	0.0	1.9	3.2	4.6	5.6	5.8	4.9		
S.	9.0	7.6	7.0	7.2	7.1	4.3	-1.6	-9.5	-17.8	-23.8	-25.1	-22.0	-16.5	-10.4	-3.6	1.4	5.5	9.3	12.4	13.4	12.7	11.8	11.3	10.4		
J.	6.6	5.5	5.3	6.0	6.6	6.0	3.0	-2.2	-9.6	-16.3	-19.0	-17.8	-13.9	-9.2	-4.6	-1.3	1.5	4.7	7.1	8.3	8.6	8.7	8.6	7.6		
ΔY Ostkomponente																										
J.	5.5	4.4	2.1	0.8	-0.5	-0.6	0.5	2.7	2.7	0.1	-4.7	-10.9	-15.0	-12.1	-7.3	-5.0	-3.3	-1.9	1.8	4.7	7.6	10.2	10.4	8.1		
F.	7.7	6.0	4.0	3.1	2.5	2.3	1.9	4.5	6.0	2.5	-5.2	-13.1	-18.7	-19.5	-14.3	-8.5	-4.4	-2.2	0.6	5.0	8.3	10.4	11.0	10.0		
M.	5.6	5.3	4.4	4.7	3.7	4.0	8.4	15.4	17.1	10.5	-4.2	-19.8	-28.8	-29.4	-22.7	-11.8	-3.9	1.0	3.0	5.0	8.2	9.1	8.0	6.7		
A.	5.3	5.4	6.2	6.8	7.6	11.1	18.3	24.8	23.7	12.9	-4.8	-23.3	-34.2	-33.7	-25.7	-16.5	-7.6	-1.7	1.3	3.5	5.0	5.4	5.8	4.6		
M.	5.3	6.3	7.4	9.6	14.4	19.2	24.1	24.5	19.2	7.0	-8.8	-23.7	-31.6	-30.4	-24.6	-17.3	-10.3	-4.2	-0.7	0.9	1.7	3.3	4.3	4.2		
J.	4.5	6.0	7.4	11.2	18.0	23.7	26.7	27.3	22.3	10.9	-4.9	-20.3	-29.2	-32.4	-29.1	-21.6	-13.1	-7.4	-3.8	-1.9	-1.0	0.5	2.6	4.1		
J.	4.2	7.2	8.2	10.5	17.5	22.8	25.1	25.3	20.7	10.8	-4.3	-18.9	-28.5	-31.8	-27.9	-19.6	-12.0	-6.5	-3.6	-2.4	-1.2	-0.1	1.5	3.0		
A.	5.0	6.6	7.5	9.5	14.4	18.7	22.5	22.7	16.0	3.8	-10.7	-24.0	-31.6	-30.6	-23.4	-13.2	-5.3	-1.1	-0.4	0.6	1.9	2.8	3.4	5.0		
S.	6.9	5.9	7.0	7.6	7.3	10.2	15.3	18.2	14.2	3.3	-11.6	-25.4	-31.4	-28.8	-21.0	-11.2	-3.7	0.5	2.8	4.8	6.3	7.0	7.5	8.1		
O.	6.7	5.2	3.5	1.0	-0.7	-0.6	3.6	10.5	12.6	5.5	-7.3	-19.6	-24.7	-24.1	-16.4	-9.1	-3.7	0.8	4.4	8.3	11.2	12.9	11.4	8.6		
N.	5.1	3.4	1.2	0.3	-0.5	-1.0	0.2	3.7	5.8	1.5	-6.9	-13.5	-15.8	-13.0	-8.9	-5.5	-3.2	0.5	2.6	5.8	9.0	10.9	10.1	8.1		
D.	6.1	3.3	1.4	-0.6	-1.7	-1.9	-1.3	-0.3	0.5	-1.8	-5.6	-10.6	-12.7	-10.8	-7.4	-3.8	-1.9	0.0	3.6	6.8	9.0	10.3	10.3	9.1		
S.S.	6.1	4.3	2.2	0.9	0.0	-0.3	0.3	2.6	3.8	0.6	-5.6	-12.0	-15.6	-13.8	-9.5	-5.7	-3.2	-0.9	2.2	5.6	8.5	10.4	10.4	8.8		
Äqu.	6.1	5.4	5.3	5.0	4.5	6.2	11.4	17.2	16.9	8.0	-7.0	-22.0	-29.8	-29.0	-21.4	-12.2	-4.7	0.2	2.9	5.4	7.7	8.6	8.2	7.0		
N.S.	4.8	6.5	7.6	10.2	16.1	21.1	24.6	25.0	19.6	8.1	-7.2	-21.7	-30.2	-31.3	-26.2	-17.9	-10.2	-4.8	-2.1	-0.7	0.4	1.6	3.0	4.1		
W.	6.1	4.6	2.8	1.6	0.5	0.4	2.2	6.1	7.4	3.0	-5.6	-14.6	-19.3	-18.2	-12.8	-7.3	-3.4	-0.3	2.7	5.9	8.9	10.6	10.2	8.4		
S.	5.2	6.2	7.3	9.2	13.2	17.6	22.0	23.8	19.4	8.1	-7.5	-22.6	-31.1	-31.3	-25.3	-16.6	-8.7	-3.4	-0.7	0.9	2.1	3.2	4.2	4.8		
J.	5.7	5.4	5.0	5.4	6.8	9.0	12.1	14.9	13.4	5.6	-6.6	-18.6	-25.2	-24.7	-19.1	-11.9	-6.0	-1.8	1.0	3.4	5.5	6.9	7.2	6.6		
ΔZ Vertikalkomponente																										
J.	-1.4	-2.3	-2.8	-3.0	-2.9	-2.8	-2.3	-2.6	-2.9	-2.5	-2.7	-3.5	-1.1	2.1	3.4	3.6	3.9	4.2	4.5	4.4	3.4	2.4	1.2	-0.3		
F.	-1.7	-2.6	-3.1	-3.5	-3.5	-3.3	-3.2	-2.6	-3.1	-4.4	-5.0	-4.4	-2.9	0.4	3.9	5.6	6.3	6.2	6.5	6.3	4.8	3.0	0.9	-0.5		
M.	-2.4	-3.4	-3.4	-3.8	-3.8	-3.3	-1.2	-0.5	-2.5	-6.5	-9.6	-9.6	-6.4	-1.8	4.3	9.2	10.4	9.6	8.8	7.5	5.5	3.4	0.9	-1.1		
A.	-1.0	-1.8	-1.9	-1.8	-1.6	0.0	1.4	1.0	-3.1	-9.0	-14.5	-15.8	-11.6	-3.9	2.9	7.3	9.8	10.6	9.8	8.2	6.6	4.8	2.9	0.8		
M.	-1.9	-3.0	-3.0	-2.3	-2.3	-1.7	-0.6	-1.3	-4.2	-9.3	-14.4	-15.1	-10.1	-3.1	3.3	7.7	10.7	12.4	12.3	10.5	7.8	5.0	2.4	0.1		
J.	-1.6	-2.4	-1.9	-0.9	-0.3	0.3	0.3	-0.1	-3.6	-8.4	-13.4	-14.4	-11.3	-5.1	1.6	6.8	10.2	11.8	11.0	9.3	6.5	4.1	1.9	-0.1		
J.	-0.8	-2.1	-1.6	-0.8	-0.8	-0.5	-0.9	-3.6	-7.3	-11.7	-13.3	-11.0	-5.3	1.6	6.3	9.4	10.5	9.7	8.4	6.5	4.4	2.9	0.8			
A.	-2.0	-3.1	-3.1	-2.1	-0.7	0.1	0.9	1.1	-1.5	-6.1	-10.6	-11.9	-8.6	-3.4	3.2	8.0	9.5	8.6	7.3	6.2	4.4	3.0	1.2	-0.2		
S.	-2.4	-3.7	-4.3	-4.4	-3.2	-1.3	0.8	1.1	-1.6	-6.2	-10.0	-9.7	-5.6	-0.2	4.7	8.3	9.3	8.8	7.9	6.4	4.7	2.4	-0.2	-1.5		
O.	-4.4	-4.9	-5.2	-5.3	-4.7	-3.8	-1.3	0.3	-1.8	-5.3	-7.1	-5.6	-1.9	2.3	6.7	9.3	9.1	8.8	8.0	6.0	3.5	1.1	-1.1	-2.9		
N.	-2.3	-3.1	-3.1	-3.2	-2.9	-2.9	-2.5	-1.8	-2.9	-4.8	-4.6	-3.1	-0.3	2.9	4.7	5.6	5.7	5.2	5.0	4.3	3.3	1.6	0.2	-0.9		
D.	-1.3	-2.1	-2.6	-2.9	-3.1	-3.1	-2.9	-3.2	-4.0	-3.9	-3.5	-3.2	-0.8	2.1	4.1	4.9	5.1	5.1	5.1	4.6	3.4	2.0	0.7	-0.5		
S.S.	-1.7	-2.5	-2.9	-3.2	-3.1	-3.0	-2.7	-2.6	-3.2	-3.9	-4.0	-3.6	-1.3	1.9	4.0	4.9	5.2	5.2	5.3	4.9	3.7	2.2	0.8	-0.6		
Äqu.	-2.6	-3.4	-3.7	-3.8	-3.3	-2.1	-0.1	0.5	-2.2	-6.8	-10.3	-10.2	-6.3	-0.9	4.6	8.5	9.6	9.4	8.6	7.0	5.1	2.9	0.6	-1.2		
N.S.	-1.6	-2.6	-2.4	-1.5	-1.0	-0.7	0.0	-0.3	-3.2	-7.8	-12.5	-13.7	-10.2	-4.2	2.4	7.2	10.0	10.8	10.1	8.6	6.3	4.1	2.1	0.2		
W.	-2.2	-3.1	-3.5	-3.6	-3.5	-3.2	-2.2	-1.7	-2.9	-4.6	-5.4	-4.9	-2.2	1.3	4.5	6.4	6.8	6.5	6.3	5.6	4.0	2.2	0.5	-1.0		
S.	-1.6	-2.7	-2.6	-2.0	-1.5	-0.7	0.4	0.2	-2.9	-7.7	-12.4	-13.4	-9.7	-3.5	2.9	7.4										

6. Mittlerer täglicher Gang an ruhigen Tagen; stündliche Werte.

Seddin

Mittlere Ortszeit.

1921-1931

	1 ^h	2 ^h	3 ^h	4 ^h	5 ^h	6 ^h	7 ^h	8 ^h	9 ^h	10 ^h	11 ^h	Mtg.	13 ^h	14 ^h	15 ^h	16 ^h	17 ^h	18 ^h	19 ^h	20 ^h	21 ^h	22 ^h	23 ^h	Mn.	
ΔX Nordkomponente																									
J.	Y	Y	Y	Y	Y	Y	Y	Y	Y	Y	Y	Y	Y	Y	Y	Y	Y	Y	Y	Y	Y	Y	Y	Y	Y
F.	-0.1	-0.3	0.0	0.7	2.4	4.8	5.1	4.6	1.2	-3.1	-6.3	-7.8	-5.9	-2.8	-1.4	-1.8	-1.0	0.7	2.0	3.0	2.7	2.0	1.0	0.3	
M.	2.7	2.6	2.7	3.3	4.9	6.1	7.6	6.6	0.8	-6.5	-11.8	-13.7	-10.8	-6.5	-2.9	-1.8	-1.4	-0.1	1.9	2.7	3.1	3.4	3.6	3.3	
A.	5.0	3.9	3.7	4.1	5.7	7.3	8.5	6.1	-1.7	-11.2	-17.4	-17.8	-14.5	-8.6	-4.4	-1.2	-0.6	1.3	4.0	5.2	5.5	5.5	5.7	5.9	
M.	6.2	5.0	4.9	5.1	6.7	7.9	6.7	1.7	-7.8	-18.4	-23.5	-23.1	-16.4	-9.4	-2.9	1.2	3.1	5.9	8.2	9.0	7.8	7.7	7.6	6.8	
J.	7.3	6.0	5.1	6.4	6.9	4.5	-1.2	-7.7	-13.8	-18.3	-20.2	-18.4	-14.6	-10.0	-4.2	0.8	4.7	8.0	11.0	11.7	10.3	8.9	8.3	8.1	
J.	7.1	6.0	6.6	8.7	9.2	5.6	-1.3	-9.5	-18.3	-23.0	-24.0	-21.7	-16.5	-9.8	-1.0	3.6	6.0	9.6	11.7	12.2	11.2	10.5	8.9	7.8	
J.	6.3	5.4	5.3	7.4	8.8	5.8	-1.0	-7.3	-15.3	-21.3	-22.0	-19.2	-15.3	-9.0	-1.6	3.2	6.1	7.9	9.5	11.1	10.7	8.9	7.7	7.5	
A.	7.6	6.0	5.6	5.8	5.6	3.7	-1.6	-9.2	-17.4	-22.1	-22.1	-16.9	-10.8	-6.0	-1.0	3.2	5.6	6.6	9.5	11.1	10.5	9.4	8.6	8.2	
S.	7.8	6.6	6.6	6.3	6.1	5.4	1.8	-5.9	-14.2	-21.1	-23.0	-18.8	-11.3	-4.8	-1.6	0.3	1.9	4.7	7.6	9.3	9.1	8.8	9.1	8.5	
O.	4.8	4.3	5.1	6.1	6.4	8.3	6.8	1.6	-7.6	-16.4	-19.9	-18.0	-12.2	-7.1	-3.9	-2.8	0.4	3.0	5.8	6.4	7.1	8.1	7.4	6.2	
N.	1.4	1.0	1.9	3.1	4.6	6.8	6.4	4.1	-2.1	-8.2	-12.1	-12.1	-8.2	-4.8	-3.9	-2.3	-0.1	2.3	3.9	4.7	4.2	4.4	3.5	2.8	
D.	-0.6	-1.4	-0.7	0.7	2.6	4.1	4.1	4.0	1.3	-2.8	-5.2	-3.3	-3.9	-2.4	-2.1	-1.7	-0.2	1.7	2.0	1.9	2.1	1.7	0.7	-0.5	
S.S.	0.8	0.5	1.0	2.0	3.6	5.4	5.8	4.8	0.3	-5.2	-8.8	-9.7	-7.2	-4.1	-2.6	-1.9	-0.7	1.2	2.4	3.1	3.0	2.9	2.2	1.5	
Äqu.	6.0	5.0	5.1	5.4	6.2	7.2	6.0	0.9	-7.8	-16.8	-21.0	-19.4	-13.6	-7.5	-3.2	-0.6	1.2	3.7	6.4	7.5	7.4	7.5	7.4	6.8	
N.S.	7.1	5.8	5.6	7.1	7.6	4.9	-1.3	-8.4	-16.2	-21.2	-22.1	-19.0	-14.3	-8.7	-2.0	2.7	5.6	8.0	10.4	11.5	10.6	9.4	8.4	7.9	
W.	2.2	1.7	2.1	3.0	4.4	6.2	6.4	4.5	-1.4	-8.0	-12.1	-12.4	-9.2	-5.4	-3.1	-1.9	-0.5	1.5	3.3	4.0	4.1	4.2	3.6	3.0	
S.	7.0	5.8	5.7	6.6	7.2	5.5	0.6	-6.3	-14.5	-20.7	-22.5	-19.7	-14.2	-8.2	-2.0	2.0	4.6	7.1	9.6	10.7	9.9	9.0	8.4	7.8	
J.	4.6	3.8	3.9	4.8	5.8	5.9	3.5	-0.9	-7.9	-14.4	-17.3	-16.1	-11.7	-6.8	-2.6	0.1	2.0	4.3	6.4	7.4	7.0	6.6	6.0	5.4	
ΔY Ostkomponente																									
J.	Y	Y	Y	Y	Y	Y	Y	Y	Y	Y	Y	Y	Y	Y	Y	Y	Y	Y	Y	Y	Y	Y	Y	Y	Y
F.	3.5	2.2	1.5	1.0	0.7	1.5	3.3	5.1	5.5	3.0	-1.6	-8.2	-11.0	-8.9	-5.1	-3.6	-2.8	-1.9	-0.8	1.1	3.1	4.0	4.6	4.5	
M.	3.1	2.2	2.5	2.5	2.7	3.8	5.3	9.0	11.5	7.6	-1.5	-10.2	-15.9	-15.9	-11.1	-5.7	-2.8	-2.1	-0.8	1.2	2.6	3.9	4.1	3.9	
A.	2.2	2.6	3.2	3.6	4.4	5.3	9.9	16.9	20.4	14.0	-0.7	-15.5	-24.0	-24.2	-16.8	-6.7	-1.3	-1.1	-0.7	0.6	1.6	1.9	2.2	2.4	
M.	1.6	3.4	4.1	5.6	7.4	11.5	19.7	27.3	26.7	16.3	-1.6	-19.4	-30.4	-29.5	-20.8	-11.8	-5.2	-2.4	-2.0	-1.3	-1.3	-0.3	0.9	1.1	
J.	1.7	3.2	5.5	10.9	17.7	23.9	26.4	28.0	23.3	11.6	-5.0	-20.1	-28.1	-29.9	-26.2	-18.1	-9.8	-5.0	-3.3	-2.7	-1.7	-1.8	-1.0	0.4	
J.	3.0	3.8	5.4	9.6	16.8	22.5	25.4	26.1	21.2	10.9	-4.9	-19.7	-27.7	-28.9	-24.7	-16.3	-8.5	-4.4	-3.0	-3.2	-2.2	-1.7	-0.6	1.0	
A.	4.3	5.4	6.3	9.0	15.0	20.4	23.7	23.8	17.3	5.4	-9.2	-22.9	-30.4	-28.5	-21.5	-11.8	-4.7	-1.7	-1.5	-1.5	-1.4	0.2	1.1	2.8	
S.	4.5	5.7	6.5	7.2	8.2	11.6	17.1	21.5	18.3	7.8	-7.9	-22.2	-28.4	-25.6	-17.6	-9.1	-3.6	-3.0	-2.3	-0.5	2.0	2.9	3.6	3.9	
O.	3.9	3.3	3.2	3.3	3.2	4.2	8.6	15.3	17.9	9.9	-4.5	-16.7	-21.3	-19.1	-12.7	-6.9	-4.8	-3.3	-0.9	0.7	2.3	4.6	5.2	4.8	
N.	3.6	2.3	1.6	0.8	1.0	2.1	3.6	7.0	8.7	3.5	-5.0	-11.4	-13.5	-10.5	-6.4	-4.5	-3.5	-1.4	0.7	2.2	3.9	5.2	5.2	4.7	
D.	3.3	2.4	1.5	0.7	0.7	1.4	2.5	3.5	3.9	1.3	-3.2	-8.3	-10.8	-8.6	-5.6	-3.5	-2.2	-0.9	0.6	2.5	3.8	4.8	5.1	4.9	
S.S.	3.4	2.3	1.8	1.2	1.3	2.2	3.7	6.2	7.4	3.8	-2.8	-9.5	-13.0	-11.0	-7.0	-4.3	-2.8	-1.6	-0.1	1.8	3.4	4.5	4.8	4.5	
Äqu.	3.2	3.6	4.2	4.9	5.8	8.2	13.8	20.2	20.8	12.0	-3.7	-18.4	-26.0	-24.6	-17.0	-8.6	-3.7	-2.4	-1.5	-0.1	1.2	2.3	3.0	3.0	
N.S.	2.6	4.0	5.6	9.6	16.2	22.0	25.4	26.2	20.8	9.2	-6.8	-21.3	-29.0	-28.8	-23.4	-14.8	-7.6	-3.6	-2.6	-2.3	-1.7	-1.0	-0.1	1.2	
W.	3.3	2.5	2.2	2.0	2.1	3.0	5.5	9.5	11.3	6.6	-2.8	-11.7	-16.2	-14.5	-9.6	-5.2	-2.9	-1.8	-0.3	1.4	2.9	4.1	4.4	4.2	
S.	2.9	4.1	5.5	8.6	13.4	18.5	23.0	25.6	21.4	10.2	-6.1	-21.1	-29.1	-28.4	-22.0	-13.3	-6.5	-3.3	-2.4	-1.8	-1.0	-0.2	0.7	1.6	
J.	3.1	3.3	3.9	5.3	7.8	10.8	14.3	17.5	16.4	8.4	-4.4	-16.4	-22.7	-21.5	-15.8	-9.2	-4.7	-2.6	-1.4	-0.2	0.9	1.9	2.6	2.9	
ΔZ Vertikalkomponente																									
J.	Y	Y	Y	Y	Y	Y	Y	Y	Y	Y	Y	Y	Y	Y	Y	Y	Y	Y	Y	Y	Y	Y	Y	Y	Y
F.	-0.1	-0.3	-0.4	-0.5	-0.7	-0.8	-0.6	-1.3	-2.2	-1.5	-2.1	-3.7	-2.0	1.2	2.0	1.8	1.8	1.9	1.9	1.8	1.5	1.2	0.9	0.4	
M.	0.4	-0.1	-0.4	-0.5	-0.7	-0.9	-1.0	-0.2	-0.9	-2.9	-3.9	-3.7	-3.2	-0.8	1.2	1.5	2.0	2.4	2.6	2.6	2.4	1.9	1.4	0.7	
A.	1.0	0.7	0.5	0.3	0.1	0.3	1.9	2.5	0.0	-4.4	-8.2	-8.9	-7.5	-4.2	0.7	3.9	3.8	3.1	3.1	3.0	2.8	2.4	1.9	1.3	
M.	2.9	2.8	2.7	2.6	2.5	3.7	4.7	3.5	-1.7	-8.4	-14.8	-17.3	-14.2	-7.1	-0.9	3.0	4.7	4.9	5.0	5.1	4.8	4.3	3.9	3.5	
J.	1.7	1.5	2.1	3.4	4.7	4.7	4.2	2.1	-2.8	-9.4	-15.6	-17.0	-12.8	-6.2	-0.7	2.8	5.3	6.7	6.3	5.4	4.3	3.7	3.1	2.5	
J.	1.6	1.3	2.0	3.0	3.6	2.6	2.8	2.1	-1.8	-7.5	-12.9	-14.8	-12.5	-7.2	-1.4	2.6	5.6	6.9	6.3	5.4	4.2	3.2	2.8	2.3	
A.	1.7	1.5	1.9	3.1	3.8	2.5	2.1	0.7	-2.3	-6.4	-11.7	-14.0	-12.2	-7.5	-1.2	3.3	5.6	6.2	5.3	4.7	3.9	3.5	3.2	2.4	
J.	0.7	0.5	0.8	1.9	3.3	3.3	3.4	3.1	-0.4	-5.7	-10.9	-12.9	-10.3	-5.8	-0.2	4.1	5.2	4.1	3.2	3.2	3.2	2.7	2.3	1.5	
S.	1.0	1.0	0.9	0.7	1.3	2.6	4.3	4.4	1.0	-4.9	-10.2	-11.1	-8.0	-4.1	-0.2	2.2	2.7	2.2	2.5	2.7	2.8	2.5	1.9	1.5	
O.	0.7	0.6	0.0	-0.3	-0.4	-0.3	1.4	2.2	-0.8	-5.0	-7.4	-7.0	-4.4	-1.4	1.8	3.0	2.8	2.9	2.8	2.7	2.2	1.6	1.4	1.0	
N.	0.2	0.0	-0.2	-0.3	-0.5	-0.7	-0.9	-0.5	-1.8	-4.1	-4.3	-3.4	-1.3	1.2	2.2	2.5	2.6	2.2	2.0						

7. Täglicher Gang der Elemente an allen Tagen; stündliche Werte.

Seddin		Mittlere Ortszeit.																				1921-1931			
		1 ^h	2 ^h	3 ^h	4 ^h	5 ^h	6 ^h	7 ^h	8 ^h	9 ^h	10 ^h	11 ^h	Mtg.	13 ^h	14 ^h	15 ^h	16 ^h	17 ^h	18 ^h	19 ^h	20 ^h	21 ^h	22 ^h	23 ^h	Mn.
ΔH		Horizontalintensität																							
S. S.	Y	Y	Y	Y	Y	Y	Y	Y	Y	Y	Y	Y	Y	Y	Y	Y	Y	Y	Y	Y	Y	Y	Y	Y	Y
Äqu.	1.5	1.5	2.1	3.5	5.4	7.1	7.4	5.8	0.7	-5.2	-8.4	-8.7	-7.0	-4.8	-4.1	-3.7	-2.8	-0.6	0.3	1.0	1.7	2.6	2.6	2.0	
N. S.	8.1	6.7	6.3	6.7	7.0	7.1	4.1	-3.1	-12.5	-20.4	-22.7	-19.3	-13.3	-7.6	-3.3	-0.7	1.1	3.9	6.4	7.9	9.0	9.5	9.9	9.1	
W. S.	8.1	6.4	5.7	5.9	5.0	0.7	-6.5	-14.3	-21.3	-24.8	-23.5	-18.7	-12.8	-6.8	-0.1	4.3	8.0	11.3	14.3	14.7	13.2	11.5	10.5	9.5	
J.	3.4	2.9	3.2	4.5	6.0	7.6	7.4	4.3	-2.3	-9.1	-12.2	-11.8	-9.1	-5.9	-4.2	-3.2	-2.2	0.0	1.6	2.6	3.5	4.3	4.6	4.0	
	8.4	6.8	6.2	6.2	5.6	2.4	-4.0	-12.1	-19.9	-24.6	-24.2	-19.4	-13.0	-6.9	-0.9	3.2	6.5	9.6	12.4	13.2	12.4	11.4	10.8	9.7	
	5.9	4.9	4.7	5.3	5.8	5.0	1.7	-3.8	-11.1	-16.8	-18.2	-15.6	-11.0	-6.4	-2.5	0.0	2.1	4.9	7.0	7.9	7.9	7.9	7.7	6.8	
$\Delta D(^{\circ})$		Deklination																							
S. S.	1.17	0.83	0.45	0.24	0.10	0.09	0.21	0.61	0.71	0.00	-1.22	-2.42	-3.04	-2.69	-1.86	-1.14	-0.66	-0.18	0.41	1.06	1.62	2.00	2.00	1.68	
Äqu.	1.31	1.16	1.12	1.08	0.98	1.30	2.22	3.16	2.90	1.09	-1.76	-4.51	-5.83	-5.57	-4.08	-2.28	-0.86	0.11	0.67	1.17	1.61	1.80	1.73	1.49	
N. S.	1.06	1.35	1.54	2.02	3.10	3.95	4.45	4.36	3.21	1.00	-1.83	-4.45	-5.91	-5.99	-4.91	-3.26	-1.73	-0.67	-0.10	0.17	0.33	0.54	0.77	0.96	
W. S.	1.22	0.92	0.59	0.38	0.21	0.23	0.57	1.23	1.34	0.39	-1.30	-2.96	-3.79	-3.51	-2.48	-1.43	-0.68	-0.05	0.53	1.16	1.73	2.07	2.00	1.65	
J.	1.15	1.31	1.49	1.84	2.58	3.33	4.02	4.19	3.21	1.01	-1.91	-4.62	-6.07	-5.98	-4.74	-3.02	-1.48	-0.44	0.12	0.45	0.65	0.82	1.01	1.11	
	1.18	1.11	1.04	1.11	1.39	1.78	2.29	2.71	2.27	0.70	-1.60	-3.79	-4.93	-4.75	-3.61	-2.22	-1.08	-0.25	0.32	0.80	1.19	1.45	1.50	1.38	
$\Delta J(^{\circ})$		Inklination																							
S. S.	-0.15	-0.18	-0.23	-0.33	-0.46	-0.57	-0.58	-0.47	-0.13	0.24	0.45	0.49	0.43	0.38	0.39	0.39	0.34	0.19	0.13	0.07	-0.01	-0.11	-0.16	-0.15	
Äqu.	-0.62	-0.55	-0.54	-0.56	-0.57	-0.54	-0.28	0.22	0.78	1.18	1.23	1.01	0.72	0.49	0.36	0.29	0.20	0.01	-0.18	-0.33	-0.46	-0.56	-0.65	-0.65	
N. S.	-0.59	-0.51	-0.45	-0.44	-0.37	-0.07	0.44	0.95	1.35	1.45	1.22	0.87	0.57	0.34	0.08	-0.08	-0.25	-0.44	-0.67	-0.74	-0.70	-0.66	-0.59	-0.64	
W. S.	-0.30	-0.29	-0.32	-0.41	-0.51	-0.61	-0.57	-0.35	0.07	0.48	0.67	0.65	0.55	0.44	0.41	0.40	0.35	0.19	0.08	-0.01	-0.12	-0.23	-0.30	-0.30	
J.	-0.61	-0.54	-0.50	-0.48	-0.42	-0.18	0.28	0.82	1.25	1.43	1.27	0.92	0.59	0.36	0.14	0.00	-0.15	-0.35	-0.55	-0.65	-0.66	-0.65	-0.67	-0.66	
	-0.46	-0.41	-0.41	-0.44	-0.46	-0.39	-0.14	0.24	0.66	0.96	0.97	0.79	0.57	0.40	0.28	0.20	0.10	-0.08	-0.24	-0.33	-0.39	-0.44	-0.48	-0.48	

8. Täglicher Gang der Elemente an ruhigen Tagen; stündliche Werte.

Seddin		Mittlere Ortszeit.																				1921-1931			
		1 ^h	2 ^h	3 ^h	4 ^h	5 ^h	6 ^h	7 ^h	8 ^h	9 ^h	10 ^h	11 ^h	Mtg.	13 ^h	14 ^h	15 ^h	16 ^h	17 ^h	18 ^h	19 ^h	20 ^h	21 ^h	22 ^h	23 ^h	Mn.
ΔH		Horizontalintensität																							
S. S.	Y	Y	Y	Y	Y	Y	Y	Y	Y	Y	Y	Y	Y	Y	Y	Y	Y	Y	Y	Y	Y	Y	Y	Y	Y
Äqu.	0.4	0.2	0.8	1.9	3.5	5.2	5.4	4.1	-0.5	-5.6	-8.5	-8.0	-5.8	-2.9	-1.8	-1.4	-0.4	1.4	2.4	2.9	2.6	2.4	1.7	1.0	
N. S.	5.6	4.6	4.6	4.9	5.6	6.3	4.5	-1.3	-10.1	-18.0	-20.5	-17.3	-10.6	-4.8	-1.3	0.4	1.6	4.0	6.6	7.5	7.3	7.2	7.1	6.5	
W. S.	6.8	5.4	5.0	6.0	5.8	2.5	-4.1	-11.3	-18.4	-22.1	-21.2	-16.5	-11.0	-5.5	0.6	4.3	6.4	8.4	10.6	11.7	10.7	9.5	8.4	7.8	
J.	1.8	1.4	1.9	2.8	4.2	5.9	5.8	3.4	-2.7	-8.7	-11.7	-11.0	-7.4	-3.8	-2.0	-1.3	-0.2	1.7	3.3	3.8	3.8	3.7	3.1	2.5	
	6.7	5.3	5.1	5.6	5.7	3.4	-2.0	-9.1	-16.8	-21.7	-21.7	-17.3	-10.9	-5.0	0.4	3.5	5.3	7.5	9.9	10.8	10.0	9.0	8.3	7.6	
	4.3	3.4	3.5	4.2	4.9	4.7	1.9	-2.8	-9.7	-15.2	-16.7	-14.2	-9.1	-4.4	-0.8	1.1	2.5	4.6	6.6	7.4	6.9	6.4	5.7	5.1	
$\Delta D(^{\circ})$		Deklination																							
S. S.	0.65	0.45	0.35	0.26	0.32	0.52	0.80	1.25	1.38	0.60	-0.71	-1.97	-2.55	-2.12	-1.36	-0.84	-0.54	-0.28	0.04	0.39	0.69	0.80	0.93	0.87	
Äqu.	0.73	0.78	0.89	1.02	1.21	1.67	2.68	3.76	3.68	1.86	-1.12	-3.81	-5.08	-4.71	-3.22	-1.62	-0.67	-0.37	-0.15	0.13	0.37	0.58	0.71	0.71	
N. S.	0.63	0.86	1.15	1.93	3.14	4.17	4.67	4.67	3.52	1.26	-1.73	-4.33	-5.63	-5.51	-4.37	-2.68	-1.30	-0.50	-0.26	-0.19	-0.09	0.00	0.15	0.39	
W. S.	0.65	0.50	0.45	0.43	0.48	0.69	1.15	1.86	2.05	1.06	-0.76	-2.42	-3.18	-2.79	-1.84	-1.00	-0.56	-0.30	0.02	0.33	0.63	0.86	0.89	0.84	
J.	0.69	0.87	1.13	1.73	2.62	3.53	4.28	4.59	3.66	1.45	-1.60	-4.32	-5.67	-5.41	-4.11	-2.42	-1.12	-0.46	-0.24	-0.11	0.02	0.15	0.30	0.46	
	0.67	0.69	0.80	1.08	1.56	2.12	2.72	3.22	2.86	1.26	-1.17	-3.37	-4.45	-4.13	-2.98	-1.71	-0.84	-0.39	-0.13	0.11	0.32	0.48	0.61	0.65	
$\Delta J(^{\circ})$		Inklination																							
S. S.	-0.03	-0.02	-0.07	-0.14	-0.26	-0.37	-0.40	-0.31	-0.02	0.29	0.48	0.49	0.34	0.22	0.18	0.15	0.10	-0.04	-0.16	-0.14	-0.12	-0.12	-0.09	-0.05	
Äqu.	-0.33	-0.27	-0.28	-0.31	-0.35	-0.38	-0.21	0.18	0.67	1.04	1.09	0.85	0.46	0.20	0.10	0.06	-0.01	-0.18	-0.35	-0.41	-0.40	-0.40	-0.41	-0.39	
N. S.	-0.41	-0.33	-0.29	-0.32	-0.28	-0.07	0.37	0.82	1.19	1.28	1.06	0.68	0.39	0.17	-0.07	-0.19	-0.28	-0.39	-0.56	-0.65	-0.61	-0.54	-0.49	-0.46	
W. S.	-0.11	-0.10	-0.13	-0.20	-0.30	-0.41	-0.39	-0.23	0.14	0.49	0.65	0.60	0.40	0.24	0.18	0.16	0.09	-0.04	-0.15	-0.19	-0.20	-0.20	-0.17	-0.15	
J.	-0.41	-0.32	-0.29	-0.30	-0.29	-0.13	0.24	0.69	1.10	1.25	1.10	0.75	0.40	0.15	-0.05	-0.15	-0.22	-0.35	-0.53	-0.60	-0.57	-0.51	-0.48	-0.45	
	-0.26	-0.21	-0.21	-0.26	-0.29	-0.28	-0.07	0.24	0.61	0.87	0.87	-0.68	0.40	0.20	0.07	0.01	-0.06	-0.20	-0.35	-0.40	-0.38	-0.36	-0.32	-0.30	

9. Täglicher Gang an allen Tagen, dargestellt durch trigonometrische Reihen.

Seddin

Epoche: Mitternacht nach mittlerer Ortszeit.

1921-1931

	a ₁	b ₁	a ₂	b ₂	a ₃	b ₃	a ₄	b ₄	c ₁	α ₁	c ₂	α ₂	c ₃	α ₃	c ₄	α ₄
Nordkomponente																
November—Febr.	Y	Y	Y	Y	Y	Y	Y	Y	Y	°	Y	°	Y	°	Y	°
Mrz. Apr. Spt. Okt.	4.98	3.07	-3.28	-1.65	1.58	-1.38	-0.22	0.72	5.85	58.4	3.67	243.3	2.10	131°	0.76	343°
Mai—August . . .	13.88	-0.42	-5.98	0.47	2.16	-2.65	-0.08	1.21	13.89	91.7	6.00	274.4	3.42	141°	1.21	356°
Oktober—März . .	15.46	-5.99	-6.52	2.29	0.04	-1.78	0.66	0.37	16.58	111.4	6.91	289.4	1.78	179°	0.76	61°
April—September	7.41	2.57	-4.04	-1.32	1.91	-1.77	-0.25	0.87	7.84	70.9	4.25	251.9	2.60	133°	0.90	344°
Jahr	15.49	-4.79	-6.48	2.04	0.62	-2.12	0.48	0.65	16.21	107.2	6.80	287.5	2.21	164°	0.80	36°
Jahr	11.45	-1.12	-5.24	0.38	1.27	-1.93	0.10	0.75	11.50	95.6	5.25	274.1	2.31	147°	0.76	8°
Ostkomponente																
November—Febr.	Y	Y	Y	Y	Y	Y	Y	Y	Y	°	Y	°	Y	°	Y	°
Mrz. Apr. Spt. Okt.	8.25	1.31	-0.53	-4.88	1.88	1.32	-1.22	-1.17	8.35	81.0	4.91	186.2	2.30	55°	1.69	226°
Mai—August . . .	10.32	7.98	-5.36	-10.08	3.90	4.60	-2.12	-1.50	13.05	52.3	11.42	208.0	6.03	40°	2.60	235°
Oktober—März . .	9.00	15.80	-8.34	-9.58	3.78	2.99	-0.34	-0.51	18.18	29.7	12.70	221.0	4.82	52°	0.62	214°
April—September	8.90	2.66	-1.55	-6.49	2.35	2.40	-1.58	-1.41	9.29	73.4	6.67	193.4	3.36	44°	2.12	228°
Jahr	9.51	14.10	-7.94	-9.88	4.01	3.55	-0.88	-0.72	17.01	34.0	12.67	218.8	5.36	48°	1.14	231°
Jahr	9.22	8.37	-4.75	-8.18	3.19	2.99	-1.22	-1.07	12.45	47.8	9.46	210.1	4.37	47°	1.62	229°
Vertikalkomponente																
November—Febr.	Y	Y	Y	Y	Y	Y	Y	Y	Y	°	Y	°	Y	°	Y	°
Mrz. Apr. Spt. Okt.	0.72	-4.48	-1.58	0.08	0.58	-0.35	-0.43	0.18	4.54	170.9	1.58	272.9	0.68	121°	0.46	293°
Mai—August . . .	2.06	-5.67	-4.84	-0.44	2.40	-0.12	-0.98	0.39	6.03	160.0	4.86	264.8	2.40	93°	1.05	292°
Oktober—März . .	4.28	-5.33	-5.96	-0.78	2.29	0.15	-0.82	-0.06	6.84	141.2	6.01	262.5	2.29	86°	0.82	266°
April—September	0.75	-5.04	-2.43	-0.07	1.07	-0.24	-0.58	0.22	5.10	171.5	2.43	268.4	1.10	103°	0.62	291°
Jahr	3.93	-5.28	-5.82	-0.73	2.45	0.02	-0.91	0.12	6.58	143.3	5.86	262.8	2.45	90°	0.92	278°
Jahr	2.37	-5.15	-4.10	-0.41	1.78	-0.09	-0.73	0.14	5.67	155.3	4.12	264.3	1.78	93°	0.74	281°

10. Täglicher Gang an ruhigen Tagen, dargestellt durch trigonometrische Reihen.

Seddin

Epoche: Mitternacht nach mittlerer Ortszeit.

1921-1931

	a ₁	b ₁	a ₂	b ₂	a ₃	b ₃	a ₄	b ₄	c ₁	α ₁	c ₂	α ₂	c ₃	α ₃	c ₄	α ₄
Nordkomponente																
November—Febr.	Y	Y	Y	Y	Y	Y	Y	Y	Y	°	Y	°	Y	°	Y	°
Mrz. Apr. Spt. Okt.	3.87	1.21	-3.55	-1.28	1.44	-1.22	-0.44	0.87	4.06	72.6	3.77	250.2	1.89	130°	0.98	333°
Mai—August . . .	10.72	-0.46	-5.95	0.47	2.26	-2.47	-0.39	1.55	10.73	92.5	5.97	274.5	3.35	138°	1.60	346°
Oktober—März . .	13.01	-4.17	-6.27	2.32	0.43	-2.18	0.46	0.32	13.66	107.8	6.68	290.3	2.22	169°	0.56	55°
April—September	5.72	1.11	-4.24	-1.01	1.78	-1.56	-0.44	1.07	5.83	79.0	4.36	256.6	2.37	131°	1.15	338°
Jahr	12.68	-3.40	-6.28	2.01	0.98	-2.36	0.21	0.75	13.13	105.0	6.59	287.8	2.56	157°	0.78	16°
Jahr	9.21	-1.13	-5.27	0.49	1.38	-1.96	-0.14	0.91	9.28	97.0	5.29	275.3	2.40	145°	0.92	351°
Ostkomponente																
November—Febr.	Y	Y	Y	Y	Y	Y	Y	Y	Y	°	Y	°	Y	°	Y	°
Mrz. Apr. Spt. Okt.	4.44	3.15	-1.38	-4.06	2.20	1.54	-1.25	-0.89	5.44	54.6	4.29	198.8	2.68	55°	1.53	235°
Mai—August . . .	5.69	9.77	-5.46	-8.52	4.72	4.54	-2.35	-1.69	11.31	30.2	10.12	212.6	6.55	46°	2.90	234°
Oktober—März . .	6.70	15.47	-9.35	-8.97	4.34	2.91	-0.42	-0.67	16.86	23.4	12.96	226.2	5.23	56°	0.80	212°
April—September	4.68	4.64	-2.22	-5.31	2.82	2.51	-1.64	-1.24	6.59	45.2	5.76	202.7	3.77	48°	2.06	233°
Jahr	6.58	14.28	-8.55	-9.05	4.66	3.52	-1.05	-0.92	15.72	24.7	12.45	223.4	5.84	53°	1.40	229°
Jahr	5.60	9.51	-5.39	-7.17	3.75	3.02	-1.36	-1.10	11.04	30.5	8.97	216.9	4.81	51°	1.75	231°
Vertikalkomponente																
November—Febr.	Y	Y	Y	Y	Y	Y	Y	Y	Y	°	Y	°	Y	°	Y	°
Mrz. Apr. Spt. Okt.	1.15	-1.74	-0.99	0.38	0.58	-0.32	-0.38	0.12	2.08	146.5	1.06	291.0	0.66	119°	0.39	288°
Mai—August . . .	3.99	-0.90	-3.72	-0.36	2.45	-0.26	-1.08	0.42	4.09	102.7	3.74	264.5	2.46	96°	1.16	291°
Oktober—März . .	5.68	-1.09	-5.52	-0.27	2.39	-0.08	-0.77	-0.17	5.78	100.9	5.53	267.2	2.39	92°	0.79	258°
April—September	1.70	-1.62	-1.58	0.19	1.05	-0.25	-0.57	0.19	2.35	133.6	1.59	276.9	1.08	103°	0.60	288°
Jahr	5.53	-0.87	-5.20	-0.37	2.58	-0.18	-0.90	0.03	5.60	98.9	5.21	265.9	2.59	94°	0.90	272°
Jahr	3.59	-1.23	-3.40	-0.07	1.78	-0.20	-0.74	0.12	3.80	108.9	3.40	268.8	1.79	96°	0.75	279°

11. Von der Sonnentätigkeit unabhängiger Teil des täglichen Ganges.

Seddin

Mittlere Ortszeit.

1921-1931

	1 ^h	2 ^h	3 ^h	4 ^h	5 ^h	6 ^h	7 ^h	8 ^h	9 ^h	10 ^h	11 ^h	Mtg.	13 ^h	14 ^h	15 ^h	16 ^h	17 ^h	18 ^h	19 ^h	20 ^h	21 ^h	22 ^h	23 ^h	Mn.	
Δ' X Nordkomponente																									
J.	-0.8	-0.9	0.6	1.6	3.4	5.6	6.4	5.5	2.6	-1.8	-4.1	-4.0	-2.8	-0.6	-1.4	-3.3	-3.4	-2.8	-1.0	0.2	-0.3	0.6	0.1	0.1	
F.	1.8	1.6	1.4	2.8	4.7	6.4	6.4	5.7	1.8	-4.4	-8.1	-8.5	-7.3	-4.1	-2.5	-3.0	-4.4	-1.8	0.3	0.7	2.2	3.2	3.7	2.5	
M.	5.2	4.4	3.8	4.4	5.2	7.0	7.4	3.5	-4.8	-12.1	-16.6	-16.3	-13.7	-8.9	-4.8	-1.4	-1.5	0.3	2.8	5.0	6.9	8.5	8.2	7.9	
A.	8.9	6.6	5.7	4.1	5.0	5.8	3.4	-3.2	-10.8	-18.5	-21.7	-20.2	-14.5	-9.6	-4.3	-0.5	2.0	6.2	7.8	9.5	10.5	8.8	10.2	8.4	
M.	8.8	5.0	4.1	1.8	1.5	-2.5	-7.6	-10.7	-16.7	-18.1	-16.7	-14.6	-11.4	-7.1	-1.4	0.1	4.2	9.6	13.3	14.1	11.7	10.0	10.9	11.8	
J.	9.2	7.2	8.1	7.6	7.4	3.2	-3.2	-11.0	-18.3	-22.5	-24.3	-21.5	-17.4	-10.7	-3.5	0.5	4.9	9.0	12.9	13.9	13.6	12.0	11.4	11.2	
J.	5.9	7.5	4.5	5.4	8.1	4.4	-1.4	-8.0	-14.8	-19.3	-21.6	-20.0	-15.2	-8.6	-2.9	1.8	4.2	6.8	10.8	12.2	10.6	10.5	9.9	8.1	
A.	8.9	7.4	6.0	5.8	6.0	4.3	-1.3	-10.9	-19.1	-22.4	-21.7	-18.0	-11.3	-5.3	-1.4	1.6	2.8	5.6	9.3	11.1	11.7	10.4	10.3	9.7	
S.	9.0	8.4	9.2	8.0	6.8	5.2	0.4	-6.8	-15.2	-21.6	-22.9	-18.5	-11.9	-6.5	-3.4	-1.6	0.0	4.4	6.4	8.6	10.5	9.7	11.6	10.7	
O.	8.1	6.6	6.4	7.7	7.9	8.5	8.2	2.2	-7.6	-16.1	-18.2	-17.0	-14.0	-9.5	-6.8	-5.3	-3.2	0.1	3.4	4.6	7.5	9.0	9.4	7.8	
N.	1.8	1.0	1.1	3.2	5.0	7.4	7.0	5.0	-0.4	-5.7	-9.0	-9.4	-8.1	-6.5	-5.0	-5.2	-2.6	1.4	1.5	3.2	3.0	4.6	4.0	2.8	
D.	-1.2	-1.4	-0.6	1.1	3.7	6.3	6.1	6.0	4.0	0.2	-2.8	-4.3	-3.5	-2.6	-3.4	-4.1	-3.3	-2.4	-0.9	0.9	0.9	1.0	1.0	-0.2	
S.S.	0.4	0.1	0.6	2.2	4.2	6.4	6.5	5.6	2.0	-2.9	-6.0	-6.6	-5.4	-3.4	-3.1	-3.9	-3.4	-1.4	0.0	1.2	1.4	2.4	2.2	1.3	
Äqu.	7.8	6.5	6.3	6.0	6.2	6.6	4.8	-1.1	-9.6	-17.1	-19.8	-18.0	-13.5	-8.6	-4.8	-2.2	-0.7	2.8	5.1	6.9	8.8	9.0	9.8	8.7	
N.S.	8.2	6.8	5.7	5.2	5.8	2.4	-3.4	-10.2	-17.2	-20.6	-21.1	-18.5	-13.8	-7.9	-2.3	1.0	4.0	7.8	11.6	12.8	11.9	10.7	10.6	10.2	
W.	2.5	1.9	2.1	3.5	5.0	6.9	6.9	4.6	-0.7	-6.6	-9.8	-9.9	-8.2	-5.4	-4.0	-3.7	-3.1	-0.9	1.0	2.4	3.4	4.5	4.4	3.5	
S.	8.4	7.0	6.3	5.4	5.8	3.4	-1.6	-8.4	-15.8	-20.4	-21.5	-18.8	-13.6	-8.0	-2.8	0.3	3.0	6.9	10.1	11.6	11.4	10.2	10.7	10.0	
J.	5.5	4.4	4.2	4.5	5.4	5.1	2.6	-1.9	-8.3	-13.5	-15.6	-14.4	-10.9	-6.7	-3.4	-1.7	0.0	3.0	5.6	7.0	7.4	7.4	7.6	6.7	

	1 ^h	2 ^h	3 ^h	4 ^h	5 ^h	6 ^h	7 ^h	8 ^h	9 ^h	10 ^h	11 ^h	Mtg.	13 ^h	14 ^h	15 ^h	16 ^h	17 ^h	18 ^h	19 ^h	20 ^h	21 ^h	22 ^h	23 ^h	Mn.		
Δ' Y Ostkomponente																										
J.	4.2	2.4	0.8	0.0	-1.3	-1.8	-1.1	0.0	-0.3	-2.8	-6.4	-10.6	-12.2	-8.4	-5.0	-2.8	-1.0	0.5	4.1	5.8	8.0	10.0	10.8	7.2	7.2	
F.	4.3	3.4	2.1	1.8	1.8	1.2	0.0	1.2	3.1	0.4	-5.7	-11.9	-14.9	-14.5	-8.6	-3.3	-1.0	0.4	3.2	5.2	8.2	8.5	7.8	7.2		
M.	3.7	3.9	3.7	3.9	3.7	4.4	8.1	13.5	13.8	7.0	-5.9	-18.0	-24.4	-24.2	-17.1	-8.4	-2.8	0.4	2.5	3.8	6.8	8.2	6.9	5.9		
A.	5.0	4.8	6.7	7.3	6.3	8.1	13.3	17.8	16.6	8.6	-5.7	-21.1	-30.0	-29.2	-21.1	-13.8	-6.2	-1.1	1.8	6.0	7.8	7.4	6.9	3.8		
M.	6.3	6.2	7.9	11.1	14.0	15.6	20.0	19.5	14.4	4.7	-8.6	-21.5	-27.9	-26.2	-21.2	-14.8	-8.4	-5.0	-2.1	1.5	2.6	3.9	4.3	4.3		
J.	4.1	5.2	7.2	10.4	15.8	19.9	22.6	23.2	18.7	9.2	-5.1	-18.2	-25.5	-27.5	-24.4	-18.6	-12.0	-7.4	-3.7	-1.8	-0.1	1.7	3.3	3.8		
J.	5.7	7.8	6.8	9.2	14.8	20.0	22.4	21.3	16.3	7.9	-5.0	-18.2	-25.0	-27.4	-23.3	-16.4	-10.5	-5.8	-4.2	-2.4	-0.3	0.6	2.2	3.3		
A.	4.2	5.9	6.7	8.5	12.7	16.5	19.9	19.4	12.7	1.6	-11.6	-23.1	-28.2	-26.7	-20.2	-10.9	-4.8	-0.8	0.0	1.8	3.5	4.6	3.8	4.6		
S.	6.3	5.1	6.8	6.5	5.0	7.6	11.2	13.5	11.0	1.8	-11.0	-23.0	-28.0	-24.0	-16.6	-7.9	-2.9	0.7	3.2	5.4	7.0	8.2	7.1	6.8		
O.	4.2	2.9	2.9	0.2	-1.2	-3.2	0.5	6.9	8.3	3.0	-8.4	-19.3	-21.3	-20.2	-12.3	-4.0	0.4	5.8	6.9	10.3	11.0	12.3	9.2	5.0		
N.	3.7	2.4	-0.7	-1.1	-1.7	-2.0	-1.3	1.6	3.2	-0.3	-6.9	-11.6	-12.9	-9.3	-4.5	-4.2	-2.2	2.0	3.0	5.2	8.9	11.3	10.0	7.8		
D.	4.5	1.7	0.3	-1.0	-1.9	-2.3	-1.9	-1.6	-1.3	-3.7	-6.9	-10.3	-10.4	-7.6	-4.2	-1.5	0.8	2.6	4.6	7.1	8.4	8.7	8.6	7.3		
S.S.	4.2	2.5	0.6	-0.1	-0.8	-1.2	-1.1	0.3	1.2	-1.6	-6.5	-11.1	-12.6	-10.0	-5.6	-3.0	-0.8	1.4	3.7	5.8	8.4	9.6	9.3	7.4		
Äqu.	4.8	4.2	5.0	4.5	3.4	4.2	8.3	12.9	12.4	5.1	-7.8	-20.4	-25.9	-24.4	-16.8	-8.5	-2.9	1.4	3.6	6.4	8.2	9.0	7.5	5.4		
N.S.	5.1	6.3	7.2	9.8	14.3	18.0	21.2	20.8	15.5	5.8	-7.6	-20.2	-26.6	-27.0	-22.3	-15.2	-8.9	-4.8	-2.5	-0.2	1.4	2.7	3.4	4.0		
W.	4.1	2.8	1.5	0.6	-0.1	-0.6	0.7	3.6	4.5	0.6	-6.7	-13.6	-16.0	-14.0	-8.6	-4.0	-1.0	2.0	4.0	6.2	8.6	9.8	8.9	6.7		
S.	5.3	5.8	7.0	8.8	11.4	14.6	18.2	19.1	15.0	5.6	-7.8	-20.8	-27.4	-26.8	-21.1	-13.7	-7.5	-3.2	-0.8	1.8	3.4	4.4	4.6	4.4		
J.	4.7	4.3	4.3	4.7	5.7	7.0	9.5	11.4	9.7	3.1	-7.3	-17.2	-21.7	-20.4	-14.9	-8.9	-4.2	-0.6	1.6	4.0	6.0	7.1	6.7	5.6		

	1 ^h	2 ^h	3 ^h	4 ^h	5 ^h	6 ^h	7 ^h	8 ^h	9 ^h	10 ^h	11 ^h	Mtg.	13 ^h	14 ^h	15 ^h	16 ^h	17 ^h	18 ^h	19 ^h	20 ^h	21 ^h	22 ^h	23 ^h	Mn.	
Δ' Z Vertikalkomponente																									
J.	-0.9	-1.8	-2.5	-2.6	-2.5	-2.3	-2.8	-2.8	-2.3	-2.0	-2.3	-0.5	1.4	2.3	2.9	3.6	4.0	3.9	3.6	3.2	2.0	1.3	-0.1		
F.	-0.8	-1.3	-1.8	-2.4	-2.5	-2.8	-2.5	-2.5	-3.1	-3.7	-3.2	-2.0	0.4	3.0	4.2	4.6	4.7	4.3	4.0	3.0	2.2	0.8	0.0		
M.	-1.0	-2.0	-2.2	-2.6	-2.7	-2.2	-0.6	0.4	2.1	-5.3	-7.4	-7.0	-4.5	-0.9	3.7	6.7	7.0	6.4	5.7	4.8	3.8	2.3	0.8	-0.4	
A.	-1.3	-2.0	-2.3	-2.3	-2.6	-2.0	-0.4	0.0	-2.9	-7.2	-11.8	-13.0	-9.7	-3.0	2.5	6.3	8.8	9.9	9.7	8.3	6.5	4.8	2.8	0.8	
M.	-2.8	-3.8	-4.2	-3.6	-4.9	-4.7	-2.3	-1.5	-2.4	-7.1	-11.7	-12.1	-7.0	-1.0	3.9	7.2	9.6	11.2	11.8	10.6	8.3	5.2	2.2	-0.3	
J.	-1.6	-2.7	-2.6	-1.8	-1.6	-1.9	-0.8	-0.9	-3.9	-7.8	-12.1	-12.8	-9.8	-3.8	2.2	6.7	10.2	11.7	11.3	9.6	6.5	4.2	1.9	-0.4	
A.	-1.3	-1.1	-0.9	-0.8	0.7	-0.6	0.5	0.5	-2.5	-6.6	-10.5	-11.8	-9.5	-4.1	1.4	4.7	7.4	8.6	7.9	7.0	5.4	3.6	2.0	0.4	
J.	-1.6	-2.4	-2.0	-1.3	-0.8	-0.9	-0.1	0.0	-2.4	-6.7	-10.6	-10.9	-7.6	-3.2	3.6	8.2	9.1	8.1	6.9	6.0	4.2	2.9	1.1	0.0	
S.	-1.1	-2.8	-3.5	-3.8	-3.3	-1.9	-																		

12. Der Sonnentätigkeit proportionaler Teil des täglichen Ganges.

Seddin

Mittlere Ortszeit.

1921-1931

	1 ^h	2 ^h	3 ^h	4 ^h	5 ^h	6 ^h	7 ^h	8 ^h	9 ^h	10 ^h	11 ^h	Mtg.	13 ^h	14 ^h	15 ^h	16 ^h	17 ^h	18 ^h	19 ^h	20 ^h	21 ^h	22 ^h	23 ^h	Mn.
Δ'' X Nordkomponente																								
J.	4.5	4.2	2.4	2.3	3.2	3.2	2.7	1.6	-2.7	-6.3	-8.6	-11.7	-11.2	-9.5	-5.3	-0.6	1.4	4.8	3.4	3.0	5.9	4.8	4.9	4.1
F.	3.4	4.0	3.6	3.0	2.1	1.5	3.5	2.8	-0.6	-3.1	-5.6	-9.2	-9.4	9.8	-6.5	-2.4	2.5	2.9	1.3	2.5	3.4	3.5	3.3	3.5
M.	5.3	2.7	2.1	3.3	2.3	2.8	1.8	1.3	-0.6	-5.1	-7.4	9.3	-9.0	-6.3	-2.7	-2.9	-0.4	3.2	3.6	2.8	3.3	1.0	4.1	4.0
A.	1.8	2.5	2.5	5.5	6.9	5.4	4.5	1.9	-4.1	-10.8	-14.8	-13.9	-12.8	-7.9	-2.8	1.1	4.5	2.4	4.7	5.1	4.2	6.8	3.2	4.7
M.	0.7	4.3	4.6	8.1	8.2	7.7	4.1	-2.5	-4.2	-11.8	-16.3	-13.8	-11.6	-9.7	-5.2	3.2	9.7	8.8	6.3	4.1	4.1	3.8	-0.6	-2.5
J.	-2.8	-1.3	-2.9	1.0	1.2	0.9	-0.8	-1.0	-3.5	-4.3	-0.9	-3.3	-3.7	-3.3	0.9	5.6	5.8	6.8	5.3	4.0	1.2	0.6	-0.4	-4.1
J.	6.1	-0.5	4.9	6.3	-0.6	-0.2	-4.6	-8.0	-9.7	-12.0	-9.9	-6.0	-5.9	-7.1	-1.6	2.9	6.8	8.7	8.4	6.6	5.2	3.8	1.8	4.6
A.	0.9	1.7	2.8	4.0	2.3	-1.0	-3.4	-3.4	-4.7	-8.4	-9.1	-5.4	-4.5	-5.4	-2.2	1.7	7.4	7.2	6.1	4.5	3.9	3.1	2.2	0.6
S.	2.4	2.3	0.1	2.2	2.1	1.2	-0.6	-3.6	-5.0	-5.3	-6.2	-7.0	-6.0	-4.6	-2.4	1.7	4.5	3.2	4.3	3.7	1.0	6.2	3.4	1.9
O.	1.5	1.5	2.1	1.2	1.5	3.0	-0.6	-0.7	-1.5	-4.7	-8.8	-8.5	-4.4	-4.2	-0.6	2.0	4.7	3.0	4.0	5.1	2.1	1.4	0.3	1.4
N.	4.2	4.5	5.4	4.4	3.2	0.6	1.3	0.4	-1.9	-6.1	-9.0	-8.4	-5.1	-2.3	-3.6	0.9	0.8	-0.7	1.2	-0.5	1.5	1.8	3.2	4.0
D.	5.0	5.7	5.0	3.7	3.4	2.0	2.4	0.2	-3.5	-5.9	-6.3	-5.0	-5.9	-5.5	-4.3	-1.0	-1.4	-0.2	-0.1	-1.2	1.2	3.1	4.2	4.2
S. S.	4.3	4.6	4.1	3.4	3.0	1.8	2.5	1.2	-2.2	-5.4	-7.4	-8.0	-7.9	-6.8	-4.9	-0.8	0.8	1.7	1.4	1.0	3.0	3.3	3.9	4.0
Äqu.	2.8	2.2	1.7	3.0	3.2	3.1	1.3	-0.3	-2.8	-6.5	-9.3	-9.7	-8.0	-5.8	-2.1	0.5	3.3	3.0	4.2	2.6	3.8	2.8	3.0	3.0
N. S.	1.2	1.0	2.4	4.8	2.8	1.8	-1.2	-3.7	-5.5	-9.1	-9.0	-7.1	-6.4	-6.4	-2.0	3.4	7.4	7.9	6.5	4.8	3.6	2.8	0.8	-0.4
W.	4.0	3.8	3.4	3.0	2.6	2.2	1.8	0.9	-1.8	-5.2	-7.6	-8.7	-7.5	-6.3	-3.8	-0.7	1.3	2.2	2.2	2.0	2.9	2.6	3.3	3.5
S.	1.5	1.5	2.0	4.5	3.4	2.3	-0.1	-2.8	-5.2	-8.8	-9.5	-8.2	-7.4	-6.3	-2.2	2.7	6.4	6.2	5.8	4.7	3.3	4.0	1.6	0.9
J.	2.8	2.6	2.7	3.8	3.0	2.3	0.9	-0.9	-3.5	-7.0	-8.6	-8.5	-7.5	-6.3	-3.0	1.0	3.9	4.2	4.0	3.3	3.1	3.3	2.5	2.2
Δ'' Y Ostkomponente																								
J.	3.1	4.9	3.2	1.9	2.0	3.2	4.1	6.8	7.4	7.3	4.2	-0.9	-7.2	-9.3	-5.9	-5.4	-5.7	-5.9	-5.7	-2.8	-1.1	0.6	-0.9	2.3
F.	7.9	5.8	4.6	3.0	1.5	2.6	4.4	7.6	6.8	4.7	1.2	-2.9	-8.8	-11.6	-13.4	-12.1	-7.7	-6.0	-6.0	-0.5	0.4	4.5	7.4	6.4
M.	4.9	3.4	1.6	2.0	-0.1	-1.1	0.8	4.5	8.0	8.6	4.5	-4.4	-10.7	-12.7	-14.0	-8.3	-2.8	1.3	1.4	2.9	3.4	2.3	2.7	1.9
A.	0.8	1.6	-1.2	-1.4	3.2	7.6	12.7	17.6	17.9	10.8	2.4	-5.3	-10.4	-11.1	-11.4	-6.8	-3.5	-1.6	-1.2	-6.5	-7.2	-5.1	-3.1	2.2
M.	-2.2	1.3	0.2	-0.7	7.8	17.3	16.2	12.5	8.0	0.0	-4.5	-6.2	-6.9	-7.3	-7.6	-7.1	-7.4	-0.4	1.7	-3.9	-5.2	-3.5	-1.5	-0.6
J.	1.0	1.9	0.5	2.0	5.2	9.1	9.8	9.8	8.5	4.0	0.4	-4.9	-8.8	-11.5	-11.3	-7.2	-2.8	0.1	-0.4	-0.2	-2.2	-2.9	-1.9	0.8
J.	-3.7	-1.5	3.6	3.3	7.2	7.3	7.0	10.5	11.4	7.5	1.7	-2.0	-9.2	-11.5	-11.9	-8.4	-3.9	-2.0	1.3	0.0	-2.2	-1.8	-1.7	-0.9
A.	2.4	2.1	2.3	2.8	4.8	6.4	7.2	9.3	9.5	6.1	2.5	-2.8	-9.7	-11.1	-9.1	-6.5	-1.5	-0.8	-0.9	-3.2	-4.6	-5.1	-0.9	1.3
S.	1.5	2.2	0.4	2.8	5.8	6.6	10.5	12.1	8.1	3.9	-1.6	-6.2	-8.6	-12.5	-11.3	-8.5	-2.0	-0.6	-1.0	-1.5	-1.8	-3.1	1.0	3.1
O.	6.5	5.9	1.6	2.2	1.4	6.7	7.9	9.6	11.2	6.6	3.0	-1.1	-8.9	-10.4	-10.6	-13.2	-10.6	-12.8	-6.5	-5.1	0.6	1.4	5.8	9.2
N.	3.6	2.5	4.9	3.6	3.0	2.6	3.9	5.1	6.6	4.5	0.2	-4.4	-7.1	-9.2	-11.2	-3.0	-2.5	-3.8	-1.1	1.4	0.2	-1.3	0.0	0.5
D.	3.4	3.5	2.6	0.9	0.4	1.0	1.3	2.8	4.0	4.3	3.0	-0.8	-5.1	-7.5	-7.1	-5.2	-6.2	-5.9	-2.4	-0.6	1.4	3.7	3.9	3.9
S. S.	4.5	4.2	3.8	2.4	1.7	2.4	3.4	5.6	6.2	5.2	2.2	-2.2	-7.0	-9.4	-9.4	-6.4	-5.5	-5.4	-3.8	-0.6	0.2	1.9	2.6	3.3
Äqu.	3.4	3.3	0.6	1.4	2.6	5.0	8.0	11.0	11.3	7.5	2.1	-4.2	-9.6	-11.7	-11.8	-9.2	-4.7	-3.4	-1.8	-2.6	-1.2	-1.1	1.6	4.1
N. S.	-0.6	1.0	1.6	1.8	6.2	10.0	10.0	10.5	9.4	4.4	0.0	-4.0	-8.6	-10.4	-10.0	-7.3	-3.9	-0.8	0.4	-1.8	-3.6	-3.3	-1.5	0.2
W.	4.9	4.3	3.1	2.3	1.4	2.5	3.7	6.1	7.3	6.0	2.7	-2.4	-8.0	-10.1	-10.4	-7.9	-5.9	-5.5	-3.4	-0.8	0.8	1.9	3.2	4.0
S.	0.0	1.3	1.0	1.5	5.7	9.0	10.6	12.0	10.6	5.4	0.2	-4.6	-8.9	-10.8	-10.4	-7.4	-3.5	-0.9	-0.1	-2.6	-3.9	-3.6	-1.4	1.0
J.	2.4	2.8	2.0	1.9	3.5	5.8	7.2	9.0	9.0	5.7	1.4	-3.5	-8.4	-10.5	-10.4	-7.6	-4.7	-3.2	-1.7	-1.7	-1.5	-0.9	0.9	2.5
Δ'' Z Vertikalkomponente																								
J.	-1.2	-1.3	-0.9	-0.8	-1.1	-0.8	-0.1	0.4	-0.2	-0.5	-1.7	-3.0	-1.5	1.8	2.6	1.8	0.8	0.6	1.7	2.1	0.7	1.0	-0.3	-0.4
F.	-2.0	-3.0	-3.0	-2.5	-2.4	-1.9	-1.0	-0.3	-1.4	-2.9	-3.0	-2.7	-2.1	-0.1	2.1	3.4	3.8	3.5	5.2	5.4	4.2	2.0	0.3	-1.0
M.	-3.5	-3.5	-3.2	-3.0	-2.7	-2.8	-1.4	-0.2	-1.0	-2.8	-5.4	-6.3	-4.7	-2.2	1.5	6.2	8.5	7.9	7.6	6.6	4.0	2.9	0.3	-1.9
A.	0.6	0.4	1.0	1.4	2.8	5.3	4.5	2.5	-0.5	-4.6	-6.8	-6.8	-4.6	-2.3	0.8	2.4	2.5	1.7	0.0	-0.4	0.1	-0.2	0.2	0.1
M.	2.5	2.2	3.2	3.3	6.8	7.7	4.2	0.7	-4.5	-5.5	-6.9	-7.6	-7.8	-5.1	-1.5	1.4	2.9	3.2	1.5	-0.1	-1.0	-0.3	0.6	1.0
J.	0.0	0.9	1.7	2.1	3.2	3.8	2.8	2.0	0.6	-1.2	-3.0	-3.8	-3.8	-3.2	-1.4	0.2	0.1	0.1	-0.8	-0.8	0.0	-0.2	0.0	0.6
J.	1.4	-2.4	-1.7	0.0	-3.6	-0.5	-2.4	-3.6	-2.9	-1.8	-3.1	-3.9	-3.7	-3.0	0.6	4.1	5.1	5.0	4.6	3.9	3.0	2.3	2.4	1.3
A.	-1.2	-2.0	-3.1	-2.4	0.3	2.3	2.8	3.1	2.5	1.6	-0.2	-2.8	-3.1	-0.4	-1.1	0.3	1.0	1.5	1.1	0.5	0.6	0.3	0.2	-0.6
S.	-3.3	-2.3	-2.0	-1.4	0.4	1.5	2.5	3.6	2.2	-0.3	-1.6	-0.8	-0.6	-0.5	1.2	4.0	4.8	4.5	1.6	-0.6	-0.7	-3.1	-4.3	-4.2
O.	-3.4	-3.1	-4.6	-3.5	-1.8	-0.4	1.5	2.6	2.2	1.9	1.6	1.5	1.5	1.6	1.1	0.5	1.5	2.1	3.5	1.6	-0.8	-1.2	-2.5	-3.4
N.	-0.5	-0.2	-0.1	-0.9	-0.5	-0.3	-0.5	0.3	1.0	-0.2	-1.0	-0.5	-1.0	-1.1	0.1	0.6	1.5	1.6	1.5	1.7	0.6	-0.2	-0.7	-0.8
D.	-0.9	-1.3	-1.9	-1.8	-2.6	-2.0	-1.4	-0.9	-0.6	-0.7	-1.0	-1.8	-0.4	1.3	2.5	2.3	2.3	2.2	2.8	2.7	1.6	0.8	0.1	-0.5
S. S.	-1.2	-1.4	-1.5	-1.5	-1.6	-1.2	-0.8	-0.1	-0.3	-1.1	-1.7	-2.0	-1.2	0.5	1.8	2.0	2.1	2.0	2.8	3.0	1.8	0.9	-0.2	-0.7
Äqu.	-2.4	-2.1	-2.2	-2.1	-0.3	0.9	1.8	2.1	0.7	-1.4	-3.0	-3.2	-2.1	-0.8	1.2	3.3	4.3	4.0	3.2	1.8	0.6	-0.4	-1.6	-2.4
N. S.	0.7	-0.3	0.0	0.8	1.7	3.3	1.8	0.6	-1.1	-1.7	-3.3	-4.5	-4.6	-2.9	-0.8	1.4	2.3	2.4	1.6	0.9	0.6	0.5	0.8	0.6
W.	-1.9	-2.1	-2.3	-2.1	-1.8	-1.4	-0.5	0.3	0.0	-0.9	-1.8	-2.2	-1.4	-0.2	1.6	2.5	3.1	3.0	3.7	3.4	1.7	0.9	-0.5	-1.3
S.	0.0	-0.5	-0.2	0.5	1.6	3.4	2.4	1.4	-0.4	-2.0	-3.6	-4.3	-3.9	-2.4	-0.2	2.0	2.7	2.7	1.3	0.4	0.3	-0.2	-0.2	-0.3
J.	-1.0	-1.3	-1.2	-0.8	-0.1	1.0	1.0	0.8	-0.2	-1.4	-2.7	-3.2	-2.6	-1.1	0.7	2.2	2.9	2.8	2.5	1.9	1.0	0.3	-0.3	-0.8

13. Störungstafel der Tage mit Charakter 2.

1911 Jan.	24	2419061	1915 Mai	17	2420635	1916 Mai	30	2421014	1917 Jan.	25	2421254	1918 August	9	2421815
Febr.	13	081		27	645		31	015		31	260		15	821
	21	089	Juni	13	662	Juni	8	023	Febr.	15	275		16	822
	22	090		17	666		19	034		16	276		25	831
März	5	101		22	671		20	035		19	279		26	832
	20	116	Juli	2	681		22	037		20	280		27	833
	21	117		9	688		25	040	März	5	293	Sept.	1	838
	23	119		11	690		26	041		6	294		3	840
April	8	135		26	705		27	042		8	296		4	841
	9	136		27	706		28	043		25	313		5	842
	16	143	August	2	712	Juli	1	046	April	9	328		6	843
Juli	1	219		26	736		4	049		26	345		8	845
	28	246		29	739		5	050		30	349		16	853
August	23	272	Sept.	17	758		8	053	Mai	2	351		17	854
Sept.	20	300		22	763		9	054		3	352		19	856
	21	301		23	764		10	055		28	377		20	857
Okt.	10	320		24	765		17	062	Juni	7	387		21	858
	11	321		25	766		18	063		13	393		28	865
Nov.	13	354		26	767	August	2	078		23	403		30	867
Dez.	6	377		27	768		5	081	Juli	24	404	Okt.	2	869
	11	382		28	769		6	082		2	412		4	871
				29	770		7	083		13	423		5	872
1912 August	6	621		30	771		8	084		29	439		8	875
Sept.	17	663	Okt.	14	785		20	096		31	441		16	883
	24	670		15	786		23	099	August	9	450		17	884
Okt.	14	690		19	790		27	103		10	451		20	887
	15	691		20	791		29	105		13	454		24	891
Nov.	14	721		21	792	Sept.	2	109		14	455		25	892
Dez.	7	744		22	793		3	110		15	456		28	895
	22	759		23	794		4	111		21	462		31	898
	23	760		24	795		5	112		23	464	Nov.	11	909
				25	796		11	118		26	467		12	910
1913 Jan.	18	786		26	797		12	119	Sept.	2	474		13	911
Febr.	14	813		30	801		13	120		3	475		14	912
März	14	841		31	802		16	123		5	477		15	913
April	9	867	Nov.	1	803		17	124		9	481		16	914
Okt.	7	20048		6	808		27	134	Okt.	2	504		17	915
	8	049		7	809		30	137		3	505		23	921
Nov.	2	074		8	810	Okt.	1	138		14	516		24	922
Dez.	4	106		10	812		2	139		25	527		29	927
				15	817		6	143		28	530	Dez.	1	929
1914 Jan.	5	138		16	818		7	144		29	531		3	931
	22	155		17	819		8	145		30	532		8	936
Febr.	6	170		18	820		9	146	Nov.	12	545		9	937
	22	186		19	821		10	147		26	559		10	938
April	6	229		20	822		11	148		27	560		11	939
Juli	5	319		21	823		12	149	Dez.	5	568		13	941
	29	343		22	824		13	150		8	571		19	947
	30	344	Dez.	6	838		21	158		16	579		20	948
August	23	368		15	847		22	159		18	581		21	949
Sept.	27	403		26	858		23	160		26	589		23	951
Okt.	28	434				Nov.	3	171					25	953
	29	435	1916 Jan.	4	867		4	172	1918 Jan.	4	598		26	954
Nov.	1	438		10	873		5	173		5	599			
	3	440		11	874		6	174		12	606	1919 Jan.	4	963
	4	441		12	875		9	177		30	624		5	964
	5	442		20	883		12	180		31	625		6	965
	11	448		22	885		18	186	Febr.	12	637		13	972
	26	463		23	886		25	193		28	653		16	975
Dez.	9	476		25	888		26	194	März	3	656		17	976
	28	495	Febr.	5	899		27	195		8	661		18	977
				8	902		28	196		15	668		19	978
1915 Jan.	1	499		17	911		29	197		16	669		31	990
	5	503		18	912	Dez.	30	198	April	5	689	Febr.	1	991
Febr.	8	523	März	8	931		1	199		6	690		2	992
	9	538		9	932		2	200		11	695		3	993
	19	548		10	933		3	201		18	702		13	22003
	20	549		17	940		4	202		26	710		14	004
	21	550		20	943		12	210		30	714		15	005
	22	551		24	947		13	211	Mai	17	731		16	006
	23	552		29	952		15	213	Juni	10	755		21	011
	24	553		30	953		16	214		15	760		22	012
	25	554	April	31	954		27	225	Juli	3	778		23	013
	26	555		8	962		28	226		8	783		28	018
März	7	564		15	969		30	228		9	784	März	1	019
	8	565		16	970		31	229		11	786		2	020
	20	577		25	979	1917 Jan.	4	233		25	800		3	021
	21	578		27	981		5	234		28	803		14	032
	22	579		28	982		8	237		30	805		19	037
	25	582	Mai	6	990					31	806		20	038
April	8	596		21	21005		12	241	August	2	808		21	039
	22	610		22	006		13	242		6	812		22	040
Mai	2	620		23	007		22	251		7	813		27	045
				24	008		23	252		8	814		28	046

13. Störungstafel der Tage mit Charakter 2.

1919 März	29 2422047	1921 März	29 2422778	1922 Mai	6 2423181	1923 Sept.	26 2423669	1925 Sept.	15 2424409
	30 048	April	12 792		7 182		27 690		21 415
April	31 049		13 793		8 183	Okt.	11 704		24 418
	7 056		18 798		9 184		15 708	Okt.	4 428
Mai	17 066		20 800		10 185		16 709		9 433
	2 081		21 801		11 186		17 710		11 435
	3 082	Mai	29 809		16 191	Nov.	2 726		12 436
	13 092		13 823		17 192		29 753		21 445
	14 093		14 824		19 194		30 754		23 447
	15 094		15 825		21 196	Dez.	4 758	Nov.	24 448
	17 096		16 826		22 197		9 763		9 464
	21 100		17 827		23 198		26 780		10 465
	22 101		19 829		24 199				14 469
	24 103		20 830		26 201	1924 Jan.	3 788	Dez.	6 491
Juni	10 120		21 831		27 202		10 795		15 500
	11 121	Juli	7 878	Juni	2 208		22 807		18 503
Juli	17 157		8 879		5 211		23 808		27 512
	23 163		9 880		16 222		24 809		28 513
Aug.	11 182		16 887		17 223		26 811		
	12 183	August	5 907		18 224		29 814	1926 Jan.	13 529
	19 190		16 918		28 234		30 815		14 530
Sept.	26 197	Sept.	2 935		29 235	Febr.	5 821		18 534
	9 211		29 962		30 236		20 836		22 538
	19 221	Okt.	5 968	Juli	1 237		21 837		23 539
	20 222		8 971		16 252		22 838		26 542
	24 226		11 974		26 262		23 839	Febr.	27 543
Okt.	1 233	Nov.	6 23000		27 263	März	2 847		2 549
	3 235		16 010		28 264		3 848		3 550
	4 236		17 011		29 265		7 852		4 551
	5 237	Dez.	12 036	August	5 272		20 865		11 558
	9 241		13 037		11 278		30 875		15 562
Nov.	28 260		16 040		12 279	Mai	21 927		18 565
	4 267		17 041		13 280		22 928		23 570
	11 274		17 041		14 281		23 929		24 571
Dez.	14 307		22 046		23 290		28 934		25 572
	15 308		28 052	Sept.	7 305	Juni	10 947	März	2 577
			29 053		8 306		11 948		3 578
					9 307		18 955		5 580
1920 Jan.	10 334	1922 Jan.	8 063		10 308		19 956		6 581
	11 335		9 064		14 312	Juli	9 976		9 584
	21 345		10 065		20 318		26 993		10 585
	30 354		16 071		21 319		27 994		11 586
Febr.	7 362		24 079		28 326	August	4 24002		18 593
	16 371		25 080	Okt.	3 331		17 015		20 595
	17 372		31 086		4 332	Sept.	1 030		21 596
	24 379	Febr.	3 089		5 333		7 036		28 603
März	4 388		4 090		6 334		8 037		29 604
	5 389		6 092		7 335		24 053		30 605
	14 398		8 094		8 336		27 056	April	6 612
	22 406		9 095		9 337	Okt.	23 082		9 615
	23 407		15 101		17 345		24 083		14 620
	24 408		16 102		20 348	Nov.	19 109		15 621
April	5 420		17 103		24 352		24 114		16 622
	15 430		27 113		25 353	Dez.	12 132		26 632
	17 432	März	1 115		31 359			Mai	4 640
	18 433		2 116	Nov.	1 360	1925 Jan.	16 167		5 641
	13 458		3 117		2 361		17 168		6 642
	15 460		5 119		3 362		19 170		10 646
	28 473		10 124		10 369	Febr.	9 191	Juni	1 668
	29 474		12 126		27 386		1 211		2 669
Juni	10 486		13 127		29 388	März	9 219		8 675
Juli	7 513		14 128	Dez.	10 399		15 225	Juli	5 702
	15 521		17 131		26 415	April	10 251		27 724
	23 529		18 132			Mai	4 275		28 725
August	4 541		19 133	1923 Jan.	20 440		28 299		31 728
	12 549		20 134	Febr.	25 476		30 301	August	13 741
	21 558		25 139		26 477	Juni	6 308	Sept.	8 767
Sept.	3 571		30 144		27 478		13 315		9 768
	4 572		31 145	März	16 495		23 325		14 773
	9 577	April	1 146		24 503		24 326		15 774
	28 596		8 153		25 504		27 329		19 778
	29 597		9 154		26 505		28 330		20 779
Okt.	10 608		10 155	April	12 522	Juli	21 353		21 780
Nov.	6 635		12 157		13 523		22 354	Okt.	14 803
	17 646		13 158		21 531		26 358		15 804
	26 655		21 166		22 532		27 359		16 805
Dez.	4 663		22 167		23 533	August	8 371		19 808
	26 685		23 168	Mai	17 557		18 381	Nov.	25 814
			24 169		18 558		22 385		28 848
1921 Jan.	17 707		25 170		29 569		23 386		29 849
Febr.	5 726		26 171		30 570	Sept.	1 395	Dez.	15 865
März	25 774		27 172	Juni	13 584		2 396		20 870
	26 775		29 174		14 585		7 401		23 873
	27 776	Mai	5 180	August	3 635		14 408		29 879

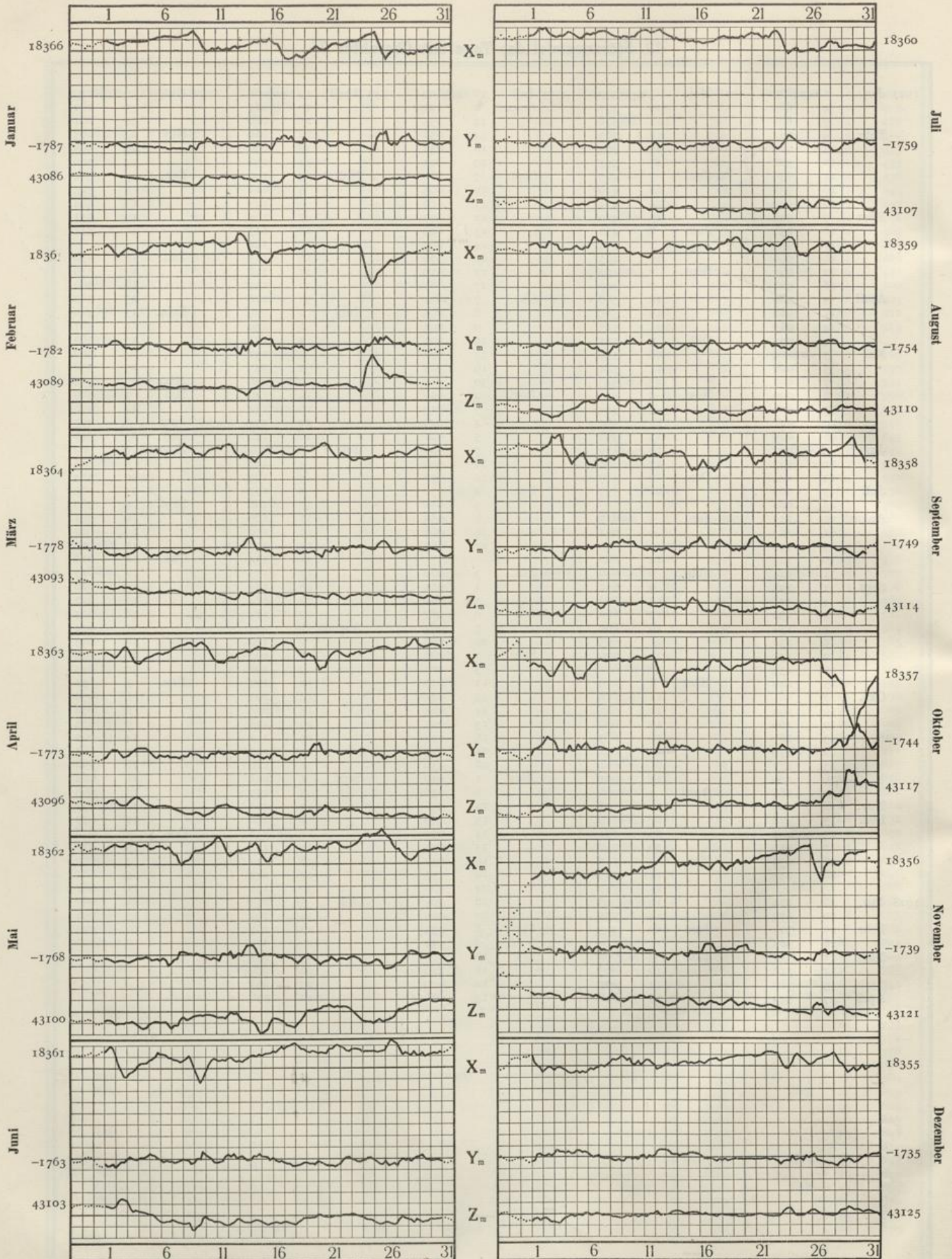
13. Störungstafel der Tage mit Charakter 2.

1927 Jan.	1 2424882	1928 Mai	5 2425372	1929 Juli	16 2425809	1930 April	19 2426086	1930 Okt.	29 2426279
	4 885		10 377	August	1 825		20 087		30 280
	7 888		11 378		11 835		21 088		31 281
Febr.	9 921		16 383		14 838		22 089	Nov.	14 295
	13 925		27 394		18 842		23 090		24 305
	16 928	Juni	28 395		19 843		24 091		25 306
	24 936		7 405	Sept.	7 862	Mai	4 101	Dez.	3 314
	26 938		12 410		10 865		5 102		4 315
März	28 940		14 412		11 866		6 103		13 324
	9 949		22 420		12 867		7 104		20 331
	16 956	Juli	8 436		13 868		16 113		21 332
	17 957	August	5 464		14 869		17 114		
	26 966		26 485		21 876		18 115	1931 Jan.	16 358
	27 967	Sept.	3 493		22 877		21 118		17 359
	28 968		7 497		27 882		22 119		18 360
April	9 980		18 508	Okt.	7 892		31 128		25 367
	11 982		19 509		8 893	Juni	1 129	Febr.	13 386
	14 985		25 515		9 894		2 130		14 387
	24 995	Okt.	5 525		16 901		3 131		15 388
Mai	3 25004		18 538		17 902		4 132		24 397
	5 006		24 544		19 904		7 135		25 398
	7 008		25 545		30 915		8 136	März	13 414
	8 009	Nov.	2 553	Nov.	2 918		12 140	Mai	7 469
	15 016		3 554		3 919		16 144		14 476
	20 021		11 562		4 920		27 155	Juni	2 495
	28 029		13 564		5 921		28 156	Juli	23 546
Juni	5 937		15 566		7 923	Juli	3 161	August	8 562
	11 043		17 568		16 932		4 162		9 563
	12 044	Dez.	6 587		20 936		5 163		20 574
Juli	7 069		12 593	Dez.	4 950		9 167		25 579
	22 084				5 951		10 168	Sept.	4 589
August	20 113	1929 Jan.	5 617		6 952		11 169		6 591
	21 114		9 621		16 962		12 170		15 600
	29 122		10 622		17 963		13 171		20 605
	30 123		14 626				16 174	Okt.	1 616
	31 124	Febr.	6 649	1930 Jan.	3 980		17 175		2 617
Sept.	1 125		9 652		4 981		25 183		5 620
	4 128		10 653		5 982		26 184		12 627
	6 130		17 660		6 983		29 187		18 633
	7 131		19 662		7 984	August	6 195		19 634
	8 132		22 665		20 997		7 196		28 643
	9 133		27 670	Febr.	1 26009		8 197		29 644
	10 134		28 671		3 011		9 198		30 645
	25 149	März	8 679		12 020		10 199	Nov.	5 651
Okt.	7 161		11 682		13 021		12 201		6 652
	10 164		12 683		14 022		14 203		8 654
	12 166		15 686		15 023		19 208		9 655
	13 167		16 687		16 024		22 211		14 660
	22 176		20 691		25 033		23 212		15 661
	23 177		21 692		28 036		31 220		16 662
	26 180		24 695	März	1 037	Sept.	1 221		18 664
	30 184	April	4 706		2 038		3 223		19 665
Nov.	18 203		16 718		12 048		5 225		26 672
Dez.	13 228		17 719		13 049		6 226		27 673
	15 230		29 731		14 050		18 238	Dez.	2 678
	17 232		30 732		15 051		21 241		3 679
	18 233	Mai	13 745		16 052		28 248		4 680
	28 243		14 746		18 054		29 249		5 681
			15 747		24 060		30 250		11 687
1928 Jan.	28 274		16 748		28 064	Okt.	3 253		12 688
	29 275		23 755		29 065		14 264		15 691
Febr.	26 303	Juni	10 773	April	8 075		17 267		29 705
	28 305		11 774		9 076		20 270		30 2426706
März	11 317	Juli	5 798		10 077		25 275		
	12 318		10 803		11 078		26 276		
	13 319		14 807		12 079		27 277		
April	7 344		15 808		13 080		28 278		

Tagesmittel der Komponenten
in Abweichungen vom Normalwert.

Seddin

1931



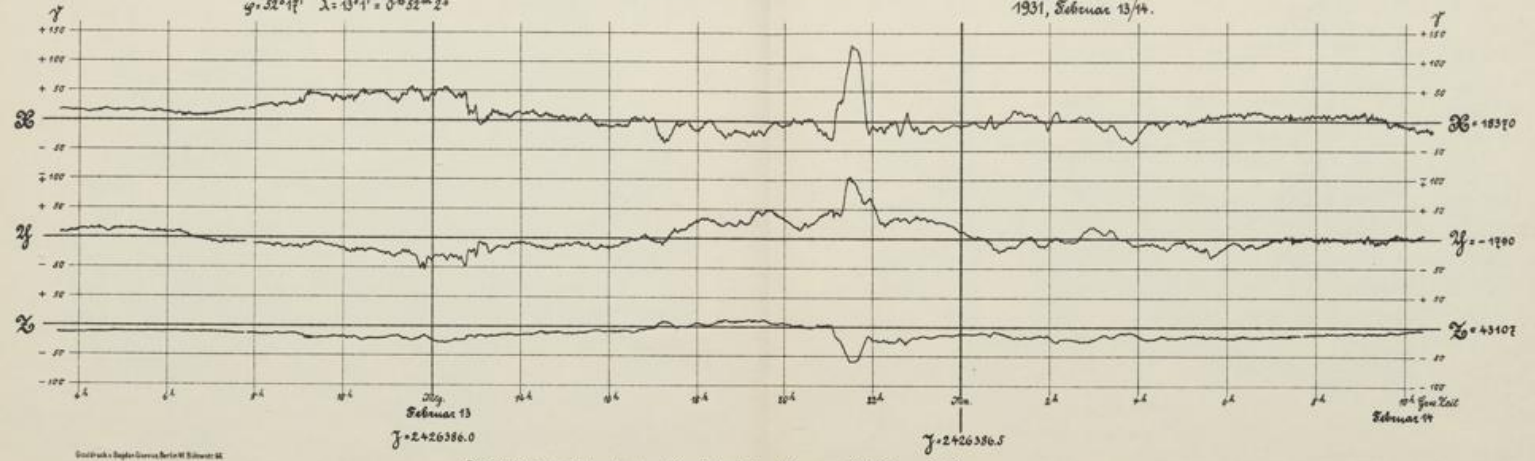
Die lotrechten Linien bezeichnen den Augenblick 0^h nach Weltzeit.
Die absoluten Werte am Rande gelten für die Mitte des Monats. — Einheit der Zahlen: γ ; Einheit der Ordinaten: 10 γ .



Seddin bei Potsdam.

$\varphi = 52^{\circ} 17'$ $\lambda = 13^{\circ} 11' = 0^h 52^m 21^s$

1931, Februar 13/14.



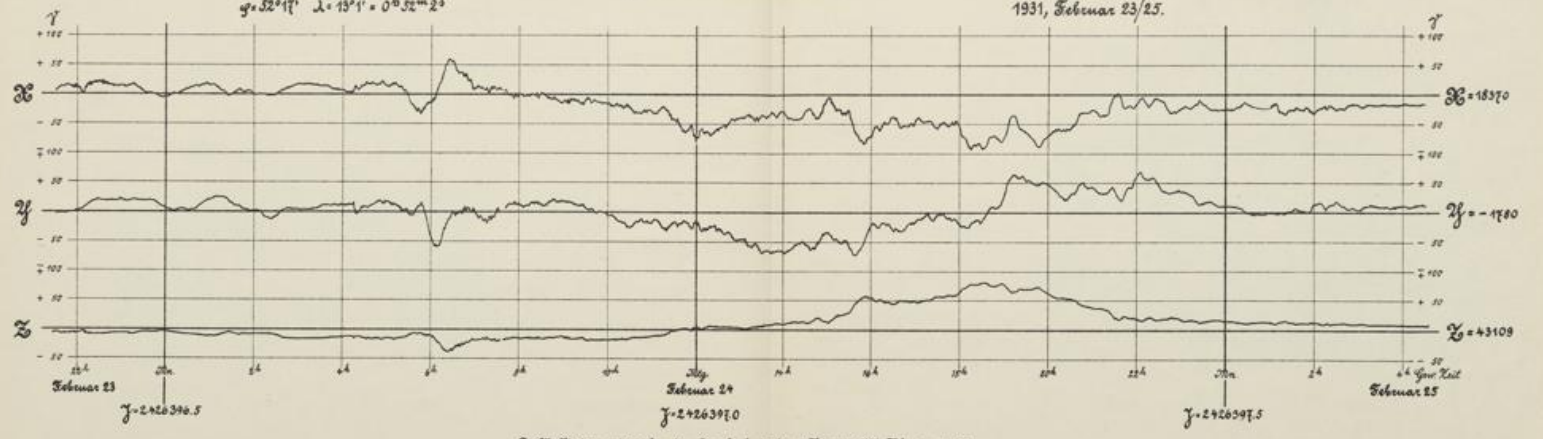
Geod. Inst. d. Univ. Berlin-W. 11. 1931. 12.

Die Nulllinien entsprechen dem Durchschnitt der 10 Tage von 1931, Februar 3 - 12.

Seddin bei Potsdam.

$\varphi = 52^{\circ} 17'$ $\lambda = 13^{\circ} 1' = 0^h 52^m 20^s$

1931, Februar 23/25.



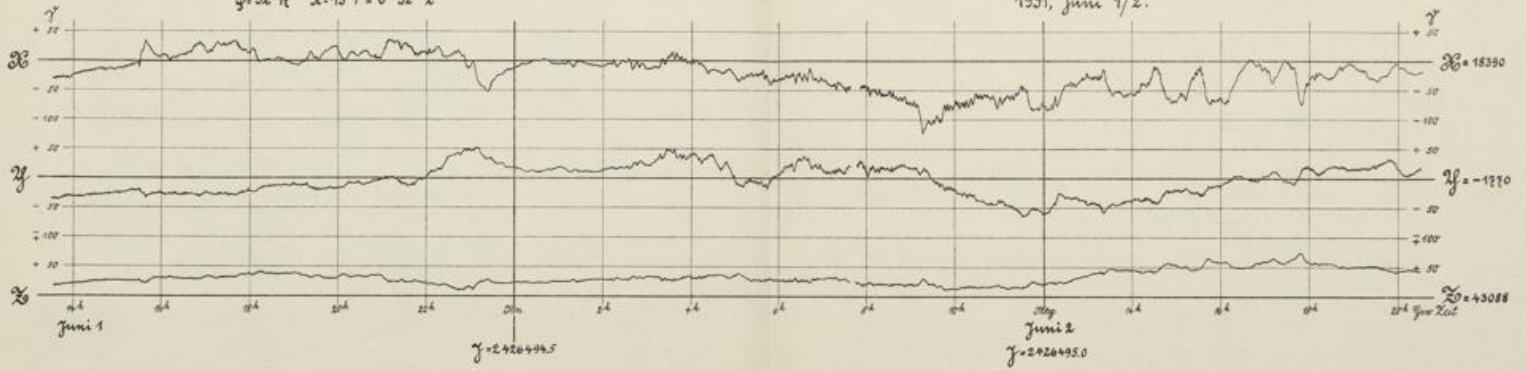
Die Nulllinien entsprechen dem Durchschnitt der 10 Tage von 1931, Februar 14 - 23.

Verlag v. Neumann, Neudamm, Berlin-W. Schöneberg 22

Seddin bei Potsdam.

$\varphi = 52^{\circ}17'$ $\lambda = 13^{\circ}1' = 0^h 32^m 2^s$

1931, Juni 1/2.



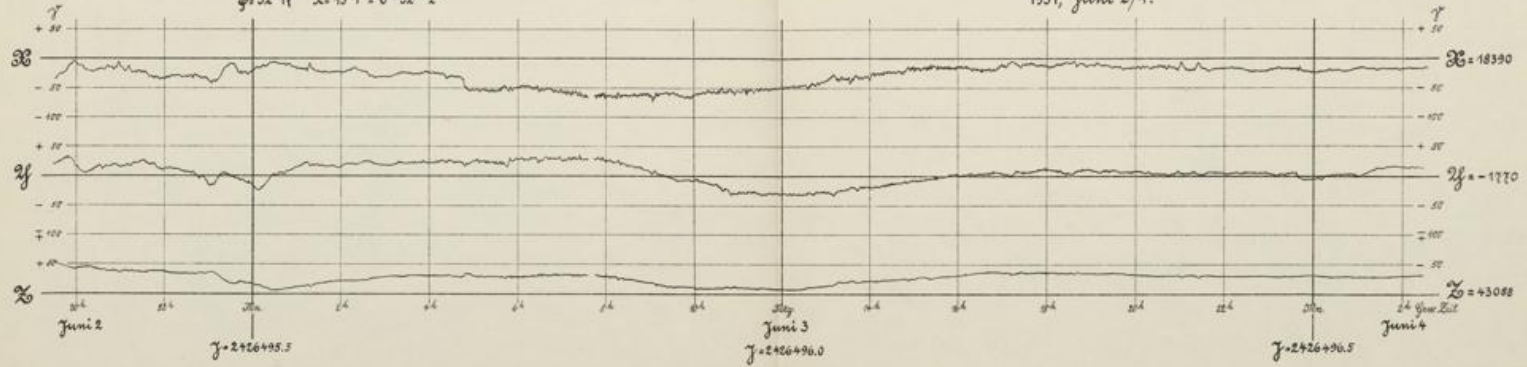
Verlag von Springer-Verlag, Berlin W. 9

Die Nulllinien entsprechen dem Durchschnitt der 10 Tage von 1931, Mai 22-31.

Seddin bei Potsdam.

$\varphi = 52^{\circ} 17'$ $\lambda = 13^{\circ} 1' = 0^{\text{h}} 52^{\text{m}} 21^{\text{s}}$

1931, Juni 2/4.



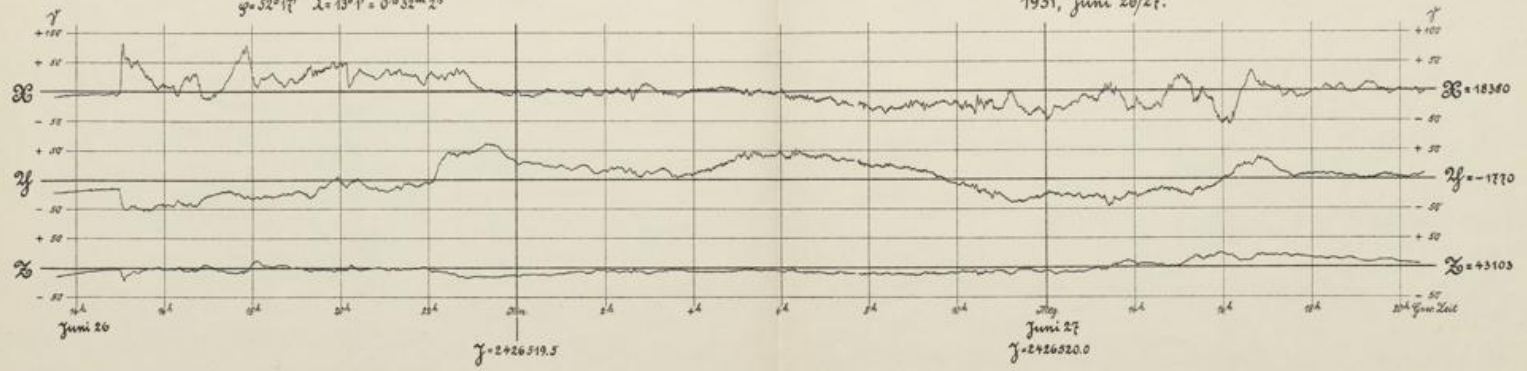
Verlag Dr. Engelke & Giebert, Berlin W. 10, Schwanen 28

Die Nulllinien entsprechen dem Durchschnitt mit der 10 Tage von 1931, Mai 25-31.

Seddin bei Potsdam.

$$\varphi = 52^{\circ} 17' \quad \lambda = 13^{\circ} 1' = 0^{\text{h}} 52^{\text{m}} 2^{\text{s}}$$

1931, Juni 26/27.



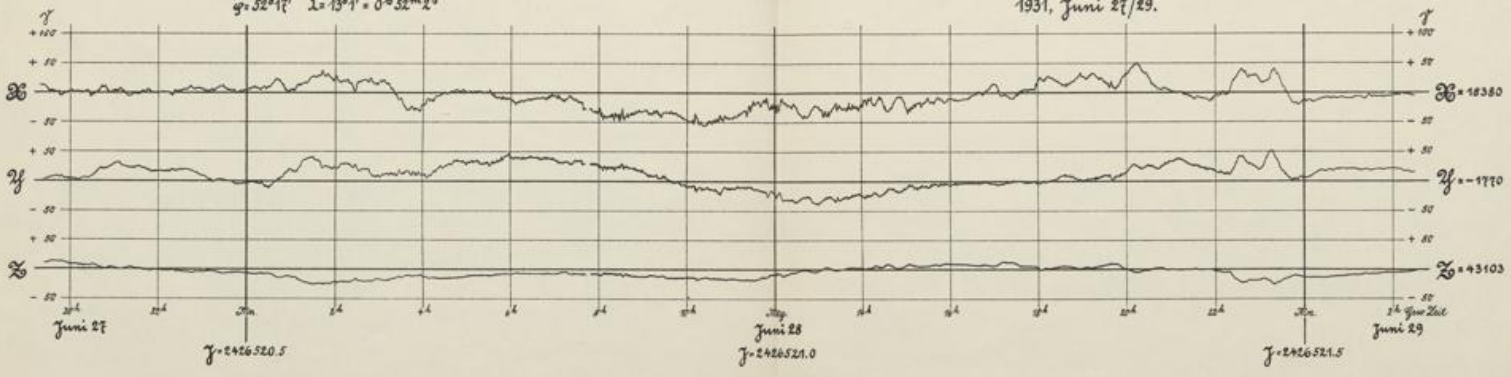
Vertrieblich - Deutscher Geographischer Verein W. B. 1931: 22

Die Nulllinien entsprechen dem Durchschnitt der 10 Tage von 1931, Juni 16-25.

Seddin bei Potsdam.

$\varphi = 52^{\circ}17'$ $\lambda = 13^{\circ}1' = 0^{\text{h}}52^{\text{m}}2^{\text{s}}$

1931, Juni 27/29.



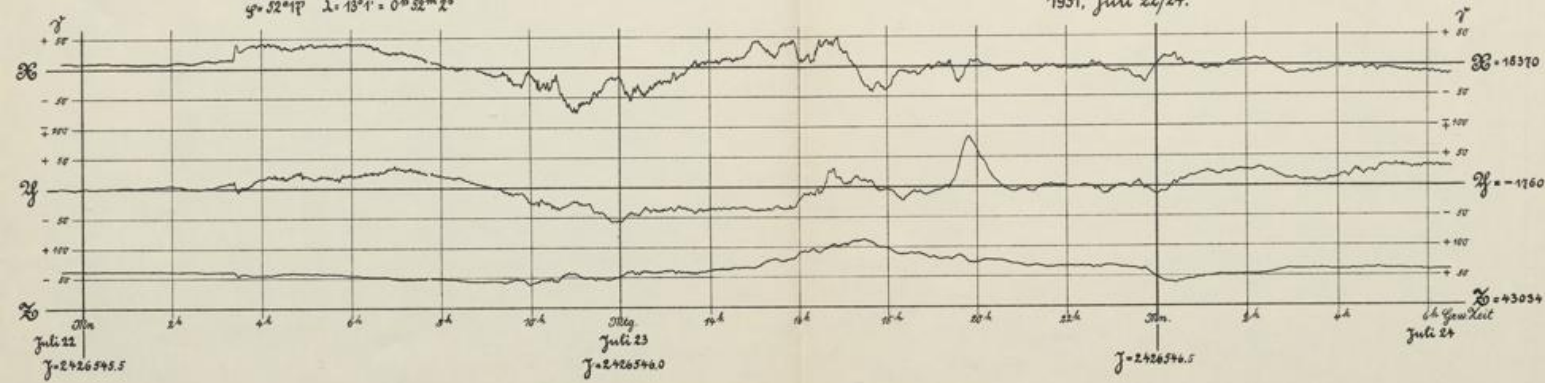
Geod. Inst. - Leipzig - Geom. Inst. W. Klotzstr. 44

Die Nulllinien entsprechen dem Durchschnitt der 10 Tage von 1931, Juni 16-25.

Seddin bei Potsdam.

1931, Juli 22/24.

$\varphi = 52^{\circ}17'$ $\lambda = 13^{\circ}11' = 0^h 52^m 20^s$



Verlag v. August Grieben, Berlin W. Wilhelmstr. 22

Die Nulllinien entsprechen dem Durchschnitt der 10 Tage vom 1931, Juli 13-22.

$\varphi = 52^{\circ}17'$ $\lambda = 13^{\circ}1' = 0^{\text{h}}52^{\text{m}}2^{\text{s}}$

1931, Oktober 4/5.

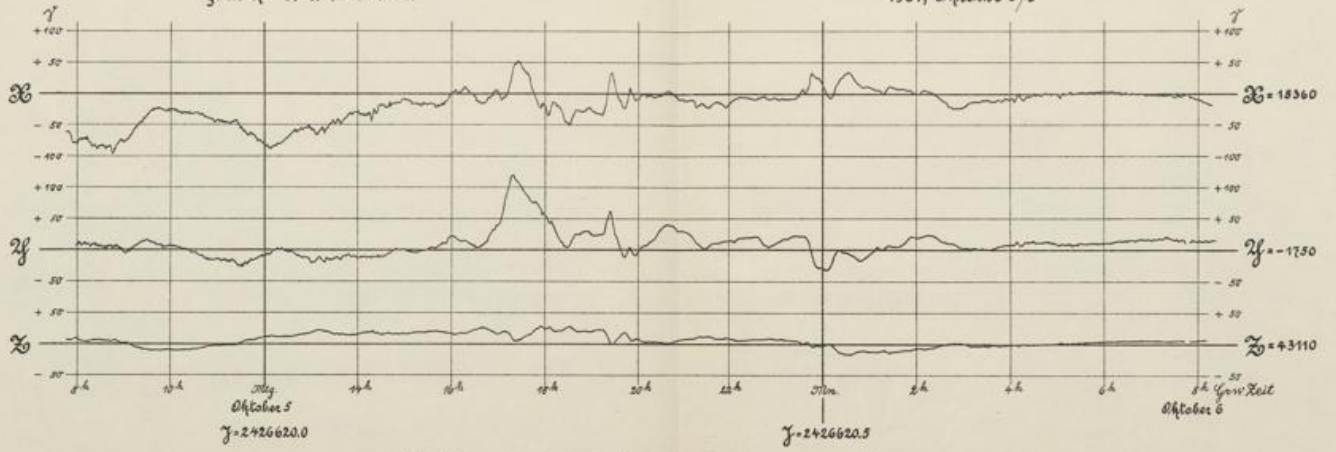


Verlag Paul & Siegel, Leipzig, Berlin, W. Reichenowstr. 22

Die Nulllinien entsprechen dem Durchschnitt der 10 Tage von 1931, Sept. 29 - Okt. 3.

$\varphi = 52^{\circ}17'$ $\lambda = 13^{\circ}1' = 0^{\text{h}}52^{\text{m}}20^{\text{s}}$

1931, Oktober 5/6



Die Nulllinien entsprechen dem Durchschnitt des 10 Tage von 1931, Sept. 24 - Okt. 3.

Sedlin bei Potsdam.

1931, Oktober 28. und 29/30.

$\varphi = 52^{\circ}11'$ $\lambda = 13^{\circ}1' + 0^{\circ}52' = 24'$



Die Hallionen entsprechen dem Durchschnitt der 10 Tage von 1931, Okt. 15-27.

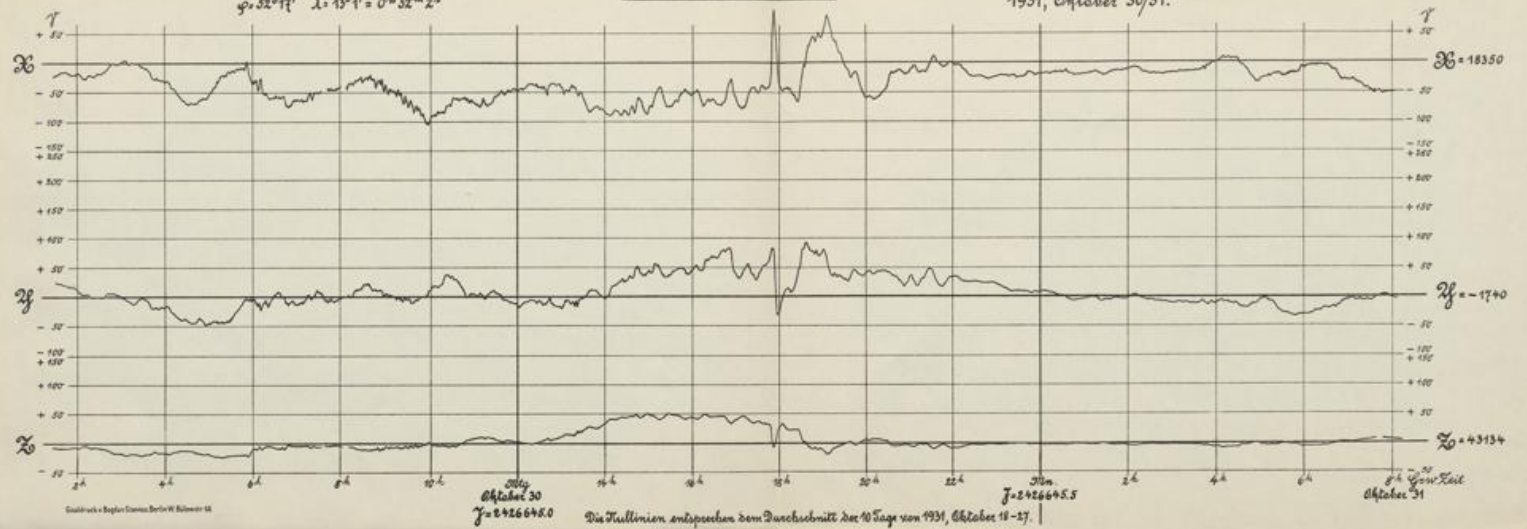
J = 2426094.0

J = 2426094.5

$\varphi = 52^{\circ} 17'$ $\lambda = 13^{\circ} 11' = 0^{\text{h}} 52^{\text{m}} 2^{\text{s}}$

Seddim bei Potsdam.

1931, Oktober 30/31.



Druckdruck • Berlin-Damms Berlin-W. Kilmann 12